

Petru MIHAI

**PROIECTAREA
CONSTRUCTIILOR
/
DIN
BETON ARMAT**



Editura Societății Academice “Matei-Teiu Botez”

Referenți științifici:

Prof. univ. dr. ing. Liviu GROLL
Universitatea Tehnică "Gh. Asachi" Iași
Facultatea de Construcții și Instalații

Prof. univ. dr. ing. Ioan HÎRHUI
Universitatea Tehnică "Gh. Asachi" Iași
Facultatea de Construcții și Instalații

Descrierea CIP a Bibliotecii Naționale a României

MIHAI, PETRU

Proiectarea construcțiilor din beton armat / Petru Mihai. -
Iași : Editura Societății Academice "Matei - Teiu Botez", 2009
Bibliogr.
ISBN 978-973-8955-65-3

624.012.45

Editura Societății Academice "Matei - Teiu Botez"

B-dul Dumitru Mangeron nr. 43

Director: Prof.univ.dr.ing. Constantin Ionescu,

e-mail:cionescu@ce.tuiasi.ro

CUPRINS

	Pag.
1. Introducere în proiectarea construcțiilor din beton armat	7
1.1. Etapele proiectării structurilor din beton armat	7
1.2. Predimensionarea elementelor din beton armat	10
1.2.1. Predimensionarea plăcilor din beton armat	11
1.2.2. Predimensionarea grinzilor din beton armat	12
1.2.3. Predimensionarea stâlpilor din beton armat	13
1.2.4. Predimensionarea pereților structurali din beton armat	14
1.3. Prevederi generale pentru elementele din beton armat	16
1.4. Ancorarea și înădădirea armăturilor în beton	20
1.5. Acoperirea cu beton a armăturilor	26
1.6. Corespondența notațiilor românești cu cele europene	32
2. Evaluarea încărcărilor	35
2.1. Evaluarea încărcărilor permanente	35
2.2. Evaluarea încărcărilor utile	60
2.3. Evaluarea încărcărilor din zăpadă	69
2.4. Evaluarea încărcărilor din vânt	72
2.5. Evaluarea încărcărilor din seism	73
2.6. Gruparea efectelor structurale ale acțiunilor	78
2.6.1. Grupări de încărcări pentru verificarea structurilor la stări limită ultime	79
2.6.2. Grupări de încărcări pentru verificarea structurilor la stări limită de serviciu	81
3. Calculul structural cu metoda elementelor finite	83
3.1. Introducere	83
3.2. Etapele analizei structurilor cu elemente finite	85
3.3. Precizia rezultatelor obținute prin metoda elementului finit	89
3.4. Problematika aproximării cu elemente finite	91

3.4.1. Tipuri de elemente finite	91
3.4.2. Elemente finite izoparametrice	93
3.4.3. Discretizarea structurii	95
4. Proiectarea plăcilor din beton armat	101
4.1. Calculul plăcilor armate pe o direcție	102
4.1.1. Predimensionarea	102
4.1.2. Schema statică	103
4.1.3. Stabilirea încărcărilor	105
4.1.4. Calculul static	106
4.1.5. Verificarea grosimii plăcii	109
4.1.6. Stabilirea cantităților teoretice de armătură	110
4.1.7. Elaborarea schiței de armare	111
4.2. Calculul plăcilor armate pe două direcții	114
4.2.1. Predimensionare	114
4.2.2. Schema statică	115
4.2.3. Stabilirea încărcărilor	117
4.2.4. Calculul static	119
4.2.5. Verificarea grosimii plăcii	141
4.2.6. Stabilirea cantităților teoretice de armătură	143
4.2.7. Elaborarea schiței de armare	145
5. Proiectarea grinzilor din beton armat	148
5.1. Proiectarea grinzilor secundare	148
5.1.1. Predimensionare	148
5.1.2. Schema statică	149
5.1.3. Stabilirea încărcărilor	151
5.1.4. Calculul static	153
5.1.5. Verificarea secțiunii grinzii secundare	155
5.1.6. Stabilirea cantităților teoretice de armătură	156
5.1.7. Elaborarea schiței de armare	161
5.1.8. Calculul armăturilor transversale	166
5.2. Proiectarea grinzilor principale	171
5.2.1. Predimensionarea	171
5.2.2. Schema statică	172

5.2.3. Stabilirea încărcărilor	173
5.2.4. Calculul static	176
5.2.5. Verificarea secțiunii grinzii principale	176
5.2.6. Stabilirea cantităților teoretice de armătură	178
5.2.7. Elaborarea schiței de armare	185
5.2.8. Calculul armăturilor transversale	190
5.3. Proiectarea grinzilor de rigidizare	197
6. Proiectarea stâlpilor din beton armat	198
6.1. Proiectarea stâlpilor rectangulari	198
6.1.1. Predimensionare	198
6.1.2. Schema statică	199
6.1.3. Stabilirea încărcărilor	200
6.1.4. Calculul static	201
6.1.5. Verificarea deplasărilor maxime ale secțiunii	201
6.1.6. Stabilirea cantităților teoretice de armătură	204
6.1.7. Elaborarea schiței de armare	215
6.1.8. Verificarea la compresiune excentrică oblică	216
6.1.9. Calculul armăturilor transversale	217
6.2. Proiectarea stâlpilor circulari	223
6.2.1. Predimensionare	223
6.2.2. Schema statică	224
6.2.3. Stabilirea încărcărilor	224
6.2.4. Calculul static	225
6.2.5. Verificarea deplasărilor maxime ale secțiunii	225
6.2.6. Stabilirea cantităților teoretice de armătură	225
6.2.7. Elaborarea schiței de armare	233
6.2.8. Calculul armăturilor transversale	233
6.3. Proiectarea stâlpilor lamelari	240
7. Determinarea momentelor capabile ale elementelor de beton armat	241
7.1. Determinarea momentelor capabile ale grinzilor cu secțiunea dreptunghiulară	241
7.2. Determinarea momentelor capabile ale grinzilor cu	244

secțiunea T	
7.3. Determinarea momentelor capabile ale stâlpilor rectangolari	246
7.4. Determinarea momentelor capabile ale stâlpilor circulari	247
8. Bibliografie	249

1. INTRODUCERE ÎN PROIECTAREA CONSTRUCȚIILOR DIN BETON ARMAT

1.1. Etapele proiectării structurilor din beton armat

Betonul este un material sub formă de conglomerat obținut artificial prin întărirea unui amestec de liant, agregate și adaosuri, tipul liantului conferind structurii acestuia anumite proprietăți fizico - mecanice specifice (ex.: beton asfaltic, beton cu polimeri, beton de ciment etc.).

În domeniul construcțiilor prin noțiunea de “beton” este definit betonul de ciment realizat cu agregate naturale, de balastieră sau carieră, având o structură compactă cu densitatea aparentă în stare întărită de 2200 - 2500 kg/m³ și o rezistență la compresiune cuprinsă între 2,5 MPa și 80 MPa.

Deoarece rezistențele betonului la întindere sunt foarte mici comparativ cu cele la compresiune, betonul trebuie asociat cu armătura pentru preluarea solicitărilor specifice din zona întinsă.

Problematika proiectării betonului este diferită comparativ cu alte materiale de construcții. Dacă, în cazul metalului sau lemnului se urmărește prin proiectare stabilirea secțiunii optimale, în cazul betonului există două necunoscute: dimensiunile geometrice ale secțiunii de beton și cantitatea de armătură necesară în zona întinsă.

Această situație conduce la un impas deoarece numărul de ecuații de echilibru static este mai mic decât numărul de necunoscute, practic neputând fi identificată o soluție unică. În aceste condiții este necesar ca o parte din necunoscute să fie stabilite într-o primă etapă, urmând ca ulterior să fie rezolvat un sistem ce are numărul de ecuații egal cu numărul de necunoscute.

Necunoscutele care se impun inițial sunt cele ale dimensiunilor geometrice ale betonului, procesul purtând denumirea de *predimensionare*. Această predimensionare trebuie însă realizată rațional deoarece, o impunere total aleatorie a dimensiunilor betonului poate conduce la cantități mult prea mari sau mult prea mici de armătură, mult diferite față de procentul optim de armare.

Pașii care trebuie urmați pentru proiectarea unui element din beton armat (indiferent de tipul acestuia sau de starea de solicitare) sunt prezentați în fig. 1.1

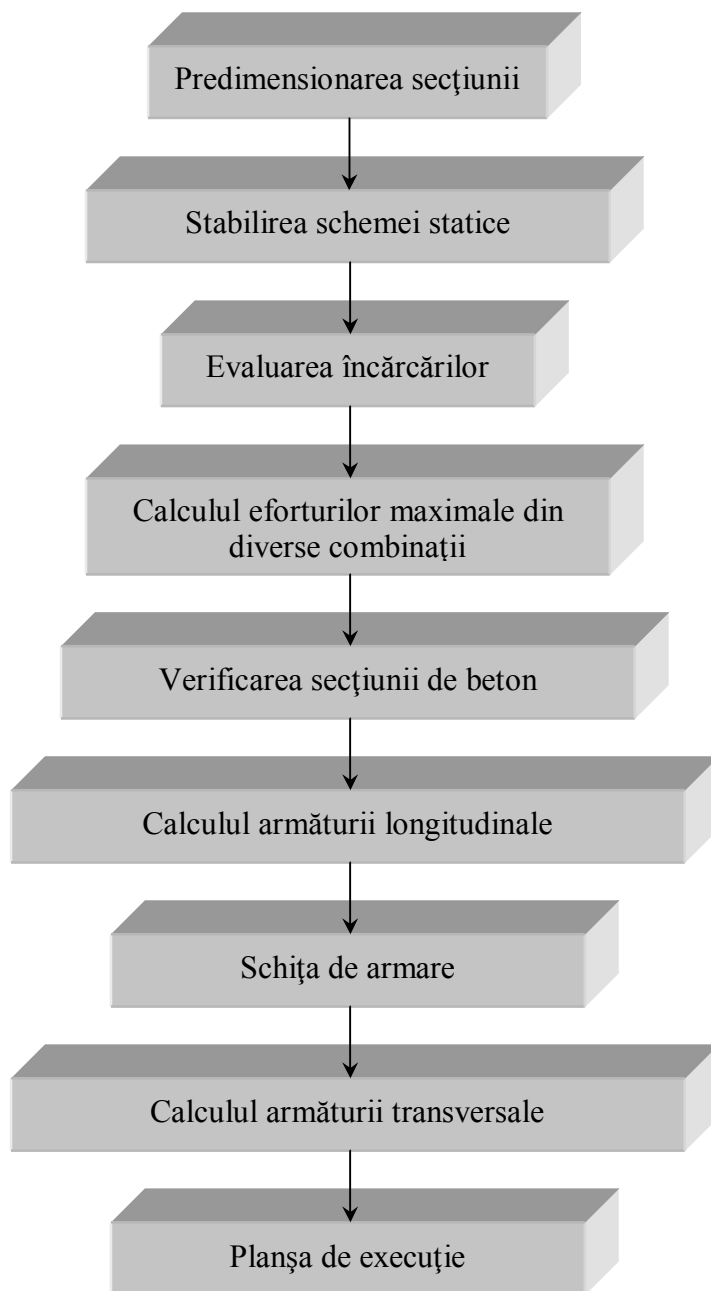


Fig. 1.1 – Pașii de proiectare pentru un element din b.a.

Primul pas în proiectarea elementelor din beton armat este *predimensionarea*. Această etapă presupune stabilirea aproximativă a dimensiunilor secțiunii de beton, pe baza experiențelor anterioare de proiectare, cunoscându-se anumiți parametri inițiali (deschideri, stare de încărcare axială etc.). Se face precizarea că, deși în majoritatea cazurilor dimensiunile stabilite în această etapă rămân cele finale, există și situații particulare în care, în urma analizei eforturilor secțiunea va trebui modificată.

Stabilirea schemei statice este a doua etapă de proiectare și presupune identificarea a trei componente: axe, deschideri și condiții de rezemare. Schema statică poate fi una plană (mai simplu de implementat dar cu anumite limitări) sau una spațială (mai complexă dar, în același timp mai exactă). Ca regulă generală, se poate adopta o schemă statică plană în cazul structurilor regulate, cu simetrie în plan și monotonie pe verticală. În situația în care structura analizată este una nesimetrică, cu eventuale probleme de torsiune, se recomandă utilizarea unui model de calcul spațial.

Evaluarea încărcărilor se face conform prescripțiilor tehnice în vigoare și, uneori, conform doleanțelor beneficiarului, dacă acesta dorește luarea în calcul a altor încărcări utile, diferite de cele prevăzute în normele tehnice. Încărcărilor evaluate le sunt aplicate o serie de coeficienți de siguranță, funcție de gruparea de încărcare și de natura încărcării.

Calculul eforturilor maxime se poate realiza fie manual, fie cu ajutorul unui program de calcul. Cea de-a doua variantă este preferată în marea majoritate a cazurilor deoarece timpii de calcul se reduc semnificativ și pot fi rezolvate probleme de complexitate superioară. Pentru situații simple, se poate utiliza și un calcul manual care să ofere rezultate imediate.

Cunoscându-se eforturile de calcul și impunându-se un procent optim de armare de 1%, se poate trece la *verificarea dimensiunilor geometrice ale secțiunii de beton* impuse în etapa de predimensionare. Practic, pe baza eforturilor și a cantității de armătură optime, se evaluează înălțimea necesară a secțiunii de beton. Dacă aceasta se apropie ca valoare de cea impusă la predimensionare atunci se poate trece la etapa următoare. Dacă însă sunt diferențe mari între cele două valori, dimensiunile secțiunii vor fi modificate corespunzător și proiectarea va fi reluată.

Calculul armăturilor longitudinale necesare se face foarte ușor cunoscându-se eforturile maxime și secțiunea finală de beton, în final obținându-se o cantitate teoretică necesară de armătură. Este important să nu se confunde cantitatea necesară de armătură evaluată în această etapă cu cantitatea optimă de armătură (utilizată în etapa anterioară **doar pentru verificarea secțiunii de beton**).

Schița de armare urmărește transformarea cantității teoretice de armătură într-una practică, prin stabilirea numărului efectiv de bare precum și diametrul acestora conform reglementărilor din standardele în vigoare.

Calculul armăturilor transversale urmărește stabilirea diametrelor etrierilor precum și a distanței dintre aceștia.

În final se elaborează *planșa de execuție* care va sta la baza executării elementului.

1.2. Predimensionarea elementelor din beton armat

Predimensionarea elementelor din beton armat este o etapă aproximativă de stabilire a dimensiunilor geometrice ale secțiunii de beton. Deoarece o stabilire incorectă a acestor dimensiuni va conduce la o reluare a calculelor este de preferat ca această operați să se efectueze cât mai precis.

De aceea, pentru stabilirea dimensiunilor geometrice secționale ale unui element nou se apelează la experiența anterioară de proiectare, comparându-se situația nouă cu situații similare mai vechi care au fost deja rezolvate. Rezultă deci faptul că, predimensionarea este o etapă în care experiența proiectantului este hotărâtoare.

Există însă o sumedenie de situații în care inginerul proiectant nu are experiența necesară pentru stabilirea acestor caracteristici geometrice. În acest sens, au fost dezvoltate de-a lungul timpului o serie de relații unanim acceptate în mediul de proiectare, relații bazate pe proiectele anterioare similare și care permit stabilirea dimensiunilor geometrice la betonului în situațiile uzuale.

Aceste relații de predimensionare nu se regăsesc în normativele și standardele de proiectare deoarece ele acoperă doar situațiile curente, ele nefiind aplicabile pentru anumite situații particulare.

În continuare sunt prezentate câteva relații de predimensionare, pentru cele mai uzuale elemente, cu mențiunea că ele rezolvă cu succes cazurile uzuale dar nu pot garanta o corectitudine a rezultatelor în toate situațiile.

1.2.1. Predimensionarea plăcilor din beton armat

Plăcile din beton armat sunt elemente de suprafață la care una din dimensiuni este mult mai mică decât celelalte două încărcate perpendicular pe planul lor. Deoarece lățimea și lungimea plăcilor sunt date de geometria structurii, predimensionarea plăcilor presupune aflarea grosimii acestora.

Plăcile din beton armat se clasifică din punct de vedere structural în două mari categorii: plăci armate pe o direcție și plăci armate pe două direcții.

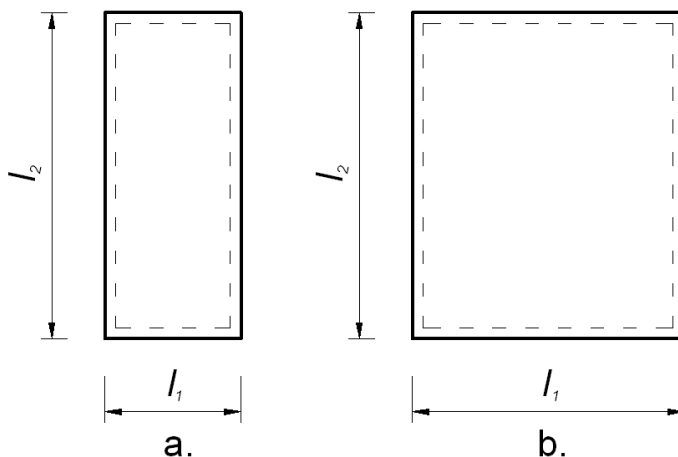


Fig. 1.2. – Plăci armate: a. - pe o direcție; b. - pe două direcții

Plăcile se armează pe o direcție dacă raportul laturilor este fie mai mare decât 2, fie mai mic ca 0,5 (fig. 1.2.a). În acest caz, grosimea plăcii poate fi determinată cu relația:

$$h_p = \frac{1}{30 \dots 40} \min(l_1, l_2) \quad (1.1)$$

Dacă raportul laturilor plăcii este cuprins între 0,5...2 atunci plăcile se armează pe două direcții. Deoarece plăcile lucrează mai rațional pe două direcții, dimensiunea acestora poate fi ceva mai redusă, predimensionarea făcându-se cu relația:

$$h_p = \frac{1}{35...45} \min(l_1, l_2) \quad (1.2)$$

În ambele situații, valoarea grosimii plăcii rezultată se rotunjește la multiplu de 10 mm.

1.2.2. Predimensionarea grinzilor din beton armat

Grinzile din beton armat sunt elemente liniare, plasate în poziție orizontală care preiau încărcările de la plăci și le transmit mai departe altor elemente structurale.

Dacă grinzile transmit încărcările altor elemente orizontale atunci acestea se numesc grinzi secundare. Dacă transmiterea încărcărilor se face la elemente verticale de rezistență, atunci acestea se numesc grinzi principale.

Există două diferențe majore între grinzile secundare și cele principale:

- grinzile secundare preiau încărcări verticale mai mici decât grinzile principale;
- grinzile principale preiau eforturi rezultate din acțiunea seismică, situație ce nu se regăsește la grinzile secundare.

Deoarece starea de solicitare este diferită, este normal ca secțiunile celor două tipuri de grinzi să aibă dimensiuni diferite. Pentru grinzile secundare, calculul înălțimii secțiunii se face cu relația:

$$h_{gs} = \frac{1}{12...14} L, \quad (1.3)$$

unde L este deschiderea de calcul a grinzii secundare.

Dimensiunea lățimii secțiunii se evaluează cu relația:

$$b_{gs} = \frac{h_{gs}}{2...3} \quad (1.4)$$

Dimensiune secțiunilor de beton armat pentru grinzile secundare se rotunjesc la multiplu de 50 mm dar, se face mențiunea că sunt acceptate alte două valori pentru lățimea grinzilor secundare care nu respectă această regulă: 180 și 220 mm.

Evaluarea înălțimii secțiunii pentru grinzile principale se face cu relația:

$$h_{gp} = \frac{1}{10 \dots 12} L, \quad (1.5)$$

unde L este deschiderea de calcul a grinzii principale.

Dimensiunea lățimii secțiunii se evaluează cu relația:

$$b_{gp} = \frac{h_{gp}}{2 \dots 3} \quad (1.6)$$

Dimensiune secțiunilor de beton armat pentru grinzile principale se rotunjesc la multiplu de 50 mm dacă ele nu depășesc 800 mm. Când acestea depășesc 800 mm, se vor rotunji la multiplu de 100 mm.

1.2.3. Predimensionarea stâlpilor din beton armat

Stâlpii din beton armat sunt elemente liniare, plasate în poziție verticală care preiau încărcările de la elementele structurale orizontale și le transmit mai departe fundațiilor.

Stâlpii sunt solicitați la compresiune excentrică (forță axială și moment încovoietor) dar, în faza de predimensionare nu sunt cunoscute valorile momentelor încovoietoare. Mai mult, stâlpii nu prezintă noțiunea de deschidere similar grinzilor, momentul încovoietor provenind din efectul de cadru, astfel că nu se poate face o predimensionare corectă doar pe baza unor caracteristici geometrice.

Din aceste considerente, predimensionarea stâlpilor se face funcție de forța axială care acționează asupra acestora. Acest lucru presupune și o evaluare a încărcărilor în această fază, dar acest lucru este necesar pentru o bună evaluare a dimensiunilor secționale ale stâlpilor.

Aria secțiunii stâlpilor poate fi determinată cu relația:

$$A_{st} = \frac{N}{n_s \cdot R_c}, \quad (1.7)$$

unde N reprezintă forța axială ce acționează asupra secțiunii evaluate, R_c este rezistența la compresiune a betonului iar n_s este un coeficient subunitar care ține cont de faptul că stâlpii sunt solicitați și la moment încovoietor și care are valoarea cuprinsă între 0,20...0,50. Pentru structuri curente, n_s poate avea următoarele valori:

- $n_s = 0,5$ pentru stâlpii centrali ai etajelor superioare;
- $n_s = 0,3$ pentru stâlpii marginali ai etajelor superioare și pentru stâlpii centrali ai etajelor inferioare;
- $n_s = 0,2$ pentru stâlpii marginali ai etajelor inferioare.

Odată cunoscută aria secțiunii de beton, se poate stabili diametrul pentru stâlpii circulari sau dimensiunile laturilor pentru stâlpii rectangulari.

La stabilirea dimensiunilor laturilor stâlpilor rectangulari trebuie să se țină cont de distribuția momentelor încovoietoare pe cele două direcții ortogonale ale structurii, în situațiile uzuale respectându-se relația:

$$\frac{h_{st}}{b_{st}} \leq 1,5 \quad (1.8)$$

unde b_{st} și h_{st} sunt lățimea și, respectiv, înălțimea secțiunii stâlpului.

Se face observația că dimensiunea minimă a secțiunii stâlpilor din beton armat este de 300 mm și că dimensiunile determinate în faza de predimensionare vor fi rotunjite la un multiplu de 50 mm.

1.2.4. Predimensionarea pereților structurali din beton armat

Pereții structurali din beton armat sunt elemente liniare, plasate în poziție verticală care preiau încărcările de la elementele structurale orizontale și le transmit mai departe fundațiilor. Din punct de vedere structural pereții din beton armat au același rol ca și stâlpii dar se utilizează

în cazul clădirilor înalte, când valorile mari ale încărcărilor axiale conduc la secțiuni ale stâlpilor exagerat de mari.

În cazul pereților structurali predimensionarea constă în determinarea grosimii acestora. Într-o primă fază se determină suma ariilor inimilor tuturor pereților de pe o anumită direcție cu relația:

$$\sum A_{bi} = \frac{\gamma_I \cdot a_g \cdot n \cdot A_{pl}}{120} \quad (1.9)$$

unde:

- $\sum A_{bi}$ – aria inimilor, în secțiune orizontală, ale tuturor pereților structurali, cu contribuție semnificativă în preluarea forțelor orizontale, orientați paralel cu acțiunea forțelor orizontale;
- γ_I – coeficient de importanță a construcției conform tabelului 4.2 din normativul P100-2006;
- a_g – accelerația terenului pentru proiectare, conform fig. 3.1. din normativul P100-2006;
- n – numărul de niveluri ale clădirii;
- A_{pl} – aria planșeului unui nivel.

Lățimea minimă a pereților structurali se determină cu relația:

$$b = \frac{\sum A_{bi}}{\sum l_i} \quad (1.10)$$

unde:

- $\sum A_{bi}$ – aria inimilor, în secțiune orizontală, ale tuturor pereților structurali, cu contribuție semnificativă în preluarea forțelor orizontale, orientați paralel cu acțiunea forțelor orizontale;
- $\sum l_i$ – suma lungimilor inimilor, în secțiune orizontală, ale tuturor pereților structurali, cu contribuție semnificativă în preluarea forțelor orizontale, orientați paralel cu acțiunea forțelor orizontale.

Se face observația că lățimea calculată cu relația 1.10 este una minimală ce va trebui rotunjită superior la multiplu de 10 mm.

De asemenea, valoarea minimă acceptată pentru lățimea pereților structurali este de 15 cm.

Pentru structurile cu maxim 10,,12 niveluri se recomandă ca grosimea pereților structurali să fie păstrată constantă pe întreaga înălțime a clădirii.

1.3. Prevederi generale pentru elementele din beton armat

În cadrul proiectării elementelor din beton armat, normativele tehnice în vigoare stabilesc atât rezistențele de calcul ale materialelor, cât și câteva reguli generale de alcătuire. Astfel, în tabelul 1.1 sunt prezentate clasele minime de beton utilizate la elemente de construcții, în tabelul 1.2. echivalența marcă-clasă pentru elementele din beton, iar în tabelele 1.3 și 1.4 rezistențele betonului și, respectiv, ale armăturii.

Tabel 1.1 – *Clasele minime de beton pentru elemente de construcții*

Elemente de construcții		Clasa minimă de beton	Excepții
Elemente din beton simplu cu dimensiuni care nu sunt rezultate dintr-un calcul de rezistență și blocurile din beton simplu ale fundațiilor izolate cu bloc și cuzinet.		C 2,8/3,5 C 4/5	În cazul elementelor aflate în contact cu apa subterană se folosește minim C 6/7,5.
Elemente din beton simplu cu dimensiunile stabilite pe baza unui calcul de rezistență, cu excepția blocurilor din beton simplu ale fundațiilor izolate cu bloc și cuzinet.		C 6/7,5	În cazul elementelor aflate în contact cu apa subterană se folosește minim C 8/10.
Elemente din beton armat cu procente de armare reduse, cu armături prevăzute predominant constructiv.		C 8/10	-
Elemente din beton armat monolit. Elemente prefabricate din beton armat cu solicitări reduse.		C 12/15	În cazul elementelor supuse la presiunea apei, se folosește minim C16/20.
Elemente prefabricate din beton armat, cu excepția celor cu solicitări reduse.		C 16/20	-
Elemente din beton precomprimat cu armături pretensionate	bare de tip PC90	C 20/25	-
	trefilate (sârme, toroane, lițe)	C 25/30	De la caz la caz, în funcție de importanța elementului în structură și de regimul de solicitare se admite și clasa C 20/25.

Tabelul 1.2 – Rezistențele betonului [N/mm²]

Rezistența	Pozitia de turnare	Solicitarea	Cazul	Dimensiunea cea mai mică a secțiunii	Clasa de beton									
					C 6/7,5	C 8/10	C 12/15	C 16/20	C 20/25	C 25/30	C 28/35	C 32/40	C 40/50	C 50/60
R _c [N/mm ²]	- verticala, cu înălțimea de turnare > 1,5 m (stâlpi, pereți, diafragme etc. din beton armat monolit) sau înclinată, cu cofraj pe toate laturile;	compresiune excentrică	a.	< 300 mm	3,50	4,70	7,00	9,00	11,50	13,50	15,30	16,80*	19,80*	23,60*
			b.	≥ 300 mm	4,00	5,50	8,00	10,50	13,00	15,50	17,40	19,10*	22,50*	26,70*
	- orizontală (grinzii, rigle de cuplare etc. monolite, elemente prefabricate), înclinată cu cofraj pe trei laturi sau verticală cu înălțimea de turnare < 1,50 m	compresiune excentrică	c.	< 300 mm										
		incovoiere		≥ 300 mm	4,70	6,50	9,50	12,50	15,00	18,00	20,50	22,50*	26,50*	31,50*
R _s [N/mm ²]	- verticala, cu înălțimea de turnare > 1,5 m (stâlpi, pereți, diafragme etc. din beton armat monolit) sau înclinată, cu cofraj pe toate laturile;	compresiune excentrică	a.	≥ 200 mm	0,40	0,45	0,60	0,70	0,80	0,90	1,00	1,08*	1,23*	1,38*
			b.	< 300 mm	0,45	0,50	0,70	0,80	0,95	1,05	1,14	1,23*	1,40*	1,57*
	- orizontală (grinzii, rigle de cuplare etc. monolite, elemente prefabricate), înclinată cu cofraj pe trei laturi sau verticală cu înălțimea de turnare < 1,50 m	compresiune excentrică	c.	< 200 mm										
		incovoiere		≥ 300 mm	0,50	0,60	0,80	0,85	1,10	1,25	1,35	1,45*	1,65*	1,85*
		incovoiere		≥ 200 mm										

Observație: valorile marcate cu * s-au înmulțit cu un coeficient suplimentar egal cu 0,95.

Tabelul 1.3 – Echivalența marcă-clasă pentru beton

Marca	B 50	B 75	B 100	B 150	B 200	B 250	B 300	B 350	B 400	B 450	B 500	B 600	B 700
Clasa Bc xx	Bc 3,5	Bc 5	Bc 7,5	Bc 10	Bc 15	Bc 20	Bc 22,5	Bc 25	Bc 30	Bc 35	Bc 40	Bc 50	Bc 60
Clasa C xx/xx	C* 2,8/3,5	C 4/5	C* 6/7,5	C 8/10	C 12/15	C 16/20	-	C 20/25	C 25/30	C* 28/35	C* 32/40	C 40/50	C 50/60
Modul de elasticitate	-	-	14 000	21 000	24 000	27 000	-	30 000	32 500	34 500	36 000	38 000	40 000

Observatii:

- clasele marcate cu * nu există în normele europene;
- în normele europene mai există următoarele trei clase de beton, inexistente în standardele actuale din România: C 30/37, C 35/45 și C 45/55;
- marca B 300 și, respectiv, clasa Bc 22,5 nu mai apar în STAS 10107/0-90.

Tabel 1.4 – *Rezistențele armăturilor pentru b.a.*

Tip armătură	R_a [N/mm ²]
OB 37	210
PC 52 ($\phi < 32$)	300
PC 52 ($\phi \geq 32$)	290
PC60	350
STNB, STPB ($\phi < 8$)	370
STNB, STPB ($\phi \geq 8$)	325

În tabelele 1.5, 1.7 și 1.8 sunt prezentate procentele minime și maxime de armare pentru grinzi și stâlpi.

Tabelul 1.5 – *Procente minime de armare pentru grinzi*

Tip element			Procent minim de armare in zonele întinse p_{min} [%]	
			pt. armături ce preiau momente negative de pe reazeme	pentru celelalte armături întinse
Rigle de cadru	participante la structuri antiseismice în zona seismica de calcul cu	$a_g > 0,08$	0,45	0,15
		$a_g = 0,08$	0,30	0,10
	neparticipante la structuri antiseismice		0,10	
Grinzi care nu reprezintă rigle de cadru și plăci, la care procentul de armare rezultat din calcul este: $p_{calcul} \leq 0,10$	p_{calcul}	0,085...0,10	0,10	
		0,045...0,085	1,15 p_{calcul}	
		$< 0,045$	0,05	
Procentul minim de armare transversală în zonele plastice potențiale, la grinzile cadrelor participante la structuri antiseismice, cu grad de protecție antiseismică \geq V: $p_e \geq 0,2$ %				
Procentul maxim de armare pentru grinzi se obține din condiția $\xi \leq \xi_b$. Valoarea lui ξ_b este 0,55 pentru betoane de clasă maxim C25/30 și 0,50 pentru betoane de clasă mai mare ca C25/30.				

Se face observația că, în cazurile când, din motive de asigurare a rigidității necesare la deplasările laterale sau din alte motive justificate,

secțiunea de beton a stâlpilor este majorată față de cea impusă de dimensionarea la compresiune excentrică, astfel încât armăturile longitudinale rezultă dimensionate constructiv, procente totale de armare minime admise se reduc cu 20 % față de cele din tabelul 1.7, cu condiția ca procentul de armare pe fiecare latură să nu scadă sub: 0,15 % pentru stâlpii din clasa A; 0,10 % pentru stâlpii din clasa B; 0,075 % pentru stâlpii din clasa C. Clasele de ductilitate pentru stâlpi sunt definite în tabelul 1.6.

Tabelul 1.6 – Definierea claselor de ductilitate pentru stâlpi

Gradul de participare a stâlpilor la solicitările din acțiuni seismice		Clasa de stâlpi pentru zona seismică	
		$a_g > 0,08$	$a_g = 0,08$
Participanți la structuri antiseismice	Stâlpi în care pot interveni zone plastice din acțiuni seismice	A	B
	Stâlpi proiectați pentru a rămâne în domeniul elastic sub acțiuni seismice	B	B
	Stâlpi care sub acțiuni seismice rămân în domeniul elastic datorită faptului că din aceste acțiuni le revin solicitări reduse	C	
Neparticipanți la structuri antiseismice		C	

Tabelul 1.7 – Procente minime și maxime de armare longitudinală pt. stâlpi

Clasa stâlpului		A			B			C		
Armăturile longitudinale din oțel:		PC60	PC52	OB37	PC60	PC52	OB37	PC60	PC52	OB37
p (total) minim pentru stâlpi:	interiori	0,50	0,60	0,80	0,50		0,60	0,40		0,50
	marginali	0,60	0,70	0,90	0,60		0,70			
	de colț	0,70	0,80	1,0	0,70		0,80			
Procente minime de armare pe fiecare latura		0,20								
Observație: la construcțiile cu un singur nivel, cu grinzile de acoperiș articulate pe stâlpi, pentru toți stâlpii, inclusiv cei marginali și cei de colț, sunt valabile procente minime de armare date în tabel pentru cazul stâlpilor interiori.										
Procentul total de armare maxim recomandat: 2,5 %.										

Tabelul 1.8 – Procente minime de armare transversală pt. stâlpi

Clasa de stâlp		p_e min [%]	
A	în zone plastice potențiale	$\xi \leq 0,4$	$10 \cdot R_c \cdot (0,4 + n) / R_a$
		$0,4 < \xi \leq \xi_b$	$[10 \cdot R_c \cdot (0,4 + n) / R_a] + [0,5 \cdot (\xi - 0,4)]$
	pe restul înălțimii stâlpului	0,15 %	
B și C		0,10 %	

Observație: $n = N / (b \cdot h \cdot R_c)$; Pentru betoane de clasă cel mult C 25/30 $\xi_b=0,60$ pentru OB37 și $\xi_b = 0,55$ pentru armături PC52 și PC60. Pentru betoane de clasă mai mare ca C 25/30 $\xi_b=0,55$ pentru OB37 și $\xi_b = 0,50$ pentru armături PC52 și PC60.

1.4. Ancorarea și înnădirea armăturilor în beton

Ancorarea barelor de armătură în beton are ca scop principal evitarea smulgerii acestora și atingerea stadiului de cedare prin curgerea oțelului și nu prin smulgerea armăturilor din beton.

Lungimea de ancorare la capătul unei bare, dincolo de secțiunea în care este solicitată maximal, se calculează cu expresia:

$$l_a = \lambda_a \cdot d \quad (1.11)$$

unde d este diametrul barei de armătură iar λ_a se calculează cu relația:

$$\lambda_a = n_{anc} \frac{R_a}{R_t} + \lambda_{a0} \quad (1.12)$$

Valorile n_{anc} și λ_{a0} sunt date în tabelul 1.9 pentru diferite condiții de solicitare și aderență. Pentru armăturile solicitate la întindere ale elementelor din beton armat obișnuit, în cazurile curente, se pot utiliza în relația 1.11 pentru λ_a direct valorile date în tabelul 1.10.

La elementele din beton cu agregate ușoare, în cazul utilizării la armăturile de rezistență a oțelului OB37, lungimile de ancoraj determinate cu relația 1.11 sau cu tabelul 1.9 se majorează cu 50%.

Tabelul 1.9 – Valorile coeficienților n_{anc} și λ_{a0}

Condiții de aderență și de solicitare	Aderență bună, condiții normale de solicitare		Condiții defavorabile de solicitare sau aderență		λ_{a0}
Armături solicitate la:	Valorile n_{anc} pentru oțel:				
	PC60, PC52	OB37	PC60, PC52	OB37	
Întindere	0,05	0,08	0,07	0,12	12
Compresiune	0,03	0,05	0,04	0,07	10

Se consideră ca având condiții defavorabile de solicitare:

- armăturile din zonele plastice potențiale ale elementelor participante la structuri antiseismice, în zonele de seismicitate caracterizate de $a_g > 0,08$;
- armăturile elementelor solicitate la încovoiere de forțe concentrate importante situate la distanțe mai mici de $40d$ față de marginea interioară a celui mai apropiat reazem;
- armăturile elementelor calculate la oboseală.

În cazurile când se cumulează condiții defavorabile de aderență cu condiții defavorabile de solicitare, valorile din tabelul 1.9 se majorează cu 20%.

Tabelul 1.10 – Valorile coeficientului λ_a la elemente curente din b.a.

Oțel	Clasa betonului	Valorile λ_a pentru:		
		Aderență bună, condiții normale de solicitare	Condiții defavorabile de aderență sau de solicitare	Condiții defavorabile de aderență cumulate cu condiții defavorabile de solicitare
PC60	C12/15	35	45	55
	C16/20, C20/25	30	40	50
PC52	C8/10, C12/15	35	45	55
	C16/20, C20/25	30	40	50
OB37	C8/10, C12/15	40	50	60
	C16/20, C20/25	35	45	55

Se consideră ca având condiții defavorabile de aderență:

- armături având o poziție orizontală sau cu o înclinare sub 45° față de orizontală în timpul turnării, în elemente cu înălțimea secțiunii $h \geq 300$ mm situate în jumătatea superioară a elementului;
- armăturile orizontale din elementele verticale având înălțime mare și grosime ≤ 300 mm (pereți structurali, pereți de rezervoare și silozuri etc.);
- alte armături, în cazuri deosebite (pe bază de justificare), la care condițiile de armare, condițiile tehnologice de turnare a betonului sau alte cauze pot influența în sens defavorabil realizarea unei bune aderențe în zona de ancorare (de ex. la pereții executați în cofraje glisante).

Dacă armătura rezultă dintr-o dimensionare constructivă și e solicitată la un efort $\sigma_a < R_a$, în relația 1.12 se va înlocui R_a cu σ_a .

Necesitatea prevederii cârligelor este impusă la barele de tip OB37, cârligul fiind îndoit la 180° și având zona dreaptă de minim $3d$ și raza îndoirii de minim $1,25d$ (fig. 1.3.a) la barele longitudinale. La armăturile transversale cârligul se îndoaie la 135° , zona dreaptă are lungimea minim $5d$ iar raza îndoirii va fi de minim $2,5d$. Lungimea ciocului nu va fi inclusă în lungimea de ancorare, aceasta limitându-se doar la porțiunea dreaptă a barei.

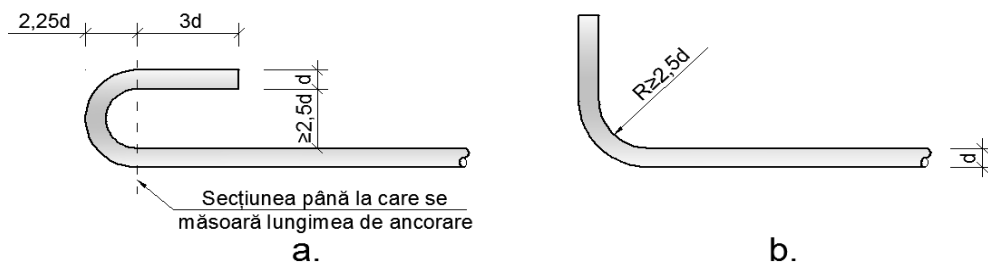


Fig. 1.3 – Modul de realizare a ciocurilor la:
a. – bare OB37; b. – bare PC52 și PC60

Necesitatea prevederii cârligelor nu este obligatorie la barele de tip PC52 și PC60. Dacă se prevăd cârlige, acestea sunt îndoite la 90° și au lungimea de minim $7d$ și raza curburii de minim $2,5d$ (fig. 1.3.b). În acest caz, lungimea desfășurată a ciocului va fi inclusă în lungimea de ancorare l_a . La armăturile constructive și de montaj NU se prevăd ciocuri.

Înnădirea armăturilor este impusă atât din considerente de material (barele având lungimi de 12,0 m sau 18,0 m) cât și din considerente tehnologice (realizarea armăturilor pentru elementele verticale pentru toate etajele simultan nefiind posibilă). Înnădirile se vor amplasa de regula în zonele de efort minim în armătură.

Înnădirea prin sudură este obligatorie pentru barele cu diametrul ≥ 32 mm și este recomandată pentru barele cu diametrul de 25 și 28 mm. Nu se înnădesc prin sudură barele cu diametrul mai mic de 10 mm.

În zonele plastice potențiale participante la structuri antiseismice, se evită înnădirea armăturilor. Dacă acest lucru nu este posibil, se vor realiza prin sudură înnădirile tuturor barelor cu diametrul ≥ 16 mm în cazul elementelor portante verticale ale clădirii (stâlpi, diafragme). Această prevedere este obligatorie numai la nivelul de la baza construcției, adică la baza fundației sau la nivelul încastrării stâlpilor de la parter în pereții de la subsol.

Aceasta prevedere poate fi evitată la construcțiile curente ($H \leq 3$ m) prin prelungirea mustăților de la fundații sau din pereții subsolului până deasupra nivelului următor.

În cazul elementelor supuse la întindere centrică sau întindere cu mică excentricitate înnădirile se fac de obicei prin sudură. Se admite prin excepție ca, la armăturile inelare ale pereților cilindrici sau tronconici ai rezervoarelor, silozurilor, etc. înnădirea să se facă prin suprapunere, cu următoarele condiții:

- armăturile să fie din bare cu profil periodic (PC52, PC60);
- diametrele barelor să fie ≤ 20 mm;
- lungimile de suprapunere l_s să fie $\geq 1,5 \cdot l_a$ (la pereții de silozuri $l_s \geq 2 \cdot l_a$ și $l_s \geq 60d + 200$ mm);
- secțiunile de înnădire să fie decalate astfel ca în aceeași secțiune să nu fie înnădite mai mult de 25% din bare.

Nu se admite folosirea sudurii la înnădirile armăturilor din oțeluri a căror calități fizico-mecanice au fost îmbunătățite pe cale mecanică (sârmă trasă). Interdicția nu se referă și la sudurile prin puncte de la nodurile plaselor sudate executate industrial.

Pentru armăturile din bare laminate la cald, lungimea de suprapunere a înnădirii se determină cu relația:

$$l_s = k_s \cdot l_a \quad (1.13)$$

unde l_a este lungimea de ancorare iar k_s este dat de relația

$$k_s = 1 + 0,5 \cdot r_i \quad \text{pentru \u00een\u0219diri \u00een zone \u00eentinse} \quad (1.14)$$

\u0219i

$$k_s = 1 + 0,25 \cdot r_i \quad \text{pentru \u00een\u0219diri \u00een zone comprimate} \quad (1.15)$$

unde r_i este raportul dintre aria arm\u0103turilor \u00een\u0219dite \u00een sec\u021biunea i \u0219i aria tuturor arm\u0103turilor din aceea\u0219i sec\u021biune.

\u00cenn\u0103dirile se decaleaz\u0103 astfel \u00eenc\u0103t s\u0103 se respecte condi\u021bia $r_i \leq 0,25$ pentru arm\u0103turile de tip OB37 \u0219i $r_i \leq 0,50$ pentru arm\u0103turile de tip PC52 sau PC60.

Pentru elemente solicate la \u00eencovoiere sau compresiune excentric\u0103, dac\u0103 efortul \u00een arm\u0103turile \u00eentinse scade astfel \u00eenc\u0103t la unul din capete s\u0103 devin\u0103 $\sigma_a \leq 0,25 R_a$, se admite ca \u00een rela\u021bia 1.13 s\u0103 se ia $k_s = 1$. Prevederea nu se aplic\u0103 riglelor \u0219i st\u0103lpilor cadrelor participante la structuri antiseismice.

Pentru arm\u0103turile care, sub orice grupare de \u00eenc\u0103rc\u0103ri r\u0103m\u0103n solicate numai la compresiune, lungimea de \u00een\u0219dire va fi: $30d$ pentru betoanele de clas\u0103 $< C20/25$ \u0219i $20d$ \u00een cazul celor de clas\u0103 $\geq C20/25$.

Pentru plase sudate lungimea de suprapunere este:

- la pl\u0103ci:
 - lungimea a dou\u0103 ochiuri + 50 mm dac\u0103 efortul \u00een arm\u0103tur\u0103 sub \u00eenc\u0103rc\u0103rile de calcul este $0,5 \cdot R_a < \sigma_a \leq R_a$;
 - lungimea unui singur ochi + 50 mm dar cel pu\u021bin $40d$ dac\u0103 efortul \u00een arm\u0103tur\u0103 sub \u00eenc\u0103rc\u0103rile de calcul este $\sigma_a \leq 0,5 \cdot R_a$;
- la arm\u0103turile de pe inimile diaframelor:
 - lungimea unui singur ochi + 50 mm dar cel pu\u021bin $40d$ la barele orizontale;
 - lungimea unui singur ochi + 50 mm dar cel pu\u021bin $60d$ \u0219i cel pu\u021bin 300 mm la barele verticale.

La elementele din beton armat la care dimensiunile secțiunii de beton nu permit să se asigure între barele care se înădădesc un spațiu cu grosimea $1,25d$ și cel puțin 25 mm, se permite ca barele să fie juxtapuse fără interspațiu și legate între ele cu sârmă pe lungimea înădăririi.

Înnădirea armăturilor prin sudură se face cu procedee de sudare obișnuite, conform reglementărilor tehnice specifice referitoare la sudarea armăturilor din oțel-beton, în care sunt indicate și lungimile minime necesare ale cordoanelor de sudură.

De regulă, cordoanele de sudură se dispun simetric față de bara de armătură. Cordoanele excentrice sunt admise doar la elementele a căror alcătuire și armare transversală permite preluarea eforturilor suplimentare locale generate de transmiterea excentrică a eforturilor.

Sudurile pot fi realizate prin suprapunere sau cu eclise. La îmbinarea cu sudură prin suprapunere (fig. 1.4) cele două bare se îndoaie astfel ca axele lor să fie în prelungire. În acest caz sunt realizate două cordoane de sudură pentru transmiterea centrică a eforturilor.

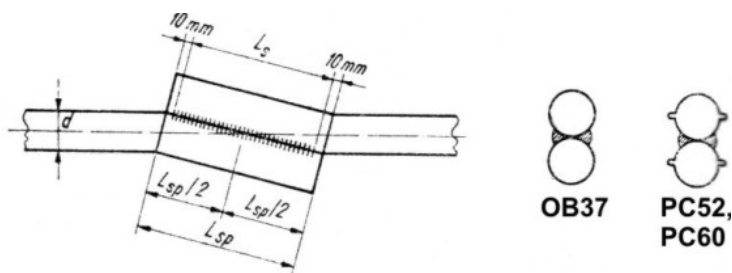


Fig. 1.4 – Realizarea înădăririlor sudate prin suprapunere

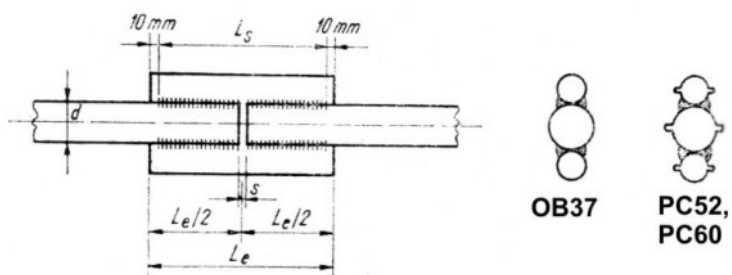


Fig. 1.5 – Realizarea înădăririlor sudate cu eclise

La îmbinarea cu eclise (fig. 1.5) cele două eclise se dispun simetric față de axul barelor iar suma ariilor ecliselor trebuie să fie cel puțin egală cu cea a barelor care se îmbină. În acest caz, sunt prevăzute patru cordoane de sudură pentru transmiterea centrică a eforturilor.

Caracteristicile geometrice ale înnădirilor sunt date în tabelul 1.11.

Tabelul 1.11 – *Caracteristicile înnădirilor prin sudură*

Tipul de oțel		OB37	PC52, PC60
Lungimea sudurii (L_s)		$4 d$	$5 d$
Grosimea sudurii (a)		$0,34 d$	$0,34 d$
Înnădirea prin suprapunere (fig. 1.4)	Lungimea de suprapunere (L_{sp})	$4 d + 20 \text{ mm}$	$5 d + 20 \text{ mm}$
Înnădirea cu eclise (fig. 1.5)	Lungimea ecliselor (L_e)	$4 d + 20 \text{ mm}$	$5 d + 20 \text{ mm}$
	Rostul dintre capetele barelor	$1 \dots 2 \text{ mm}$	$1 \dots 2 \text{ mm}$

1.5. Acoperirea cu beton a armăturilor

Stratul de acoperire cu beton trebuie să asigure condiții favorabile de aderență a armăturilor și protecția acestora împotriva acțiunii agenților fizici și chimici ai mediului în care este situat elementul de construcție.

Grosimea lui se stabilește diferențiat în funcție de: tipul de element, diametrul armăturilor, condițiile de expunere la intemperii și la umiditate ridicată, condiții de expunere la medii cu agresivitate chimică ridicată, clasa betonului, gradul de rezistență la foc cerut construcției.

Din punct de vedere al condițiilor de expunere la acțiunea intemperiilor și umidității ridicate, în medii considerate fără agresivitate chimică, elementele de construcție se clasifică în patru categorii, prezentate în tabelul 1.12.

Grosimea minimă a stratului de acoperire cu beton a armăturii în medii fără agresivitate chimică este prezentată în tabelul 1.13. Referitor la valorile din tabelul 1.13 se fac următoarele observații:

- în cazul elementelor din beton de clasa C8/10 sau C12/15 valorile din tabel se sporesc cu 5 mm;

Tabelul 1.12 - *Definirea categoriilor de expunere a elementelor*

Categoria	Definire
I	Elemente situate în spații închise (fețele spre interior ale elementelor structurale din clădiri civile, inclusiv cele din grupurile sanitare și bucătăriile apartamentelor de locuit și din hale industriale închise, cu umidități relative interioare $\leq 75\%$). Elemente în contact cu exteriorul, dacă sunt protejate prin tencuire sau printr-un alt strat de protecție echivalent.
II	Elemente situate în aer liber, neprotejate, cu excepția celor expuse la îngheț și dezgheț în stare umedă. Elemente aflate în spații închise cu umiditatea relativă interioară peste 75%; hale industriale cu umiditatea superioară acestei limite, acoperișurile rezervoarelor și bazinelor, grupurile sanitare și bucătăriile din construcțiile cu utilitate publică, subsolurile neîncălzite ale clădirilor etc.
III	Elemente situate în aer liber, expuse la îngheț și dezgheț în stare umezită. Elemente situate în spații închise în halele industriale cu condens tehnologic (hale cu degajări de abur etc.). Fețele elementelor în contact cu apa sau cu alte lichide fără agresivitate chimică (ex.: pereții și fundul rezervoarelor, bazinelor și cuvelor castelelor de apă). Fețe în contact cu pământul ale elementelor prefabricate și ale celor monolite turnate în cofraj (grinzi, stâlpi, pereți etc.) sau pe beton de egalizare.
IV	Fețele în contact cu pământul ale elementelor din beton armat monolit turnate direct în săpături (fundații, ziduri de sprijin etc.).

- în toate cazurile, grosimea stratului de acoperire va fi de cel puțin $1,2d$ (d = diametrul armaturilor);
- la pereți, valorile din paranteză sunt date pentru pereții turnați în cofraj glisant;
- la elementele structurale din categoriile I sau II care au la baza o porțiune subterană (intrând în categoria III), se poate menține și pe aceasta porțiune aceeași grosime a stratului de acoperire ca și la partea supraterană, realizând diferența de grosime necesară la partea subterană prin tencuire cu mortar de ciment de marca $\geq M100$;
- la panourile mari prefabricate de fațadă, grosimea stratului de acoperire depinde de natura finisajelor și a termoizolațiilor;

Tabelul 1.13 – *Grosimea minimă a stratului de acoperire cu beton pentru medii fără agresivitate chimică*

Armături	Tipul de element	Grosimea minimă a stratului de acoperire cu beton, în mm, pentru elemente de clasa $\geq C16/20$, din categoriile:					
		I		II		III	IV
		monolite sau preturnate	prefabricate uzinate	monolite sau preturnate	prefabricate uzinate		
Longitudinale	Plăci plane și curbe						
	Nervuri dese cu lățime ≤ 150 mm ale planșelor	10	10	15	15	20	-
	Pereți	15 (30)	10	20 (30)	15	30	45
	Grinzi, stâlpi, bulbii diaframelor	25	20	30	25	35	-
	Fundații Fundurile rezervoarelor și ale castelelor de apă	-	-	-	-	35	45
Transversale	Etrieri Bare transversale ale carcaselor sudate	15	10	15	15	20	25

- pentru elementele din categoria IV, valorile sporite ale stratului de acoperire au în vedere și neplaneitățile inevitabile ale suprafeței de contact dintre element și pământ; de asemenea, valorile se referă și la cazul când elementele respective sunt în contact cu apa subterană, dacă aceasta nu prezintă agresivitate chimică;

- la elementele din categoria III care se află în contact direct cu lichide, dacă fețele de contact cu lichidul sunt protejate prin tencuire sau prin placare cu faianță, se poate reduce grosimea minimă a stratului de acoperire cu beton, adoptându-se valorile din tabel pentru elementele din categoria II;
- la elementele din categoria II, grosimile minime se sporesc cu 5 mm dacă elementele sunt realizate din beton cu agregate ușoare;
- grosimea stratului de acoperire cu beton a armăturilor longitudinale va fi de regula multiplu de 5 mm, obținută prin rotunjirea în plus sau cu cel mult 2 mm în minus a valorii determinate pe baza prevederilor de mai sus;
- la plăci și la pereți, grosimile minime ale stratului de acoperire date în tabel, condiția $1,2d$ și prevederea anterioară se raportează la armăturile de pe primul rând.

Pentru elementele supuse acțiunii mediului salin al Mării Negre, sunt prezentate în tabelele 1.14 și 1.15 acoperirile specifice cu beton. În tabelul 1.14 sunt prezentate grosimile suplimentare ce trebuie adoptate pentru elementele supuse agresivității atmosferice a Mării Negre iar în tabelul 1.15 grosimile minime ale elementelor expuse la acțiunea apei de mare.

Tabel 1.14 – *Elemente expuse la agresivitatea atmosferică a Mării Negre*

Regim de înălțime	Categorie	Gradul de agresivitate al atmosferei	Sporuri la grosimea minimă a stratului de acoperire cu beton a armăturilor față de valorile din tab. 1.12 pentru elemente din b.a. [mm]	
			monolite sau preturnate pe șantier	prefabricate uzinate
normal	I	oricare	0	0
moderat	II	slabă	5	10
		intensă	10	10
sever	III	slabă	10	10
		intensă	15	10

Tabel 1.15 – Elemente expuse la agresivitatea apei de mare a Mării Negre

Gradul de agresivitate al apei		Grosimea minimă a stratului de acoperire cu beton a armăturii [mm]	
		fără folosirea de inhibitori	cu folosirea de inhibitori
Slabă		40	30
Intensă	piloți prefabricați	40	30
	alte elemente	70	50

Pentru stabilirea grosimilor straturilor de acoperire cu beton a armăturilor elementelor amplasate în medii agresive din punct de vedere chimic, trebuie mai întâi stabilite grupele de concentrație pentru diferite gaze agresive chimic (tabel 1.16).

Apoi, se definesc patru clase de agresivitate chimică a mediului: foarte slabă, slabă, medie și puternică (tabelul 1.17).

În final, sunt prezentate grosimile minime de acoperire cu beton a armăturilor situate în medii agresive din punct de vedere chimic (tabelul 1.18).

Tabelul 1.16 – Definirea grupelor de concentrații pentru gazele agresive

Denumirea gazului	Formula chimică	Concentrația [mg gaz/mc aer]		
		Grupe de concentrație a gazelor		
		A	B	C
Bioxid de sulf	SO ₂	< 0,10	0,10 - 5,0	5,1 - 50
Hidrogen sulfurat	H ₂ S	< 0,01	0,01 - 0,5	0,51 - 5
Acid fluorhidric	HF	< 0,02	0,02 - 0,5	0,51 - 5
Clor	Cl ₂	< 0,05	0,05 - 0,5	0,51 - 2
Acid clorhidric	HCl	< 0,05	0,05 - 1,0	1,1 - 10
Amoniac	NH ₃	< 0,10	0,10 - 5,0	5,1 - 50
Oxid de azot	NO, NO ₂	< 0,05	0,05 - 1,0	1,1 - 10

Tabelul 1.17 – Definirea claselor de agresivitate chimică a mediului

Clasa de agresivitate a mediului	Umiditatea relativa a aerului [%]	Caracteristicile gazelor agresive
I. Foarte slabă	61...75	fără gaze agresive *
	≤ 60	gaze agresive grupa A
II. Slabă	intemperii si umiditate predominanta peste 75%	fără gaze agresive *
	61...75	gaze agresive grupa A
	≤ 60	gaze agresive grupa B
III. Medie	> 75	gaze agresive grupa A
	61...75	gaze agresive grupa B
	≤ 60	gaze agresive grupa C
IV. Puternică	> 75	gaze agresive grupa B
	61...75	gaze agresive grupa C pulberi agresive
* Se aplica tabelul 1.12 (condiții normale de mediu).		

Tabelul 1.18 – Grosimea minimă a stratului de acoperire cu beton pentru medii cu agresivitate chimică

Clase de agresivitate a mediului	Grosimea minimă a stratului de acoperire cu beton [mm]				
	plăci plane și curbe	pereți	grinzi		stâlpi, bulbii diaframelor
			armături de rezistență	armături constructive	
Foarte slabă	15	20 (30)	30	conform tabelului 1.12	30
Slabă	15	20 (30)	30		35
Medie	20	30	35	conf. tab. 1.12 dar ≥ 2,5	40
Puternică	20	35	40		45
Obs.: valorile din paranteză sunt date pentru pereții turnați în cofraj glisant.					

1.6. Corespondența notațiilor românești cu cele europene

Deoarece codurile de proiectare românești vor fi armonizate cu cele europene, se consideră utilă prezentarea corespondenței dintre principalele notații folosite la redactarea acestora (tabelul 1.19).

Tabelul 1.19. – *Corespondența dintre notațiile europene și cele românești*

Nr. curent	Notații după EC2	Semnificația notației	Notații folosite în România
1	A_c	Aria totală a secțiunii transversale de beton	A_b
2	A_{ct}	Aria secțiunii betonului din zona întinsă până la apariția primei fisuri	A_{bt}
3	$A_{ct,eff}$	Aria efectivă a secțiunii întinse de beton	$A_{bt,ef}$
4	A_s (A_{s1})	Aria secțiunii armăturii longitudinale întinse, la starea limită ultimă	A_a
5	A_{s2}	Aria secțiunii armăturii longitudinale comprimate, la starea limită ultimă	A'_a
6	A_{sl}	Arie suplimentară a armăturii longitudinale necesară în calculul la torsiune	A_{al}
7	A_{st} A_{sw}	Aria secțiunii unei bare a armăturii transversale pentru preluarea forței tăietoare	A_{et} A_{ai}
8	ϕ_s	Diametrul armăturii longitudinale	d
9	ϕ_t	Diametrul armăturii transversale	d_t
10	U_s	Perimetrul armăturii longitudinale a cărei arie este A_s	u
11	C	Clasa de rezistență a betonului	C (fost B_c)
12	E_c $E_{c(28)}$	Modulul de elasticitate tangent al betonului de greutate normală la 28 zile	E_b
13	E_{cd}	Valoarea de calcul a modulului de elasticitate secant	E'_b
14	E	Modulul de elasticitate al armăturii	E_a
15	F_c	Rezultanta eforturilor unitare de compresie în beton într-o secțiune critică, la starea limită ultimă	C_b
16	F_s	Rezultanta eforturilor unitare din armătura întinsă, într-o secțiune critică, la starea limită ultimă	T_a
17	G_d	Valoarea de calcul a unei acțiuni permanente	G_d
18	G_k	Valoarea caracteristică a unei acțiuni permanente	G_k
19	I_c	Momentul de inerție al secțiunii brute de beton în raport cu axa centrului de greutate	I_b
20	G_d	Valoarea de calcul a unei acțiuni variabile	G_d
21	G_k	Valoarea caracteristică a unei acțiuni variabile	G_k
22	$M_{sd}, N_{sd}, V_{sd}, T_{sd}$	Valoarea de calcul a eforturilor secționale	M, N, Q, M_t

23	M_{yd}	Valoarea momentului încovoietor care produce efortul f_{yd} în armătură	-
24	M_{yk}	Valoarea momentului încovoietor care produce efortul f_{yk} în armătură	-
25	R_d	Valoarea de calcul a unui efort capabil	S_{cap}
26	V_{cd}	Forța tăietoare capabilă a betonului din zona comprimată	Q_b
27	V_{wd}	Forța tăietoare capabilă a armăturii transversale	Q_{ai} Q_{et}
28	b	Lățimea totală a secțiunii transversale sau a tălpii, la grinzile în formă de T sau L	b, b_p
29	b_w	Lățimea nervurii (inimii) la grinzile cu secțiunea în formă de T sau L	b
30	c	Acoperirea minimă cu beton a armăturii	a_b
31	d	Înălțimea utilă a secțiunii transversale	h_0
32	f_{bd}	Valoarea de calcul a efortului maxim de aderență	τ_{max}
33	σ_c	Tensiunea de compresiune în beton	σ_b
34	f_c	Rezistența la compresiune a betonului	R_b
35	$f_{ck} (f_{ck0.05})$	Rezistența caracteristică a betonului la compresiune determinată pe cilindru, la 28 zile	R_{ck}
36	$f_{cd} (f_{ck}/\gamma_c)$	Rezistența de calcul la compresiune a betonului determinată pe cilindri	R_c
37	$f_{ck,cub}$	Rezistența caracteristică a betonului, determinată pe cub, la 28 zile	$R_{bk} (R_{bmin5\%})$
38	f_{cm}	Rezistența medie la compresiune determinată pe cilindri (EC2), respectiv pe cuburi (STAS 10.107/0-90)	\overline{R}_b
39	$f_{ctk 0.05}$	Rezistența caracteristică la întindere a betonului (fractilul 5%)	$\frac{R_{tk}}{0.22(R_{ck})^{2/3}}$
40	f_{ctm} $(0.30 f_{ck}^{2/3})$	Valoarea medie a rezistenței la întindere a betonului	$\frac{\overline{R}_t}{0.22(\overline{R}_b)^{2/3}}$
41	$f_{ctk 0.05}/\gamma_c$	Rezistența de calcul la întindere a betonului	R_t
42	f_y	Limita de curgere a armăturii	σ_c
43	f_{yk}	Rezistența caracteristică de curgere a armăturii	R_{ak}
44	f_{yd} (f_{yk}/γ_s)	Rezistența de calcul a armăturii longitudinale	R_a
45	f_{ywd}	Rezistența de calcul a armăturii longitudinale	R_{at}
46	e_a	Excentricitatea adițională care acoperă imperfecțiunile geometrice în execuție	e_a
47	$e_0 = M_s/N_s$	Excentricitatea de ordinul I a forței de compresiune	$e_0 = M/N$
48	l	Lungimea (deschiderea) elementului	l
49	$L_{b, min}$	Lungimea minimă de ancorare	l_a
50	h_t	Înălțimea tălpii unei secțiuni în formă de T sau L	h_p
51	s	Distanța dintre etrieri	a_e

52	s_m	Distanța medie finală dintre fisuri	λ_f
53	x	Valoarea absolută a înălțimii zonei comprimate de beton	x
54	x/d	Valoarea relativă a înălțimii zonei comprimate de beton	ξ
55	w_k	Deschiderea medie de calcul a fisurii	α_f
56	α_c (E_s/E_c)	Valoarea coeficientului de echivalență	n (E_a/E_b)
57	α	Unghiul armăturilor înclinate pentru preluarea forței tăietoare, față de axa longitudinală a elementului	α
58	γ_c (γ_m)	Coeficient parțial de siguranță al betonului folosit la determinarea rezistențelor de calcul	γ_{bc} γ_{bt}
59	γ_s (γ_m)	Coeficient parțial de siguranță al armăturii folosit la determinarea rezistenței de calcul	γ_a
60	ε_c	Deformația specifică la compresiune a betonului	ε_b
61	$\varepsilon_{cs\sigma}$	Deformația specifică finală a contracției pentru betonul de greutate normală	ε_c
62	ε_{cs}	Deformația specifică de bază a contracției pentru betonul de greutate normală	— ε_c
63	ε_{ct}	Deformația specifică la întindere a betonului	ε_t
64	ε_{cl}	Deformația specifică la compresiune sub efort maxim	ε_{bmax}
65	ε_{cu}	Deformația specifică ultimă la compresiune a betonului	ε_{bu}
66	ε_s	Deformația specifică a armăturii într-o secțiune fisurată	ε_a
67	ε_{sm}	Deformația medie a armăturii longitudinale care ia în considerare contribuția betonului întins situat între fisuri la preluarea eforturilor	ε_{am}
68	η	Factor de conversie afectat rezistenței materialelor determinate experimental și mărimile efective ale acestora care se manifestă în structura reală	m_a m_{bc} m_{bt}
69	λ	Coeficient de zvelțe	λ
70	ρ	Densitatea betonului de greutate normală	γ_b
71	ρ_l	Coeficient de armare corespunzător armăturii longitudinale întinse existentă într-o secțiune	μ_a
72	ρ_w	Coeficient de armare corespunzător armăturii prevăzute pentru preluarea forței tăietoare	μ_e
73	σ_s	Efort unitar în armătura longitudinală întinsă, calculat într-o secțiune fisurată la un anumit nivel de încărcare	σ_a
74	σ_{sf}	Efort unitar în armătura longitudinală întinsă, calculat în secțiunea fisurată, corespunzător încărcării de fisurare	σ_{a2}

2. EVALUAREA ÎNCĂRCĂRILOR

2.1. Evaluarea încărcărilor permanente

Evaluarea încărcărilor permanente se face conform STAS 10101/1-1978. În standard sunt date atât greutatea tehnică pe m^3 ale diverselor materiale, cât și încărcările pe m^2 sau pe bucată pentru diverse materiale de construcții. Pentru obținerea încărcării finale se înmulțește greutatea tehnică cu unitatea de volum sau de suprafață aferentă.

În continuare sunt prezentate greutatea tehnică și încărcările permanente pentru principalele materiale ce se regăsesc în domeniul ingineriei civile. Se face observația că, la data elaborării standardului de încărcări permanente, betoanele erau clasificate după marca acestora iar în prezent ele sunt departajate prin clase. În tabelele 2.1...2.5 s-a păstrat notația inițială din standard cu mențiunea că se poate aplica echivalența marcă-clasă prezentată în tabelul 1.3.

Tabelul 2.1 – *Greutăți tehnice pe m^3 ale diverselor materiale*

Nr. crt.	Denumire material	Greutatea [daN/m ³]
1. Piatra de construcții în blocuri		
1.1.	<i>Roci magmatice (eruptive):</i>	
	- ardezit, trahit	2,600
	- bazalt, diorit	3,000
	- granit, profir, sienit, dacit	2,800
1.2.	<i>Roci sedimentare:</i>	
	- calcar compact	2,700
	- calcar poros, cochilifer	2,300
	- gresii	2,600
	- travertin	2,600
	- tufuri vulcanice	1,800
1.3.	<i>Roci metamorfice:</i>	
	- ardezie, gnais	2,800

	- marmura	2,800
2. Lemn de construcții		
2.1.	<i>Foioase (fag, gorun, salcâm, stejar):</i>	
	- uscat în aer (15% umiditate)	800
	- proaspăt tăiat sau umed	1,000
2.2.	<i>Rășinoase (brad, larice, molid, pin):</i>	
	- uscat în aer (15% umiditate)	600
	- proaspăt tăiat sau umed	800
	- cherestea de brad așezată în stive	500
Observații:		
a) în greutatea tehnică a lemnului de construcții uscat în aer este cuprinsă și greutatea fierării mărunte (cuie, buloane etc.), a panelor etc.; restul fierării (tiranți, gusee, saboți) se consideră separat;		
b) greutatea tehnică a lemnului se măresc cu 100 daN/m ³ pentru lemnul impregnat.		
3. Metale		
3.1.	<i>Alamă laminată</i>	8,600
3.2.	<i>Aliaje de aluminiu</i>	2,800
3.3.	<i>Aluminiu</i>	2,700
3.4.	<i>Bronz</i>	8,600
3.5.	<i>Cositor</i>	7,400
3.6.	<i>Cupru laminat</i>	8,900
3.7.	<i>Fontă</i>	7,250
3.8.	<i>Oțel de construcții</i>	7,850
3.9.	<i>Plumb</i>	11,400
3.10.	<i>Zinc laminat</i>	7,200
3.11.	<i>Zinc turnat</i>	6,900
4. Betoane de ciment		
4.1.	<i>Beton simplu (cu pietriș sau piatră spartă)</i>	2,400
4.2.	<i>Beton armat (cu pietriș sau piatră spartă)</i>	2,500
4.3.	<i>Beton cu agregate din spărturi ceramice</i>	1,800
4.4.	<i>Beton cu agregate din zgură expandată:</i>	
	- marca B 15...50	1,400
	- marca B 75	1,800

	- marca B 100...150	2,000
4.5.	<i>Betoane cu agregate vegetale, conform prescripțiilor speciale</i>	650...1,000
4.6.	<i>Beton cu granulat:</i>	
	- marca B 10	700
	- marca B 15...75	1,100
	- marca B 100	1,300
	- marca B 150	1,700
4.7.1.	<i>BCA produs pe baza de nisip (GBN) în stare uscată:</i>	
	- marca GB 25	500
	- marca GB 35	600
	- marca GB 50	700
4.7.2.	<i>BCA produs pe baza de cenușă (GBC), în stare uscată:</i>	
	- marca GB 25	550
	- marca GB 50	750
4.7.3.	<i>BCA produs pe baza de nisip (GBN) în stare umedă:</i>	
	- marca GB 25	600
	- marca GB 35	720
	- marca GB 50	840
4.7.4.	<i>BCA produs pe baza de cenușă (GBC), în stare umedă:</i>	
	- marca GB 25	690
	- marca GB 50	940

Observații:

a) în cazul utilizării în proiectul de construcție a unui beton cu o greutate tehnică mai mică decât a betonului obișnuit, se va indica în proiect greutatea tehnică respectivă și prescripția oficială care reglementează tehnologia acestui beton;

b) greutatea tehnică a betonului proaspăt turnat se ia mai mare ca aceea a betonului uscat, din tabel, cu 200 daN/m³;

c) greutatea tehnică a betonului armat de 2,500 daN/m³ corespunde unei armături de 100 daN/(m³ beton). Calculul exact se poate face cunoscând cantitatea de armătură dintr-un m³ de beton și greutatea tehnică a betonului simplu de 2,400 daN/m³;

d) greutatea tehnică a betonului armat cu armătură rigidă se determină ca suma greutateilor tehnice ale betonului și armăturii dintr-un m³.

5. Mortare		
5.1.	<i>Mortar de ciment:</i>	
	- întărit	2,100
	- proaspăt	2,200
5.2.	<i>Mortar de ciment-var:</i>	
	- întărit	1,900
	- proaspăt	2,000
5.3.	<i>Mortar din var sau ipsos:</i>	
	- întărit	1,700
	- proaspăt	1,900
5.4.	<i>Pasta de ipsos:</i>	
	- întărită	1,200
	- proaspătă	1,400
5.5.	<i>Mortar de argilă:</i>	
	- întărit	1,600
	- proaspăt	1,800
6. Cărămizi si blocuri pentru zidărie		
6.1.	<i>Cărămizi pline presate pe cale umedă (STAS 457-71):</i>	
	- clasa C1	1,300
	- clasa C2	1,500
	- clasa C3	1,800
6.2.	<i>Cărămizi și blocuri ceramice cu goluri verticale:</i>	
	- clasa C1	1,300
	- clasa C2	1,500
6.3.	<i>Cărămizi găurite cu lambă și uluc:</i>	
	- clasa C0	1,000
	- clasa C1	1,300
	- clasa C2	1,500
6.4.	<i>Cărămizi și blocuri cu goluri orizontale:</i>	
	- clasa C0	1,000
	- clasa C1	1,300
6.5.1.	<i>Cărămizi refractare magnezitice și magnezitocromitice arse</i>	2,900

6.5.2.	<i>Căramizi refractare dolomitice stabilizate</i>	2,600
6.5.3.	<i>Căramizi silico-calcare pline</i>	1,900
6.5.4.	<i>Căramizi termo-izolatoare din diatomit</i>	300...1,100
6.6.	<i>Produse refractare termoizolatoare silico-aluminoase fără adaos de substanțe combustibile</i>	
	- tip I - RB 12	1,200
	- tip I - RB 11	1,400
6.7.	<i>Produse refractare termoizolatoare silico-aluminoase cu adaos de substanțe combustibile</i>	
	- tip IC - C 10	1,000
	- tip IC - C 12	1,200
	- tip IC - C 11	1,400
6.8.	<i>Produse refractare termoizolatoare silico-aluminoase arse cu adaos de spumant</i>	
	- tip IS - RC 06	600
	- tip IS - RD 06	600
	- tip IS - RE 06	600
	- tip IS - RC 08	800
	- tip IS - RD 06	800
	- tip IS - RE 06	800
	- tip IS - RC 10	1,000
	- tip IS - RD 10	1,000
	- tip IS - RE 10	1,000
6.9.	<i>Blocuri mici din beton, pline sau cu goluri, cu agregate ușoare</i>	
	- clasa C1	1,300
	- clasa C2	1,500
	- clasa C3	1,800
6.10.	<i>Blocuri mici din BCA tip GBN (produs pe bază de nisip), pentru zidărie portantă</i>	
	- marca GB 35	720
	- marca GB 50	840
6.11.	<i>Blocuri mici din BCA tip GBC (produs pe baza de cenușă), pentru zidărie portantă</i>	

	- marca 50	940
Observații: a) valorile greutateilor tehnice ale cărămizilor și blocurilor pentru zidărie indicate la acest punct, servesc la calculul greutateilor tehnice ale zidărilor corespunzătoare (a se vedea nr. crt. 7); greutatea tehnică a stivelor de cărămizi sau de blocuri de zidărie se va lua cu 25% mai mică decât valorile specificate la acest punct.		
7. Zidărie		
7.1.	<i>Zidărie din cărămizi pline presate pe cale umedă (STAS 457-71):</i>	
	- clasa C1	1,450
	- clasa C2	1,600
	- clasa C3	1,850
7.2.	<i>Zidărie din cărămizi cu goluri verticale:</i>	
	- clasa C1	1,450
	- clasa C2	1,600
7.3.	<i>Zidărie din blocuri mici cu goluri din beton cu agregate ușoare</i>	
	- clasa C1 (cu agregate de Pătîrlagele sau granulit)	1,200
	- clasa C1 (cu alte agregate)	1,350
	- clasa C2	1,550
7.4.	<i>Zidărie din blocuri mici sau plăci de BCA de tipul GBC</i>	
	- marca 50	1,050
7.5.	<i>Zidărie din blocuri mici sau plăci de BCA de tipul GBN</i>	
	- marca GB 35	850
	- marca GB 50	950
Observații: a) valorile date nu cuprind greutatea tehnică a tencuielii; b) greutatea tehnică a zidăriei se determină însumând greutateile tehnice ale cărămizilor, blocurilor sau pietrelor de construcție și a mortarului utilizate pentru 1 m ³ de zidărie; c) procentul volumului de mortar raportat la volumul zidăriei se ia egal cu: <ul style="list-style-type: none"> ▪ 10% la zidăriile din blocuri; ▪ 15% la zidăriile din piatră lucrată; ▪ 25% la zidăriile din cărămidă și piatră cioplită; ▪ 35% la zidăriile din piatră brută; d) greutateile tehnice ale zidărilor prezentate la pct. 7 corespund unui mortar		

cu greutatea tehnică de 1900 daN/m ³ (după întărire).		
8. Plăci pentru pereți, pardoseli, izolații etc.		
8.1.	Foi de plută aglomerată din materiale plastice	350
8.2.	Linoleum, diferite grosimi	1,200
8.3.	Pâslă minerală cu liant bituminos (foi de grosime de 20, 30, 40, 50, 60, 80, 100 mm)	250
8.4.	Plăci de azbest	1,200
8.5.	Plăci din granule de plută expandată și aglomerată cu bitum	180
8.6.	Plăci de plută expandată (superex)	150
8.7.	Plăci de stuf (stufit):	
	- tip S, grosimi de 30, 40, 50 mm;	160
	- tip L, grosimi de 35, 50 mm;	210
	- tip C, grosimi de 35, 50 mm.	280
8.8.	Plăci de xilolit	1,600
8.9.	Plăci din fibre de lemn, dure și extradure PFL (grosimi de 3.2, 4, 5, 6, 7 mm);	900
8.10.	Plăci rigide din PVC pentru pardoseli (grosimi de 1.5 ± 0.2 mm și 2.0 ± 0.1 mm)	1,860
8.11.	Plăci rigide din PFL pentru placaje interioare (grosime de 1.3 ± 0.1 mm)	1,860
8.12.	Plăci din vată minerală (grosimi de 20, 30, 40, 50, 60, 70, 80 mm)	350
8.13.	Plăci presate PAL	650
8.14.	Plăci din BCA tip GBN (produs pe bază de nisip) pentru izolații termice	600
8.15.	Plăci din BCA tip GBC (produs pe bază de cenușă) pentru izolații termice	690
8.16.	Plăci (fâșii) din BCA tip GBN (produs pe bază de nisip) pentru zidării	720 și 840
8.17.	Plăci (fâșii) din BCA tip GBC (produs pe bază de cenușă) pentru zidării	940

9. Diverse materiale de construcții		
9.1.	<i>Argilă, lut, pământ galben pentru umplutură</i>	1,800
9.2.	<i>Balast sub cale</i>	2,000
9.3.	<i>Beton asfaltic</i>	2,400
9.4.	<i>Bitum</i>	1,200
9.5.	<i>Caolin în saci</i>	2,400
9.6.	<i>Ciment</i>	
	- vărsat, afânat;	1,250
	- îndesat (în siloz);	1,600
	- în saci;	1,400
9.7.	<i>Granulit ușor, în grămadă afânată, uscat, pentru izolații</i>	600
9.8.	<i>Ipsos pentru modelaj:</i>	
	- în siloz;	1,100
	- în saci;	900
9.9.	<i>Ipsos pentru pardoseli:</i>	
	- în siloz;	1,200
	- în saci;	1,000
9.10.	<i>Masă celulară "Ampora"</i>	30
9.11.	<i>Moloz cu sfărâmituri de cărămidă (alicație)</i>	1,400
9.12.	<i>Nisip:</i>	
	- uscat;	1,600
	- umed natural;	1,900
9.13.	<i>Pământ uscat pentru umplutură</i>	1,600
9.14.	<i>Pământ umed</i>	1,800
9.15.	<i>Pavele, calupuri stivuite</i>	1,800
9.16.	<i>Piatră brută și bolovani în grămadă</i>	1,600
9.17.	<i>Piatră de mozaic și savura:</i>	
	- vărsată;	1,300
	- în saci;	1,200
9.18.	<i>Piatră spartă (concasată)</i>	1,500
9.19.	<i>Pietriș:</i>	

	- uscat;	1,600
	- umed;	1,700
9.20.	<i>Plăci ceramice, faianță și geamuri ambalate</i>	1,100
9.21.	<i>Polistiren expandat</i>	20
9.22.	<i>Praf de piatră expandat:</i>	
	- vărsat, afânat;	1,300
	- în saci;	1,200
9.23.	<i>Praf hidrofob, pus în lucru, în stare îndesată</i>	1,000
9.24.	<i>Spumă rigidă de polistiren</i>	60
9.25.	<i>Sticlă</i>	
	- obișnuită;	2,600
	- organică;	1,200
9.26.	<i>Tras:</i>	
	- vărsat, afânat;	800
	- îndesat;	1,100
	- în saci;	900
9.27.	<i>Var hidraulic vărsat</i>	1,200
9.28.	<i>Var în pastă</i>	1,400
9.29.	<i>Var nestins în bulgări</i>	1,000
9.30.	<i>Var nestins în praf:</i>	
	- îndesat;	800
	- în saci;	700
9.31.	<i>Vată minerală sub încărcarea de 0.2 N/cm^2</i>	100
9.32.	<i>Vată de sticlă sub încărcarea de 0.2 N/cm^2</i>	100
9.33.	<i>Zgură expandată în grămadă, în stare afânată și uscată:</i>	
	- 0...7 mm	1,000
	- 7...30 mm.	700
10. Combustibili		
10.1.	<i>Antracit:</i>	
	- în stare brută;	1,300
	- în bulgări;	1,000
	- în praf afânat;	1,100
	- în praf, în siloz;	1,200

10.2.	<i>Benzină</i>	750
10.3.	<i>Brichete de lignit stivuite</i>	1,250
10.4.	<i>Cărbune brun:</i>	
	- în bulgări;	850
	- în praf, afănat;	900
	- în praf, în siloz;	1,000
10.5.	<i>Cărbune de lemn (mangal)</i>	300
10.6.	<i>Cocs</i>	500
10.7.	<i>Huilă:</i>	
	- în stare brută;	900
	- în bulgări;	800
	- în praf, afănată;	800
	- în praf, în siloz;	1,000
10.8.	<i>Lemn de foc, tăiat în grămadă</i>	400
10.9.	<i>Lignit:</i>	
	- în stare brută;	800
	- în bulgări;	800
	- în praf, afănată;	900
	- în praf, în siloz;	1,000
10.10.	<i>Motorină, păcură, țiței, uleiuri minerale</i>	1,000
10.11.	<i>Petrol lampant</i>	820
10.12.	<i>Rumeguș de lemn</i>	200
10.13.	<i>Strunjitură de lemn sau talaș:</i>	
	- afănată;	150
	- presată în pachet;	250
10.14.	<i>Turbă tăiată și uscată</i>	500
11. Produse agricole și alimentare		
11.1.	<i>Băuturi (sticle în lăzi)</i>	800
11.2.	<i>Brânză în cutii de lemn</i>	600
11.3.	<i>Brânză topită (în cutii)</i>	700
11.4.	<i>Cacao</i>	550

11.5.	<i>Cafea boabe vărsate</i>	750
11.6.	<i>Carne înghețată:</i>	
	- de vită, în sfert;	450
	- de vită, în jumătăți;	350
	- de porc, în jumătăți;	500
	- în blocuri mici așezate în lăzi;	700
11.7.	<i>Cartofi, zarzavaturi și rădăcinoase:</i>	
	- în vrac;	750
	- în saci;	650
11.8.	<i>Castraveți, varză, ardei</i>	600
11.9.	<i>Cereale, leguminoase, semințe de in, trifoi și altele</i>	750
11.10.	<i>Conserve în lăzi</i>	800
11.11.	<i>Făină de grâu, mălai</i>	600
11.12.	<i>File de pește înghețat, ambalat</i>	900
11.13	<i>Fân:</i>	
	- nepresat (până la 3 m înălțime)	100
	- presat	250
11.14.	<i>Fructe</i>	500
11.15.	<i>Hamei în saci</i>	170
11.16.	<i>Iarbă și trifoi presate</i>	350
11.17.	<i>In în baloturi presate</i>	300
11.18.	<i>Lapte:</i>	
	- în butoaie sau bidoane	650
	- în sticle și lăzi descoperite	750
11.19.	<i>Malț incolțit</i>	200
11.20.	<i>Marmeladă, dulceață, gem, magiun</i>	1,300
11.21.	<i>Mezeluri ambalate în lăzi</i>	500
11.22.	<i>Nutreț verde conservat</i>	1,000
11.23.	<i>Ouă în lăzi</i>	350
11.24.	<i>Paie și pleavă:</i>	
	- afânate (până la circa 3 m înălțime)	50
	- presate	250

11.25.	<i>Păsări înghețate, ambalate în lăzi</i>	450
11.26.	<i>Pește înghețat, ambalat în lăzi</i>	700
11.27.	<i>Porumb și știuleți</i>	450
11.28.	<i>Sare de bucătărie:</i>	
	- rocă	2,200
	- bulgări	1,300
	- măcinată vărsată	1,200
	- măcinată în saci	1,150
11.29.	<i>Săpun:</i>	
	- simplu, în lăzi	1,000
	- de toaletă, în lăzi	800
11.30.	<i>Semințe de:</i>	
	- grâu, secară, orez	800
	- porumb boabe, orz	700
	- ovăz	500
	- in	800
	- cânepă	550
	- fructe	300
11.31.	<i>Sfecă de zahăr în felii uscate</i>	300
11.32.	<i>Snopi de cereale, cu înălțimea de încărcare:</i>	
	- până la 4 m	100
	- peste 4 m	150
11.33.	<i>Tărâțe de grâu, mălai, secară etc.</i>	400
11.34.	<i>Turte de furaje</i>	1,000
11.35.	<i>Tutun în legături sau baloturi</i>	450
11.36.	<i>Unt și grăsimi animale (în cutii de lemn)</i>	700
11.37.	<i>Uruială (în afară de malț)</i>	600
11.38.	<i>Uruială de malț</i>	400
11.39.	<i>Vin, bere (sticle în lăzi)</i>	650
11.40.	<i>Zahăr brut</i>	1,400
11.41.	<i>Zahăr rafinat bucăți în cutii sau lăzi</i>	500
11.42.	<i>Zahăr tos rafinat:</i>	
	- în staturi mai mari de 4 m, în vrac	1,000

	- în staturi mai mici de 4 m, în vrac	850
	- în staturi mai mici de 4 m, în saci	800
12. Blănuri si produse textile		
12.1.	<i>Blănuri, piei:</i>	
	- la sare	800
	- uscate	400
12.2.	<i>Bumbac:</i>	
	- în baloturi	800
	- presat	1,300
12.3.	<i>Îmbrăcămintă:</i>	
	- așezată îngrijit	600
	- așezată la întâmplare	300
12.4.	<i>Lână:</i>	
	- presată în baloturi	1,300
	- nepresată	450
12.5.	<i>Piele artificială (în rulouri)</i>	1,300
12.6.	<i>Pânză</i>	600
12.7.	<i>Postav în baloturi</i>	500
13. Îngrășăminte		
13.1.	<i>Îngrășăminte animale:</i>	
	- în stare obișnuită	1,200
	- în stare îndesată	1,800
13.2.	<i>Îngrășăminte chimice:</i>	
	- fosfatice	2,200
	- sare de potasiu brută	1,400
	- sulfat de amoniu	900
14. Diverse materiale		
14.1.	<i>Acid azotic, carbonic, clorhidric, fosforic, sulfuric în:</i>	
	- sticle în coșuri	700
	- ambalaje de sticlă în lăzi	900
	- butoaie	800
14.2.	<i>Acid boric în lăzi</i>	600
14.3.	<i>Cauciuc în balot</i>	1,000

14.4.	<i>Cauciuc în foi</i>	1,500
14.5.	<i>Cărți, manuscrise, în dulapuri sau stelaje, pe unitatea de volum a dulapului, stelajului</i>	700
14.6.	<i>Gheață sfărâmată</i>	900
14.7.	<i>Grafit</i>	2,100
14.8.	<i>Hârtie în rulouri, pe unitatea de volum a rulourilor</i>	1,800
14.9.	<i>Hârtie și cărți în stivă</i>	1,000
14.10.	<i>Minereu de fier</i>	3,000
14.11.	<i>Pirită</i>	2,700
14.12.	<i>Produse ceramice așezate la întâmplare</i>	500
14.13.	<i>Produse de olărit</i>	1,100
14.14.	<i>Sticlărie în lăzi</i>	500
14.15.	<i>Produse din porțelan și faianță în lăzi</i>	1,200
14.16.	<i>Ulei de in sau cânepă în butoaie</i>	600
14.17.	<i>Ulei mineral de uns</i>	650
14.18.	<i>Vopsea în butoaie</i>	800

Tabelul 2.2– Greutăți tehnice pe m^2 pentru diverse materiale de construcții

Nr. crt.	Denumire material	Greutatea [daN/m ²]
1.	<i>Carton bitumat fără strat de acoperire (STAS 138-76):</i>	
	- CI 250	0.50
	- CI 300	0.60
	- CI 333	0.65
	- CI 400	0.80
	- CI 500	1.00
2.	<i>Carton bitumat fără strat de acoperire (STAS 138-76):</i>	
	- CA 250	1.30
	- CA 270	1.50
	- CA 300	1.90

	- CA 333	2.10
	- CA 360	2.16
	- CA 360/F	1.70
	- CA 400	2.30
	- CA 400/F	1.70
	- CA 440	2.40
	- CA 500	2.60
	- CA 500/F	2.00
	- CA 500/E	2.90
	- CA 500/S	3.20
	- CPB 300	2.00
	- CPB 360	2.16
3.	<i>Covor PVC pentru pardoseli, grosime 1,5 mm</i>	2.30
4.	<i>Dale flexibile PCV pentru pardoseli, grosime 1,5 mm</i>	2.30
5.	<i>Împâslitură din fibre de sticlă bitumată (STAS 7916-75):</i>	
	- tip IA 600	1.50
	- tip IA 800	1.80
	- tip IA 900	2.00
	- tip IA 1100	2.40
	- tip IA 1300	2.80
	- tip IA 1900	4.00
	- tip IB 900	2.30
	- tip IB 1200	2.90
	- tip IBP 900	2.30
	- tip IBP 1200	2.90
6.	<i>Pânză bitumată (STAS 1046-78):</i>	
	- tip 50	0.50
	- tip 40	0.50
	- tip A 55	3.00
	- tip A 45	2.80
	- tip A 35	2.50

	- tip A 30	2.80
7.	<i>Plăci rigide din PVC pentru pardoseli:</i>	
	- tip K 25 ($1,5 \pm 0,2$ mm grosime)	2.00
	- tip M 24 ($2,0 \pm 0,1$ mm grosime)	3.80
8.	<i>Plăci din PVC pentru placaje interioare ($1,3 \pm 0,1$ mm):</i>	2.50
9.	<i>Plăci din talaș cu ciment "stabilit":</i>	
	- tip SC de 25 mm grosime	12.00
	- tip SC de 50 mm grosime	20.00
10.	<i>Rogojini din vată de sticlă pe plasă de rabiț sau pe carton ondulat:</i>	
	- 1,5 cm	1.43
	- 2,0 cm	1.84
	- 3,5 cm	2.50
	- 4,0 cm	3.26
	- 5,0 cm	3.84
	- 6,0 cm	4.70
	- 7,0 cm	5.20
	- 8,0 cm	6.20
11.	<i>Saltele din păsă minerală, inclusiv plasă de rabiț cu grosime de:</i>	
	- 2 cm	6.00
	- 4 cm	11.00
	- 5 cm	13.00
	- 8 cm	21.00
	- 10 cm	26.00
	- 12 cm	28.00
12.	<i>Saltele din vată de sticlă cu plasă de rabiț cu grosimea de:</i>	
	- 2,5 cm	2.30
	- 3,0 cm	3.00
	- 4,0 cm	3.96
	- 5,0 cm	4.48
	- 6,0 cm	5.68
	- 7,0 cm	6.80
	- 8,0 cm	7.93
	- 10,0 cm	9.78

Tabelul 2.3 – Greutăți tehnice în daN/buc. pentru diverse materiale

Nr. crt.	Denumire material	Greutatea [daN/buc.]
1.	<i>Plăci presate din sticlă (STAS 2863/2-76):</i>	
	- tip P	1.26
	- tip S	2.20
	- tip T	1.85
	- tip R 60	0.76
	- tip R 80	1.09
2.	<i>Țigle de sticlă cu jgheab (STAS 2863/2-76)</i>	3.00
3.	<i>Țigle și coame din argilă arsă (STAS 515-71):</i>	
	- țigle cu jgheaburi laterale, presate	2.60
	- țigle cu jgheaburi laterale și la capete, presate	3.00
	- țigle cu jgheab, trase	2.40
	- țigle cu solzi	1.35

Tabelul 2.4 – Densitatea lichidelor depozitate la 15°C și 1 atm.

Nr. crt.	Denumire material	Greutatea [daN/m ³]
1.	<i>Acetonă</i>	790
2.	<i>Acid clorhidric tehnic cu concentrația:</i>	
	- 20 %	1,150
	- 10 %	1,050
3.	<i>Acid carbonic</i>	960
4.	<i>Acid oleic</i>	900
5.	<i>Acid sulfuric tehnic</i>	1,550
6.	<i>Acid sulfuric în concentrație</i>	
	- 27 %	1,200
	- 7 %	1,050
7.	<i>Alcool etilic fără apă</i>	800
8.	<i>Benzină:</i>	

	- de avion	700
	- de automobil	750
9.	<i>Benzol</i>	880
10.	<i>Bere</i>	1,030
11.	<i>Carbolineum</i>	1,050
12.	<i>Cloroform</i>	1,490
13.	<i>Clorură de calciu în concentrație:</i>	
	- 20 %	1,130
	- 10 %	1,030
14.	<i>Creozot</i>	1,850
15.	<i>Eter etilic</i>	710
16.	<i>Etilacetat</i>	950
17.	<i>Gazolină</i>	750
18.	<i>Glicerină fără apă</i>	1,270
19.	<i>Lapte</i>	1,030
20.	<i>Melasă de zahăr</i>	1,360
21.	<i>Mercur</i>	13,600
22.	<i>Miere de albine</i>	1,400
23.	<i>Oțet</i>	1,020
24.	<i>Păcură</i>	950
25.	<i>Petrol</i>	820
26.	<i>Sticlă lichidă</i>	1,480
27.	<i>Sucuri de fructe</i>	1,020
28.	<i>Sulfură de carbon</i>	1,290
29.	<i>Terebentină</i>	870
30.	<i>Țiței</i>	850
31.	<i>Ulei de in sau cânepă naturală</i>	940
32.	<i>Ulei:</i>	
	- mineral	950
	- vegetal	950
33.	<i>Vin, lichior</i>	1,000

Tabelul 2.5– Încărcări permanente pe m^2 ale diverselor materiale

Nr. crt.	Element de construcție	Greutatea [daN/m ²]
1. Elemente din beton și beton armat (pentru 1 cm grosime)		
1.1.	<i>Beton simplu (cu pietriș sau piatră spartă)</i>	24
1.2.	<i>Beton armat (cu pietriș sau piatră spartă)</i>	25
1.3.	<i>Beton cu agregate din spărturi ceramice</i>	18
1.4.	<i>Beton cu granolit:</i>	
	- marca B 10	7
	- marca B 15...75	11
	- marca B 100	13
	- marca B 150	17
1.5.	<i>Beton cu agregate din zgură expandată:</i>	
	- marca B 15...50	14
	- marca b 75	18
	- marca B 100...150	20
Observații: a) greutatea tehnică a betonului proaspăt turnat se determină sporind valoarea din tabel cu 200 daN/m ³ ; b) greutatea tehnică a betonului armat de 2,500 daN/m ³ corespunde unei armături de 100 daN/(m ³ beton). Calculul exact se poate face cunoscând cantitatea de armătură dintr-un m ³ de beton și greutatea tehnică a betonului simplu de 2,400 daN/m ³ ; c) greutatea tehnică a betonului armat cu armatură rigidă (din lamine de oțel) se determină ca sumă a greutateilor tehnice ale betonului și armăturii dintr-un m ³ .		
2. Învélitori (încărcare pe m² de suprafață înclinată)		
2.1.	<i>Azbociment (inclusiv șipcile și căpriorii):</i>	
	- plăci plane de 4 mm grosime așezate simplu (STAS 5584-73)	24
	- plăci plane de 4 mm grosime așezate dublu (STAS 5584-73)	39
	- plăci ondulate cu ondule mici de 5,5 mm grosime (STAS 5936/1-75)	25
	- plăci ondulate cu ondule medii de 6 mm grosime	23

	(STAS 5936/1-75)	
	- plăci ondulate cu ondule mari de 6 mm grosime (STAS 5936/1-75)	20
2.2.	<i>Carton bitumat de greutate medie într-un singur strat acoperit cu bitum și presărat cu nisip (STAS 138-76); pentru alte alcătuiri, a se vedea nr. crt. 3.1.</i>	5
2.3.	<i>Ceramice (inclusiv șipcile și căpriorii):</i>	
	- olane de acoperiș (23 N/buc.) exclusiv mortarul de ciment (STAS 513-74)	125
	- țigle solzi din argilă arsă (13,5 N/buc.) pe un rând (STAS 515-71)	65
	- țigle solzi din argilă arsă (13,5 N/buc.) pe două rânduri (STAS 515-71)	85
	- țigle solzi din argilă arsă (26 N/buc.) cu jgheab, presate (STAS 515-71)	50
	- țigle solzi din argilă arsă (24 N/buc.) cu jgheab, trase (STAS 515-71)	50
2.4.	<i>Lemn (șindrila sau șită), inclusiv șipcile și căpriorii</i>	40
2.5.	<i>Sticlă, geamuri armate (inclusiv șprosurile) de:</i>	
	- 5 mm grosime	30
	- 6 mm grosime	25
2.6.	<i>Tablă:</i>	
	- zincată (STAS 2028-71) sau neagră (STAS 1946-69), inclusiv astereala și căpriorii	30
	- ondulată (de 1 mm grosime), inclusiv materialul de fixare (STAS 2029-68)	12
2.7.	<i>Diverse:</i>	
	- stuf sau trestie, de 40 cm grosime, inclusiv șipcile și căpriorii	80
	- paie, 40 cm grosime, inclusiv șipcile și căpriorii	75
	- astereală de 2,4 cm grosime pentru învelitoare	15
Observație:		
a) pentru alte elemente (iluminatoare, platforme suspendate) se vor consulta proiectele tip în vigoare.		

3. Izolații hidrofuge (încărcare pe m ² de suprafață înclinată)		
3.1.	<i>Materiale bitumate în foi:</i>	
	- carton bitumat	2
	- pânză bitumată	3
3.2.	<i>Mase bituminoase (soluții pentru amorsare, suspensii de bitum filerizat, mastic):</i>	
	- celochit, strat rezultat în grosime de 1,7...2 mm	2
	- suspensie de bitum filerizat (subif), strat rezultat în grosime de 1,5 mm peste pânză	2
	- strat pentru amorsare	1
	- strat pentru lipire și etanșare, mastic din bitum cu circa 30% filer de 1,7...2 mm grosime	2
3.3.	<i>Straturi ce servesc la bariere de vapori:</i>	
	- două straturi de bitum topit cu cca. 20% filer aplicat peste un strat de amorsaj	3.5
	- un strat de carton bitumat tip CA 500 (STAS 138-76) între doua straturi de bitum cu cca. 20% filer aplicat peste un strat de amorsaj	6
3.4.	<i>Straturi ce servesc la izolația hidrofugă de la acoperișuri:</i>	
	- trei straturi de carton bitumat tip CA 500 (STAS 138-76) între 4 straturi de bitum filerizat cu cca. 20% filer aplicat peste un strat de amorsaj și cu protecție dintr-un strat uniform de nisip grăunțos	17.5
	- două straturi din pânză bitumată A 55 (STAS 1046-78) și un strat de carton bitumat CA 500 (STAS 138-76) între patru straturi de bitum filerizat cu circa 20% filer aplicate peste un strat de amorsaj și protejate cu un strat uniform de nisip grăunțos	19
	- un strat de pânză bitumată tip A55 (STAS 1046-78) și două straturi de împâslitură de fibre de sticlă bitumată tip IA între patru straturi de bitum filerizat cu cca. 20% filer, aplicate peste un strat de amorsaj și presărat uniform cu un strat uniform de nisip grăunțos	17.5

	- un strat de pânză bitumată tip A55 (STAS 1046-78), un strat de împâslitură de fibre de sticlă bitumată tip IA și un strat de împâslitură bitumată tip IB (STAS 7916-75) aplicate peste un strat de amorsaj și lipite cu trei straturi de mastic	13
	- două straturi de pânză bitumată tip 50 sau tip 40 (STAS 1046-78) între straturi de suspensie de bitum filerizat - subif (STAS 558-71) - și celochit (STAS 661-71) fără șapă de protecție	12
3.5.	<i>Straturi de protecție utilizate la hidroizolare aplicate la acoperișuri peste hidroizolația terminată:</i>	
	- mortar bituminos cu subif (pentru 1 mm grosime)	2.2
	- nisip $\phi 1..3$ mm, așternut uniform	3
	- un strat uniform de nisip grăunțos așternut într-un strat de mastic (strat suplimentar)	5
	- un strat uniform de pietriș așternut într-un strat de mastic fierbinte (strat unic, exclusiv bitumul)	20
	- un strat de pietriș gros de 4 cm, simplu așezat pe terase necirculabile, aplicat peste hidroizolația terminată	70
	- dale de beton prefabricate (20x20x3 cm) pe un pat de nisip de 2 cm grosime	100
4. Izolații termice		
4.1.	<i>Azbest plăci (pentru 1 cm grosime)</i>	12
4.2.	<i>Beton (pentru 1 cm grosime):</i>	
	- cu agregate de granulit	11
	- cu agregate de zgură expandată	14
	- cu agregate vegetale (plăci nemontate)	6.5
	- celular autoclavizat tip GBN	6
	- celular autoclavizat tip GBC	6.9
4.3.	<i>Mase plastice (pentru 1 cm grosime):</i>	
	- masă celulară Ampora	0.3
	- polistiren expandat	0.3

	- spumă rigidă de poliuretan	0.6
4.4.	PFL poros (pentru 1 cm grosime)	4.5
4.5.	Pâslă minerală cu liant bituminos în foi sau saltele (vezi tabelul 2.2)	vezi tab. 2.2
4.6.	Pâslă fonoizolatoare în plăci:	
	- expandată (superex) pentru 1 cm grosime	1.5
	- expandată și aglomerată cu bitum (STAS 6970/4-71) pentru 1 cm grosime	1.8
	- expandată, sub pardoseală și la terasă, lipite și chituite cu bitum în grosime de 1 cm	8
	- expandată, sub pardoseală și la terasă, lipite și chituite cu bitum în grosime de 2 cm	10
	- expandată, sub pardoseală și la terasă, lipite și chituite cu bitum în grosime de 5 cm	14
4.7.	Saltele de vată de sticlă (vezi tabelul 2.2)	vezi tab. 2.2
5. Izolații fonice la pardoseli (pentru 1 cm grosime)		
5.1.	Pâslă minerală P90 în covoare de 1,5; 2,0; 2,5 cm grosime (tip silan)	0.9
5.2.	Vată minerală semirigidă (tip silan) în plăci de 1,0; 1,5; 2,0 cm grosime:	
	- A 90	0.9
	- A 100	1
5.3.	Pudretă de cauciuc la pereți (pentru 1 cm grosime)	10
5.4.	Vată minerală (tip silan) saltele cu grosimi de 4,0 ... 10,0 cm la tratamente acustice	1
5.5.	PFL poros:	
	- plăci fonoabsorbante perforate în grosime de 1,2 cm	3
	- plăci fonoabsorbante perforate în grosime de 1,6 cm	4
	- plăci fonoabsorbante perforate în grosime de 2 cm	5
	- plăci fonoabsorbante înțepate în grosime de 1,2 cm	3.5
	- plăci fonoabsorbante înțepate în grosime de 1,6 cm	4.5
	- plăci fonoabsorbante înțepate în grosime de 2 cm	5.5

5.6.	<i>Vată minerală fonoizolatoare, plăci fonoabsorbante de tip FA, 2 cm grosime</i>	1.2
6. Pardoseli		
6.1.	<i>Covor PVC de 3 mm grosime lipit cu aracet sau prenadez, inclusiv stratul de egalizare din mortar de ciment de 3 cm grosime</i>	75
6.2.	<i>Covor PVC de 3 mm grosime lipit cu aracet sau prenadez, inclusiv dala flotantă sau șapa de 3,5 cm grosime:</i>	
	- cu strat fonoizolator din pudretă de cauciuc de 2,0 cm grosime și un strat de carton bitumat	100
	- cu strat fonoizolator din plăci de vată minerală tip silan de 1 cm grosime și un strat de carton bitumat	90
	- cu strat fonoizolator din plăci de polistiren celular de 1 cm grosime și un strat de carton bitumat	90
6.3.	<i>Parchet LU din stejar de 2,2 cm grosime pe fibrobeton de 3,5 cm grosime rostuit cu bitum:</i>	
	- cu strat de nisip de egalizare de 2 cm grosime	90
	- cu strat din pudretă de cauciuc de 2 cm grosime	65
6.4.	<i>Parchet LU din stejar de 2,2 cm grosime pe PFL poros de 1,6 cm grosime lipit cu aracet:</i>	
	- cu șapă de beton de 2 cm grosime	73
	- cu strat din pudretă de cauciuc de 2 cm grosime	33
	- cu strat de nisip de egalizare de 2 cm grosime	60
6.5.	<i>Parchet mozaic de 1 cm grosime lipit cu aracet, inclusiv stratul de egalizare cu mortar de ciment de 3 cm grosime</i>	83
6.6.	<i>Parchet mozaic de 1 cm grosime pe dală flotantă cu șapă de 3,5 cm grosime:</i>	
	- cu strat fonoizolator din pudretă de cauciuc de 2 cm grosime lipit cu aracet și cu un strat de carton bitumat	105
	- cu strat fonoizolator din plăci de vată minerală tip silan de 1 cm grosime lipit cu aracet și un strat de carton	98

	bitumat	
	- cu strat fonoizolator din plăci de polistiren celular de 1 cm grosime lipit cu aracet și un strat de carton bitumat	97
6.7.	<i>Mozaic pe șapă din mortar de ciment de 3 cm grosime:</i>	
	- turnat de 1 cm grosime	94
	- plăci din beton mozaicat de 3 cm grosime	100
7. Pereți (pentru 1 m² de suprafață a peretelui)		
7.1.	<i>Pereți despărțitori tencuiți pe ambele fețe executați din beton celular autoclavizat:</i>	
	- plăci de 6,3 cm grosime tip GBN	130
	- plăci de 6,3 cm grosime tip GBC	140
	- plăci de 12,5 cm grosime tip GBN	170
	- plăci de 12,5 cm grosime tip GBC	20
	- blocuri mici de 19 cm grosime tip GBN	220
	- blocuri mici de 19 cm grosime tip GBC	260
	- blocuri mici de 24 cm grosime tip GBN	260
	- blocuri mici de 24 cm grosime tip GBC	300
7.2.	<i>Plăci și fâșii din ipsos cu diferite adaosuri (STAS 1480-63):</i>	
	- pereți despărțitori din plăci pline de 7,5 cm grosime gletuiți pe ambele fețe executați cu adaos de ciment de rumeguș	70
	- pereți despărțitori din plăci pline de 7,5 cm grosime gletuiți pe ambele fețe executați cu adaos de ciment și spumogen	65
	- pereți despărțitori din plăci pline de 7,5 cm grosime gletuiți pe ambele fețe executați cu adaos de ciment și zgură	105
	- pereți despărțitori din fâșii cu goluri de 7,5 cm grosime din ipsos cu adaos de ciment, armați cu trestie	80
7.3.	<i>Zidărie de cărămidă (inclusiv tencuiala pe ambele fețe) de:</i>	
	- 7,5 cm grosime din cărămidă plină presată pe cale umedă de 240x115x63 mm (STAS 457-71)	180

	- 7,5 cm grosime din cărămidă cu goluri verticale de 290x140x63 mm (STAS 5185/2-75)	150
	- 10 cm grosime din cărămidă cu goluri verticale de 290x140x63 mm (STAS 5185/2-75)	200
	- 12,5 cm grosime din cărămidă plină de 240x115x63 mm (STAS 457-71)	300
	- 15 cm grosime din cărămidă cu goluri verticale de 290x140x63 mm (STAS 5185/2-75)	300
	- 25 cm grosime din cărămidă plină presată pe cale umedă de 240x115x63 mm (STAS 457-71)	530
	- 30 cm grosime din cărămidă cu goluri verticale de 290x140x63 mm (STAS 5185/2-75)	530
7.4.	<i>Pentru alte tipuri de pereți din zidărie, încărcarea permanentă se determină conform datelor din tabelul 2.1, nr. crt. 7</i>	vezi tab. 2.1
7.5.	<i>Profilit (sticlă):</i>	
	- perete simplu din profile U, inclusiv rama	22
	- perete dublu din profile U, inclusiv rama	44
8. Placaje pentru pereți		
8.1.	<i>Ceramice (fără mortarul de poză) cărămizi pentru placaje de 115x60x60 mm</i>	58

2.2. Evaluarea încărcărilor utile

Încărcările utile sunt în deplină concordanță cu destinația construcției. Pentru destinațiile curente, încărcările utile sunt prezentate în tabelele 2.6...2.10, conform STAS 10101/2A1-87.

Pentru alte destinații speciale, încărcările utile se vor considera conform necesităților și doleanțelor beneficiarului dar nu mai mici decât cele prezentate în tabelele 2.6...2.10. Încărcările date de utilaje și echipamente industriale sau alte echipamente specifice, vor fi preluate din documentațiile tehnice ale acestora.

Tabel 2.6 – Încărcări utile pe m^2 pentru construcții civile și industriale

Nr. crt.	Destinația suprafeței încărcate	Încărcări normate $[kN/m^2]$	Observația nr.
1.	Acoperișuri și terase necirculabile cu panta: a) $> 1:20$ b) $\leq 1:20$	0,50 0,75	1, 2 3, 4
2.	Terasa circulabile: a) fără aglomerări de persoane b) cu aglomerări de persoane	2,0 4,0	3
3.	Poduri de clădiri: a) necirculabile b) circulabile	0,75 1,5	1
4.	Încăperi din interiorul apartamentelor, dormitoare și similare (în hoteluri, creșe, grădinițe, internate, case de odihnă, spitale, sanatorii și similare)	1,5	
5.	Birouri și alte încăperi de lucru (în clădirile instituțiilor și organizațiilor administrative, de cercetare și proiectare, de învățământ și similare), săli de lectură, săli de clasă și similare, în care nu se depozitează utilaj sau materiale grele	2,0	
6.	a) Laboratoare și cabinete (în clădirile instituțiilor medicale, de cercetare, de învățământ, industriale și similare, centre de calcul, fabrici de preparat mâncare (în localuri publice), etaje și poduri tehnice în care este posibilă depozitarea de utilaj sau materiale grele b) Vestiare și dușuri la anexe sociale în întreprinderi industriale, băi publice și spălătorii	2,0	8

7.	Auditorii, aule, săli de mese, (în restaurante, cantine, cafenele și similare)	3,0	
8.	<p>a) Săli de festivități, de spectacole, de concert, de expoziție și similare (în clădirile instituțiilor, teatrelor, cinematografele, cluburilor, muzeelor și similare), spații pentru prezentarea și desfacerea cu amănuntul a mărfurilor (săli comerciale ale magazinelor), săli de gimnastică și sport</p> <p>b) Depozite sau zone de depozitare pentru piese, materiale și alimente</p> <p>c) Săli de așteptare și peroane în stații de cale ferată și metrou</p>	4,0	8
9.	Săli de dans, scene, depozite de cărți, arhive, librării	5,0	8
10.	Tribune pentru spectatori :		
	a) cu locuri fixe	4,0	8, 9
	b) fără locuri fixe	5,0	
11.	Balcoane : cea mai defavorabilă dintre ipotezele :		
	a) încărcare distribuită pe o bandă de lățime 0,8 m în lungul balustradei	4,0	5
	b) încărcare distribuită pe toată suprafața balconului	2,0	5
12.	Încăperi de producție cu suprafețe ocupate de utilaje, echipamente, instalații, depozite intermediare de piese sau materiale, sau destinate circulației mijloacelor de transport și manipulare	3,0	6, 8
13.	Garaje, rampe, pasaje și curți carosabile	4,0	6
14.	Adăposturi pentru animale		
	a) păsări	1,5	8

	b) ovine	2,0	
	c) animale mici, până la 1,5 kN greutate proprie (porcine, viței)	4,0	8
	d) animale mari, peste 1,5 kN greutate proprie (cabaline, bovine)	5,0	
15.	Coridoare, scări și podeste		
	a) în cazurile 2a, 3b, 4, 5, 6a, 6b, 14a și 14 b	3,0	7
	b) în cazurile 2b, 7, 8a, 8b, 8c, 9, 12, 13 și 14c	4,0	
	c) în cazurile 10a, 10b, 14d	5,0	

- Acoperișurile, terasele și podurile se consideră necirculabile dacă scările de circulație curentă ale clădirii nu conduc la ele și dacă circulația pe, sau în ele, este dificilă datorită naturii învelitorii, gabaritelor de trecere sau obstacolelor interioare.
- Încărcarea este raportată la proiecția orizontală a suprafeței acoperișului.
- Încărcarea indicată în tabel înlocuiește încărcarea dată de zăpadă numai dacă este mai defavorabilă decât aceasta.
- La acoperișurile cu panta 1 :3 sau mai mică se ia în considerare suplimentar, încărcarea cu praf industrial astfel :
 - în vecinătatea oțelărilor cu agregate cu insuflare de oxigen:
 - până la 100 m de sursa de praf: $1,0 \text{ kN/m}^2$
 - peste 100 m până la 500 m de sursa da praf: $0,5 \text{ kN/m}^2$
 - în vecinătatea furnalelor sau centralelor termoelectrice pe cărbune:
 - până la 100 m de sursa de praf: $0,5 \text{ kN/m}^2$
 - peste 100 m până la 1000 m de sursa de praf: $0,25 \text{ kN/m}^2$
- Încărcarea indicată folosește la calculul elementelor portante ale balconului și peretelui în zona legăturilor; pentru calculul pereților de la nivelurile inferioare și al fundațiilor, încărcarea se consideră aceeași cu a încăperilor din care există accesul în balcon.
- Se verifică și la greutatea autovehiculelor și ale mijloacelor de manipulare, distribuite pe roți în pozițiile cele mai defavorabile, aplicate la nivelul feței carosabile pe câte o suprafață de $20 \times 20 \text{ cm}$. Pasajele și curțile carosabile se verifică și la greutatea unui vehicul de pompieri, dacă accesul acestuia este posibil.

7. În cazul instituțiilor de învățământ încărcarea se consideră $4,0 \text{ kN/m}^2$.
8. Se ia în considerare valoarea reală a încărcării în condițiile date de exploatare, dar nu mai puțin decât cea din tabel.
9. Tribunele se calculează și la o încărcare orizontală de $1/20$ din cea verticală, distribuită uniform pe aceleași suprafețe.

Tabelul 2.7 – *Încărcări utile concentrate din procesul de exploatare*

Nr. crt.	Elementul de rezistență	Încărcări [kN]
1.	Acoperișuri, terase, balcoane	1,0
2.	Acoperișuri la care se poate circula doar cu ajutorul podinelor	1,5
3.	Planșee și scări	1,5

IMPORTANT: acoperișurile, terasele, balcoanele, scările și planșeele se vor verifica și la o încărcare utilă concentrată, pe direcție verticală, aplicată pe elemente în poziția cea mai defavorabilă, pe o suprafață de $10 \times 10 \text{ cm}$. Aceasta încărcare concentrată nu se va lua în calcul simultan cu alta încărcare verticală utilă sau cu o încărcare dată de vânt. La acoperișuri terasă se va considera și o ipoteză de încărcare cu încărcarea concentrată indicată mai sus, împreună cu încărcarea dată de zăpadă care, în acest caz, nu va avea o valoare mai mare de $0,7 \text{ kN/m}^2$.

Tabel 2.8 – *Încărcări din pereți despărțitori neportanți*

Nr. crt.	Tipul pereților despărțitori	Încărcări [kN/m^2]
1.	Pentru pereți despărțitori având greutatea până la $1,5 \text{ kN/m}$, inclusiv	0,5
2.	Pentru pereți despărțitori având greutatea între $1,5 \text{ kN/m}$ și $3,0 \text{ kN/m}$, inclusiv	1,0

IMPORTANT: în cazul pereților despărțitori neportanți, având greutatea distribuită, pe lungime, mai mare de $3,0 \text{ kN/m}$, încărcările respective se consideră că acționează pe suprafețele efectiv ocupate de aceștia, în conformitate cu rezemarea lor reală. Pereții despărțitori neportanți se vor verifica la o încărcare orizontală convențională, liniară și uniform distribuită, de $0,5 \text{ kN/m}$ aplicată la o înălțime de $0,90 \text{ m}$ de la cota pardoselii.

Încărcările orizontale și verticale aplicate la nivelul mâinii curente, ce servesc la calculul balustradelor, se consideră:

- a) pentru cazurile 2.a și 4 din tabelul 2.6: 0,5 kN/m;
- b) pentru cazurile 10.a și 10.b din tabelul 2.6: 1,5 kN/m;
- c) pentru restul cazurilor din tabelul 2.6: 1,0 kN/m;
- d) în cazul balustradelor din întreprinderile industriale și al adăposturilor pentru animale, încărcările se determină de la caz la caz, dar nu vor avea o valoare mai mică de 1,0 kN/m.

Tabelul 2.9 – Acțiunea dinamică a încărcărilor

Nr. crt.	Tipul elementului de rezistență	Încărcări [kN]
1.	Pentru elementele de rezistență din interiorul atelierelor fabricilor, care susțin direct monoșinele autovehiculelor, electrocărelor și utilajelor staționare de ridicare, coeficientul dinamic are valoarea 1,1	1,1 x înc. statică
2.	Pentru încărcările cu autoturisme ale garajelor și rampelor acestora și ale pasajelor și curților carosabile, se va utiliza un coeficient dinamic de 1,2 la calculul planșeelor care suportă vehicule și al stâlpilor care susțin planșeele, în limitele unui singur nivel	1,2 x înc. statică
3.	Stâlpii, pilaștrii și în general reazemele de colț sau de front ale construcțiilor importante, care se afla la cel mult 50 cm distanță de benzile de circulație pentru autovehicule ale căilor publice și care pot fi expuse loviturilor, se vor verifica suplimentar și la următoarele forțe orizontale datorită șocului, aplicate la o înălțime de 1,20 m:	
	a) stâlpi de colț	550
	b) stâlpi curenți	250

Observație: în cazurile prevăzute de prescripțiile speciale, precum și în următoarele cazuri de mai sus (pct. 1 și 2), se acceptă înlocuirea calculului dinamic cu un calcul convențional static pentru unele elemente de rezistență acționate dinamic, prin înmulțirea încărcărilor statice cu un coeficient dinamic; în plus, stâlpii ce pot fi loviți de mijloacele auto se vor verifica și la forțe orizontale concentrate, conform pct. 3.

Tabelul 2.10 – Încărcări utile în timpul execuției

Nr. crt.	Tipul elementului de rezistență	Încărcări [daN, daN/m ²]
1. Cofraje, cintre, schele și eșafodaje (încărcări uniform distribuite în [daN/m ²] și concentrate în [daN])		
1.1	Încărcarea uniform distribuită, provenită din căile de circulație instalate pe cofraj și din aglomerările de oameni:	
	a) pentru cofraje	250
	b) pentru elemente structurale orizontale	150
	c) pentru elemente verticale de susținere (popi, stâlpi, cintre sau eșafodaje)	100
1.2	Încărcarea concentrată, provenită din greutatea muncitorilor ce transportă încărcătura sau a mijloacelor de transport încărcate, acționând asupra cofrajului și elementelor orizontale de susținere:	
	a) pentru un muncitor ce transportă o greutate	130
	b) pentru transport cu roabe (sub roată)	170
	c) pentru transport cu tomberonul de 0,175 m ³ (sub fiecare roată)	280
	d) pentru transport cu vagonetul de 0,5 m ³ (sub fiecare roată)	400

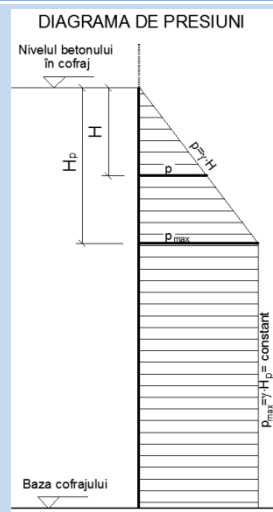
Observații:

- cofrajele, cintrele, schelele și eșafodajele se calculează la încărcările utile maxime care pot apărea în condițiile date de lucru și se verifica suplimentar la încărcările utile convenționale verticale de mai sus, la care se adaugă, dacă este cazul, greutatea betonului proaspăt;
- calculul se va face cu două tipuri de încărcări: încărcări utile uniform distribuite și încărcări utile concentrate; considerarea simultană în calcul a celor două tipuri de încărcări se va face în funcție de condițiile reale de lucru;
- în cazul încărcărilor concentrate, dacă se folosesc alte metode de transport și punere în operă a betonului, față de cele prezentate la pct. 1.2, încărcările concentrate vor fi determinate conform situației reale pentru fiecare caz în parte, fără a fi mai mici de 130 daN;
- dacă în timpul execuției se consideră că unele încărcări utile pot avea efecte dinamice importante, se va ține seama în calcule de aceste efecte dinamice.

2. Pereții cofrajelor [daN/m²]

2.1

Solicitarea la împingerea laterală a betonului se determină cu relația $p=\gamma \cdot H$ unde γ este greutatea specifică a betonului proaspăt iar H înălțimea betonului turnat. Diagrama arată ca în fig. alăturată și se observă că H nu poate depăși valoarea H_p unde H_p reprezintă înălțimea limită de proporționalitate. $H_p \leq 1,50$ m și se determină de la caz la caz. $H_p = 1,50$ m când viteza de turnare este mai mare de 0,75 m³/oră sau se folosesc cimenturi cu timp de priză mai mare de 2 ore, astfel ca $v \cdot t \geq 1,50$ m. La viteze de turnare și/sau timp de priză mai mici decât valorile menționate, înălțimea limită de proporționalitate se determină cu relația: $H_p=v \cdot t$.



2.2

Solicitarea la o încărcare orizontală dinamică, uniform distribuită, provenită din șocurile ce se produc la descărcarea betonului, având valorile convenționale respective, inclusiv coeficientul dinamic:

a) pentru o capacitate a mijlocului de transport de 0,2 m ³	200
b) pentru o capacitate a mijlocului de transport de 0,2 . . . 0,7 m ³	400
c) pentru o capacitate a mijlocului de transport de 0,7 m ³ și mai mare	600
d) pentru turnarea cu jgheaburi și pâlnii	200

3. Elemente prefabricate [daN/m²]

3.1

Părțile construcțiilor prefabricate a căror capacitate portantă este atinsă după întărirea betonului turnat la fața locului (în îmbinări destinate să transmită eforturi, la suprabetonări etc.), se calculează și la încărcări utile maxime care pot apărea în timpul execuției și se verifică suplimentar la încărcarea utilă convențională verticală de 125 daN/m², la care se adaugă, dacă este cazul, greutatea betonului de completare turnat la fața locului

125

3.2

Acțiunea dinamică produsă asupra elementelor de susținere, la așezarea prefabricatelor pe aceste elemente, se ia în considerare prin multiplicarea greutății prefabricatelor cu un coeficient dinamic de 1,5

1,5 x
greutate
prefabricat

În exploatarea curentă a construcțiilor rareori întreaga suprafață a planșeelor este încărcată cu valoarea maximă dată de solicitările utile. În aceste condiții, pentru o proiectare rațională, se utilizează coeficienți de reducere a încărcărilor pe planșee.

Reducerea încărcărilor variabile pe planșee se face doar în cazul calculului elementelor principale de rezistență (grinzi, stâlpi, pereți, fundații). Reducerea nu se aplică pentru elementele secundare (plăci, fâșii prefabricate, nervuri). De asemenea, reducerile nu se aplică pentru calculul încărcărilor în gruparea specială deoarece în această grupare încărcările variabile sunt afectate deja cu un coeficient de reducere. Pentru construcții cu caracter deosebit, vor putea fi utilizați coeficienți diferiți față de cei prezentați, aprobați odată cu proiectul, pe bază de justificare. La construcțiile la care apar încărcări locale mari, datorate unor utilaje, echipamente sau instalații grele, încărcările pentru grinzi principale și elementele portante verticale se vor determina pe baza încărcărilor efectiv transmise pe planșeul aferent.

În calculul grinzilor principale, încărcările uniform distribuite verticale din faza de exploatare a planșeelor se reduc astfel:

- pentru cazurile menționate în tabelul 2.6 la pct. 4, 5 și 6.b (cu excepția sălilor de lectură), când suprafața aferentă grinzii depășește 18 m^2 , cu coeficientul:

$$\alpha_1 = 0,3 + \frac{3}{\sqrt{A}} \quad (2.1)$$

- pentru sălile de lectură și cazurile menționate în tabelul 2.6 la pct. 7 și 8.a, când suprafața aferentă grinzii depășește 36 m^2 , cu coeficientul:

$$\alpha_1 = 0,5 + \frac{3}{\sqrt{A}} \quad (2.2)$$

unde A este aria aferentă grinzii principale, în m^2 .

În calculul stâlpilor, pereților și fundațiilor, încărcările uniform distribuite verticale din faza de exploatare a planșeelor se reduc astfel:

- pentru cazurile menționate în tabelul 2.6 la pct. 4, 5 și 6.b (cu excepția sălilor de lectură), cu coeficientul:

$$\eta_1 = 0,3 + \frac{0,6}{\sqrt{m}} \quad (2.3)$$

- pentru sălile de lectură și cazurile menționate în tabelul 2.6 la pct. 7 și 8.a, cu coeficientul:

$$\eta_2 = 0,5 + \frac{0,6}{\sqrt{m}}, \quad \text{pentru } m \geq 2 \quad (2.4)$$

$$\eta_2 = 1, \quad \text{pentru } m = 1 \quad (2.5)$$

unde m este numărul de planșee considerate în calcul deasupra secțiunii respective. În acest număr m se consideră numai planșeele curente, neluându-se în considerare alte planșee (planșee de acoperiș încărcate cu zăpadă, planșeele etajelor tehnice etc.).

La stabilirea încărcărilor pentru stâlpi, pereți portanți sau fundații, coeficienții α_1 sau α_2 nu se cumulează (înmulțesc) cu coeficienții η_1 sau η_2 .

Pe planșeele halelor de producție, încărcarea utilă se va separa într-o încărcare cvasipermanentă dată de utilaje, instalații și echipamente și o încărcare variabilă dată de oameni, materiale vehiculate, mijloace de transport mobile etc. Încărcarea cvasipermanentă se va considera cu valoarea sa integrală și doar încărcarea variabilă va fi redusă cu coeficienții din ecuațiile (2.1)...(2.5).

2.3. Evaluarea încărcărilor din zăpadă

Încărcările date de acțiunea zăpezii se calculează conform codului de proiectare CR 1-1-3-2005. Valoarea caracteristică a încărcării din zăpadă se determină cu relația:

$$s_k = \mu_i \cdot C_e \cdot C_t \cdot s_{0,k}, \quad (2.6)$$

unde:

- μ_i – este coeficientul de formă;

- C_e – este coeficientul de expunere al amplasamentului construcției;
- C_t – este coeficientul termic;
- $s_{0,k}$ – valoarea caracteristică a încărcării din zăpadă pe sol, în amplasament.

Coeficientul μ_i depinde de forma acoperișului. Pentru acoperișuri cu o singură pantă, se utilizează coeficientul μ_1 (fig. 2.1.a) iar pentru acoperișuri cu două pante se utilizează coeficienții μ_1 și μ_2 (fig. 2.1.b). Valorile coeficienților μ_1 și μ_2 sunt date în fig. 2.2 și tabelul 2.11, funcție de panta acoperișului.

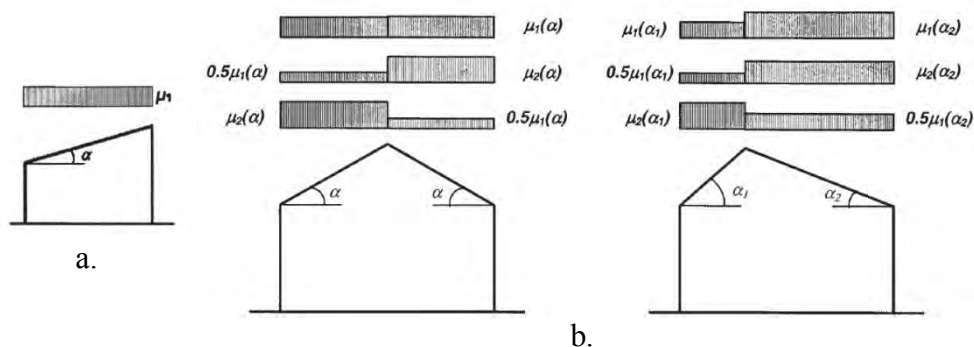


Fig. 2.1 – Distribuția coeficientului μ_i pentru acoperișuri cu una și două pante

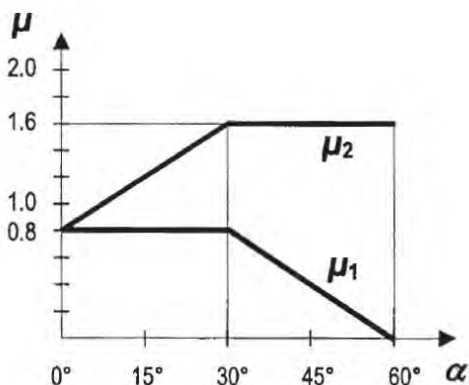


Fig. 2.2 – Valorile coeficientului μ_i pentru acoperișuri cu una și două pante

Dacă la marginea mai joasă a acoperișului este plasat un parapet sau alt obstacol ce împiedică alunecarea zăpezii, valorile coeficienților μ_1 și μ_2 nu trebuie să fie mai mici de 0,8.

Tabel 2.11 – Valorile coeficientului μ_i pentru acoperișuri cu una/două pante

Panta acoperișului α	$0^\circ \leq \alpha \leq 30^\circ$	$30^\circ < \alpha < 60^\circ$	$\alpha \geq 60^\circ$
μ_1	0,80	$0,8 \cdot (60 - \alpha) / 30$	0
μ_2	$0,80 + 0,8 \cdot \alpha / 30$	1,60	0

Pentru acoperișuri cu alte forme, valorile coeficientului μ_i se pot determina pe baza prevederilor capitolului 3 din CR 1-1-3-2005,

Coeficientul de expunere C_e ține cont de condițiile de amplasament și expunere, valorile sale fiind recomandate în tabelul 2.12.

Tabelul 2.12 – Valorile coeficientului C_e

Tipul expunerii	C_e
Completă	0.8
Parțială	1.0
Redusă	1.2

Tabelul 2.13 – Valorile $s_{0,k}$ pentru altitudini de peste 1000 m

Altitudinea [m]	$S_{0,k}$ pentru altitudini de peste 100 m [kN/m ²]	
	$s_{0,k}=1,5\text{kN/m}^2$	$s_{0,k}=2\text{kN/m}^2$
1000	1.5	2.0
1100	2.1	2.6
1200	2.7	3.1
1300	3.3	3.7
1400	3.9	4.2
1500	4.5	4.8
1600	5.1	5.4
1700	5.7	5.9
1800	6.3	6.5
1900	6.9	7.0
2000	7.3	7.6

Coeficientul termic C_t poate reduce încărcarea din zăpadă atunci când acoperișul are pierderi de căldură conducând la topirea parțială a zăpezii (un exemplu în acest sens constituindu-l serele). Acest coeficient este introdus în codul de proiectare doar cu rol informativ deoarece, în

cazurile mai sus menționate, trebuie efectuate studii speciale iar valorile sale trebuie aprobate în prealabil de autoritatea națională competentă. Pentru toate cazurile curente, coeficientul C_i ia valoarea 1,0.

Valoarea caracteristică a încărcării din zăpadă pe sol, în amplasament $s_{0,k}$ este prezentată în fig. 2.3 pentru diferite zone geografice. Pentru zonele montane, la altitudini mai mari de 1000 m valorile $s_{0,k}$ sunt prezentate în tabelul 2.13.

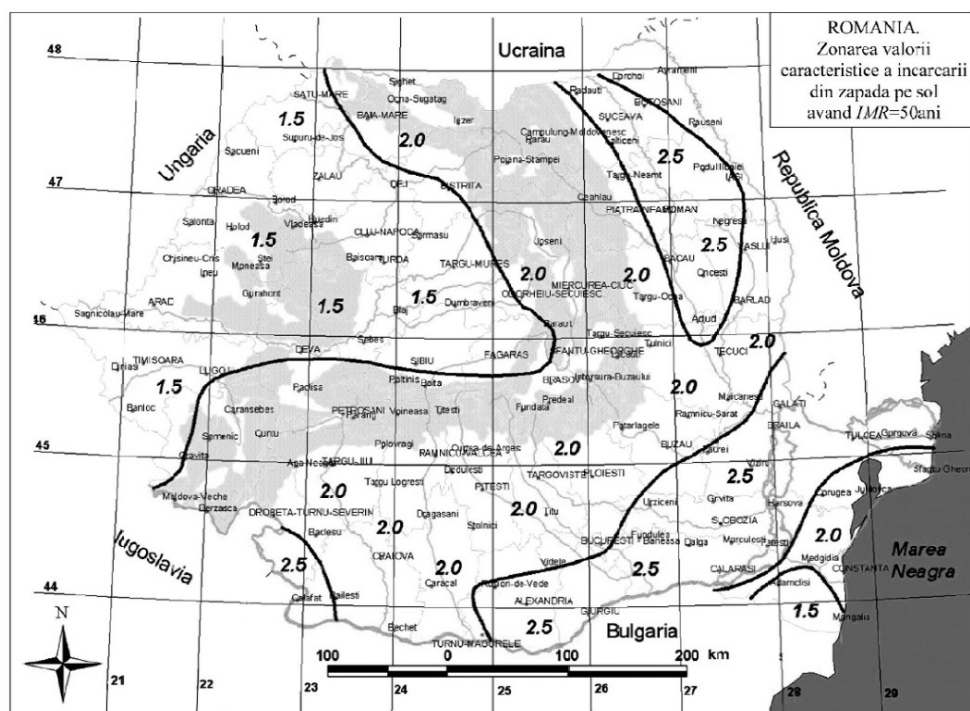


Fig. 2.3 – Valoarea caracteristică a încărcării din zăpadă pe sol

2.4. Evaluarea încărcărilor din vânt

Conform codului de proiectare CR 0-2005, acțiunea vântului nu se cumulează cu acțiunea seismică rezultând clar faptul că, dimensionarea elementelor la solicitări orizontale se va face fie la acțiunea vântului, fie din acțiunea seismică. Datorită faptului că, greutatea mare a structurilor din beton armat conduce la solicitări importante din acțiunea seismică, valoarea

forțelor orizontale din seism este mult mai mare decât valoarea celor date de acțiunea vântului.

Se poate concluziona deci faptul că, în cazul construcțiilor curente din beton armat, dimensionarea elementelor la solicitări orizontale se va face din acțiunea seismică iar încărcările date de acțiunea vântului nu prezintă o importanță notabilă.

Din aceste considerente, acțiunea vântului nu se justifică a fi prezentată în continuare, în cazul unor construcții cu regim mare de înălțime, ea putând fi evaluată conform codului de proiectare NP 84-2004.

2.5. Evaluarea încărcărilor din seism

Evaluarea încărcărilor seismice se face conform normativului P100-2006. Deoarece multe programe de calcul au inclus calculul automat al sarcinii seismice, în continuare sunt prezentate doar câteva noțiuni necesare pentru înțelegerea principiilor de bază ce stau la baza programelor de calcul. Pentru alte detalii se poate consulta Normativul P100-2006.

Forța tăietoare de bază $F_{b,k}$ aplicată pe direcția de acțiune a mișcării seismice în modul propriu de vibrație k este:

$$F_{b,k} = \gamma_I \cdot S_d(T_k) \cdot m_k, \quad (2.7)$$

unde:

- γ_I – este factorul de importanță care ține cont de clasa de importanță a construcției, conform tabelului 2.14;
- m_k – masa modală efectivă asociată modului propriu de vibrație k și determinați cu relația:

$$m_k = \frac{\left(\sum_{i=1}^n m_i \cdot s_{i,k} \right)^2}{\sum_{i=1}^n m_i \cdot s_{i,k}^2} \quad (2.8)$$

unde:

- m_i – reprezintă masa de nivel;

- $s_{i,k}$ – reprezintă componenta vectorului în modul de vibrație k pe direcția gradului de libertate dinamică de translație la nivelul i ;
- $S_d(T_k)$ – reprezintă ordonata spectrului de răspuns de proiectare corespunzătoare perioadei T_k din modul propriu de vibrație k .

Tabelul 2.14 – *Valorile factorului de importanță γ_I*

Clasa de importanță	Tipuri de clădiri	γ_I
I	Clădiri cu funcțiuni esențiale, a căror integritate pe durata cutremurelor este vitală pentru protecția civilă: stații de pompieri și sediile poliției; spitale și alte construcții aferente serviciilor sanitare care sunt dotate cu secții de chirurgie și de urgență; clădirile instituțiilor cu responsabilitate în gestionarea situațiilor de urgență, în apărarea și securitatea națională; stațiile de producere și distribuție a energiei și/sau care asigură servicii esențiale pentru celelalte categorii de clădiri menționate aici; garaje de vehicule ale serviciilor de urgență de diferite categorii; rezervoare de apă și stații de pompare esențiale pentru situații de urgență; clădiri care conțin gaze toxice, explozivi, și alte substanțe periculoase.	1,4
II	Clădiri a căror rezistență seismică este importantă sub aspectul consecințelor asociate cu prăbușirea sau avariarea gravă: clădiri de locuit și publice având peste 400 persoane în aria totală expusă; spitale, altele decât cele din clasa I și instituții medicale cu o capacitate de peste 150 de persoane în aria totală expusă; penitenciare; aziluri de bătrâni, creșe; școli cu diferite grade, cu o capacitate de peste 200 de persoane în aria totală expusă; auditorii, săli de conferințe, de spectacole cu capacități de peste 200 de persoane; clădirile din patrimoniul național, muzee etc.	1,2
III	Clădirile de tip curent care nu aparțin celorlalte categorii.	1
IV	Clădiri de mică importanță pentru siguranța publică, cu grad redus de ocupare și/sau de mică importanță economică, construcții agricole, locuințe unifamiliale.	0,8

Spectrul de răspuns de proiectare se calculează cu relațiile:

$$S_d(T_k) = a_g \left[1 + \frac{q}{T_B} T_k \right], \text{ dacă } 0 < T_k \leq T_B \quad (2.9)$$

$$S_d(T_k) = a_g \frac{\beta(T_k)}{q}, \text{ dacă } T_k > T_B \quad (2.10)$$

unde:

- a_g – accelerația terenului pentru proiectare, conform fig. 2.4;
- β_0 – factor de amplificare maximă a accelerației orizontale (fig. 2.5);
- $\beta(T_k)$ – spectru normalizat de răspuns elastic pentru componentele orizontale ale accelerației terenului (fig. 2.5);
- T_C – perioada de colț (fig. 2.6);
- T_B – perioada de control cu valoarea $T_B = 0,1 \cdot T_C$;
- q – factor de comportare a structurii; pentru structuri din beton armat valorile sale se regăsesc în tabelul 2.15.

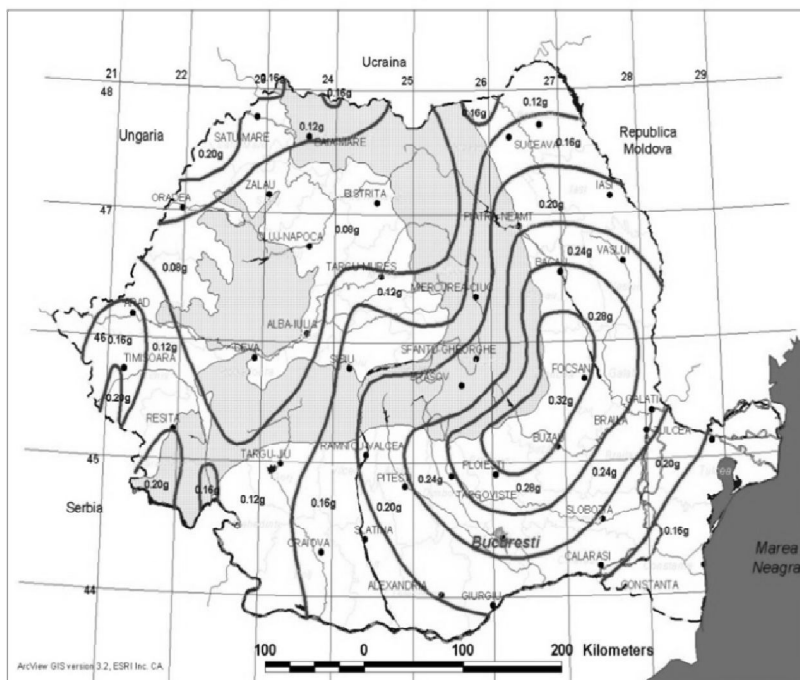


Fig. 2.4 – Zonarea teritoriului României în termeni de valori de vârf ale accelerației terenului a_g

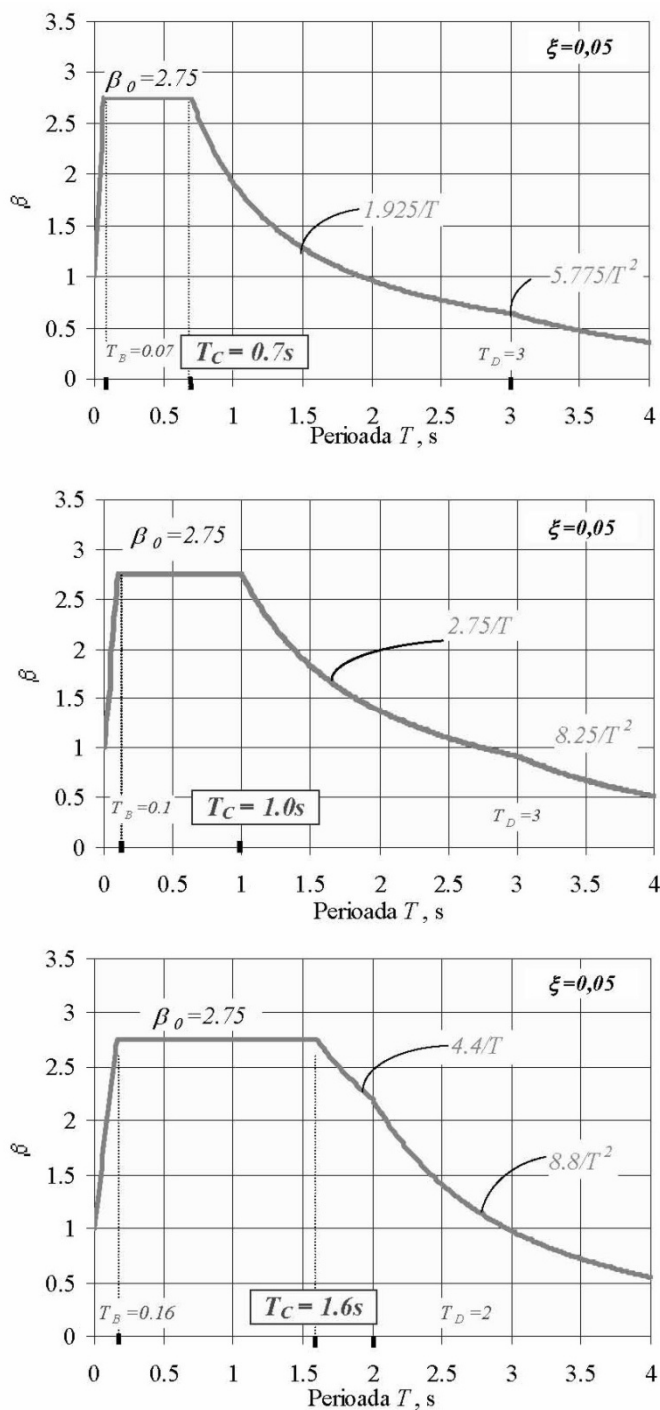


Fig. 2.5 – Spectre normalizate de răspuns elastic pentru diferite valori ale perioadei de colț

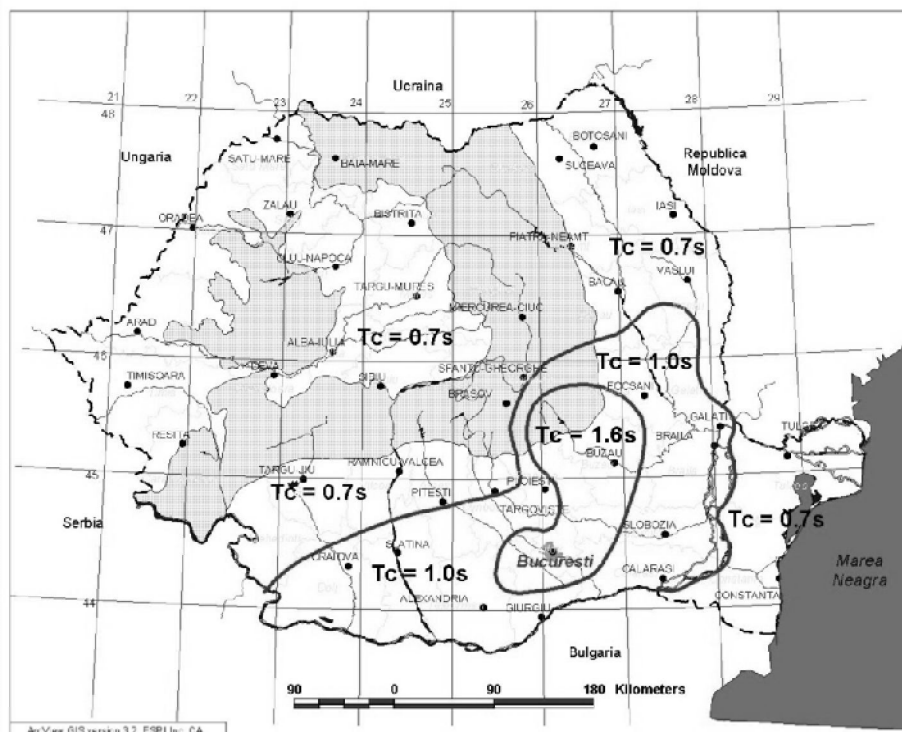


Fig. 2.6 – Zonarea teritoriului României în termeni de perioadă de colț T_c

Tabelul 2.15 – Valorile factorului de comportare q

Tip structura		α_v/α_1	q	
			Clasa de ductilitate H	Clasa de ductilitate M
Cadre, sistem dual cu cadre preponderente	cu un nivel	1.15	5,75	4,03
	cu mai multe niveluri și o deschidere	1.25	6,25	4,38
	cu mai multe niveluri și mai multe deschideri	1.35	6,75	4,73
Pereți, sistem dual cu pereți preponderenți, pereți cuplați	cu numai 2 pereți în fiecare direcție	1.00	4	3
	cu mai mulți pereți	1.15	4,60	3
	pereți cuplați, structuri duale (pereți preponderenți)	1.25	5	3
Nucleu (flexibil la torsiune)		-	3	2
Pendul inversat		-	3	2

Clasa de ductilitate H este caracteristică construcțiilor care oferă un grad de încredere înalt prin asigurarea unei capacități substanțiale de deformare în domeniul postelastice, distribuită în numeroase zone ale structurii și evitarea cedărilor de tip fragil.

Alternativ, pentru construcții amplasate în zone seismice caracterizate de valori $a_g \leq 0,16$, se poate adopta o proiectare care să înzestreze structurile cu o capacitate de ductilitate mai mică, în acest caz construcțiile încadrându-se în clasa de ductilitate medie M .

În cazul în care structura prezintă regularitate completă și se pot asigura condiții de execuție perfect controlate, factorul q poate lua valori sporite cu până la 20%.

Dacă structura are regularitate în plan dar nu prezintă regularitate în elevație, factorul q se va reduce cu 20% iar dacă structura nu prezintă regularitate nici în plan și nici în elevație, factorul q se va reduce cu 40% față de valorile de referință prezentate în tabelul 2.15.

Se face observația că, în calculul seismic vor trebui considerate toate modurile proprii care au o contribuție semnificativă la răspunsul seismic total astfel ca:

- suma maselor modale efective pentru modurile proprii de vibrație considerate să reprezinte cel puțin 90% din masa totală a structurii;
- să fie considerate în calcul toate modurile proprii cu masă modală efectivă mai mare de 5% din masa totală.

2.6. Gruparea efectelor structurale ale acțiunilor

Deoarece asupra unei structuri acționează simultan mai multe tipuri de încărcări, acestea trebuie grupate pentru obținerea unor eforturi totale cumulate asupra elementelor structurale. Totodată, reglementările actuale prevăd utilizarea unor coeficienți parțiali de siguranță astfel ca nici o stare limită să nu fie depășită.

Principalele grupări de încărcări sunt definite în codul de proiectare CR 0-2005 și sunt elaborate pentru două tipuri de stări limită: stări limită ultime și stări limită de serviciu (de exploatare normală). Stările limită ultime sunt utilizate pentru efectuarea verificărilor de rezistență și stabilitate

în timp ce stările limită de serviciu se utilizează pentru verificări de deformație și fisurare.

2.6.1. Grupări de încărcări pentru verificarea structurilor la stări limită ultime

Există două grupări ce se pot efectua în cazul stărilor limită ultime, o grupare în care nu intră acțiunea seismică (numită în vechile prescripții tehnice *gruparea fundamentală*), și o grupare în care va fi luată în considerare și ipoteza acțiunii seismice (numită în vechile prescripții tehnice *gruparea specială*).

În cazul în care nu se consideră acțiunea seismică iar încărcările permanente au un efect defavorabil asupra siguranței structurale, gruparea încărcărilor se va realiza cu relația:

$$1,35 \cdot \sum_{j=1}^n G_{k,j} + 1,5 \cdot Q_{k,1} + \sum_{i=2}^m 1,5 \cdot \psi_{0,i} \cdot Q_{k,i} \quad (2.11)$$

unde:

- $G_{k,j}$ – efectul pe structură al acțiunii permanente j , luată cu valoarea sa caracteristică;
- $Q_{k,1}$ – efectul pe structură al acțiunii variabile ce are ponderea predominantă între acțiunile variabile, luată cu valoarea sa caracteristică;
- $Q_{k,i}$ – efectul pe structură al acțiunii variabile i , luată cu valoarea sa caracteristică;
- n – numărul total de acțiuni permanente;
- m – numărul total de acțiuni variabile;
- $\psi_{0,i}$ – factor de simultaneitate al efectelor acțiunilor variabile pe structură, având valoarea:
 - a) $\psi_{0,i} = 1$, pentru încărcările din depozite, împingerea pământului, a materialelor pulverulente și a lichidelor;
 - b) $\psi_{0,i} = 0,7$, pentru toate cazurile care nu se regăsesc la pct. a).

Dacă pe un element al structurii va acționa la un moment dat o singură încărcare variabilă, atunci $Q_{k,i} = 0$.

În cazul în care nu se consideră acțiunea seismică iar încărcările permanente au un efect favorabil asupra siguranței structurale, gruparea încărcărilor se va realiza cu relația:

$$0,9 \cdot \sum_{j=1}^n G_{k,j} + 1,5 \cdot Q_{k,1} + \sum_{i=2}^m 1,5 \cdot \psi_{0,i} \cdot Q_{k,i} \quad (2.12)$$

În cazul betonului, această situație apare de obicei la elementele precomprimate, în faza de transfer.

În cazul în care se ia în considerare și acțiunea seismică iar efectul încărcărilor permanente este unul defavorabil asupra siguranței structurale, gruparea încărcărilor se va realiza cu relația:

$$\sum_{j=1}^n G_{k,j} + A_E + \sum_{i=1}^m \psi_{2,i} \cdot Q_{k,i} \quad (2.13)$$

unde:

- A_E – efectul pe structură al acțiunii seismice, luată cu valoarea sa caracteristică;
- $\psi_{2,i}$ – coeficient pentru determinarea fracțiunii cvasipermanente a încărcării variabile $Q_{k,i}$, având valorile recomandate în tabelul 2.16.

Tabelul 2.16 – Valorile coeficientului $\psi_{2,i}$

Tipul acțiunii	$\psi_{2,i}$
Acțiuni din vânt și acțiuni din variații de temperatură	0
Acțiuni din zăpadă și acțiuni datorate exploataării	0,4
Încărcări în depozite	0,8

În cazul în care se ia în considerare și acțiunea seismică iar efectul încărcărilor permanente este unul favorabil asupra siguranței structurale, gruparea încărcărilor se va realiza cu relația:

$$0,9 \cdot \sum_{j=1}^n G_{k,j} + A_E + \sum_{i=1}^m \psi_{2,i} \cdot Q_{k,i} \quad (2.14)$$

2.6.2. Grupări de încărcări pentru verificarea structurilor la stări limită de serviciu

Există trei grupări ce se pot efectua în cazul stărilor limită de serviciu, două grupări în care nu intră acțiunea seismică, și o a treia grupare în care poate intra și ipoteza acțiunii seismice.

Gruparea caracteristică de efecte structurale ale acțiunilor se va realiza cu relația:

$$\sum_{j=1}^n G_{k,j} + Q_{k,1} + \sum_{i=2}^m \psi_{0,i} \cdot Q_{k,i} \quad (2.15)$$

Gruparea frecventă de efecte structurale ale acțiunilor se va realiza cu relația:

$$\sum_{j=1}^n G_{k,j} + \psi_{1,1} \cdot Q_{k,1} + \sum_{i=2}^m \psi_{2,i} \cdot Q_{k,i} \quad (2.16)$$

unde $\psi_{1,1}$ este coeficientul pentru determinarea valorii frecvente a acțiunii variabile $Q_{k,1}$, având valorile recomandate în tabelul 2.17.

Tabelul 2.17 – Valorile coeficientului $\psi_{1,1}$

Tipul acțiunii	$\psi_{1,1}$
Acțiuni din vânt	0,2
Acțiuni din zăpadă și acțiuni din variații de temperatură	0,5
Acțiuni datorate exploatării cu valoarea $\leq 3 \text{ kN/m}^2$	0,5
Acțiuni datorate exploatării cu valoarea $> 3 \text{ kN/m}^2$	0,7
Încărcări în depozite	0,9

Gruparea cvasipermanentă de efecte structurale ale acțiunilor se va realiza cu relația:

$$\sum_{j=1}^n G_{k,j} + \sum_{i=1}^m \psi_{2,i} \cdot Q_{k,i} \quad (2.17.a)$$

$$\sum_{j=1}^n G_{k,j} + 0,6 \cdot A_E + \sum_{i=1}^m \psi_{2,i} \cdot Q_{k,i} \quad (2.17.b)$$

Relația (2.17.a) este utilizată pentru considerarea în proiectare a efectelor de lungă durată ale acțiunilor asupra structurii.

Relația (2.17.b) este folosită pentru verificarea la starea limită de serviciu a elementelor structurale, nestructurale, echipamentelor etc., atunci când acțiunea seismică trebuie considerată în gruparea de acțiuni.

3. CALCULUL STRUCTURAL CU METODA ELEMENTELOR FINITE

3.1 Introducere

Metodele analitice oferite de Teoria elasticității au un câmp restrâns de aplicabilitate în practica inginerescă, datorită dificultăților care survin în cadrul integrării ecuațiilor diferențiale ale problemei. Aceste dificultăți pot fi generate, pe de o parte, de configurația geometrică a structurii, de modul uneori foarte complex de încărcare și rezemare a acesteia, sau, pe de altă parte, de varietatea proprietăților mecanice ale materialelor componente. Din acest motiv, un calcul analitic al stării de eforturi și deformații se conduce, în general, pe o structură simplificată geometric, mecanic și uneori chiar și fizic, iar rezultatele obținute, supuse unei analize prin prisma simplificărilor introduse, sunt racordate la valori controlate experimental sau prin alte procedee de calcul.

Având în vedere că, obiectivul principal al oricărui inginer este acela de a obține soluții eficiente din punct de vedere practic, s-a înregistrat în ultima vreme o preferință în utilizarea metodelor numerice de rezolvare a problemelor Teoriei elasticității. Soluțiile aproximative obținute pot satisface exigențele ingineresti în proiectarea diferitelor structuri de rezistență, mult mai bine decât soluțiile "exacte" mai sus amintite. O asemenea metodă este cea a diferențelor finite, în care ecuațiile diferențiale sunt înlocuite cu sisteme de ecuații algebrice, soluțiile problemei fiind obținute în nodurile rețelei care s-a folosit în definirea diferențelor finite.

Față de procedeul prin diferențe finite, în cadrul căruia aproximarea făcută are un caracter pur matematic, metoda elementelor finite se bazează pe o concepție calitativ diferită, aproximarea provenind în urma unei discretizări de natură fizică. Astfel, metoda consideră structura continuă care se cercetează ca, fiind alcătuită din mai multe părți mici, discrete, numite elemente finite, continue în cuprinsul lor și legate între ele în anumite puncte numite noduri, în care se vor obține soluțiile problemei. Analiza corpului complex este redusă la studiul elementelor componente ale structurii rezultate prin discretizarea sa. Pentru a cunoaște comportarea

structurii, a întregului, va fi necesar să se cerceteze mai întâi elementul finit, adică partea, motiv pentru care procedeul mai este numit uneori, foarte sugestiv, "going from part to whole", adică "mergând de la parte la întreg". Analiza elementului finit se concretizează, în cele din urmă, în stabilirea unor caracteristici globale ca, de exemplu, rigiditatea sa, care servesc apoi la reconstituirea structurii, prin operația numită de asamblare.

Conceperea elementelor finite, adică stabilirea formei acestora, precizarea numărului de noduri în care acestea se interconectează și a naturii acestor legături, trebuie făcută de așa manieră, încât să se asigure posibilitatea de reconstituire cât mai fidelă a structurii date. Din punct de vedere matematic, asamblarea conduce la un sistem de ecuații algebrice, având ca necunoscute, de exemplu, deplasările nodurilor, valori cu care se poate deja trece la determinarea tensiunilor în fiecare element.

Cu toate că, prin această metodă, analiza structurii s-a simplificat substanțial, trebuie observat că, și în cazul unei discretizări relativ grosiere, volumul de calcul devine atât de mare, încât utilizarea calculatoarelor electronice este indispensabilă. Metoda se consideră, pe bună dreptate, un produs al erei calculatoarelor electronice moderne. În comparație cu alte modalități de calcul, metoda elementelor finite oferă avantaje deosebite, ceea ce a făcut să-și găsească o largă aplicabilitate în cele mai variate sectoare ale cercetării științifice, fiind utilizată în Mecanica construcțiilor, la rezolvarea problemelor din domeniul structurilor cu caracter civil, industrial, hidrotehnic sau al construcțiilor de nave maritime, aeronave sau nave cosmice. Astfel, operația de discretizare a structurii prin suplețea ei, permite rezolvarea oricăror structuri, indiferent de geometria mediului solid analizat. Totodată, diversitatea cazurilor ce trebuie rezolvate este mult redusă, deoarece analiza este efectuată la nivelul elementelor componente și nu la nivelul structurii întregi.

Metoda se extinde fără dificultăți și în domeniul neomogenităților fizice, al neliniarităților fizice și geometrice, putându-se aborda cu ușurință probleme ca, interacțiunea teren-fundație-structură, calculul galeriilor, probleme legate de pierderea stabilității locale sau generale etc., iar introducerea condițiilor la limită nu mai comportă nici un fel de dificultăți, acestea rezumându-se la precizarea restricțiilor impuse în unele noduri. Rezultatele care se obțin se pot îmbunătăți prin alegerea adecvată a mărimii

și formei elementelor. O discretizare judicioasă va urmări prezența concentratorilor de tensiune, îndesind elementele finite în zona acestora. Metoda asigură, prin urmare, o cercetare profundă, amănunțită și completă a structurilor. Printre avantajele metodei trebuie subliniat faptul că algoritmul de calcul, adecvat automatizării, și deci formulat matriceal, prezintă un caracter de unicatate; el rămâne în esență același, indiferent de tipul elementului finit și permite o abordare unitară a analizelor statice și dinamice, cât și neliniare a structurilor.

Metoda elementului finit nu este o metodă de ultimă actualitate, ea dezvoltându-se încă din anii '60. Din nefericire, evoluția calculatoarelor a fost mult mai lentă astfel încât, deși fundamentul teoretic era foarte bine pus la punct, aplicabilitatea practică a impus numeroase limitări.

Rezolvarea propriu-zisă cu metoda elementelor finite se poate conduce, fie în spiritul *metodei deplasărilor*, când caracteristicile globale ale elementelor finite vor fi reprezentate prin rigidități ale acestora, regrupate într-o matrice (metoda matricei de rigiditate), fie în spiritul *metodei eforturilor*, caracteristicile globale ale elementelor finite fiind reprezentate prin flexibilități (metoda matricei de flexibilitate). Uneori, se preconizează și un procedeu mixt. Dintre acestea, metoda deplasărilor este preferată, fiind avantajoasă în privința automatizării integrale a rezolvării și fiind totodată mai ușor de intuit.

3.2 Etapele analizei structurilor cu elemente finite

Pentru a putea utiliza un program de calcul bazat pe metoda elementului finit, este important să se cunoască etapele ce trebuie parcurse pentru rezolvarea problemei:

a) Alegerea tipului de elemente finite și discretizarea structurii.

Elementele finite diferă între ele prin forma lor geometrică, caracteristicile fizice ale materialului din care sunt alcătuite și numărul, respectiv tipul deplasărilor independente care se atașează nodurilor. Pentru determinarea caracteristicilor sintetice ale unui element finit, se acceptă o lege convențională de variație în cuprinsul elementului, a deplasărilor, numit câmp de deplasări, sau a tensiunilor, numit câmp de tensiuni. Întrucât

câmpul de deplasări sau de tensiuni ales, nu reprezintă exact variația reală a deplasărilor sau a tensiunilor pe domeniul elementului finit, aceasta constituie cauza principală a aproximațiilor pe care le face metoda ca atare. De aceea, alegerea tipului de element finit se corelează cu modul în care se face discretizarea structurii, și va avea în vedere următoarele aspecte:

- 1) Alegerea unui model de element constitutiv sau altul trebuie făcută ținând seama că, o precizie mărită a rezultatelor se repercutează în augmentarea cantității de calcule. De exemplu, în cazul plăcilor plane, dacă momentele încovoietoare și forțele tăietoare au o variație lentă, se poate accepta modelul Kirchhoff (clădit pe ipoteza lui Bernoulli), în timp ce, în cazul unor variații relativ rapide ale acestor eforturi, devine necesară adoptarea unor modele mai complexe, cum este, de exemplu, modelul Reissner (care definește câmpul de deplasări considerând și efectul forței tăietoare).
- 2) Având în vedere varietatea mare a tipurilor de elemente finite, alegerea unui anumit tip trebuie făcută în corelare cu soluția de discretizare care a fost adoptată. Dacă forma domeniului discretizat și încărcările corespunzătoare sunt relativ "liniștite", sunt preferate elemente finite complexe, având un număr ridicat de grade de libertate, în timp ce, cazul unor forme "agitate" a domeniului discretizat sunt abordate eficient cu elemente mai simple, dar cu o discretizare deasă, ceea ce permite urmărirea fidelă a conturului și totodată menținerea numărului de necunoscute, pe ansamblul calculelor, în limite economice.
- 3) Procedul de investigație cu metoda elementului finit permite renunțarea la modelele clasice de calcul, familiare inginerilor, structura putându-se idealiza cu grade de eroare diferite, în funcție de posibilități și de efortul acceptat în realizarea fiecăreia dintre ele (fig. 3.1).
- 4) Forma structurii poate impune utilizarea simultană a mai multor tipuri de elemente finite. Astfel, în cazul unei diafragme-cadru, este rațională folosirea elementului finit dreptunghiular plan și al barei.

După alegerea tipului de elemente finite, structura dată se subîmparte în elemente finite, numerotate de la 1 la n , precizându-se apartenența

fiecărui element la mulțimea nodurilor sale de conexiune (fig. 3.2). Se definește astfel topologia modelului pe care se conduce calculul. Cu toate

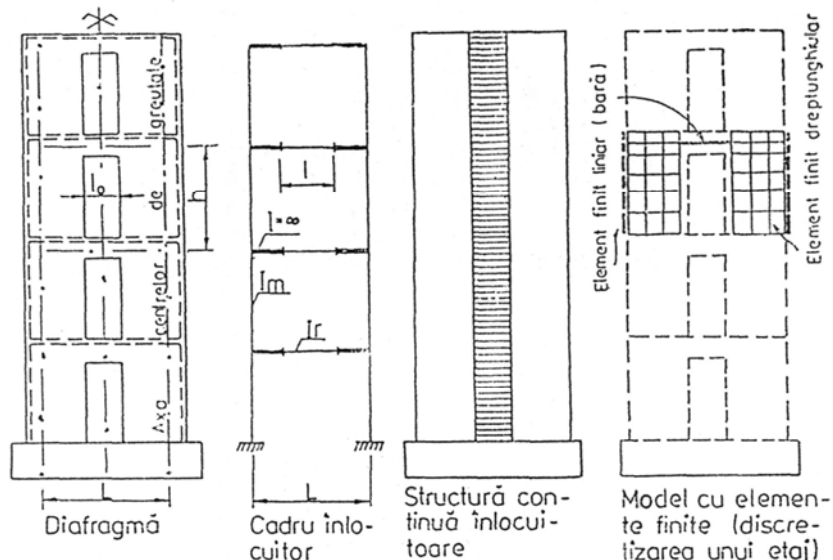


Fig. 3.1 – Diferite modele de calcul pentru aceeași structură

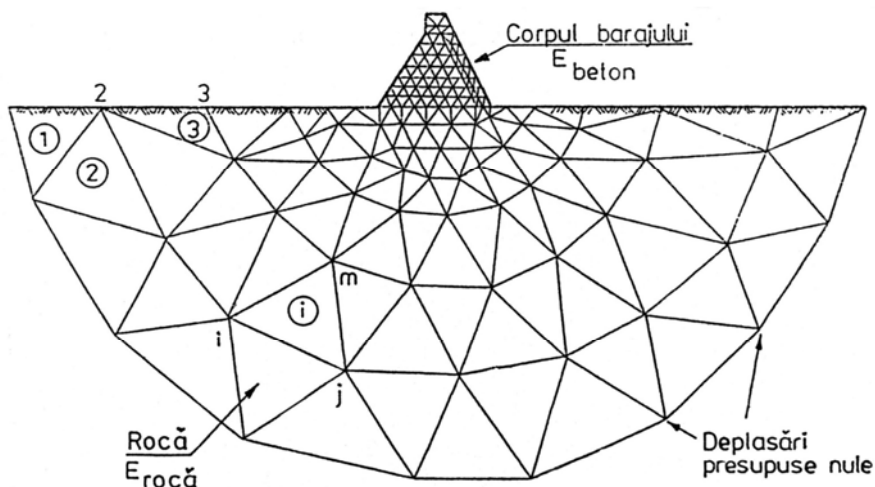


Fig. 3.2. – Discretizarea unui baraj de greutate

că, în cazul unor structuri având forme regulate, operația poate fi automatizată, rolul inginerului rămâne esențial, cel puțin în privința alegerii formei și dimensiunii elementelor. În cazul unor structuri având o geometrie

neregulată, o experiență dobândită în Mecanica construcțiilor privitoare la răspunsul structurilor la acțiunile exterioare este necesară și totdeauna binevenită. În unele cazuri, însăși dimensiunile mediului continuu ce se supune discretizării trebuie alese în mod judicios, pentru a asigura obținerea unor rezultate concludente. Un astfel de exemplu îl constituie stabilirea dimensiunilor terenului din vecinătatea corpului unui baraj de greutate (fig. 3.2).

Majoritate programelor de element finit au posibilitatea discretizării automate a structurilor. Acest avantaj trebuie tratat însă cu prudență, deoarece, nu întotdeauna, modelările automate sunt capabile să îndesească rețeaua acolo unde este necesar.

b) Alcătuirea matricei de rigiditate sau flexibilitate a elementului finit. Odată ce tipul elementului finit a fost precizat și câmpul de deplasări sau tensiuni definit, se poate trece la alcătuirea ecuației matriceale care exprimă proprietățile statice sau cinematice ale elementului. De exemplu, în domeniul acțiunilor statice, în baza unui câmp de deplasări ales, se pot scrie ecuațiile de echilibru între forțele aplicate în nodurile elementului finit (numite *forțe nodale*), pe de o parte și forțele interioare, pe de altă parte. Acestea din urmă se exprimă în funcție de rigiditatea elementului și deplasările nodurilor sale. Pentru determinarea elementelor de rigiditate, pot fi folosite următoarele procedee:

- 1) *Procedeul direct*, având la bază metoda clasică a deplasărilor. Acest procedeu poate fi aplicat numai în cazul unor câmpuri de deplasări sau tensiuni simple.
- 2) *Procedeul variațional*, care comportă minimizarea energiei potențiale totale a solidului elastic, în baza principiului valorii staționare a energiei potențiale. Spre deosebire de procedeul direct, procedeul variațional poate fi utilizat în cele mai complicate cazuri.
- 3) *Procedeul valorilor reziduale (metoda Galerkin)*, care, având la bază o tehnică de obținere a unor soluții aproximative a ecuațiilor diferențiale liniare sau neliniare, este indicat în situațiile când funcționala de minimizat se obține cu dificultăți sau când aceasta nu există.

- 4) *Procedeul bilanțului energetic*, care, bazându-se pe prima lege a termodinamicii, extinde considerabil gama de probleme ce pot fi investigate cu metoda elementelor finite.

c) **Asamblarea.** Însușirile de comportare mecanică a structurii întregi rezultă din aportul fiecărui element finit. Astfel, rigiditatea structurii se obține prin "asamblarea" rigidităților elementelor finite, ceea ce matematic revine la a combina ecuațiile matriceale care exprimă comportarea elementelor finite în parte și a obține ecuația matriceală care exprimă comportarea structurii întregi. La baza acestei operații stă faptul că, într-un nod comun mai multor elemente finite, valoarea variabilei câmpului de definiție (de deplasări sau tensiuni) este aceeași pentru toate elementele cuplate în acel nod. Înainte de a se trece la rezolvarea sistemului de ecuații algebrice astfel obținut, acesta se modifică în funcție de condițiile la limită (de rezemare) pe care trebuie să le respecte structura. Întreaga operație se face automat de către calculatorul electronic.

d) **Rezolvarea sistemului de ecuații.** Prin rezolvarea sistemului de ecuații se obțin valorile nodale ale variabilelor câmpului și anume, deplasările nodurilor sau forțelor de legătură din acestea, după cum problema s-a rezolvat cu metoda deplasărilor sau eforturilor. Dacă sistemul de ecuații este liniar, rezolvarea se face în baza algoritmilor de calcul cunoscuți, în timp ce în cazul sistemelor neliniare, soluțiile rezultă iterativ, necesitând modificări ai coeficienților necunoscutelor și uneori și ai termenilor liberi.

e) **Calcule auxiliare.** Uneori soluțiile sistemului de ecuații sunt folosite pentru a obține alte mărimi derivate din necunoscutele primare. Așa de exemplu, deplasările nodurilor servesc în continuare la calculul deformațiilor specifice și a tensiunilor.

3.3. Precizia rezultatelor obținute prin metoda elementului finit

Erorile care apar în rezolvarea numerică a problemelor matematice se împart, în esență, în cinci categorii: erori de problemă, erori de metodă, erori inițiale, erori de rotunjire și erori de trunchiere.

Erorile de problemă sunt cauzate de faptul că, nu întotdeauna formularea matematică descrie exact procesul modelat, deoarece de multe ori, necesitatea de a reduce complexitatea formulării, impune acceptarea unor condiții simplificatoare. Un exemplu în acest sens, îl constituie modelarea matematică plană a unei structuri alcătuită din cadre spațiale, când se efectuează calculul pe modele de cadru plan, dispuse pe cele două direcții ortogonale. Deoarece efectul conlucrării spațiale nu poate fi “sesizat” de către model, inevitabil rezultatele obținute prin calcul vor diferi de cele reale.

Erorile de metodă se datorează faptului că, uneori este dificilă, dacă nu, chiar imposibilă rezolvarea formulării exacte a problemei. În aceste cazuri, problema este înlocuită cu una aproximativă, pentru care există tehnici adecvate de rezolvare și care are un rezultat foarte apropiat. Ca exemplu, se poate aminti calculul plăcilor curbe subțiri, care sunt mult mai ușor de modelat prin metoda elementelor finite decât prin metodele Teoriei Elasticității, erorile fiind suficient de mici pentru a putea surprinde fenomenul. Metodele numerice sunt prezente în majoritatea contextelor, în care sunt utilizate metode de aproximare.

Erorile inițiale (inerente) sunt erori în valorile datelor inițiale, cauzate de incertitudini în măsurători sau de natura inherent aproximativă a reprezentării numerelor cu ajutorul unui număr finit de cifre. Exemplul cel mai elocvent îl constituie determinarea rezistenței betonului prin metode nedistructive, proces afectat de erori semnificative.

Erorile de rotunjire sunt cauzate de reprezentarea numerelor cu un număr finit de cifre semnificative exacte, așa cum se întâmplă în cazul operației $1/3$ sub forma 0,333, care implică o eroare de rotunjire de aproximativ 3×10^{-4} . Erorile de rotunjire depind de particularitățile hardware ale calculatorului și de modul de reprezentare internă al diferitelor tipuri de date utilizate în calcule (întreg, real, dublă precizie).

Erorile de trunchiere (reziduale) provin din natura infinită a unor procese utilizate în descrierea soluției problemelor matematice. Faptul că, practic, aceste procese trebuie întrerupte după un număr finit de pași, induce o eroare de trunchiere. Rezolvarea sistemelor de ecuații prin metode iterative conduce la acest gen de erori.

Erorile de problemă și cele de metodă se află sub controlul direct al operatorului. Acesta va trebui să aleagă modelele matematice și metodele de calcul capabile să conducă la minimizarea erorilor, fără augmentarea excesivă a duratei de calcul. Erorile inițiale depind de precizia metodelor și a aparaturii de laborator cu care se efectuează testele și/sau de cunoștințele existente (nivelul la care a ajuns cercetarea) într-un domeniu la un moment dat. Metodele numerice permit, în principiu, controlul erorilor de rotunjire și al celor de trunchiere, cu condiția transcrierii adecvate a algoritmului.

3.4. Problematica aproximării cu elemente finite




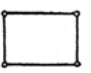





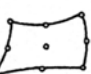










3.4.1. Tipuri de elemente finite

Una din problemele importante pe care inginerul de structuri trebuie să o aibă în vedere, atunci când apelează la metoda elementelor finite, este alegerea adecvată a tipului de element finit. Astfel, se va avea în vedere, atât forma geometrică a acestuia, numărul și tipul nodurilor sale, tipul variabilelor din nod, cât și modul de aproximare a funcțiilor necunoscute din interiorul elementului finit, prin utilizarea funcțiilor de interpolare corespunzătoare.

Funcțiile care aproximează variabilele câmpului nu pot fi alese arbitrar, ci trebuie să satisfacă condiții legate, pe de o parte de convergența soluției approximate și, pe de altă parte, de asigurarea continuității acesteia la interfețele elementelor. Pentru a clasifica gradul de continuitate al variabilelor câmpului la interfețele elementelor finite, se preconizează definiții și notații standard. Continuitatea este numită de clasa C^0 , dacă este asigurată continuitatea funcției (funcțiile respective fiind numite *funcțiile generalizate ale lui Lagrange*), de clasă $C^1 \dots C^n$, dacă este asigurată și continuitatea derivatelor de ordinul întâi, respectiv superior (funcțiile respective fiind numite *funcțiile generalizate ale lui Hermite*). Cu aceste definiții, condițiile pe care trebuie să le îndeplinească funcțiile de interpolare presupuse având $(k+1)$ derivate, în ipoteza că prin micșorarea dimensiunii elementului finit se asigură convergența, pot fi grupate în:

- a) condiții de *compatibilitate*, care reclamă continuitate de clasa C^k la interfețe;
- b) condiții de *completitudine*, care reclamă continuitate de clasa C^{k+1} .

Tabelul 3.1. – Tipuri de elemente finite

Nr. crt.	Geometria elementului finit	Grade de libertate nodale		Cîmpul de deplasări	Nr. crt.	Geometria elementului finit	Grade de libertate nodale		Cîmpul de deplasări
		Tip	Număr				Tip	Număr	
1		u v (w)	4 6	Liniar De gradul 2	6		u v	12	Polinom de gr. 2 complet, in coordonate curbilini
2		u v	6	Polinom liniar complet	7		u v	8	Liniar
3		u v	12	Polinom de gr. 2 complet	8		u v $\frac{\partial u}{\partial x} \frac{\partial u}{\partial y} \frac{\partial^2 u}{\partial x^2 \partial y^2}$ $\frac{\partial v}{\partial x} \frac{\partial v}{\partial y} \frac{\partial^2 v}{\partial x^2 \partial y^2}$	32	Polinom de gr. 5 incomplet (Interp. Hermite)
4		u v	20 18	Polinom de gr. 3 complet	9		u v	8	Liniar in coordonate oblice
5		u v $\frac{\partial u}{\partial x} \frac{\partial u}{\partial y}$ $\frac{\partial v}{\partial x} \frac{\partial v}{\partial y}$	20 18	Polinom de gr. 3 complet	10		u v	16 18	Polinom de gr. 4 incomplet in coordonate curbilini (Interp. Lagrange)
11		u v $\frac{\partial u}{\partial x} \frac{\partial u}{\partial y}$ $\frac{\partial v}{\partial x} \frac{\partial v}{\partial y}$	32	Polinom de gr. 6 incomplet in coordonate curbilini (Interp. Hermite)	16		u v w	24	Polinom de gr. 3 incomplet in coordonate oblice
12		u v w	12	Polinom liniar complet	17		u v w	81 60	Polinom de gr. 6 incomplet in coordonate curbilini (Interp. Lagrange)
13		u v w	30	Polinom de gr. 2 complet in coordonate carteziene, curbil.	18		u v w	64	Polinom de gr. 6 incomplet in coordonate curbilini (Interp. Lagrange)
14		u v w	60	Polinom de gr. 3 complet in coordonate curbilini.	19		u v w $\frac{\partial u}{\partial x} \frac{\partial u}{\partial y} \frac{\partial u}{\partial z}$ $\frac{\partial v}{\partial x} \frac{\partial v}{\partial y} \frac{\partial v}{\partial z}$ $\frac{\partial w}{\partial x} \frac{\partial w}{\partial y} \frac{\partial w}{\partial z}$	96	Polinom de gr. 6 incomplet in coordonate curbilini (Interp. Hermite)
15		u v w $\frac{\partial u}{\partial x} \frac{\partial u}{\partial y} \frac{\partial u}{\partial z}$ $\frac{\partial v}{\partial x} \frac{\partial v}{\partial y} \frac{\partial v}{\partial z}$ $\frac{\partial w}{\partial x} \frac{\partial w}{\partial y} \frac{\partial w}{\partial z}$	50 48	Polinom de gr. 3 complet	20		w $\frac{\partial w}{\partial x} \frac{\partial w}{\partial y}$	9	Polinom de gr. 3 complet

Din punctul de vedere al acestor condiții, se poate menționa aici că, dificultățile în alcătuirea elementelor finite și a funcțiilor de interpolare respective cresc, cu clasa de continuitate a acestora din urmă. În cazul acelor probleme, la care clasa de continuitate C^0 este suficientă, din multitudinea de elemente finite aparținând acestei clase se preferă tipurile cele mai simple, pentru a reduce volumul de calcul.

În ceea ce privește geometria elementelor finite, aceasta prezintă de cele mai multe ori forme simple. Tabelul 3.1 ilustrează o serie de elemente finite liniare, de suprafață și spațiale utilizate în analiza structurilor. S-au prezentat elemente *liniare*, *plane* încărcate în planul lor, *spațiale* și plane încărcate normal pe planul lor. Se disting nodurile așezate în colțurile, respectiv pe marginile (laturile respectiv suprafețele) elementelor, numite noduri *exterioare*, în dreptul cărora se asigură conexiunea cu elementele vecine.

Unele elemente au și noduri plasate în interiorul lor, numite noduri *interioare*. Acestea devin necesare atunci când numărul coordonatelor generalizate depășește numărul gradelor de libertate ale elementului finit. În acest mod, matricea de rigiditate poate fi îmbunătățită, făcând-o mai rigidă sau dimpotrivă mai flexibilă. Cu toate acestea, utilizarea unui număr mare de noduri interioare nu este recomandată, întrucât nu se obține o îmbunătățire a condițiilor de echilibru între elemente, în schimb crește substanțial volumul de calcul. În tabel se precizează variabilele nodale considerate (tipul gradului de libertate) și numărul acestora. În dreptul nodurilor însemnate cu două cercuri concentrice, sunt considerate ca variabile nodale, pe lângă funcțiile ca atare și derivatele acestora.

3.4.2. Elemente finite izoparametrice

În situațiile când, pentru calculul unor structuri de rezistență se folosesc elemente finite tridimensionale cu muchii drepte, prezența în structură a unor margini curbe poate conduce, în cadrul discretizării, la un număr însemnat de mare de asemenea elemente. Având în vedere și numărul mare de grade de libertate al acestora, pot interveni dificultăți în privința capacității de memorare a datelor și a duratei calculului. Acest neajuns poate

fi evitat prin utilizarea unor elemente finite cu margini curbe, obținându-se o importantă reducere a numărului acestora.

Ideea de bază este aceea, de a transforma forma geometrică simplă a unui element finit, având marginile drepte și paralele cu axele sistemului de referință local de coordonate carteziene, într-o formă geometrică cu margini curbe (în particular drepte înclinate), raportată la sistemul global (sau local) de referință. În figura 3.3 este ilustrată această operație, în cazul unui element plan, respectiv spațial, rezultând și o transformare a sistemului de coordonate locale.

Analizând această situație, se constată că atât câmpul de deplasări, cât și geometria marginilor elementului finit, se exprimă prin intermediul funcțiilor de interpolare având același ordin. Elementele finite astfel definite se numesc izoparametrice.

Unul dintre avantajele mari pe care îl prezintă elementele finite izoparametrice este acela că, stabilirea caracteristicilor acestora poate fi făcută direct pe elementul finit generator, efectuându-se doar o transpunere în spațiul real.

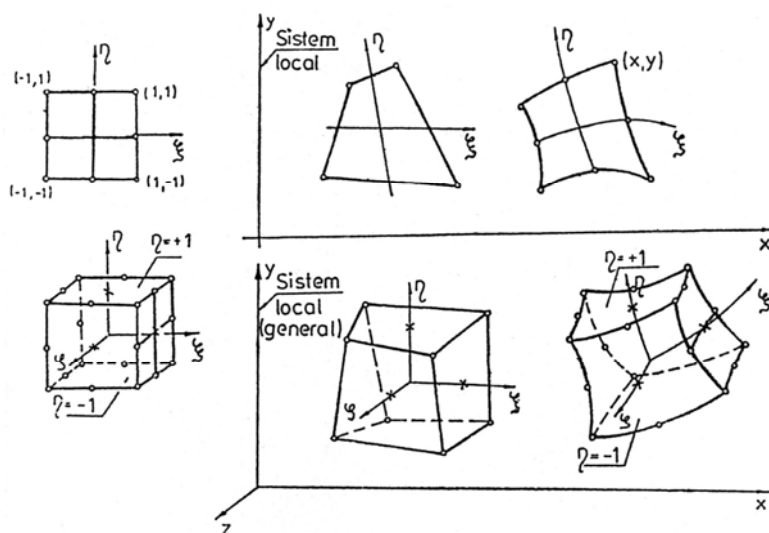


Fig. 3. 3 – Elemente finite izoparametrice

În ceea ce privește condițiile de continuitate, vor fi luate în considerare următoarele reguli:

- a) dacă la generarea a două elemente finite vecine, se folosește un element finit, având funcții de interpolare care asigură satisfacerea condițiilor de continuitate între elementele vecine, atunci condițiile de continuitate vor fi satisfăcute și între elementele finite generate.
- b) dacă criteriile de completitudine sunt satisfăcute în elementul finit generator, acestea se regăsesc automat și în elementul finit generat.

3.4.3 Discretizarea structurii

Prin discretizarea unei structuri se înțelege subîmpărțirea acesteia într-un număr oarecare de elemente finite, interconectate în nodurile lor exterioare. În cadrul acestei operații, se aleg tipurile de elemente finite care vor fi utilizate și se stabilește repartizarea lor pe domeniul discretizat, rezultând astfel numărul, dimensiunea și forma acestora. La structurile alcătuite numai din bare, modelul de calcul ce rezultă în urma discretizării structurii asigură satisfacerea condițiilor de compatibilitate și de echilibru, atât în interiorul fiecărui element, cât și pentru structura întregă; la structurile bi- și tridimensionale, modelul de calcul rezultat prin discretizare nu satisface condițiile menționate decât parțial.

De asemenea, forțele nodale, care depind de gradele de libertate prevăzute în nod, nu au în acest caz corespondență fizică în structura dată; în cazul elementelor finite liniare aceste forțe coincid chiar cu eforturile rezultate din secțiune. Din această cauză, pentru ca rezultatele obținute prin calcul condus pe un model cu elemente bi- sau tridimensionale să aproximeze cât mai bine soluția problemei, discretizarea trebuie să aibă la bază o analiză atentă a stării de deformații și eforturi din structură, luând în considerare aspectele particulare de formă, material, rezemare și încărcare pe care le prezintă aceasta.

Poziția nodurilor, respectiv a liniilor sau suprafețelor de separare între elementele finite (linii, suprafețe nodale) este condiționată, atât de prezența unor variații în geometria structurii sau calitatea materialului acesteia, cât și de existența unor încărcări concentrate sau chiar distribuite, dar după legi de variație discontinue. În figura 3.4 sunt prezentate schematic câteva situații în care poziția nodurilor sau a liniilor nodale este impusă.

În cazul existenței unor concentratori de tensiune, cum este acela al întrândurilor (fig. 3.5), în vârful unghiului concav va trebui plasat un nod. Există posibilitatea de a utiliza aici un element finit special prevăzut el însuși cu un decupaj; apar însă dificultăți în alcătuirea matricei de rigiditate, motiv pentru care această cale se folosește mai rar. Când se urmărește efectul local al concentratorului de tensiune, pentru cunoașterea vârfului de tensiune, uneori se preconizează procedeul îndesirii succesive a rețelei în zona cercetată.

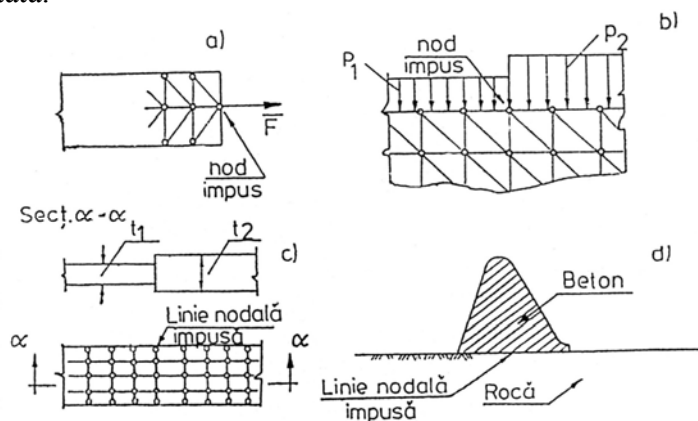


Fig. 3.4. – Noduri și linii nodale impuse de geometrie sau încărcări

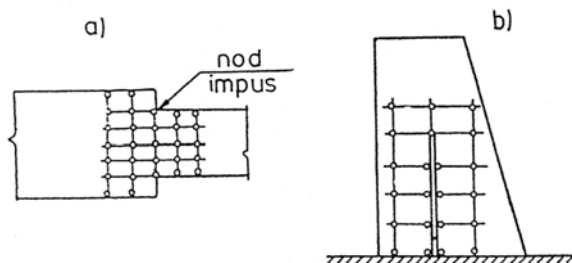


Fig. 3.5. – Noduri impuse de concentrări de tensiuni

Prezența unor fisuri necesită dedublarea nodurilor în rețea (fig. 3.5 b), la capătul fisurii fiind dispus un singur nod. Pentru a prinde efectul local al concentratorului de tensiune de la capătul fisurii, sunt și în acest caz imaginate elemente finite speciale, cu fisură.

În ceea ce privește tratarea marginilor curbe, fie că se procedează la o îndesire a rețelei, utilizând elementele finite cu margini drepte (triunghi, patrulater oarecare, piramidă etc.), fie că se apelează la avantajele pe care le

prezintă din acest punct de vedere elementele finite izoparametrice cu margini curbe.

Rezultatele (deplasările și tensiunile) care se obțin cu metoda elementelor finite sunt dependente de soluția de discretizare aleasă. Din acest motiv, există situații, în special în cazul unor geometrii complicate, când problema inginerească abordată cu această metodă, trebuie investigată în mai multe variante de discretizare, urmând să se trieze rezultatele obținute.

Legat de operația de discretizare, o problemă deosebit de importantă este numerotarea nodurilor rețelei. În figura 3.6 sunt reprezentate două modalități de marcare a nodurilor, respectiv a elementelor finite, cea din figura 3.6 a fiind mai des utilizată.

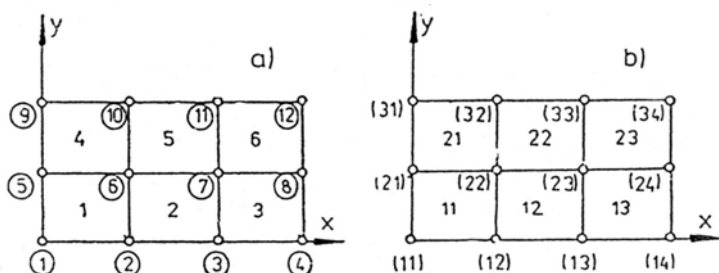


Fig. 3.6. – Modalități de numerotare în metoda elementelor finite

Astfel, dimensiunea sistemului de ecuații algebrice liniare la care conduce operația de asamblare a elementelor finite depinde, nu numai de dimensiunile matricelor de rigiditate a elementelor finite componente, ci și de numărul și modul de numerotare a nodurilor rețelei. Matricea coeficienților necunoscutelor este o matrice de tip bandă, a cărei lățime influențează, atât cantitatea de memorie necesară, cât și timpul de rezolvare. Pentru a reduce lățimea benzii matricei, în cazul utilizării elementelor finite complexe, vor fi preferate cele cu noduri exterioare suplimentare, în dreptul cărora se definesc derivatele deplasărilor ca și gradele de libertate suplimentare; în ceea ce privește numerotarea nodurilor, se va urmări realizarea unei diferențe D minime între numerele de ordine a două noduri vecine, având în vedere că semi-lățimea L a benzii este dată de expresia:

$$L = (D+I) \cdot g, \quad (3.1)$$

g fiind numărul gradelor de libertate al fiecărui nod.

Pentru structuri având o geometrie complexă, este greu de realizat o numerotare a nodurilor care să conducă la o valoare L minimă. În asemenea situații se apelează la numerotarea automată oferită de programele de calcul, elaborate pe baza unor algoritmi de optimizare a numerotării. Utilizarea unor asemenea algoritmi este întotdeauna indicată, dacă se are în vedere faptul că, din timpul total de calcul la computer, cel afectat rezolvării sistemului de ecuații poate reprezenta 70 - 80%.

Rezultatele calculelor sunt mult influențate de raportul dimensiunilor semnificative ale elementului finit (de exemplu, lungimea dreptunghiului/lățimea dreptunghiului). Pentru exemplificare, în cazul plăcii plane supuse la încovoiere în planul ei (fig. 3.7.a) și discretizată în 12 elemente finite dreptunghiulare, având raportul laturilor cuprins între 1,125 și 8, se compară valoarea deplasării punctului A pe direcția axei x cu valoarea exactă.

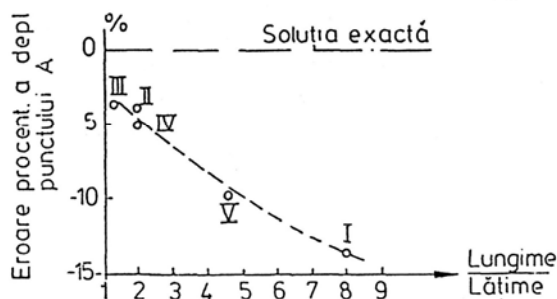
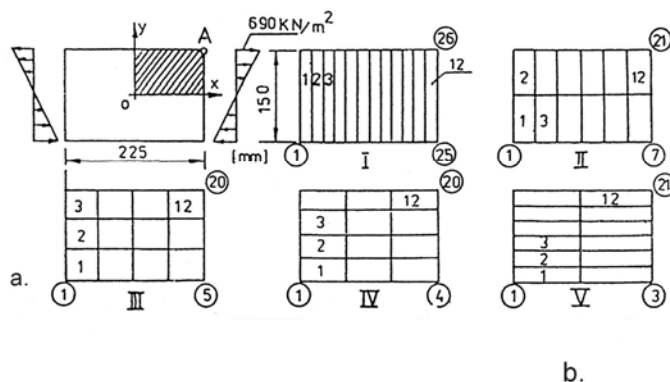


Fig. 3.7. – Influența raportului laturilor asupra preciziei rezultatelor

Se constată că erorile comise sunt cu atât mai mici cu cât raportul laturilor se apropie de valoarea unitară (fig. 3.7.b). Ca regulă generală, se recomandă evitarea formelor prea alungite.

Păstrând același raport al laturilor, în figura 3.8 se poate urmări influența numărului de elemente asupra valorii deplasării punctului A pe direcția axei x, utilizând un element finit dreptunghiular cu 8 grade de libertate și conducând calculul pe sfertul de placă hașurat în figura 3.7.a. Se poate constata că, de la un anumit număr de elemente, rezultatele nu mai pot fi îmbunătățite simțitor prin creșterea numărului acestora.

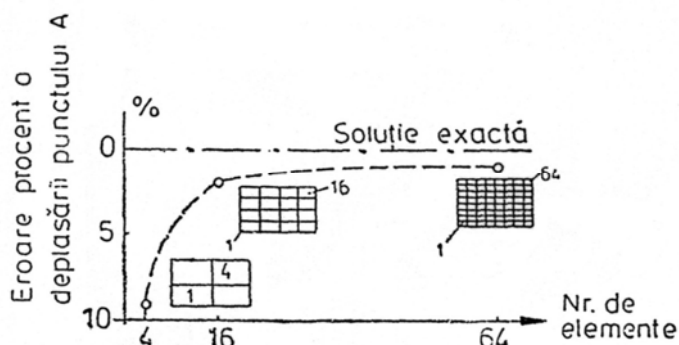


Fig. 3.8. – Influența numărului de elemente asupra preciziei rezultatelor

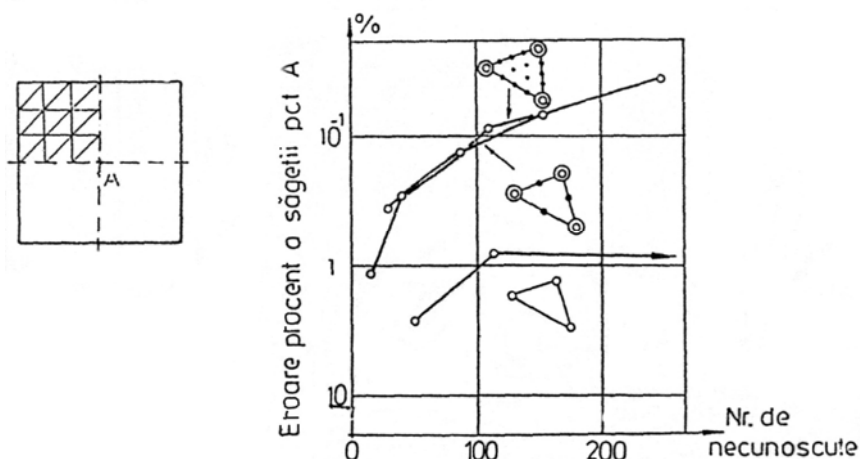


Fig. 3.9. – Influența tipului de element finit asupra preciziei rezultatelor

Acest aspect este ilustrat și în cazul unei plăci încovoiate, simplu rezemate pe contur, supusă acțiunii unei forțe concentrate aplicată în centrul plăcii (fig. 3.9); pentru a reduce eroarea în determinarea săgeții punctului A, se recomandă înlocuirea elementului finit triunghiular cu 9 grade de libertate cu cel având 21 sau 35 grade de libertate. Remarcând diferențe nesemnificative între rezultatele obținute prin utilizarea ultimelor două tipuri de elemente finite, în practică este preferat cel cu 21 grade de libertate.

4. PROIECTAREA PLĂCILOR DIN BETON ARMAT

Plăcile din beton armat sunt elemente de suprafață la care una din dimensiuni este mult mai mică decât celelalte două iar încărcarea este aplicată perpendicular pe planul lor.

Plăcile din beton armat se clasifică din punct de vedere structural în două mari categorii: plăci armate pe o direcție și plăci armate pe două direcții.

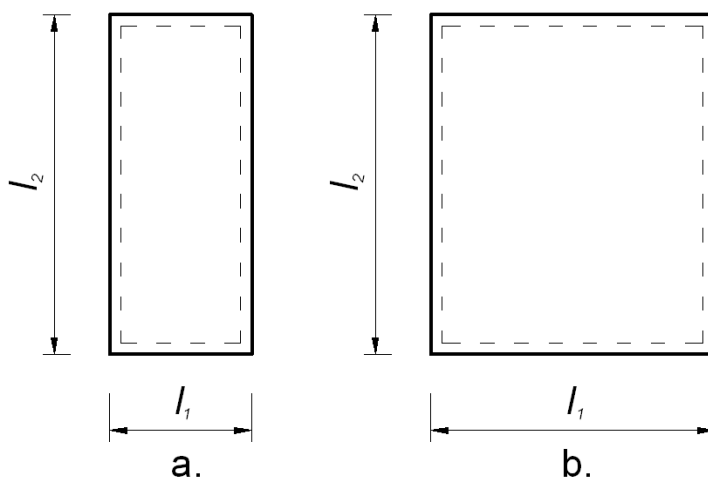


Fig. 4.1. – Plăci armate: a. - pe o direcție; b. - pe două direcții

Plăcile se armează pe o direcție dacă raportul laturilor respectă una din relațiile:

$$\frac{l_2}{l_1} > 2 \quad \text{sau} \quad \frac{l_2}{l_1} < 0,5 \quad (4.1)$$

Dacă relația de mai sus nu este respectată adică:

$$0,5 \leq \frac{l_2}{l_1} \leq 2 \quad (4.2)$$

atunci plăcile se armează pe două direcții.

Din punct de vedere structural plăcile armate pe două direcții sunt mai raționale deoarece aceeași încărcare este distribuită pe două direcții ortogonale, fiecare direcție preluând doar o fracțiune din încărcarea totală.

La plăcile armate pe o direcție întreaga încărcare este preluată pe direcția scurtă, rezultând o cantitate mare de armătură pe această direcție. Deoarece pe cealaltă direcție sunt necesare armături de repartiție, cantitatea totală de armătură necesară la armarea plăcilor pe o direcție este mai mare decât în cazul plăcilor armate pe două direcții unde, armătura de rezistență de la partea inferioară joacă și rol de armătură de repartiție.

4.1. Calculul plăcilor armate pe o direcție

Proiectarea plăcilor armate pe o direcție se face conform pașilor descriși în fig. 1.1.

4.1.1. Predimensionare

Predimensionarea grosimii plăcii se face cu relația:

$$h = \frac{1}{30 \dots 40} l_1 \geq h_{\min} \quad (4.3)$$

unde l_1 este cea mai mică deschidere a plăcii (fig. 4.2).

Se observă că, grosimea plăcii obținută prin predimensionare trebuie să aibă cel puțin o valoare minimală, din considerente tehnologice. Grosimea minimă a plăcii din beton armat conform STAS 10107/0-90 este de 60 mm la plăcile monolite și 30 mm la cele prefabricate în condițiile în care acoperirea cu beton a armăturilor are valoarea minimă de 10 mm. Dacă acoperirea cu beton este mai mare de 10 mm va fi majorată automat și grosimea minimă a plăcii.

Se recomandă ca, grosimea minimă a planșeelelor monolite h_{\min} să se considere:

- 60 mm la planșee de acoperiș;

- 70 mm la planșeele intermediare ale clădirilor civile, dacă din condiția de izolare fonică nu rezultă valori mai mari;
- 80 mm la planșeele intermediare ale clădirilor industriale etajate (hale de producție, depozite etc.);
- 100 mm la planșeele carosabile.

Grosimea finală a plăcii va fi multiplu de 10 mm.

4.1.2. Schema statică

Plăcile armate pe o direcție se calculează astfel: se consideră o fâșie de placă de lungime unitară (uzual 1,0 m), se calculează armătura necesară pentru această fâșie iar în final se repetă armarea pentru fiecare lungime unitară adiacentă, extinzându-se pe întreaga lungime a plăcii (fig. 4.2).

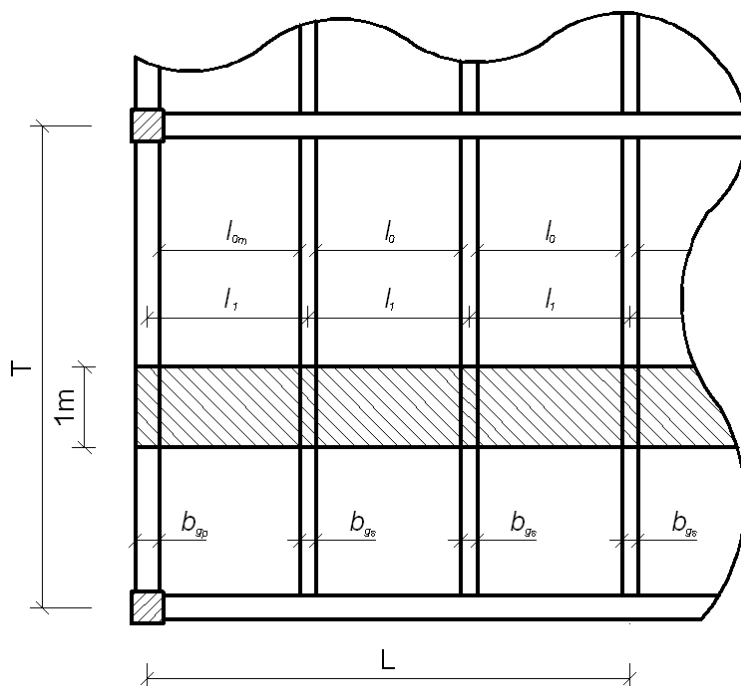


Fig. 4.2 – Calculul plăcilor armate pe o direcție

În aceste condiții, schema statică a fâșiei de placă care reazemă pe grinzi este cea a unei grinzi continue. Ca regulă generală, în măsura în care

este posibil, grinzile secundare se vor poziționa astfel ca distanțele l_1 dintre axele acestora să fie egale. Această situație va permite efectuarea unui calcul manual simplificat. Dacă nu este posibil acest lucru, calculul static se va efectua în mod clasic.

În cadrul schemei statice s-a considerat drept deschidere distanța dintre fețele grinzilor secundare și nu distanța interax așa cum ar părea normal la prima vedere. Acest lucru se datorează faptului că, deoarece secțiunea grinzilor fiind mult mai mare decât cea a plăcii, eventualele cedări vor avea loc la fața grinzii și nu în axul acesteia.

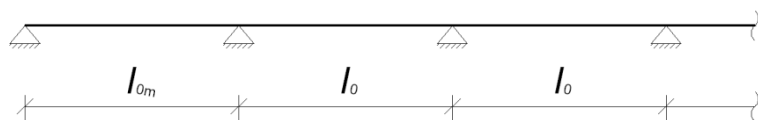


Fig. 4.3 – Schema statică a plăcilor armate pe o direcție

Legăturile plăcii cu grinzile se vor considera articulate deoarece grinzile nu pot prelua în mod eficient efectele de torsiune, grinda marginală având cea mai accentuată rotire. În cazul deschiderii de calcul marginale, pentru elemente fără legătură monolită, s-a adăugat o jumătate din grosimea plăcii determinată la pct. 4.1.1 conform STAS 10107/1-90.

Deschiderile de calcul se vor calcula cu relațiile:

- pentru reazeme alcătuite din grinzi, centuri sau stâlpi cu legătură monolită:

$$\begin{aligned} l_0 &= l_1 - b_{gs} \\ l_{0m} &= l_1 - \frac{b_{gs}}{2} - \frac{b_{gp}}{2} \end{aligned} \quad (4.4)$$

- pentru reazeme alcătuite din grinzi, centuri sau zidării fără legătură monolită:

$$\begin{aligned} l_0 &= l_1 - b_{gs} \\ l_{0m} &= l_1 - \frac{b_{gs}}{2} - \frac{b_{gp}}{2} + \frac{h}{2} \end{aligned} \quad (4.5)$$

unde lățimile grinzilor secundare b_{gs} și ale grinzii principale b_{gp} se vor predimensiona conform punctului 1.2.

4.1.3. Stabilirea încărcărilor

Încărcările se împart în două mari categorii (fig. 4.4): încărcări permanente (a căror sumă este notată cu g) și încărcări utile (a căror sumă este notată cu p). Toate încărcările vor fi încărcări de calcul (cu coeficienți parțiali de siguranță) și se vor evalua pentru un m^2 de placă conform informațiilor prezentate în cadrul capitolului 2. Deoarece fâșia considerată are lățimea de 1 m, valoarea încărcărilor pe m^2 de placă va fi identică cu cea a încărcărilor pe metru liniar de fâșie.

Solicitările exterioare utile pot apărea în exploatarea curentă a plăcilor în deschideri diverse, putându-se elabora mai multe scheme de încărcare. Deoarece în procesul de proiectare trebuie considerate cele mai dezavantajoase situații de solicitare, pentru calculul eforturilor în diverse secțiuni vor trebui adoptate diferite scheme de încărcare.

În urma analizelor efectuate în decursul timpului s-au stabilit cele mai dezavantajoase situații de încărcare pentru obținerea unor eforturi maxime în câmp și în reazem, aceste situații fiind prezentate în figura 4.4.

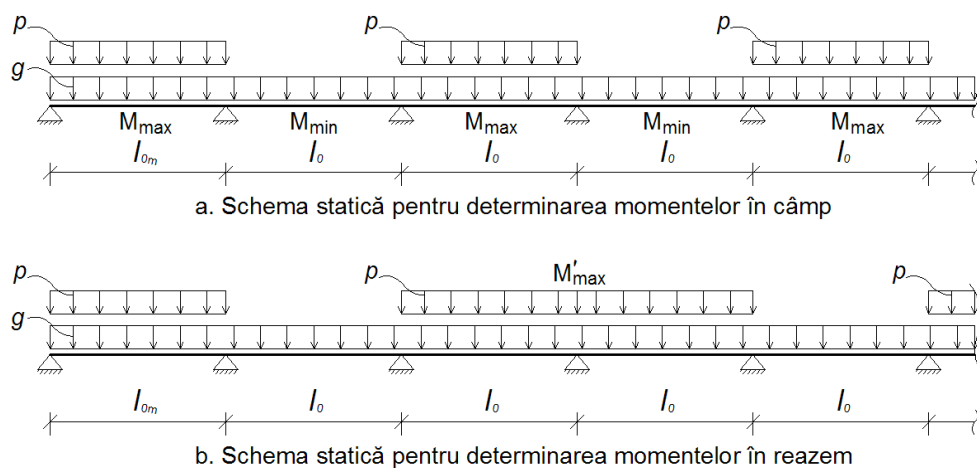


Fig. 4.4 – Ipoteze de încărcare

Astfel, pentru determinarea momentului maxim M_{\max} într-un câmp, încărcarea permanentă va trebui considerată în toate deschiderile iar

încărcarea utilă va trebui poziționată în deschiderea respectivă precum și în deschideri alternante (fig. 4.4.a).

Pentru determinarea momentului minim M_{\min} într-un câmp, încărcarea permanentă va trebui considerată în toate deschiderile iar încărcarea utilă va trebui poziționată în deschiderile adiacente celei considerate, precum și în deschideri alternante (fig. 4.4.a).

Pentru determinarea momentului maxim negativ M'_{\max} într-un reazem, încărcarea permanentă va trebui considerată în toate deschiderile iar încărcarea utilă va trebui poziționată în deschiderile adiacente reazemului considerat, precum și în deschideri alternante (fig. 4.4.b).

4.1.4. Calculul static

Dacă deschiderile plăcii nu diferă între ele cu mai mult de 10%, prescripțiile legale în vigoare acceptă efectuarea unui calcul simplificat în domeniul postelastice. Se face observația că nu se poate efectua calculul în domeniul postelastic pentru următoarele situații:

- în cazul planșeelor care au încărcări tehnologice cu caracter dinamic;
- în cazul planșeelor la care se pun condiții speciale de limitare a deschiderii fisurilor;
- în cazul elementelor din beton precomprimat ale planșeelor;
- elementelor din beton armat la care diferența dintre procente de armătură dispuse în zona întinsă și în cea comprimată ($p - p'$) are valori mai mari decât valorile limită din tabelul 4.1;
- în cazul elementelor din beton armat la care raportul dintre încărcarea utilă de lungă durată și încărcarea totală este mai mare de 0,75; în acest caz se permite efectuarea calculului în domeniul postelastic doar dacă valoarea $1,2 \cdot p/d$ rezultă cu valori cel mult egale cu cele de la care nu este necesară verificarea prin calcul a deschiderii fisurilor normale, precizate în tabelul 31, Anexa C din STAS 10107/0-90.

Tabelul 4.1 – *Valori limită ($p-p'$)*

Tipul armăturii	Clasa betonului			
	C8/10	C12/15	C16/20	C18/22,5
	Valori limită ($p-p'$)			
OB37	0,77	1,13	1,49	-
PC52	0,54	0,79	1,04	1,15
PC60 și STNB	-	0,68	0,89	0,99

Dacă un calcul în domeniul postelastice nu este posibil, atunci se va efectua un calcul în domeniul elastic al plăcii, ca pentru o grindă continuă.

Calculul în domeniul postelastic se poate efectua în mod simplificat (conform STAS 10107/2-92), cu relațiile:

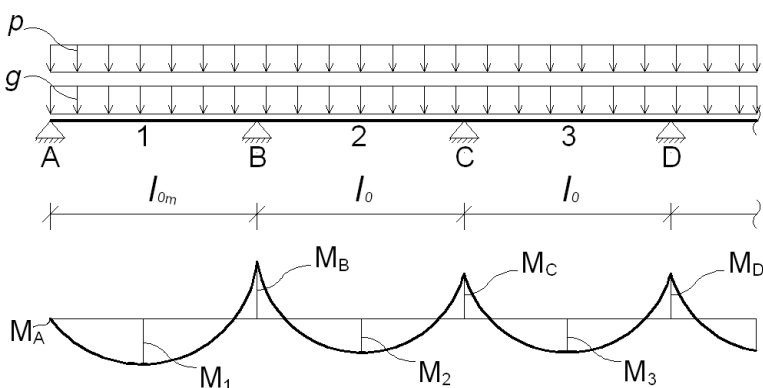


Fig. 4.5 – *Calculul eforturilor în domeniul postelastic la plăcile armate pe o direcție*

$$M_A = 0 \quad (4.6)$$

$$M_1 = \frac{(g + p) \cdot l_{0m}^2}{11} \quad (4.7)$$

$$M_B = \frac{(g + p) \cdot l_{0m}^2}{14} \quad (4.8)$$

$$M_2 = M_C = M_3 = M_D = \dots = \frac{(g + p) \cdot l_0^2}{16} \quad (4.9)$$

unde:

- M_i – momentul de calcul în secțiunea i , conform fig. 4.5;

- g – suma tuturor încărcărilor permanente;
- p – suma tuturor încărcărilor variabile;
- l_{0m}, l_0 – deschiderile de calcul, calculate conform relațiilor (4.4), (4.5).

Dacă deschiderile plăcilor sunt inegale și au diferențe de 10%...40% iar încărcarea temporară nu depășește o treime din încărcarea totală, momentele de calcul în secțiunile critice ale plăcilor se pot calcula după cum urmează:

- momentele din reazeme se calculează cu relațiile (4.8) și (4.9) considerând deschiderea de calcul ca fiind cea mai mare dintre cele două deschideri adiacente reazemului respectiv;
- momentele din câmpuri se calculează punând condiția ca suma momentului în câmp cu semi-suma momentelor din reazeme să fie egală cu:

$$\frac{(g + p) \cdot l_0^2}{8} \quad (4.10)$$

dar respectând și condiția ca momentul din câmp să nu fie mai mic de:

$$\frac{(g + p) \cdot l_0^2}{24} \quad (4.11)$$

Dacă deschiderile plăcilor au diferențe mai mari de 40% sau dacă deschiderile plăcilor au diferențe mai mari de 10% iar încărcarea temporară depășește 1/3 din încărcarea totală, plăcile nu se pot calcula utilizând o metodă de calcul simplificat și vor trebui calculate manual sau cu un program de calcul, utilizând schema statică din fig. 4.5. Deoarece programele de calcul efectuează calculul în domeniul elastic, pentru calculul în domeniul postelastice al plăcilor armate pe o direcție, se vor aplica prevederile capitolului 5 din STAS 10107/2-1992.

Se face observația că, plăcile curente nu au probleme de preluare a forței tăietoare (aceasta fiind preluată fără probleme doar de secțiunea de beton), iar un calcul la acest efort nu este necesar în majoritatea cazurilor curente. Pentru situații speciale, calculul forței tăietoare poate fi determinat fie simplificat, conform STAS 10107/2-192, fie cu ajutorul programelor de calcul.

4.1.5. Verificarea grosimii plăcii

Această verificare nu este necesară dacă grosimea plăcii s-a stabilit pe criterii constructive (grosime de placă minim impusă) la pct. 4.1.1. Practica a demonstrat că, în marea majoritate a cazurilor de plăci armate pe o direcție, verificarea grosimii plăcii nu este necesară.

Verificarea se poate face totuși în cazuri particulare de conformare geometrică sau, atunci când încărcările aplicate pe placă sunt foarte mari. Grosimea plăcii determinată cu aproximație la punctul 4.1.1 (în faza de predimensionare), trebuie verificată pe baza solicitărilor calculate la pct. 4.1.4. În acest sens, se va impune un procent optim de armare:

$$p_{opt} = 0,8\% \quad (4.12)$$

Apoi, se vor calcula:

$$\xi_{opt} = \frac{p_{opt} \cdot R_a}{100 \cdot R_c} \quad (4.13)$$

$$r = \frac{1}{\sqrt{\xi \cdot (1 - 0,5 \cdot \xi)}} \quad (4.14)$$

unde:

- R_c – rezistența la compresiune a betonului;
- R_a – rezistența la întindere a armăturii.

În final, se va găsi grosimea minimă a plăcii h_{nec} cu relațiile:

$$h_{0nec} = r \cdot \sqrt{\frac{M_1}{b \cdot R_c}} \quad (4.15)$$

$$a = a_b + \frac{\phi}{2} \quad (4.16)$$

$$h_{nec} = h_{0nec} + a \quad (4.17)$$

unde:

- M_1 – momentul de calcul în primul câmp determinat la pct. 4.1.4;
- b – lățimea fâșiei de placă, cu valoarea de 1000 mm;
- a – distanța de la centrul de greutate a armăturii la fața inferioară a betonului;

- a_b – acoperirea cu beton a armăturii conform pct. 1.5;
- ϕ - diametrul armăturii, pentru plăci luându-se valoarea $\phi = 10$ mm;
- h_{nec} – grosimea necesară a plăcii.

Dacă între valoarea de la pct. 4.1.1 și cea determinată cu relația (4.17) nu există diferențe mai mari de 10 mm atunci se va păstra valoarea determinată la pct. 4.1.1. În cazul unor diferențe mai mari, se va adopta drept grosime a plăcii noua valoare determinată cu ecuația (4.17) iar calculele se vor relua de la pct. 4.1.3.

4.1.6. Stabilirea cantităților teoretice de armătură

Calculul armăturilor plăcilor se face pentru o fâșie de 1,0 m urmând ca armarea să se repete din metru în metru până la acoperirea întregii deschideri a plăcii.

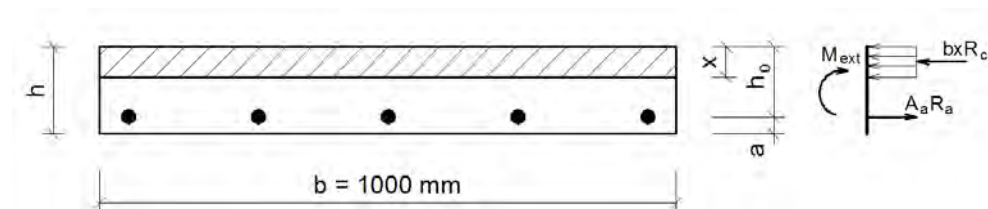


Fig. 4.6 – Calculul armăturilor în secțiunile din câmp

Necesarul de armătură pentru secțiunile din câmp se determină punând condiția de echilibru între acțiunea exterioară și reacțiuni, conform figurii 4.6. Cantitățile necesare de armătură în câmp se determină conform ecuațiilor (4.18)...(4.21) pentru fiecare moment determinat la punctul 4.1.4.

$$h_0 = h - a \quad (4.18)$$

$$B = \frac{M_{ext}}{b \cdot h_0^2 \cdot R_c} \quad (4.19)$$

$$\xi = 1 - \sqrt{1 - 2 \cdot B} \quad (4.20)$$

$$A_a^{nec} = \xi \cdot b \cdot h_0 \cdot \frac{R_c}{R_a} \quad (4.21)$$

unde:

- h_0 – distanța de la fața superioară a betonului la centrul de greutate al armăturii;
- b – lățimea fâșiei de placă, cu valoarea de 1000 mm;
- a – distanța de la centrul de greutate a armăturii la fața inferioară a betonului, determinată cu relația (4.16);
- ξ - înălțimea relativă a zonei comprimate, cu valoarea $\xi = x/h_0$;
- B - coeficient adimensional utilizat în calculul elementelor din beton cu valoarea $B = \xi \cdot (1 - 0,5 \cdot \xi)$;
- A_a^{nec} – cantitatea necesară de armătură pentru preluarea solicitărilor exterioare.

În mod similar, se vor determina și cantitățile necesare de armătură în reazeme, scriindu-se condițiile de echilibru conform figurii 4.7. În final se vor utiliza practic aceleași relații (4.18)...(4.21) dar poziționarea armăturilor în acest caz va fi conform figurii 4.7.

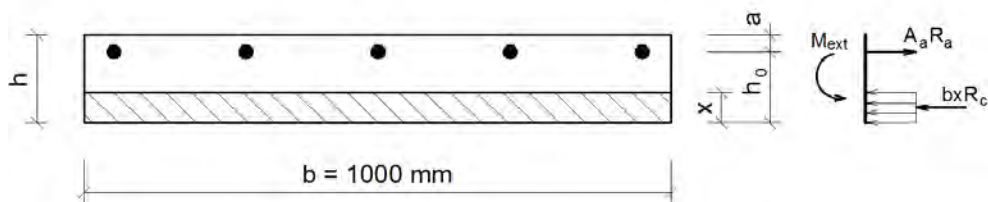


Fig. 4.7 – Calculul armăturilor în secțiunile din reazem

Cantitățile necesare de armătură vor sta la baza determinării diametrului și a numărului efectiv de bare.

4.1.7. Elaborarea schiței de armare

Schița de armare presupune stabilirea diametrelor și a numărului de bare pentru o fâșie de 1,0 m și precizarea modului de dispunere a acestora pe secțiune.

Pentru stabilirea efectivelor de armătură vor trebui respectate următoarele reguli de armare:

- numărul minim de bare pe metru: 5 bare pentru plăci cu grosimea de cel mult 300 mm, 4 bare pentru plăci cu grosimea cuprinsă între 300 și 400 mm și 3 bare pentru plăci cu grosimea mai mare de 400 mm;
- numărul maxim de bare pe metru: 12;
- diametrul minim al barelor în câmp (la partea inferioară): 6 mm;
- diametrul minim al barelor în reazem (la partea superioară): 6 mm pentru bare din oțel PC52 sau PC60 și 8 mm pentru bare din oțel OB37;
- diametrul minim barelor în cazul în care se utilizează plase sudate este de 5 mm pentru plăci turnate monolit și 4 mm pentru plăci prefabricate;
- se recomandă utilizarea barelor înclinate doar la plăci continue cu deschideri de peste 2,0 m; în acest caz, secțiunile de înclinare vor începe la $1/5$ din lumina liberă a plăcii în deschiderea respectivă pentru preluarea de către barele înclinate a momentului încovoietor din reazem; unghiul de înclinare va fi de 45^0 și se vor ridica aproximativ 50% din totalul numărului de bare;
- armăturile de la partea superioară pentru preluarea momentelor negative de pe reazeme se prelungesc de o parte și de alta a reazemului cu $1/4$ din deschiderea l_0 unde l_0 este cea mai mare dintre cele două deschideri adiacente l_{01} și l_{02} ;
- în zonele întinse din câmp și de pe reazeme se prevede o armătură de repartiție având secțiunea pe metru egală cu cel puțin 15% din secțiunea pe metru a armăturii de rezistență la planșeele obișnuite și de cel puțin 25% la cele cu încărcări concentrate mari; se vor utiliza cel puțin 4 $\phi 6$ pe metru în cazul armării cu plase legate, respectiv cel puțin 5 $\phi 5$ pe metru la armăturile din plase sudate;
- pentru preluarea momentelor locale de încastrare de pe reazemele de continuitate de pe direcția laturii mari, se prevăd călăreți (bare individuale sau plase sudate) care să respecte prevederile minimale cerute pentru armăturile de rezistență; călăreții de pe latura lungă se vor prelungi de o parte și de alta a

reazemului cu aceeași lungime cu cea a călăreților de pe latura scurtă.

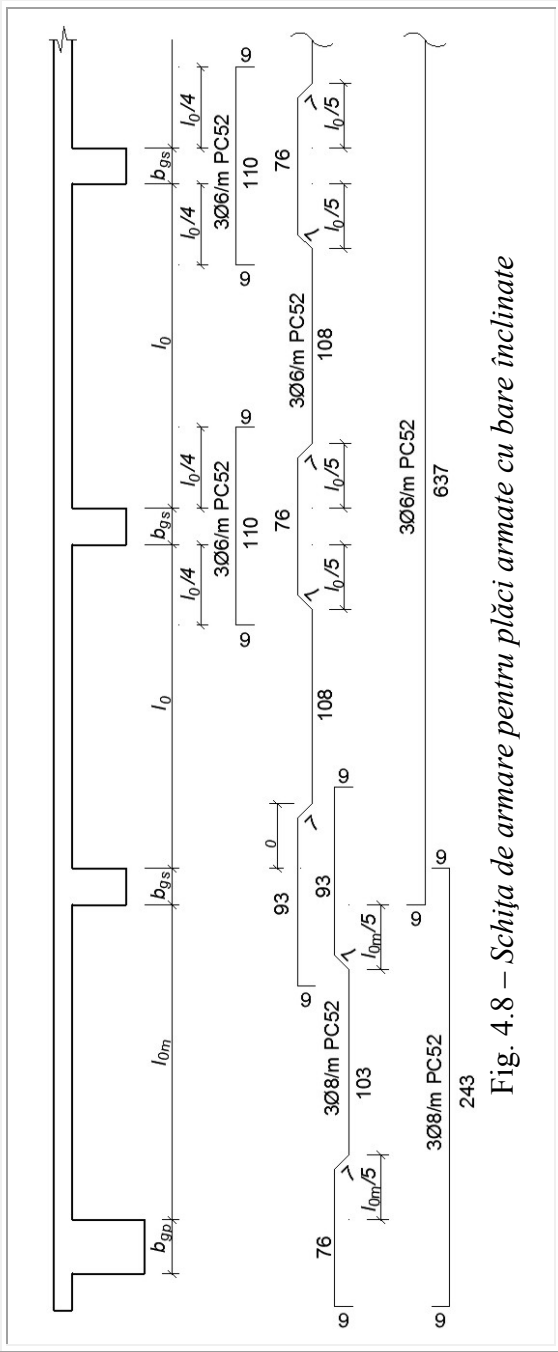


Fig. 4.8 – Schița de armare pentru plăci armate cu bare înclinate

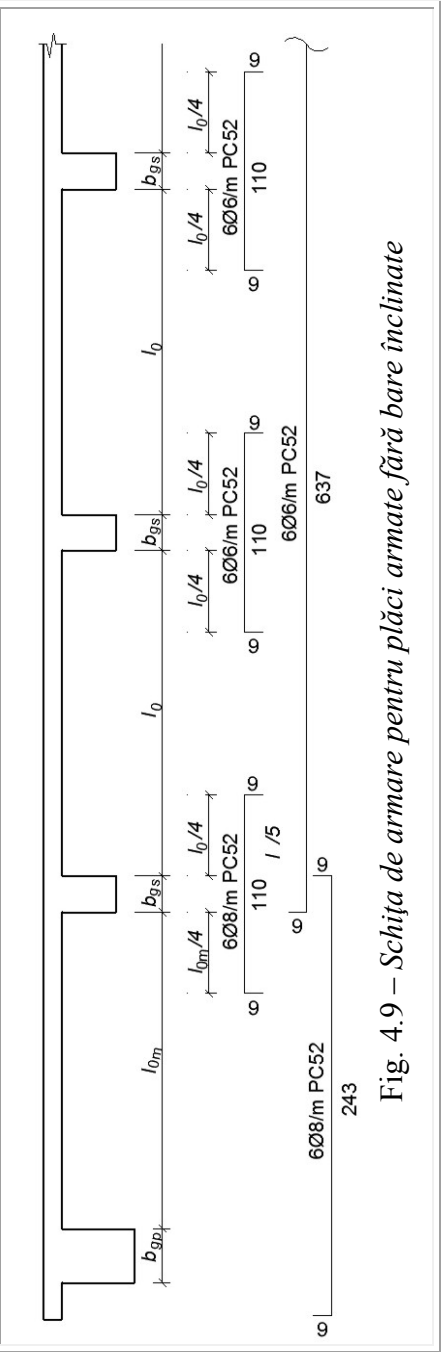


Fig. 4.9 – Schița de armare pentru plăci armate fără bare înclinate

Schița de armare poate fi realizată cu bare înclinate (ca în fig. 4.8) sau fără bare înclinate (ca în fig. 4.9). În cazul utilizării barelor înclinate, acestea vor contribui la preluare efectivă a momentelor din reazeme, reducându-se în mod corespunzător cantitatea de armătură din călăreți.

4.2. Calculul plăcilor armate pe două direcții

Proiectarea plăcilor armate pe două direcție se face conform pașilor descriși în fig. 1.1.

4.2.1. Predimensionare

Predimensionarea grosimii plăcii se face cu relația:

$$h = \frac{1}{35 \dots 45} \min(l_x, l_y) \geq h_{\min} \quad (4.22)$$

unde l_x și l_y sunt deschiderile pe cele două direcții ale plăcii (fig. 4.10).

Se observă că, grosimea plăcii obținută prin predimensionare trebuie să aibă cel puțin o valoare minimală, din considerente tehnologice. Grosimea minimă a plăcii din beton armat conform STAS 10107/0-90 este de 60 mm la plăcile monolite și 30 mm la cele prefabricate în condițiile în care acoperirea cu beton a armăturilor are valoarea minimă de 10 mm. Dacă acoperirea cu beton este mai mare de 10 mm va fi majorată automat și grosimea minimă a plăcii.

Se recomandă ca, grosimea minimă a planșeelor monolite h_{\min} să se considere:

- 60 mm la planșee de acoperiș;
- 70 mm la planșeele intermediare ale clădirilor civile, dacă din condiția de izolare fonică nu rezultă valori mai mari;
- 80 mm la planșeele intermediare ale clădirilor industriale etajate (hale de producție, depozite etc.);
- 100 mm la planșeele carosabile.

Grosimea finală a plăcii va fi multiplu de 10 mm.

4.2.2. Schema statică

Plăcile armate pe două direcții au la bază un calcul similar cu al celor armate pe o direcție, considerându-se o fâșie de placă de lungime unitară (uzual 1,0 m) pe fiecare din cele două direcții de calcul (fig. 4.10). Forțele exterioare P vor fi preluate de cele fâșii ortogonale, practic încărcarea P divizându-se în P_x (încărcarea preluată de fâșia x) și P_y (încărcarea preluată de fâșia y). Încărcarea exterioară P este cunoscută dar P_x și P_y sunt necunoscute.

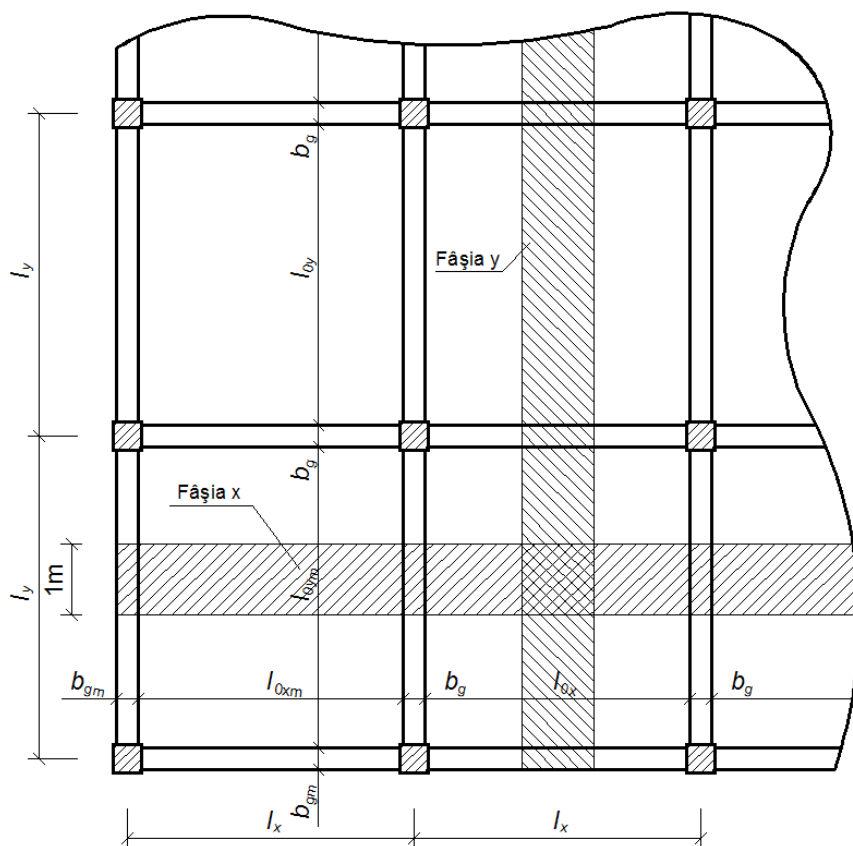


Fig. 4.10 – Calculul plăcilor armate pe două direcții

Este evident faptul că adunând încărcările P_x și P_y trebuie să se obțină încărcarea P . De asemenea, în punctul de intersecție, săgețile celor două fâșii sunt egale. Se poate obține astfel un sistem de două ecuații cu două necunoscute:

$$\begin{cases} P_x + P_y = P \\ w_x = w_y \end{cases} \quad (4.23)$$

Prin rezolvarea sistemului de ecuații (4.23) se vor obține încărcările P_x și P_y necesare calculului pe cele două direcții. În aceste condiții, există două scheme statice pentru cele două fâșii ortogonale de placă fiind necesare două calcule statice pentru fiecare din cele două direcții.

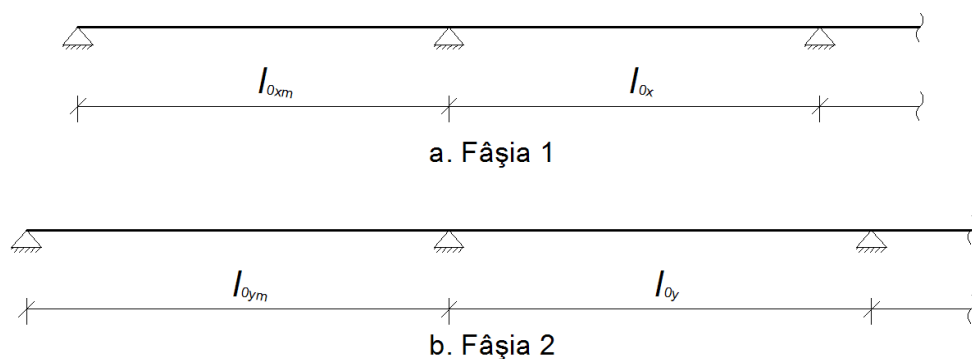


Fig. 4.11 – Schema statică a plăcilor armate pe două direcții

În cadrul schemelor statice prezentate în figura 4.11 s-au considerat drept deschideri distanțele dintre fețele grinzilor și nu distanțele interax așa cum ar părea normal la prima vedere. Acest lucru se datorează faptului că, deoarece secțiunea grinzilor fiind mult mai mare decât cea a plăcii, eventualele cedări vor avea loc la fața grinzii și nu în axul grinzii.

Legăturile plăcii cu grinzile se vor considera articulate deoarece grinzile nu pot prelua în mod eficient torsiunea. În cazul deschiderii de calcul marginale, pentru elemente fără legătură monolită, s-a adăugat o jumătate din grosimea plăcii determinată la pct. 4.2.1 conform STAS 10107/1-90.

Deschiderile de calcul se vor calcula cu relațiile:

- pentru reazeme alcătuite din grinzi, centuri sau stâlpi cu legătură monolită:

$$\begin{aligned}
 l_{0x} &= l_x - b_g \\
 l_{0y} &= l_y - b_g \\
 l_{0xm} &= l_x - \frac{b_g}{2} - \frac{b_{gm}}{2} \\
 l_{0ym} &= l_y - \frac{b_g}{2} - \frac{b_{gm}}{2}
 \end{aligned} \tag{4.24}$$

- pentru reazeme alcătuite din grinzi, centuri sau zidării fără legătură monolită:

$$\begin{aligned}
 l_{0x} &= l_x - b_g \\
 l_{0y} &= l_y - b_g \\
 l_{0xm} &= l_x - \frac{b_g}{2} - \frac{b_{gm}}{2} + \frac{h}{2} \\
 l_{0ym} &= l_y - \frac{b_g}{2} - \frac{b_{gm}}{2} + \frac{h}{2}
 \end{aligned} \tag{4.25}$$

unde lățimile grinzilor intermediare b_g și ale grinzii marginale b_{gm} se vor predimensiona conform punctului 1.2.

4.2.3. Stabilirea încărcărilor

Încărcările se împart în două mari categorii (fig. 4.12): încărcări permanente (a căror sumă este notată cu g) și încărcări utile (a căror sumă este notată cu p). Toate încărcările vor fi încărcări de calcul (cu coeficienți parțiali de siguranță) și se vor evalua pentru un m^2 de placă conform informațiilor prezentate în cadrul capitolului 2. Deoarece fâșia considerată are lățimea de 1 m, valoarea încărcărilor pe m^2 de placă va fi identică cu cea a încărcărilor pe metru liniar de fâșie.

Solicitările exterioare utile pot apărea în exploatarea curentă a plăcilor în deschideri diverse, putându-se elabora mai multe scheme de

încărcare. Deoarece în procesul de proiectare trebuie considerate cele mai dezavantajoase situații de solicitare, pentru calculul eforturilor în diverse secțiuni vor trebui adoptate diferite scheme de încărcare.

În urma analizelor efectuate în decursul timpului s-au stabilit cele mai dezavantajoase situații de încărcare pentru obținerea unor eforturi maxime în câmp și în reazem, aceste situații fiind prezentate în figura 4.12.

Astfel, pentru determinarea momentului maxim M_{\max} într-un câmp, încărcarea permanentă va trebui considerată în toate deschiderile iar încărcarea utilă va trebui poziționată în deschiderea respectivă precum și în deschideri alternante (fig. 4.12.a).

Pentru determinarea momentului minim M_{\min} într-un câmp, încărcarea permanentă va trebui considerată în toate deschiderile iar încărcarea utilă va trebui poziționată în deschiderile adiacente celei considerate, precum și în deschideri alternante (fig. 4.12.a).

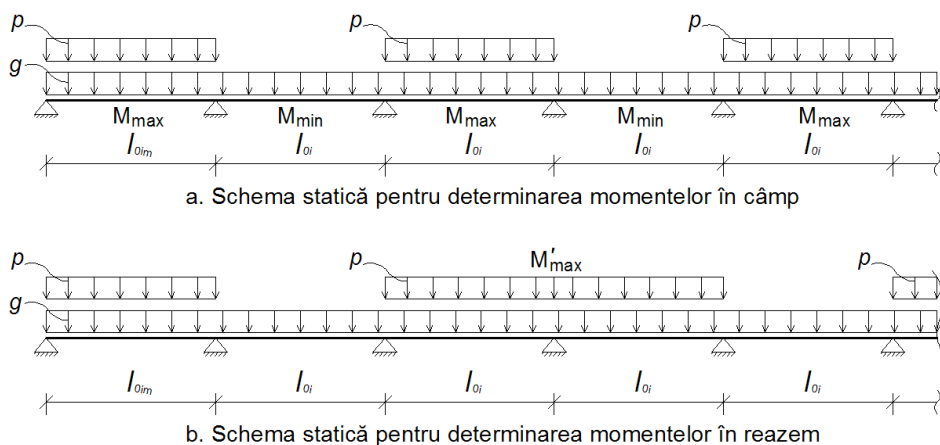


Fig. 4.12 – Ipoteze de încărcare

Pentru determinarea momentului maxim negativ M'_{\max} într-un reazem, încărcarea permanentă va trebui considerată în toate deschiderile iar încărcarea utilă va trebui poziționată în deschiderile adiacente reazemului considerat, precum și în deschideri alternante (fig. 4.12.b).

Se face observația că indicele i din figura 4.12 ia valoarea x sau y , funcție de fâșia care se calculează.

4.2.4. Calculul static

Efectuarea calculului static este condiționată de cunoașterea încărcărilor parțiale care revin fiecărei fâșii de placă. Acest lucru presupune rezolvarea sistemului de ecuații (4.23).

Deoarece în practica curentă rezolvarea sistemului de ecuații este greoaie, STAS 10107/2-92 stabilește o metodă simplificată de calcul a plăcilor armate pe două direcții, cu ajutorul unor coeficienți de calcul α_i .

În continuare sunt prezentați coeficienții α_i și relațiile de calcul ale momentelor încovoietoare și ale săgeților pentru principalele situații de rezemare a plăcilor armate pe două direcții. Se face precizarea că, în unele situații, momentele încovoietoare pe o direcție în centrul plăcii sunt mai mici decât momentele încovoietoare maxime pe respectiva direcție. În aceste situații sunt precizate două relații de calcul ale momentelor încovoietoare, corespunzătoare celor două valori distincte.

Se face observația că normativul NU oferă o denumire specifică diferitelor tipuri de plăci cu diferite rezemări. Pentru ușurință însă, autorul propune o numerotare a tipurilor de plăci, în ordinea în care sunt ele prezentate în STAS 10107/2-92.

Pentru extragerea coeficienților α_i din tabele este necesară cunoașterea raportului dintre cele două deschideri:

$$\lambda = \frac{l_{0y}}{l_{0x}} \quad (4.26)$$

De asemenea, este necesară cunoașterea încărcării totale q ($q=g+p$) care acționează pe fiecare metru pătrat de placă.

A. Placa de tip 1 simplu rezemată pe toate laturile

Valorile momentelor pentru placa de tip 1 se determină cu relațiile:

- momentul în câmp în centru pe direcția x

$$M_x = \alpha_1 \cdot q \cdot l_{0x}^2$$

- momentul în câmp în centrul plăcii pe direcția y

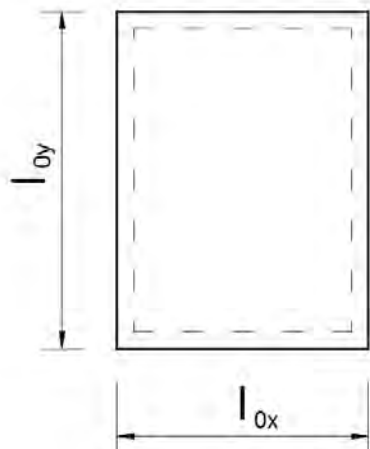
$$M_y = \alpha_2 \cdot q \cdot l_{0y}^2$$

- momentul în câmp maxim pe direcția y

$$M_{y \max} = \alpha_3 \cdot q \cdot l_{0y}^2$$

- săgeata în centrul plăcii

$$w = \alpha_0 \cdot \frac{q \cdot l_{0x}^4}{E \cdot h^3}$$



Valorile coeficienților α_i pentru placa de tip 1 sunt dați în tabelul 4.2.

Tabelul 4.2 – Valorile α_i pentru placa de tip 1

λ	α_0	α_1	α_2	α_3
1,00	0,0487	0,0368	0,0368	0,0368
1,05	0,0536	0,0409	0,0330	0,0330
1,10	0,0584	0,0446	0,0296	0,0296
1,15	0,0631	0,0483	0,0266	0,0266
1,20	0,0678	0,0524	0,0239	0,0239
1,25	0,0728	0,0562	0,0215	0,0215
1,30	0,0767	0,0595	0,0192	0,0192
1,35	0,0809	0,0633	0,0172	0,0172
1,40	0,0850	0,0667	0,0154	0,0155
1,45	0,0890	0,0699	0,0138	0,0141
1,50	0,0927	0,0730	0,0124	0,0128
1,55	0,0963	0,0758	0,0111	0,0117
1,60	0,0997	0,0787	0,0101	0,0108
1,65	0,1029	0,0813	0,0090	0,0100
1,70	0,1060	0,0840	0,0081	0,0093
1,75	0,1093	0,0870	0,0073	0,0086
1,80	0,1113	0,0885	0,0066	0,0080
1,85	0,1145	0,0909	0,0059	0,0075

1,90	0,1169	0,0925	0,0054	0,0070
1,95	0,1195	0,0943	0,0048	0,0066
2,00	0,1215	0,0962	0,0043	0,0062

B. Placa de tip 2 simplu rezemată pe trei laturi și încastrată pe o latură

Valorile momentelor pentru placa de tip 2 se determină cu relațiile:

- momentul în câmp în centru pe direcția x

$$M_x = \alpha_1 \cdot q \cdot l_{0x}^2$$

- momentul în câmp în centrul plăcii pe direcția y

$$M_y = \alpha_2 \cdot q \cdot l_{0y}^2$$

- momentul în câmp maxim pe direcția y

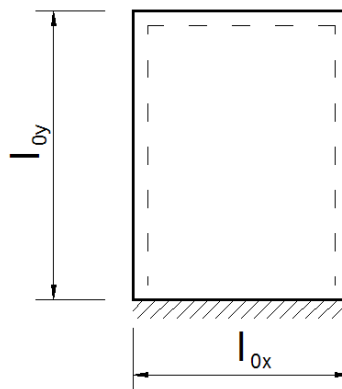
$$M_{y \max} = \alpha_3 \cdot q \cdot l_{0y}^2$$

- momentul maxim negativ pe reazem pe direcția y

$$M'_y = -\alpha_4 \cdot q \cdot l_{0y}^2$$

- săgeata în centrul plăcii

$$w = \alpha_0 \cdot \frac{q \cdot l_{0x}^4}{E \cdot h^3}$$



Valorile coeficienților α_i pentru placa de tip 2 sunt dați în tabelul 4.3.

Tabelul 4.3 – Valorile α_i pentru placa de tip 2

λ	α_0	α_1	α_2	α_3	α_4
0,50	0,0037	0,0042	0,0585	0,0585	0,1205
0,55	0,0052	0,0052	0,0565	0,0565	0,1196
0,60	0,0071	0,0063	0,0541	0,0541	0,1153
0,65	0,0092	0,0075	0,0513	0,0513	0,1121
0,70	0,0118	0,0090	0,0485	0,0485	0,1089

0,75	0,0147	0,0107	0,0457	0,0457	0,1053
0,80	0,0179	0,0127	0,0427	0,0427	0,1010
0,85	0,0215	0,0151	0,0398	0,0398	0,0967
0,90	0,0253	0,0178	0,0372	0,0372	0,0926
0,95	0,0292	0,0208	0,0344	0,0344	0,0887
1,00	0,0334	0,0243	0,0318	0,0340	0,0840
1,10	0,0422	0,0313	0,0270	0,0287	0,0758
1,20	0,0512	0,0386	0,0227	0,0240	0,0688
1,30	0,0602	0,0461	0,0191	0,0199	0,0616
1,40	0,0689	0,0532	0,0159	0,0166	0,0555
1,50	0,0773	0,0602	0,0131	0,0138	0,0499
1,60	0,0852	0,0667	0,0110	0,0116	0,0449
1,70	0,0926	0,0725	0,0091	0,0099	0,0407
1,80	0,0994	0,0781	0,0076	0,0085	0,0367
1,90	0,1056	0,0833	0,0063	0,0074	0,0334
2,00	0,1112	0,0877	0,0051	0,0064	0,0305

C. Placa de tip 3 simplu rezemată pe două laturi paralele și încastrată pe celelalte două laturi

Valorile momentelor pentru placa de tip 3 se determină cu relațiile:

- momentul în câmp în centru pe direcția x

$$M_x = \alpha_1 \cdot q \cdot l_{0x}^2$$

- momentul în câmp în centrul plăcii pe direcția y

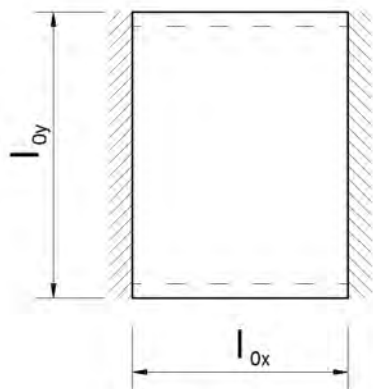
$$M_y = \alpha_2 \cdot q \cdot l_{0y}^2$$

- momentul în câmp maxim pe direcția y

$$M_{y \max} = \alpha_3 \cdot q \cdot l_{0y}^2$$

- momentul maxim negativ pe reazem pe direcția x

$$M'_x = -\alpha_4 \cdot q \cdot l_{0x}^2$$



- săgeata în centrul plăcii

$$w = \alpha_0 \cdot \frac{q \cdot l_{0x}^4}{E \cdot h^3}$$

Valorile coeficienților α_i pentru placa de tip 3 sunt dați în tabelul 4.4.

Tabelul 4.4 – Valorile α_i pentru placa de tip 3

λ	α_0	α_1	α_2	α_3	α_4
0,50	0,0063	0,0059	0,0800	0,0800	0,0298
0,55	0,0082	0,0081	0,0699	0,0699	0,0349
0,60	0,0100	0,0105	0,0602	0,0602	0,0400
0,65	0,0120	0,0130	0,0518	0,0518	0,0452
0,70	0,0139	0,0155	0,0441	0,0441	0,0497
0,75	0,0157	0,0180	0,0375	0,0375	0,0541
0,80	0,0174	0,0204	0,0317	0,0317	0,0577
0,85	0,0190	0,0226	0,0267	0,0267	0,0618
0,90	0,0205	0,0248	0,0224	0,0224	0,0648
0,95	0,0218	0,0268	0,0193	0,0193	0,0674
1,00	0,0230	0,0285	0,0158	0,0162	0,0700
1,10	0,0251	0,0315	0,0112	0,0123	0,0741
1,20	0,0267	0,0340	0,0078	0,0097	0,0769
1,30	0,0280	0,0360	0,0056	0,0081	0,0794
1,40	0,0289	0,0376	0,0039	0,0068	0,0813
1,50	0,0297	0,0385	0,0027	0,0059	0,0820
1,60	0,0302	0,0397	0,0019	0,0051	0,0833
1,70	0,0307	0,0405	0,0013	0,0045	0,0833
1,80	0,0309	0,0410	0,0009	0,0040	0,0833
1,90	0,0311	0,0412	0,0006	0,0036	0,0833
2,00	0,0313	0,0415	0,0004	0,0032	0,0833

D. Placa de tip 4 simplu rezemată pe 2 laturi adiacente și încastrată pe celelalte două laturi

Valorile momentelor pentru placa de tip 4 se determină cu relațiile:

- momentul în câmp în centru pe direcția x

$$M_x = \alpha_1 \cdot q \cdot l_{0x}^2$$

- momentul în câmp în centrul plăcii pe direcția y

$$M_y = \alpha_2 \cdot q \cdot l_{0y}^2$$

- momentul în câmp maxim pe direcția y

$$M_{y \max} = \alpha_3 \cdot q \cdot l_{0y}^2$$

- momentul maxim negativ pe reazem pe direcția x

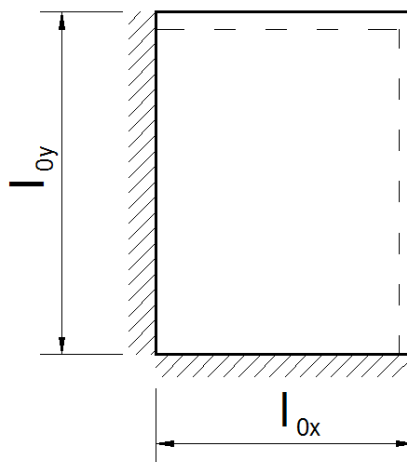
$$M'_x = -\alpha_4 \cdot q \cdot l_{0x}^2$$

- momentul maxim negativ pe reazem pe direcția y

$$M'_y = -\alpha_5 \cdot q \cdot l_{0y}^2$$

- săgeata în centrul plăcii

$$w = \alpha_0 \cdot \frac{q \cdot l_{0x}^4}{E \cdot h^3}$$



Valorile coeficienților α_i pentru placa de tip 4 sunt dați în tabelul 4.5.

Tabelul 4.5 – Valorile α_i pentru placa de tip 4

λ	α_0	α_1	α_2	α_3	α_4	α_5
1,00	0,0252	0,0234	0,0234	0,0249	0,0699	0,0699
1,05	0,0281	0,0263	0,0209	0,0221	0,0752	0,0657
1,10	0,0302	0,0285	0,0187	0,0197	0,0787	0,0608
1,15	0,0329	0,0311	0,0166	0,0176	0,0833	0,0569
1,20	0,0348	0,0333	0,0147	0,0158	0,0870	0,0530
1,25	0,0369	0,0357	0,0130	0,0140	0,0901	0,0496
1,30	0,0389	0,0377	0,0115	0,0124	0,0935	0,0462
1,35	0,0403	0,0397	0,0102	0,0111	0,0971	0,0432
1,40	0,0425	0,0415	0,0090	0,0100	0,1000	0,0405
1,45	0,0443	0,0433	0,0079	0,0091	0,1020	0,0380

1,50	0,0459	0,0450	0,0069	0,0084	0,1042	0,0358
1,55	0,0472	0,0463	0,0061	0,0077	0,1064	0,0338
1,60	0,0484	0,0476	0,0054	0,0071	0,1087	0,0318
1,65	0,0496	0,0490	0,0047	0,0066	0,1099	0,0301
1,70	0,0508	0,0503	0,0041	0,0061	0,1124	0,0284
1,75	0,0519	0,0513	0,0036	0,0057	0,1136	0,0268
1,80	0,0529	0,0524	0,0032	0,0053	0,1149	0,0253
1,85	0,0538	0,0535	0,0028	0,0050	0,1163	0,0239
1,90	0,0547	0,0543	0,0025	0,0047	0,1176	0,0227
1,95	0,0554	0,0552	0,0022	0,0044	0,1190	0,0216
2,00	0,0562	0,0559	0,0019	0,0042	0,1190	0,0205

E. Placa de tip 5 simplu rezemată pe o latură și încastrată pe celelalte trei laturi

Valorile momentelor pentru placa de tip 5 se determină cu relațiile:

- momentul în câmp în centru pe direcția x

$$M_x = \alpha_1 \cdot q \cdot l_{0x}^2$$

- momentul în câmp în centru pe direcția y

$$M_y = \alpha_2 \cdot q \cdot l_{0y}^2$$

- momentul maxim negativ pe reazem pe direcția x

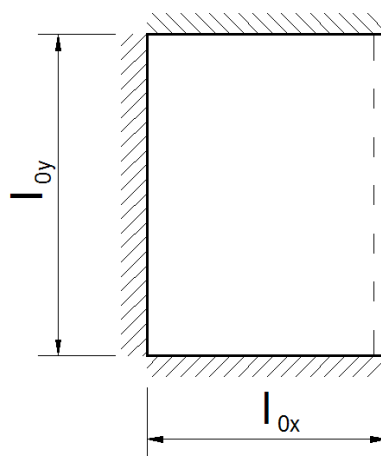
$$M'_x = -\alpha_3 \cdot q \cdot l_{0x}^2$$

- momentul maxim negativ pe reazem pe direcția y

$$M'_y = -\alpha_4 \cdot q \cdot l_{0y}^2$$

- săgeata în centrul plăcii

$$w = \alpha_0 \cdot \frac{q \cdot l_{0x}^4}{E \cdot h^3}$$



Valorile coeficienților α_i pentru placa de tip 5 sunt dați în tabelul 4.6.

Tabelul 4.6 – Valorile α_i pentru placa de tip 5

λ	α_0	α_1	α_2	α_3	α_4
0,50	0,0019	0,0026	0,0408	0,0143	0,0833
0,55	0,0028	0,0034	0,0400	0,0173	0,0829
0,60	0,0038	0,0044	0,0388	0,0206	0,0820
0,65	0,0051	0,0055	0,0369	0,0241	0,0806
0,70	0,0065	0,0067	0,0351	0,0280	0,0794
0,75	0,0082	0,0080	0,0330	0,0321	0,0769
0,80	0,0100	0,0095	0,0310	0,0366	0,0741
0,85	0,0121	0,0111	0,0289	0,0412	0,0714
0,90	0,0142	0,0132	0,0267	0,0458	0,0680
0,95	0,0165	0,0157	0,0248	0,0504	0,0654
1,00	0,0188	0,0168	0,0227	0,0546	0,0617
1,10	0,0236	0,0217	0,0189	0,0649	0,0558
1,20	0,0284	0,0267	0,0155	0,0741	0,0500
1,30	0,0329	0,0314	0,0126	0,0820	0,0445
1,40	0,0371	0,0357	0,0101	0,0893	0,0392
1,50	0,0409	0,0397	0,0081	0,0943	0,0350
1,60	0,0442	0,0429	0,0063	0,0990	0,0310
1,70	0,0471	0,0461	0,0049	0,1031	0,0277
1,80	0,0495	0,0488	0,0039	0,1064	0,0249
1,90	0,0518	0,0513	0,0031	0,1111	0,0225
2,00	0,0539	0,0535	0,0025	0,1136	0,0203

F. Placa de tip 6 încadrată pe toate cele patru laturi

Valorile momentelor pentru placa de tip 6 se determină cu relațiile:

- momentul în câmp în centru pe direcția x

$$M_x = \alpha_1 \cdot q \cdot l_{0x}^2$$

- momentul în câmp în centrul plăcii pe direcția y

$$M_y = \alpha_2 \cdot q \cdot l_{0y}^2$$

- momentul în câmp maxim pe direcția y

$$M_{y \max} = \alpha_3 \cdot q \cdot l_{0y}^2$$

- momentul maxim negativ pe reazem pe direcția x

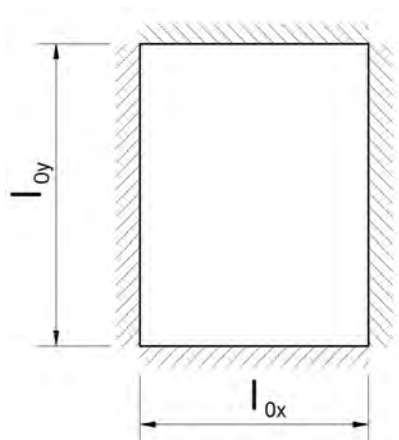
$$M'_x = -\alpha_4 \cdot q \cdot l_{0x}^2$$

- momentul maxim negativ pe reazem pe direcția y

$$M'_y = -\alpha_5 \cdot q \cdot l_{0y}^2$$

- săgeata în centrul plăcii

$$w = \alpha_0 \cdot \frac{q \cdot l_{0x}^4}{E \cdot h^3}$$



Valorile coeficienților α_i pentru placa de tip 6 sunt dați în tabelul 4.7.

Tabelul 4.7 – Valorile α_i pentru placa de tip 6

λ	α_0	α_1	α_2	α_3	α_4	α_5
1,00	0,0152	0,0176	0,0176	0,0176	0,0515	0,0515
1,05	0,0167	0,0198	0,0155	0,0156	0,0549	0,0482
1,10	0,0181	0,0217	0,0137	0,0137	0,0585	0,0449
1,15	0,0195	0,0236	0,0120	0,0121	0,0613	0,0418
1,20	0,0207	0,0254	0,0105	0,0106	0,0645	0,0388
1,25	0,0219	0,0270	0,0092	0,0092	0,0671	0,0362
1,30	0,0230	0,0287	0,0080	0,0080	0,0690	0,0336
1,35	0,0240	0,0300	0,0070	0,0070	0,0714	0,0314
1,40	0,0248	0,0313	0,0060	0,0061	0,0730	0,0292
1,45	0,0257	0,0327	0,0052	0,0053	0,0746	0,0272
1,50	0,0264	0,0338	0,0044	0,0048	0,0758	0,0254
1,55	0,0271	0,0347	0,0038	0,0043	0,0769	0,0238
1,60	0,0277	0,0356	0,0033	0,0040	0,0781	0,0223
1,65	0,0282	0,0364	0,0028	0,0037	0,0787	0,0210
1,70	0,0287	0,0372	0,0024	0,0034	0,0800	0,0198
1,75	0,0291	0,0379	0,0020	0,0032	0,0806	0,0187
1,80	0,0294	0,0385	0,0017	0,0030	0,0813	0,0176
1,85	0,0297	0,0389	0,0015	0,0028	0,0820	0,0167
1,90	0,0300	0,0394	0,0013	0,0026	0,0826	0,0158

1,95	0,0302	0,0397	0,0011	0,0025	0,0833	0,0150
2,00	0,0304	0,0400	0,0009	0,0024	0,0833	0,0143

G. Placa de tip 7 cu o latură liberă (nerezemată) și celelalte trei laturi simplu rezemate

Valorile momentelor pentru placa de tip 7 se determină cu relațiile:

- momentul în câmp în centru pe direcția x

$$M_x = \alpha_1 \cdot q \cdot l_{0x}^2$$

- momentul în câmp în centrul plăcii pe direcția y

$$M_y = \alpha_2 \cdot q \cdot l_{0y}^2$$

- momentul în câmp maxim pe direcția y la distanța $a \cdot l_{0y}$ (măsurată din punctul A)

$$M_{y \max} = \alpha_3 \cdot q \cdot l_{0y}^2$$

- momentul pozitiv în câmp în mijlocul laturii libere pe direcția x

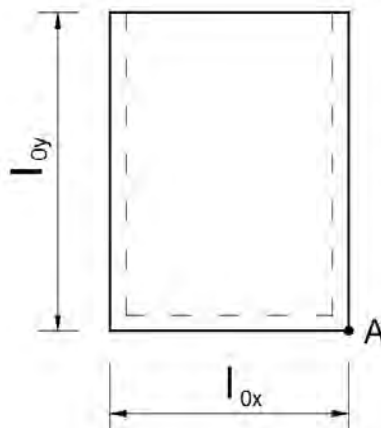
$$M_x^0 = \alpha_4 \cdot q \cdot l_{0x}^2$$

- săgeata în centrul plăcii

$$w = \alpha_0 \cdot \frac{q \cdot l_{0y}^4}{E \cdot h^3}$$

- săgeata la mijlocul laturii libere

$$w_0 = \alpha'_0 \cdot \frac{q \cdot l_{0y}^4}{E \cdot h^3}$$



Valorile coeficienților α_i și a pentru placa de tip 7 sunt dați în tabelul 4.8.

Tabelul 4.8 – Valorile α_i pentru placa de tip 7

λ	α_0	α'_0	α_1	α_2	α_3	a	α_4
0,30	6,8212	12,8613	0,0114	0,1121	0,1121	0,50	0,0218
0,40	1,0500	1,8656	0,0199	0,0951	0,0951	0,50	0,0363

0,50	0,6259	1,0560	0,0296	0,0770	0,0772	0,48	0,0511
0,60	0,3975	0,6416	0,0395	0,0606	0,0608	0,45	0,0651
0,70	0,2640	0,4092	0,0491	0,0470	0,0478	0,42	0,0773
0,80	0,1819	0,2701	0,0580	0,0363	0,0376	0,40	0,0874
0,90	0,1285	0,1834	0,0661	0,0280	0,0299	0,38	0,0957
1,00	0,0931	0,1290	0,0732	0,0217	0,0240	0,33	0,1024
1,10	0,0679	0,0922	0,0794	0,0168	0,0198	0,28	0,1076
1,20	0,0517	0,0675	0,0849	0,0132	0,0167	0,26	0,1116
1,30	0,0395	0,0503	0,0898	0,0104	0,0142	0,25	0,1147
1,40	0,0307	0,0381	0,0940	0,0082	0,0122	0,24	0,1172
1,50	0,0243	0,0294	0,0977	0,0065	0,0107	0,22	0,1190

H. Placa de tip 8 cu o latură liberă (nerezemată), latura opusă laturii libere încastrată și celelalte două laturi simplu rezemate

Valorile momentelor pentru placa

de tip 8 se determină cu relațiile:

- momentul în câmp în centru pe direcția x

$$M_x = \alpha_1 \cdot q \cdot l_{0x}^2$$

- momentul în câmp în centrul plăcii pe direcția y

$$M_y = \alpha_2 \cdot q \cdot l_{0y}^2$$

- momentul în câmp maxim pe direcția y la distanța $a \cdot l_{0y}$ (măsurată din punctul A)

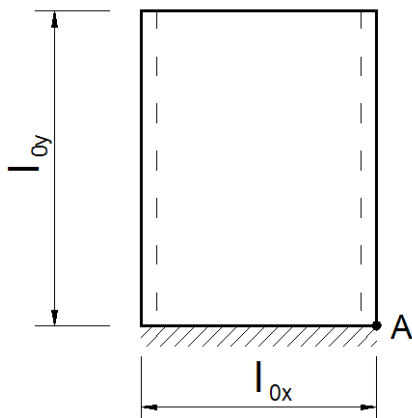
$$M_{y \max} = \alpha_3 \cdot q \cdot l_{0y}^2$$

- momentul pozitiv în câmp în mijlocul laturii libere pe direcția x

$$M_x^0 = \alpha_4 \cdot q \cdot l_{0x}^2$$

- momentul maxim negativ pe reazem pe direcția y

$$M_y' = -\alpha_5 \cdot q \cdot l_{0y}^2$$



- săgeata în centrul plăcii

$$w = \alpha_0 \cdot \frac{q \cdot l_{0y}^4}{E \cdot h^3}$$

- săgeata la mijlocul laturii libere

$$w_0 = \alpha'_0 \cdot \frac{q \cdot l_{0y}^4}{E \cdot h^3}$$

Valorile coeficienților α_i și a pentru placa de tip 8 sunt dați în tabelul 4.9.

Tabelul 4.9 – Valorile α_i pentru placa de tip 8

λ	α_0	α'_0	α_1	α_2	α_3	a	α_4	α_5
0,30	1,4059	3,7491	0,0017	-0,0580	0,0280	0,7500	0,0050	0,4132
0,40	0,3187	0,7734	0,0050	-0,0229			0,0136	0,3509
0,50	0,2496	0,5587	0,0104	-0,0002			0,0256	0,2932
0,60	0,1877	0,4091	0,0175	0,0122			0,0396	0,2433
0,70	0,1427	0,2879	0,0259	0,0176			0,0537	0,2024
0,80	0,1107	0,2109	0,0344	0,0192	0,0184	0,6000	0,0659	0,1681
0,90	0,0852	0,1521	0,0428	0,0185			0,0782	0,1401
1,00	0,0659	0,1114	0,0508	0,0169			0,0880	0,1175
1,10	0,0519	0,0826	0,0585	0,0148			0,0960	0,0994
1,20	0,0409	0,0626	0,0655	0,0127			0,1024	0,0848
1,30	0,0323	0,0472	0,0719	0,0108	0,0076	0,4300	0,1075	0,0729
1,40	0,0259	0,0364	0,0747	0,0090			0,1115	0,0632
1,50	0,0210	0,0234	0,0828	0,0076			0,1146	0,0552

I. Placa de tip 9 cu o latură liberă (nerezemată), latura adiacentă laturii libere încastrată și celelalte două laturi simplu rezemate

Valorile momentelor pentru placa de tip 9 se determină cu relațiile:

- momentul în câmp în centru pe direcția x

$$M_x = \alpha_1 \cdot q \cdot l_{0x}^2$$

- momentul în câmp în centrul plăcii pe direcția y

$$M_y = \alpha_2 \cdot q \cdot l_{0y}^2$$

- momentul în câmp maxim pe direcția y la distanța $b \cdot l_{0y}$ (măsurată din punctul A)

$$M_{y \max} = \alpha_5 \cdot q \cdot l_{0y}^2$$

- momentul pozitiv în câmp în mijlocul laturii libere pe direcția x

$$M_x^0 = \alpha_3 \cdot q \cdot l_{0x}^2$$

- momentul pozitiv maxim în câmp pe latura liberă pe direcția x la distanța $a \cdot l_{0x}$ (măsurată din punctul C)

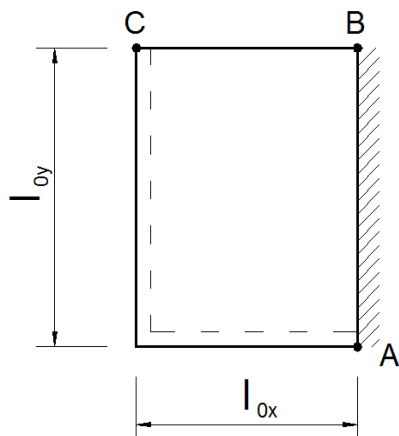
$$M_{x \max}^0 = \alpha_4 \cdot q \cdot l_{0x}^2$$

- momentul negativ pe reazem pe direcția x la mijlocul laturii AB

$$M_x' = -\alpha_6 \cdot q \cdot l_{0x}^2$$

- momentul negativ pe reazem pe direcția x în punctul B

$$M_x' = -\alpha_7 \cdot q \cdot l_{0x}^2$$



Valorile coeficienților α_i , a , b pentru placa de tip 9 sunt dați în tabelul 4.10.

Tabelul 4.10 – Valorile α_i pentru placa de tip 9

λ	α_1	α_2	α_3	α_4	a	α_5	b	α_6	α_7
0,30	0,0110	0,0992	0,0204	0,0218	0,4800	0,0995	0,4800	0,0390	0,0882
0,40	0,0177	0,0771	0,0311	0,0328	0,4400	0,0772	0,4600	0,0521	0,1046
0,50	0,0243	0,0577	0,0404	0,0423	0,4200	0,0586	0,4400	0,0646	0,1147
0,60	0,0302	0,0426	0,0475	0,0498	0,4100	0,0442	0,4000	0,0755	0,1208
0,70	0,0354	0,0313	0,0527	0,0560	0,4000	0,0337	0,3700	0,0846	0,1244
0,80	0,0398	0,0230	0,0562	0,0610	0,3900	0,0260	0,3200	0,0924	0,1260
0,90	0,0435	0,0169	0,0586	0,0643	0,3800	0,0206	0,2800	0,0985	0,1266
1,00	0,0467	0,0125	0,0602	0,0669	0,3800	0,0167	0,2600	0,1037	0,1267
1,10	0,0493	0,0093	0,0612	0,0678	0,3800	0,0138	0,2400	0,1078	0,1266
1,20	0,0516	0,0070	0,0618	0,0688	0,3800	0,0116	0,2200	0,1112	0,1263
1,30	0,0535	0,0052	0,0622	0,0695	0,3800	0,0099	0,1900	0,1140	0,1260

1,40	0,0551	0,0039	0,0624	0,0698	0,3800	0,0085	0,1700	0,1161	0,1258
1,50	0,0564	0,0030	0,0625	0,0699	0,3800	0,0074	0,1500	0,1179	0,1256

J. Placa de tip 10 cu o latură liberă (nerezemată), latura opusă laturii libere simplu rezemată și celelalte două laturi încastate

Valorile momentelor pentru placa de tip 10 se determină cu relațiile:

- momentul în câmp în centru pe direcția x

$$M_x = \alpha_1 \cdot q \cdot l_{0x}^2$$

- momentul în câmp în centrul plăcii pe direcția y

$$M_y = \alpha_2 \cdot q \cdot l_{0y}^2$$

- momentul în câmp maxim pe direcția y la distanța $a \cdot l_{0y}$ (măsurată din punctul B)

$$M_{y \max} = \alpha_4 \cdot q \cdot l_{0y}^2$$

- momentul pozitiv în câmp în mijlocul laturii libere pe direcția x

$$M_x^0 = \alpha_3 \cdot q \cdot l_{0x}^2$$

- momentul negativ pe reazem pe direcția x la mijlocul laturilor încastate AD și BC

$$M_x' = -\alpha_5 \cdot q \cdot l_{0x}^2$$

- momentul negativ pe reazem pe direcția x în punctele C și D

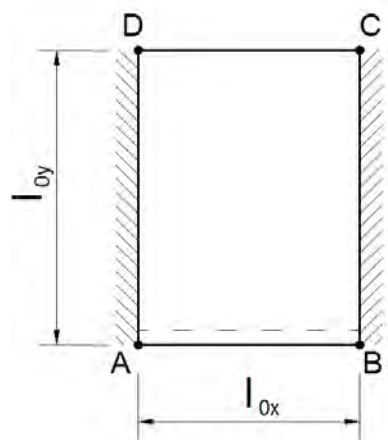
$$M_x' = -\alpha_6 \cdot q \cdot l_{0x}^2$$

- săgeata în centrul plăcii

$$w = \alpha_0 \cdot \frac{q \cdot l_{0y}^4}{E \cdot h^3}$$

- săgeata la mijlocul laturii libere

$$w_0 = \alpha_0' \cdot \frac{q \cdot l_{0y}^4}{E \cdot h^3}$$



Valorile coeficienților α_i și a pentru placa de tip 10 sunt dați în tabelul 4.11.

Tabelul 4.11 – Valorile α_i pentru placa de tip 10

λ	α_0	α'_0	α_1	α_2	α_3	α_4	a	α_5	α_6
0,30	3,8532	7,0815	0,0106	0,0893	0,0193	0,0900	0,4800	0,0342	0,0750
0,40	0,5250	0,8484	0,0162	0,0643	0,0276	0,0650	0,4500	0,0451	0,0847
0,50	0,2707	0,4032	0,0210	0,0452	0,0337	0,0466	0,4200	0,0538	0,0883
0,60	0,1544	0,2126	0,0251	0,0317	0,0376	0,0344	0,3700	0,0608	0,0891
0,70	0,0933	0,1187	0,0284	0,0222	0,0399	0,0259	0,3200	0,0663	0,0886
0,80	0,0601	0,0712	0,0311	0,0156	0,0412	0,0202	0,2900	0,0706	0,0877
0,90	0,0398	0,0450	0,0334	0,0110	0,0419	0,0162	0,2500	0,0740	0,0866
1,00	0,0275	0,0298	0,0352	0,0078	0,0421	0,0131	0,2300	0,0767	0,0857
1,10	0,0193	0,0205	0,0367	0,0055	0,0421	0,0108	0,2100	0,0786	0,0849
1,20	0,0139	0,0146	0,0379	0,0039	0,0421	0,0090	0,2000	0,0801	0,0844
1,30	0,0103	0,0106	0,0389	0,0028	0,0420	0,0076	0,1800	0,0812	0,0840
1,40	0,0078	0,0079	0,0396	0,0019	0,0419	0,0066	0,1700	0,0820	0,0837
1,50	0,0060	0,0080	0,0402	0,0014	0,0419	0,0057	0,1500	0,0826	0,0835

K. Placa de tip 11 cu o latură liberă (nerezemată), latura adiacentă laturii libere simplu rezemată și celelalte două laturi încastate

Valorile momentelor pentru placa de tip 11 se determină cu relațiile:

- momentul în câmp în centru pe direcția x

$$M_x = \alpha_1 \cdot q \cdot l_{0x}^2$$

- momentul în câmp în centrul plăcii pe direcția y

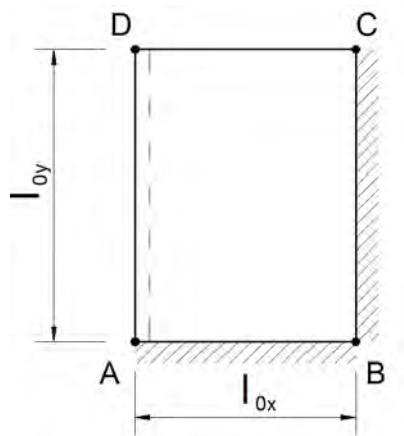
$$M_y = \alpha_2 \cdot q \cdot l_{0y}^2$$

- momentul în câmp maxim pe direcția y la distanța $b \cdot l_{0y}$ (măsurată din punctul A)

$$M_{y \max} = \alpha_5 \cdot q \cdot l_{0y}^2$$

- momentul pozitiv în câmp în mijlocul laturii libere pe direcția x

$$M_x^0 = \alpha_3 \cdot q \cdot l_{0x}^2$$



- momentul pozitiv maxim în câmp pe latura liberă pe direcția x la distanța $a \cdot l_{0x}$ (măsurată din punctul D)

$$M_{x \max}^0 = \alpha_4 \cdot q \cdot l_{0x}^2$$

- momentul negativ pe reazem pe direcția x la mijlocul laturii BC

$$M_x' = -\alpha_6 \cdot q \cdot l_{0x}^2$$

- momentul negativ pe reazem pe direcția x în punctul C

$$M_x' = -\alpha_7 \cdot q \cdot l_{0x}^2$$

- momentul negativ pe reazem pe direcția y la mijlocul laturii AB

$$M_y' = -\alpha_8 \cdot q \cdot l_{0y}^2$$

- momentul negativ maxim în reazem pe direcția y pe latura AB

$$M_{y \max}' = -\alpha_9 \cdot q \cdot l_{0y}^2$$

Valorile coeficienților α_i , a , b pentru placa de tip 11 sunt dați în tab. 4.12.

Tabelul 4.12 – Valorile α_i pentru placa de tip 11

λ	α_1	α_2	α_3	α_4	a	α_5	b	α_6	α_7	α_8	α_9
0,30	0,002	-0,0487	0,0056	0,0069	0,22	0,013	0,8	0,0132	0,0409	0,3906	0,3906
0,40	0,0056	-0,0137	0,0141	0,0147	0,34	0,023	0,78	0,0227	0,0640	0,3125	0,3165
0,50	0,0107	0,0059	0,0244	0,0255	0,38	0,026	0,74	0,0337	0,0845	0,2433	0,2488
0,60	0,0164	0,0145	0,0342	0,0367	0,38	0,025	0,70	0,0453	0,1000	0,1894	0,1946
0,70	0,0222	0,0170	0,0425	0,0461	0,38	0,023	0,66	0,0566	0,1106	0,1484	0,1531
0,80	0,0275	0,0163	0,049	0,0532	0,38	0,0185	0,60	0,0672	0,1174	0,1179	0,1220
0,90	0,0325	0,0144	0,0537	0,0592	0,38	0,0148	0,58	0,0764	0,1216	0,095	0,0982
1,00	0,0369	0,0121	0,0571	0,0630	0,38	0,0125	0,52	0,0845	0,1241	0,0778	0,0805
1,10	0,0408	0,0100	0,0594	0,0651	0,38	0,0100	0,49	0,0915	0,1253	0,0646	0,0668
1,20	0,0442	0,0081	0,0609	0,0677	0,38	0,0083	0,45	0,0974	0,1259	0,0545	0,0563
1,30	0,0472	0,0065	0,0620	0,0693	0,38	0,0071	0,41	0,1023	0,1261	0,0465	0,0480
1,40	0,0498	0,0051	0,0627	0,0706	0,38	0,006	0,40	0,1065	0,1262	0,0401	0,0414
1,50	0,052	0,0041	0,0630	0,0720	0,38	0,005	0,40	0,1100	0,1261	0,035	0,0361

L. Placa de tip 12 cu o latură liberă (nerezemată) și celelalte trei laturi încastate

Valorile momentelor pentru placa de tip 12 se determină cu relațiile:

- momentul în câmp în centru pe direcția x

$$M_x = \alpha_1 \cdot q \cdot l_{0x}^2$$

- momentul în câmp în centrul plăcii pe direcția y

$$M_y = \alpha_2 \cdot q \cdot l_{0y}^2$$

- momentul în câmp maxim pe direcția y la distanța $a \cdot l_{0y}$ (măsurată din punctul A)

$$M_{y \max} = \alpha_4 \cdot q \cdot l_{0y}^2$$

- momentul pozitiv în câmp în mijlocul laturii libere pe direcția x

$$M_x^0 = \alpha_3 \cdot q \cdot l_{0x}^2$$

- momentul negativ pe reazem pe direcția x la mijlocul laturilor AD și BC

$$M_x' = -\alpha_5 \cdot q \cdot l_{0x}^2$$

- momentul negativ pe reazem pe direcția x în punctele C și D

$$M_x' = -\alpha_6 \cdot q \cdot l_{0x}^2$$

- momentul negativ pe reazem pe direcția y la mijlocul laturii AB

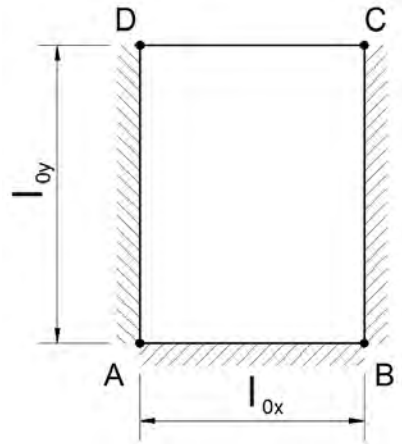
$$M_y' = -\alpha_7 \cdot q \cdot l_{0y}^2$$

- săgeata în centrul plăcii

$$w = \alpha_0 \cdot \frac{q \cdot l_{0y}^4}{E \cdot h^3}$$

- săgeata la mijlocul laturii libere

$$w_0 = \alpha_0' \cdot \frac{q \cdot l_{0y}^4}{E \cdot h^3}$$



Valorile coeficienților α_i și a pentru placa de tip 12 sunt dați în tabelul 4.13.

Tabelul 4.13 – Valorile α_i pentru placa de tip 12

λ	α_0	α'_0	α_1	α_2	α_3	α_4	a	α_5	α_6	α_7
0,30	1,0935	3,6449	0,0024	-0,0375	0,0065	0,0160	0,8000	0,0131	0,0396	0,3690
0,40	0,2156	0,6656	0,0063	-0,0037	0,0150	0,0231	0,7500	0,0220	0,0590	0,2770
0,50	0,1421	0,3418	0,0110	0,0114	0,0235	0,0240	0,7000	0,0317	0,0729	0,2028
0,60	0,0964	0,1895	0,0155	0,0160	0,0303	0,0208	0,6500	0,0410	0,0809	0,1502
0,70	0,0654	0,1138	0,0197	0,0157	0,0352	0,0171	0,6000	0,0491	0,0849	0,1135
0,80	0,0445	0,0721	0,0233	0,0135	0,0383	0,0137	0,5500	0,0561	0,0864	0,0882
0,90	0,0313	0,0468	0,0264	0,0112	0,0401	0,0112	0,5000	0,0619	0,0866	0,0700
1,00	0,0226	0,0310	0,0292	0,0039	0,0412	0,0092	0,4500	0,0668	0,0863	0,0569
1,10	0,0165	0,0211	0,0315	0,0069	0,0417	0,0076	0,4000	0,0707	0,0858	0,0470
1,20	0,0124	0,0150	0,0335	0,0053	0,0419	0,0064	0,3500	0,0733	0,0852	0,0396
1,30	0,0093	0,0109	0,0352	0,0040	0,0420	0,0054	0,3200	0,0734	0,0848	0,0337
1,40	0,0071	0,0810	0,0366	0,0030	0,0420	0,0047	0,3000	0,0783	0,0844	0,0291
1,50	0,0055	0,0061	0,0377	0,0022	0,0419	0,0041	0,2800	0,0800	0,0842	0,0253

M. Placa de tip 13 cu 2 laturi adiacente încastate și celelalte două laturi libere

Valorile momentelor pentru placa de tip 13 se determină cu relațiile:

- momentul în câmp maxim pe direcția x în lungul laturii CD

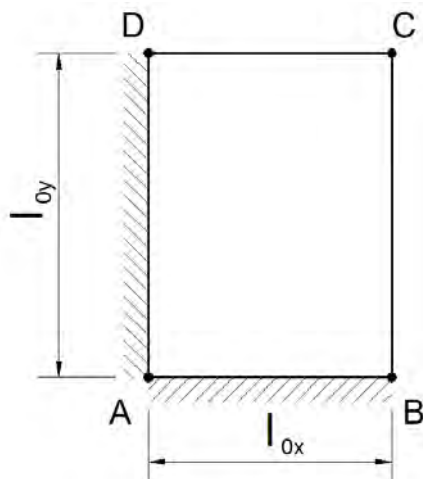
$$M_x = \alpha_1 \cdot q \cdot l_{0x}^2$$

- momentul în câmp maxim pe direcția y în lungul laturii BC

$$M_y = \alpha_2 \cdot q \cdot l_{0y}^2$$

- momentul negativ maxim în reazem pe direcția x în punctul D

$$M'_x = -\alpha_3 \cdot q \cdot l_{0x}^2$$



- momentul negativ maxim în reazem pe direcția y în punctul B

$$M'_y = -\alpha_4 \cdot q \cdot l_{0y}^2$$

Valorile coeficienților α_i pentru placa de tip 13 sunt dați în tabelul 4.14.

Tabelul 4.14 – Valorile α_i pentru placa de tip 13

λ	α_1	α_2	α_3	α_4
1,00	0,0296	0,0296	0,2660	0,2660
1,20	0,0348	0,0320	0,3236	0,2163
1,40	0,0319	0,0266	0,3683	0,1763
1,60	0,0266	0,0219	0,4016	0,1440
1,80	0,0203	0,0177	0,4260	0,1193
2,00	0,0139	0,0142	0,4438	0,0994

Pentru valori intermediare ale lui λ , coeficienții α_i se vor obține prin interpolare.

O problemă deosebită apare la stabilirea tipurilor de rezemări pentru fiecare ochi de placă. Schema statică a fiecărei fâșii este cea de grindă continuă în timp ce tipurile de plăci definite mai sus au atât legături de tip reazem simplu, cât și legături încastrate.

În consecință trebuie să se stabilească care legături de pe schema statică pot fi asociate reazemului simplu și care pot fi asociate cu o încastrare.

Pentru aceasta se va considera schema statică a unei fâșii având încărcările utile dispuse pentru a determina momentul maxim în câmp (fig. 4.13.a).

Deoarece încărcarea în câmpurile adiacente reazemului este diferită, va exista o rotire parțială a grinzilor iar legăturile dintre placă și grinzi nu pot fi considerate nici încastrări (deoarece există o rotire diferită de 0) și nici articulații (deoarece rotirea nu este liberă ci limitată, funcție de diferențele dintre încărcările permanente g și cele utile p și de capacitatea grinzii de a prelua torsiunea).

Pentru a putea stabili modul de rezemare se recurge la un artificiu, apelând la principiul suprapunerii efectelor. Astfel, schema statică inițială din figura 4.13.a se va descompune în două sub-scheme statice, prezentate în figura 4.13.b și 4.13.c.

În mod evident se poate constata faptul că, adunând sub-schemele statice din fig. 4.13.b. și 4.13.c. se va obține schema statică inițială.

Prima sub-schemă statică (fig. 4.13.b) este încărcată continuu cu toată încărcarea permanentă și jumătate din încărcarea utilă. Deoarece există aceeași încărcare de ambele părți ale reazemelor intermediare, practic, datorită unui echilibru perfect, nu există nici un fel de rotație a reazemului. În aceste condiții, deoarece nu există nici translații și nici rotații, reazemele intermediare pot fi considerate încastrări.

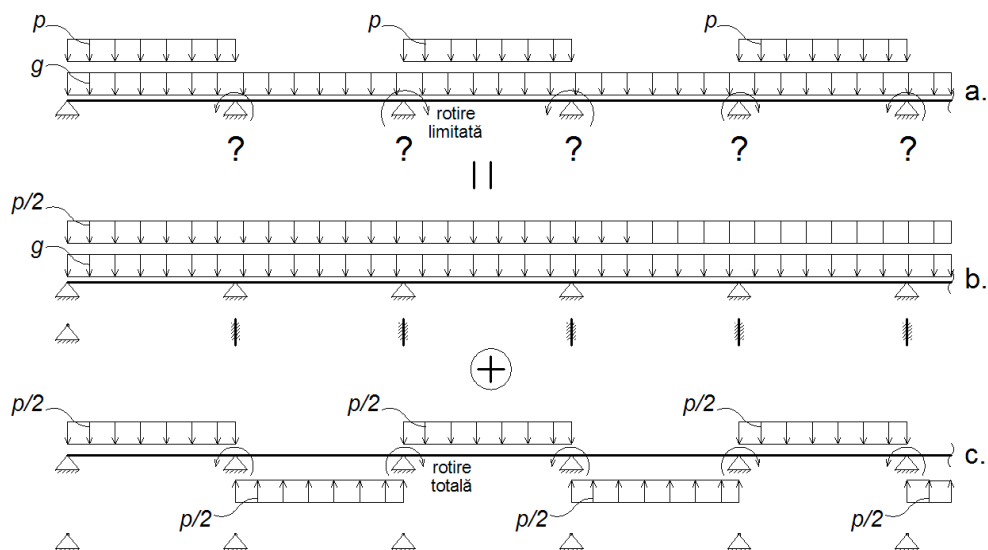


Fig. 4.13 – Stabilirea rezemărilor plăcii pentru calculul momentelor maxime în câmp – plăci fără laturi libere

Rezultă faptul că, pentru stabilirea tipului fiecărui ochi de placă din fiecare deschidere a sub-schemei **b**, toate reazemele marginale vor fi considerate simplu rezemate (sau laturi libere, fără rezemare, acolo unde este cazul) iar toate reazemele intermediare vor fi considerate încastrări.

A doua sub-schemă statică (fig. 4.13.c) este încărcată cu jumătate din încărcarea utilă dar semnul acesteia se schimbă în fiecare deschidere. Astfel, încărcările din două deschideri adiacente unui reazem intermediar

acționează ca un cuplu de forțe producând cu certitudine o rotire a reazemului. În aceste condiții, deoarece există un cuplu de forțe aferent fiecărui reazem intermediar ce va produce cu siguranță rotirea reazemului, toate legăturile intermediare pot fi considerate articulații.

În concluzie, pentru stabilirea tipului fiecărui ochi de placă din fiecare deschidere a sub-schemei *c*, toate reazemele marginale vor fi considerate simplu rezemate (sau laturi libere, fără rezemare, acolo unde este cazul) iar toate reazemele intermediare vor fi considerate simplu rezemate. În aceste condiții, singurele tipuri de plăci utilizate în sub-schema *c* vor fi 1 și 7.

În final, pentru obținerea momentelor maxime în câmp pentru o anumită deschidere a plăcii, având încărcarea permanentă *g* și încărcarea utilă *p*, se va obține prin sumarea momentele din sub-schema *b* obținute pentru încărcarea $g+p/2$ cu momentele din sub-schema *c* obținute pentru încărcarea $p/2$.

În cazul în care există plăci cu laturi libere, raționamentul este similar dar la capete nu se vor mai considera legături de tip reazem simplu ci laturi libere (fără rezemare) așa cum se poate observa în figura 4.14.

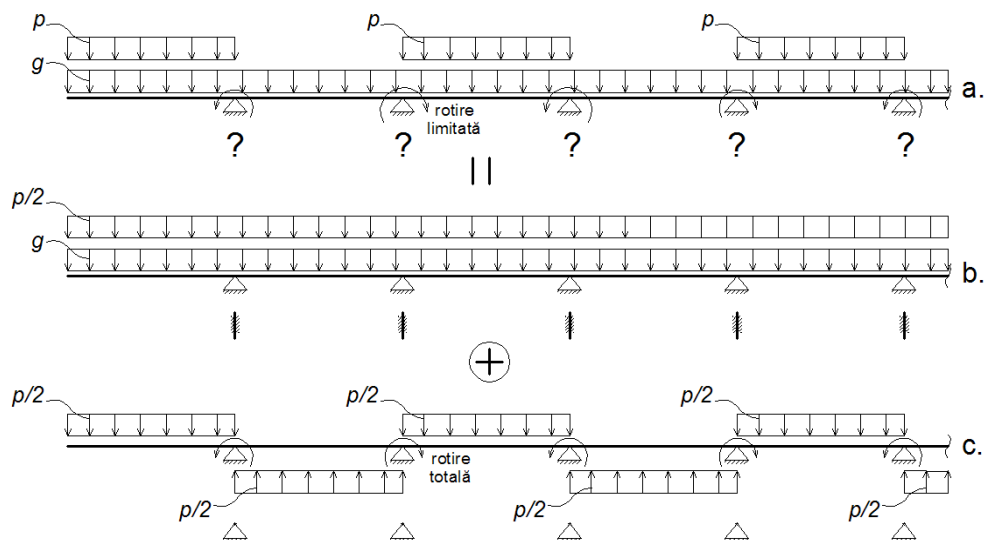


Fig. 4.14 – Stabilirea rezemărilor plăcii pentru calculul momentelor maxime în câmp – plăci marginale cu laturi libere

Pentru calculul momentelor maxime în reazem, încărcarea în câmpurile adiacente reazemului este aceeași (fig. 4.15), echilibrul perfect conducând la lipsa rotirii în reazemul calculat.

Dacă se analizează prima schemă statică din fig. 4.15, s-ar putea deduce faptul că nu toate reazemele intermediare pot fi considerate ca având legături încastrate.

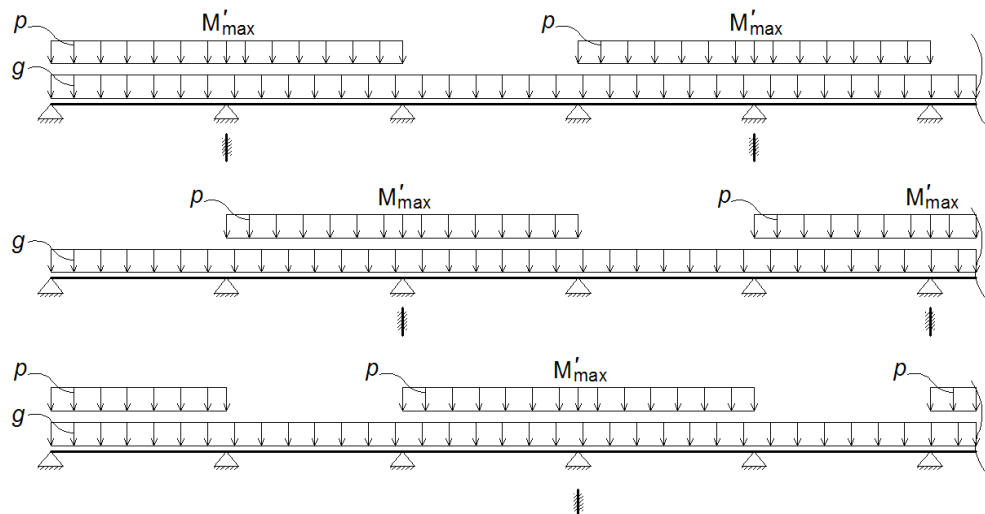


Fig. 4.15 – Stabilirea rezemărilor plăcii pentru calculul momentelor maxime în reazem

Dacă însă se definește câte o schemă statică corespunzătoare fiecărui reazem unde se dorește calcularea momentului maxim se poate observa că fiecare reazem unde este evaluat momentul maxim ajunge să aibă o legătură de tip încastrare. Această ipoteză este acceptată de către STAS 10107/2-92 chiar dacă aceasta nu emulează fidel situația reală. Din analizele efectuate s-a constatat faptul că diferențele obținute prin metoda exactă (similară celei utilizate la calculul momentelor în câmp) și cea aproximativă (considerând toate reazemele ca fiind încastrate) sunt foarte mici (spre deosebire de secțiunile din câmp unde diferențele erau semnificative).

În aceste condiții, pentru stabilirea tipului fiecărui ochi de placă din fiecare deschidere la calculul momentelor din reazem, toate reazemele marginale vor fi considerate simplu rezemate (sau laturi libere, fără

rezemare, acolo unde este cazul) iar toate reazemele intermediare vor fi considerate încastrări.

După stabilirea tipurilor de plăci aferente reazemelor, momentele maxime în reazem vor fi determinate pentru încărcarea totală $g+p$.

În final, pentru fiecare ochi de placă se vor obține toate momentele în câmp și în reazem aferente.

Ca și în cazul plăcilor armate pe o direcție și în acest caz plăcile curente nu au probleme de preluare a forței tăietoare (aceasta fiind preluată fără probleme doar de secțiunea de beton), iar un calcul la acest efort nu este necesar în majoritatea cazurilor curente. Pentru situații speciale, calculul forței tăietoare poate fi determinat fie simplificat, conform STAS 10107/2-92, fie cu ajutorul programelor de calcul.

4.2.5. Verificarea grosimii plăcii

Această verificare nu este necesară dacă grosimea plăcii s-a stabilit pe criterii constructive (grosime de placă minim impusă) la pct. 4.2.1. Practica a demonstrat că, în marea majoritate a cazurilor de plăci armate pe două direcții, verificarea grosimii plăcii este necesară.

Grosimea plăcii determinată cu aproximație la punctul 4.2.1 (în faza de predimensionare), trebuie verificată pe baza sollicitărilor calculate la pct. 4.2.4. În acest sens, se va impune un procent optim de armare:

$$p_{optim}^{reazem} = 0,8 \dots 1,0\% \quad (4.27)$$

Apoi, se vor calcula:

$$\xi_{opt} = \frac{p_{opt} \cdot R_a}{100 \cdot R_c} \quad (4.28)$$

$$r = \frac{1}{\sqrt{\xi \cdot (1 - 0,5 \cdot \xi)}} \quad (4.29)$$

unde:

- R_c – rezistența la compresiune a betonului;
- R_a – rezistența la întindere a armăturii.

În final, se va găsi grosimea minimă a plăcii h_{nec} cu relațiile:

$$h_{0nec} = r \cdot \sqrt{\frac{M_{\max}^{reazem}}{b \cdot R_c}} \quad (4.30)$$

$$a = a_b + \frac{\phi}{2} \quad (4.31)$$

$$h_{nec} = h_{0nec} + a \quad (4.32)$$

unde:

- M_{\max}^{reazem} – momentul maxim de calcul în reazem, pe toate ochiurile plăcii, determinat la pct. 4.2.4;
- b – lățimea fâșiei de placă, cu valoarea de 1000 mm;
- a – distanța de la centrul de greutate a armăturii la fața inferioară a betonului;
- a_b – acoperirea cu beton a armăturii conform pct. 1.5;
- ϕ - diametrul armăturii, pentru plăci luându-se valoarea aproximativă $\phi = 10$ mm;
- h_{nec} – grosimea necesară a plăcii.

Dacă între valoarea de la pct. 4.2.1 și cea determinată cu relația (4.32) nu există diferențe mai mari de 10 mm atunci se va păstra valoarea determinată la pct. 4.2.1. În cazul unor diferențe mai mari, se va adopta drept grosime a plăcii noua valoare determinată cu ecuația (4.32) iar calculele se vor relua de la pct. 4.2.3.

O a doua verificare a se face pentru secțiunile din câmp, impunându-se un procent optim de armare în câmp:

$$p_{optim}^{câmp} = 0,4 \dots 0,5\% \quad (4.33)$$

Utilizând relațiile 4.28...4.32 se va determina o nouă grosime a plăcii, cu mențiunea că, în loc de M_{\max}^{reazem} , în relația (4.30) se va utiliza momentul maxim în câmp, determinat la punctul 4.2.4 ($M_{\max}^{câmp}$).

Și în acest caz se va compara grosimea stabilită la punctul 4.2.1 cu cea calculată pentru momentul maxim în câmp și se va păstra valoarea grosimii plăcii determinată la punctul 4.2.1 nu există diferențe mai mari de 10 mm, sau se va adopta noua valoare determinată prin calcul.

4.2.6. Stabilirea cantităților teoretice de armătură

Calculul armăturilor plăcilor se face pentru o fâșie de 1,0 m urmând ca armarea să se repete din metru în metru până la acoperirea întregii deschideri a plăcii.

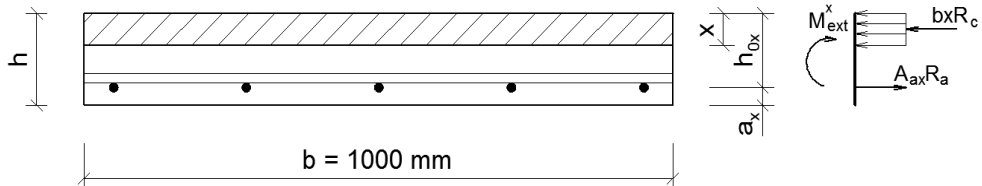


Fig. 4.16 – Calculul armăturilor în câmp pentru fâșia x

Necesarul de armătură pentru secțiunile din câmp ale fâșiei x se determină punând condiția de echilibru între acțiunea exterioară și reacțiuni, conform figurii 4.16. Cantitățile necesare de armătură în câmp se determină conform ecuațiilor (4.34)...(4.38) pentru fiecare moment determinat la punctul 4.2.4.

$$a_x = a_b + \frac{\phi}{2} \quad (4.34)$$

$$h_{0x} = h - a_x \quad (4.35)$$

$$B = \frac{M_{ext}^x}{b \cdot h_{0x}^2 \cdot R_c} \quad (4.36)$$

$$\xi = 1 - \sqrt{1 - 2 \cdot B} \quad (4.37)$$

$$A_{ax}^{nec} = \xi \cdot b \cdot h_{0x} \cdot \frac{R_c}{R_a} \quad (4.38)$$

unde:

- h_{0x} – distanța de la fața superioară a betonului la centrul de greutate al armăturii pe direcția x;
- b – lățimea fâșiei de placă, cu valoarea de 1000 mm;
- a_x – distanța de la centrul de greutate a armăturii de pe direcția x la fața inferioară a betonului;
- ξ – înălțimea relativă a zonei comprimate, cu valoarea $\xi = x/h_0$;

- B – coeficient adimensional cu valoarea $B = \xi \cdot (1 - 0,5 \cdot \xi)$;
- A_{ax}^{nec} – cantitatea necesară de armătură pe direcția x.

Necesarul de armătură pentru secțiunile din câmp ale fâșiei x se determină în mod similar cu ecuațiile:

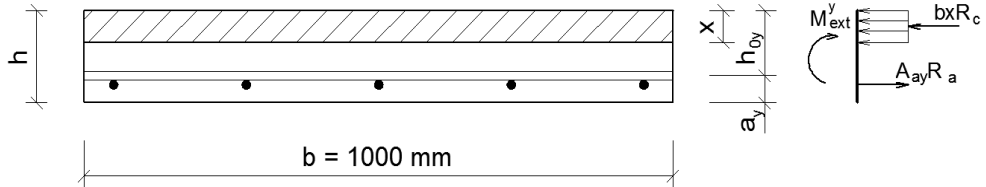


Fig. 4.17 – Calculul armăturilor în câmp pentru fâșia y

$$a_y = a_b + \phi + \frac{\phi}{2} \quad (4.39)$$

$$h_{0y} = h - a_y \quad (4.40)$$

$$B = \frac{M_{ext}^y}{b \cdot h_{0y}^2 \cdot R_c} \quad (4.41)$$

$$\xi = 1 - \sqrt{1 - 2 \cdot B} \quad (4.42)$$

$$A_{ay}^{nec} = \xi \cdot b \cdot h_{0y} \cdot \frac{R_c}{R_a} \quad (4.43)$$

unde semnificațiile notațiilor sunt similare cu cele din ecuațiile (4.34)...(4.38). În relațiile de mai sus s-a presupus că momentele cele mai mari în câmp sunt pe direcția x. Dacă momentele maxime sunt pe direcția y se vor inversa relațiile (4.34)...(4.38) cu relațiile (4.39)...(4.43) astfel ca momentului maxim în câmp să-i corespundă cea mai mare înălțime h_0 .

În mod similar, se vor determina și cantitățile necesare de armătură în reazeme, scriindu-se condițiile de echilibru conform figurii 4.18.

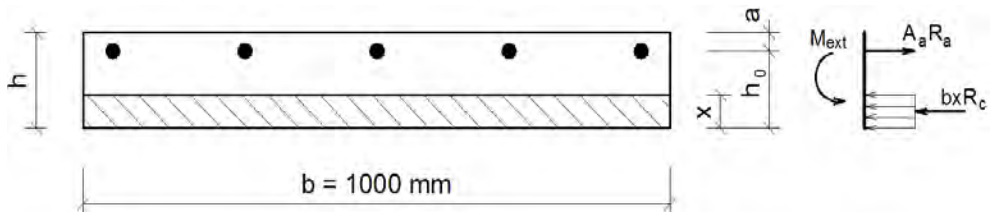


Fig. 4.18 – Calculul armăturilor în secțiunile din reazem

$$h_0 = h - a \quad (4.44)$$

$$B = \frac{M_{ext}}{b \cdot h_0^2 \cdot R_c} \quad (4.45)$$

$$\xi = 1 - \sqrt{1 - 2 \cdot B} \quad (4.46)$$

$$A_a^{nec} = \xi \cdot b \cdot h_0 \cdot \frac{R_c}{R_a} \quad (4.47)$$

unde a este determinat conform ecuației (4.31). Relațiile (4.44)...(4.45) se vor aplica practic pentru fiecare moment din reazem determinat la pct. 4.2.4.

Cantitățile necesare de armătură vor sta la baza determinării diametrului și a numărului efectiv de bare.

4.2.7. Elaborarea schiței de armare

Schița de armare presupune stabilirea diametrelor și a numărului de bare pentru o fâșie de 1,0 m și precizarea modului de dispunere a acestora pe secțiune.

Pentru stabilirea efectivelor de armătură vor trebui respectate următoarele reguli de armare:

- numărul minim de bare pe metru: 5 bare pentru plăci cu grosimea de cel mult 300 mm, 4 bare pentru plăci cu grosimea cuprinsă între 300 și 400 mm și 3 bare pentru plăci cu grosimea mai mare de 400 mm;
- numărul maxim de bare pe metru: 12;
- diametrul minim al barelor în câmp (la partea inferioară): 6 mm;
- diametrul minim al barelor în reazem (la partea superioară): 6 mm pentru bare din oțel PC52 sau PC60 și 8 mm pentru bare din oțel OB37;
- diametrul minim barelor în cazul în care se utilizează plase sudate este de 5 mm pentru plăci turnate monolit și 4 mm pentru plăci prefabricate;
- se recomandă utilizarea barelor înclinate doar la plăci continue cu deschideri de peste 2,0 m; în acest caz, secțiunile de înclinare vor

începe la $1/5$ din lumina liberă a plăcii în deschiderea respectivă pentru preluarea de către barele înclinate a momentului încovoietor din reazem; unghiul de înclinare va fi de 45^0 și se vor ridica aproximativ 50% din totalul numărului de bare;

- armăturile de la partea superioară pentru preluarea momentelor negative de pe reazeme se prelungesc de o parte și de alta a reazemului cu $1/4$ din deschiderea l_0 unde l_0 este cea mai mare dintre cele două deschideri adiacente l_{0x} și l_{0y} ;

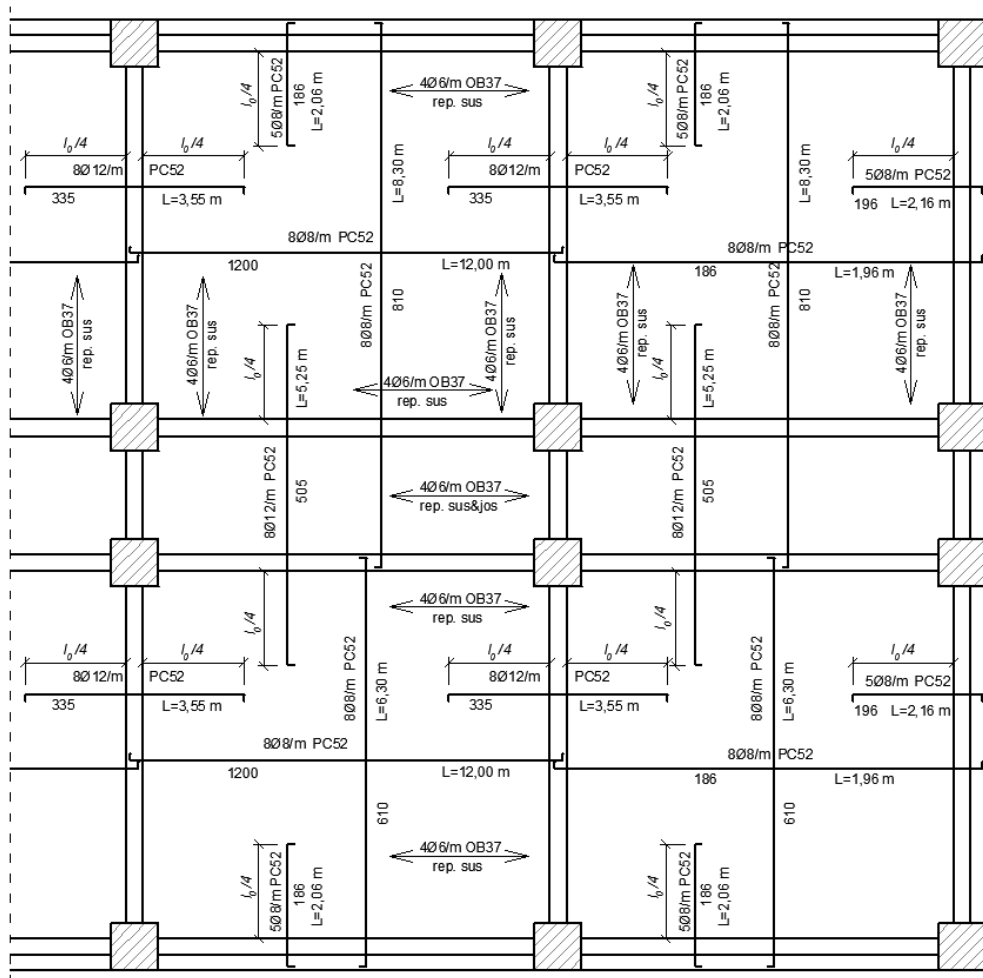


Fig. 4.19 – *Armarea plăcilor pe două direcții*

- în zonele întinse de pe reazeme se prevede o armătură de repartiție având secțiunea pe metru egală cu cel puțin 15% din secțiunea pe metru a armăturii de rezistență la planșeele obișnuite și de cel puțin 25% la cele cu încărcări concentrate mari; se vor utiliza cel puțin 4 $\phi 6$ pe metru în cazul armării cu plase legate, respectiv cel puțin 5 $\phi 5$ pe metru la armăturile din plase sudate.

Ca și în cazul plăcilor armate pe o direcție, și în acest caz schița de armare poate fi realizată cu bare înclinate sau fără bare înclinate. În cazul utilizării barelor înclinate, acestea vor contribui la preluare efectivă a momentelor din reazeme, reducându-se în mod corespunzător cantitatea de armătură din călăreți. Utilizarea barelor înclinate va reduce cantitatea totală de armătură crescând însă manopera aferentă.

În figura 4.19 este prezentat un model de armare a plăcilor pe două direcții fără bare înclinate

5. PROIECTAREA GRINZILOR DIN BETON ARMAT

Grinzile din beton armat sunt elemente liniare la care una din dimensiuni este mult mai mare decât celelalte două, fiind solicitate la încovoiere.

Grinzile din beton armat se clasifică din punct de vedere structural în trei mari categorii: grinzi secundare, grinzi principale și grinzi de rigidizare.

Grinzile secundare preiau încărcările de la plăci și le transmit altor elemente orizontale (grinzi principale). Este important de precizat faptul că grinziile secundare nu preiau încărcările provenite din seism.

Grinzile principale preiau încărcările de la plăci și grinzi secundare (dacă acestea din urmă există) și le transmit elementelor verticale de rezistență. Este important de precizat faptul că grinziile principale preiau atât încărcări gravitaționale importante, cât și încărcările seismice.

Grinzile de rigidizare reazemă pe elemente verticale (similar grinzilor principale) dar sunt prevăzute în structură în principal pentru preluarea încărcărilor seismice, sarcinile gravitaționale fiind în general reduse pe aceste grinzi.

5.1. Proiectarea grinzilor secundare

Proiectarea grinzilor secundare se face conform pașilor descriși în fig. 1.1.

5.1.1. Predimensionare

Predimensionarea înălțimii grinzilor secundare se face cu relația:

$$h_{gs} = \frac{1}{12...14} L, \quad (5.1)$$

unde L este deschiderea de calcul a grinzii secundare.

Dimensiunea lățimii secțiunii se evaluează cu relația:

$$b_{gs} = \frac{h_{gs}}{2...3} \quad (5.2)$$

Dimensiunile secțiunilor de beton armat pentru grinzile secundare se rotunjesc la multiplu de 50 mm dar, se face mențiunea că sunt acceptate alte două valori pentru lățimea grinzilor secundare care nu respectă această regulă: 180 și 220 mm.

5.1.2. Schema statică

Schema statică a grinzilor secundare (cu rezemare pe grinzi principale) este cea a unei grinzi continue. Ca regulă generală, în măsura în care este posibil, grinzile principale se vor poziționa la distanțe egale. Această situație va permite efectuarea unui calcul manual simplificat. Dacă nu este posibil acest lucru, calculul static se va efectua în mod clasic.

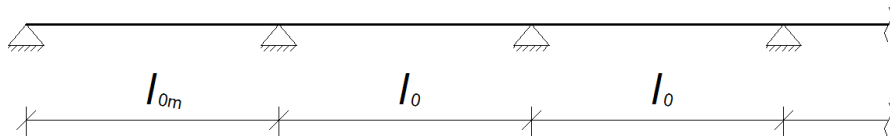


Fig. 5.1 – *Schema statică a grinzilor secundare*

În cadrul schemei statice s-a considerat drept deschidere distanța dintre fețele grinzilor principale și nu distanța interax așa cum ar părea normal la prima vedere.

Considerarea distanței dintre fețele grinzilor secundare drept deschidere de calcul pentru grinzile secundare este în concordanță deplină cu modul de cedare al acestora din urmă (cedarea având loc la fața grinzii principale și nu în axul acesteia). Acest lucru se datorează faptului că grinzile principale joacă rolul de reazeme late pentru grinzile secundare.

Legăturile plăcii cu grinzile se vor considera articulate deoarece grinzile nu pot prelua în mod eficient efectele de torsiune, sub încărcări

diferențiate de o parte și de cealaltă a reazemelor grinzile principale având o rotire parțială.

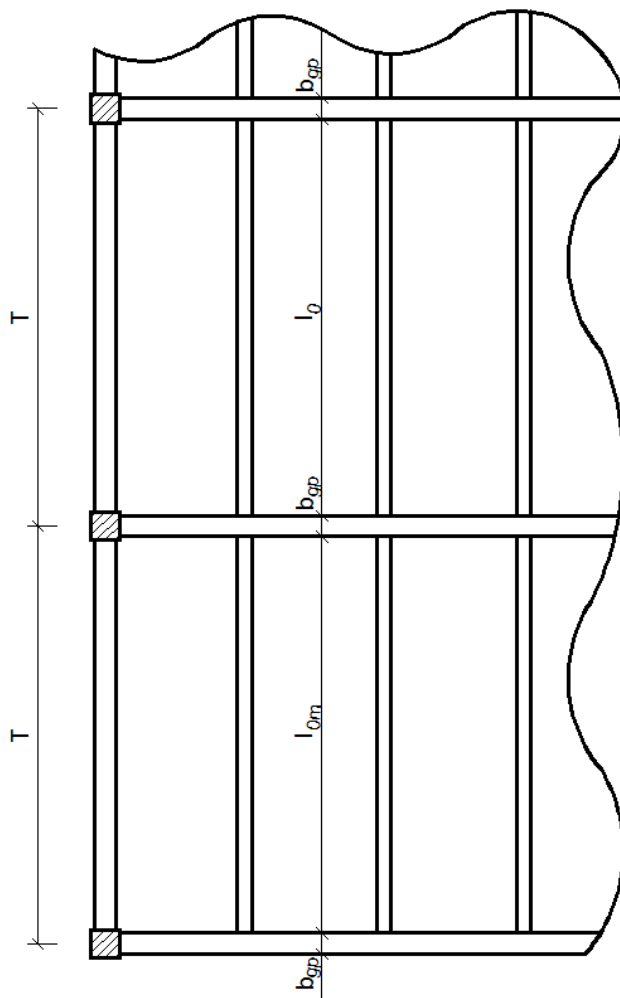


Fig. 5.2 – *Calculul grinzilor secundare*

Deschiderile de calcul se vor calcula cu relațiile:

- pentru reazeme alcătuite din grinzi, centuri sau stâlpi cu legătură monolită:

$$l_0 = l_{0m} = T - b_{gp} \quad (5.3)$$

- pentru reazeme alcătuite din grinzi, centuri sau zidării fără legătură monolită:

$$l_0 = T - b_{gp}$$

$$l_{0m} = T - b_{gp} + \min\left(0,025 \cdot l_0, \frac{b_{gp}}{2}\right) \quad (5.4)$$

unde lățimile grinzilor principale b_{gp} se vor predimensiona conform punctului 1.2.

5.1.3. Stabilirea încărcărilor

Încărcările se împart în două mari categorii (fig. 5.4): încărcări permanente (a căror sumă este notată cu g) și încărcări utile (a căror sumă este notată cu p). Toate încărcările vor fi încărcări de calcul (cu coeficienți parțiali de siguranță) și se vor evalua pentru un metru liniar de grindă secundară conform informațiilor prezentate în cadrul capitolului 2.

Distribuția reală a încărcărilor de la placă la grinda secundară este prezentată în fig. 5.3.a. Pentru simplificare, se acceptă în practica curentă utilizarea unei distribuții dreptunghiulare ca cea prezentată în fig. 5.3.b.

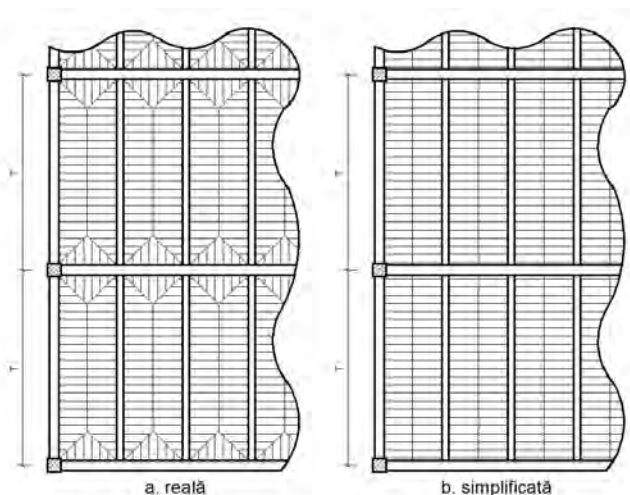


Fig. 5.3 – Distribuția încărcărilor la grinzile secundare

Solicitările exterioare utile pot apărea în exploatarea curentă a plăcilor în deschideri diverse, putându-se elabora mai multe scheme de încărcare. Deoarece în procesul de proiectare trebuie considerate cele mai

dezavantajoase situații de solicitare, pentru calculul eforturilor în diverse secțiuni vor trebui adoptate diferite scheme de încărcare.

În urma analizelor efectuate în decursul timpului s-au stabilit cele mai dezavantajoase situații de încărcare pentru obținerea unor eforturi maxime în câmp și în reazem, aceste situații fiind prezentate în figura 5.4.

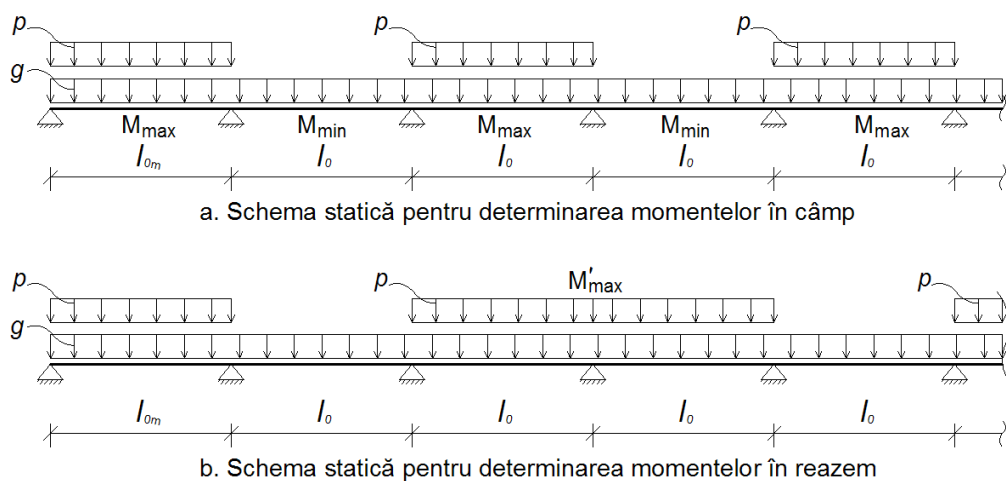


Fig. 5.4 – Ipoteze de încărcare

Astfel, pentru determinarea momentului maxim M_{\max} într-un câmp, încărcarea permanentă va trebui considerată în toate deschiderile iar încărcarea utilă va trebui poziționată în deschiderea respectivă precum și în deschideri alternante (fig. 5.4.a).

Pentru determinarea momentului minim M_{\min} într-un câmp, încărcarea permanentă va trebui considerată în toate deschiderile iar încărcarea utilă va trebui poziționată în deschiderile adiacente celei considerate, precum și în deschideri alternante (fig. 5.4.a).

Pentru determinarea momentului maxim negativ M'_{\max} într-un reazem, încărcarea permanentă va trebui considerată în toate deschiderile iar încărcarea utilă va trebui poziționată în deschiderile adiacente reazemului considerat, precum și în deschideri alternante (fig. 5.4.b).

În cele mai uzuale cazuri se acceptă însă efectuarea unui calcul simplificat în domeniul postelastice pentru grinzile secundare, conform punctului 5.1.4.

5.1.4. Calculul static

Dacă deschiderile grinzilor secundare nu diferă între ele cu mai mult de 10%, prescripțiile legale în vigoare acceptă efectuarea unui calcul simplificat în domeniul postelastice. Se face observația că nu se poate efectua calculul în domeniul postelastice pentru următoarele situații:

- în cazul planșeelor care au încărcări tehnologice cu caracter dinamic;
- în cazul planșeelor la care se pun condiții speciale de limitare a deschiderii fisurilor;
- în cazul elementelor din beton precomprimat ale planșeelor;
- elementelor din beton armat la care diferența dintre procente de armătură dispuse în zona întinsă și în cea comprimată ($p - p'$) are valori mai mari decât valorile limită din tabelul 5.1;

Tabelul 5.1 – *Valori limită ($p-p'$)*

Tipul armăturii	Clasa betonului			
	C8/10	C12/15	C16/20	C18/22,5
	Valori limită ($p-p'$)			
OB37	0,77	1,13	1,49	-
PC52	0,54	0,79	1,04	1,15
PC60 și STNB	-	0,68	0,89	0,99

- în cazul elementelor din beton armat la care raportul dintre încărcarea utilă de lungă durată și încărcarea totală este mai mare de 0,75; în acest caz se permite efectuarea calculului în domeniul postelastice doar dacă valoarea $1,2 \cdot p/d$ rezultă cu valori cel mult egale cu cele de la care nu este necesară verificarea prin calcul a deschiderii fisurilor normale, precizate în tabelul 31, Anexa C din STAS 10107/0-90.

Dacă un calcul în domeniul postelastice nu este posibil, atunci se va efectua un calcul în domeniul elastic, ca pentru o grindă continuă.

Calculul în domeniul postelastic se poate efectua în mod simplificat (conform STAS 10107/2-92), cu relațiile:

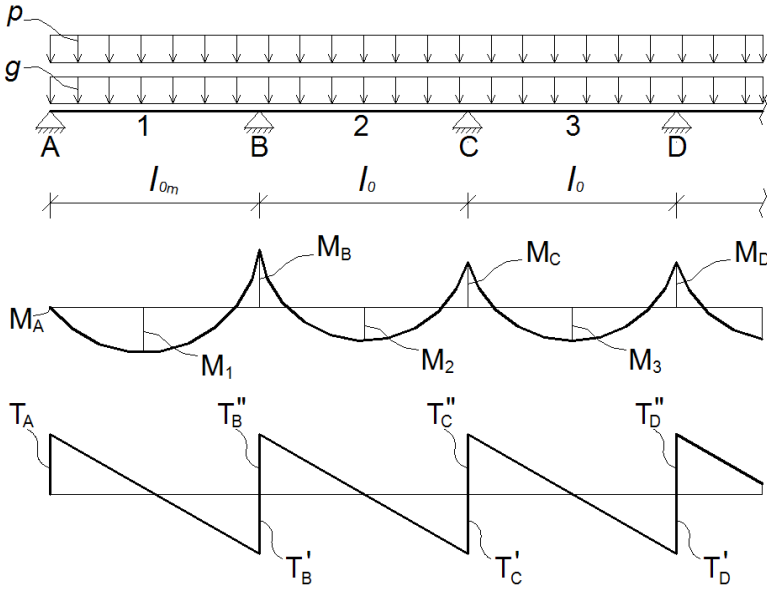


Fig. 5.5 – Calculul eforturilor în domeniul postelastic al grinzilor secundare

$$M_A = 0 \quad (5.5)$$

$$M_1 = \frac{(g + p) \cdot l_{0m}^2}{11} \quad (5.6)$$

$$M_B = \frac{(g + p) \cdot l_{0m}^2}{11} \quad (5.7)$$

$$M_2 = M_C = M_3 = M_D = \dots = \frac{(g + p) \cdot l_0^2}{16} \quad (5.8)$$

$$T_A = 0,45 \cdot (g + p) \cdot l_{0m} \quad (5.9)$$

$$T'_B = 0,65 \cdot (g + p) \cdot l_{0m} \quad (5.10)$$

$$T''_B = T'_C = T''_C = T'_D = \dots = 0,55 \cdot (g + p) \cdot l_0 \quad (5.11)$$

unde:

- M_i – momentul de calcul în secțiunea i , conform fig. 5.5;
- T_i – forța tăietoare de calcul în secțiunea i , conform fig. 5.5;

- g – suma tuturor încărcărilor permanente;
- p – suma tuturor încărcărilor variabile;
- l_{0m}, l_0 – deschiderile de calcul, calculate conform relațiilor (5.3), (5.4).

Dacă deschiderile grinzilor secundare au diferențe mai mari de 10% , ele nu se pot calcula utilizând metoda de calcul simplificat prezentată anterior și vor trebui calculate manual sau cu un program de calcul, utilizând schema statică din fig. 5.5. Deoarece programele de calcul efectuează calculul în domeniul elastic, pentru calculul în domeniul postelastice al plăcilor armate pe o direcție, se vor aplica prevederile capitolului 5 din STAS 10107/2-1992.

5.1.5. Verificarea secțiunii grinzii secundare

Verificarea secțiunii se face comparând dimensiunile stabilite cu aproximație la punctul 5.1.1 (în faza de predimensionare), cu cele necesare pe baza solicitărilor calculate la pct. 5.1.4. În acest sens, se va impune un procent optim de armare:

$$p_{opt} = 1,0\% \quad (5.12)$$

Apoi, se vor calcula:

$$\xi_{opt} = \frac{p_{opt} \cdot R_a}{100 \cdot R_c} \quad (5.13)$$

$$r = \frac{1}{\sqrt{\xi \cdot (1 - 0,5 \cdot \xi)}} \quad (5.14)$$

unde:

- R_c – rezistența la compresiune a betonului;
- R_a – rezistența la întindere a armăturii (se vor accepta doar armături profilate pentru armarea longitudinală).

În final, impunând lățimea secțiunii determinată la punctul 5.1.1, se va calcula înălțimea secțiunii h_{gs}^{nec} cu relațiile:

$$h_0^{nec} = r \cdot \sqrt{\frac{M_1}{b_{gs} \cdot R_c}} \quad (5.15)$$

$$a = a_b + \frac{\phi}{2} \quad (5.16)$$

$$h_{gs}^{nec} = h_0^{nec} + a \quad (5.17)$$

unde:

- M_1 – momentul de calcul în primul câmp determinat la pct. 5.1.4;
- b_{gs} – lățimea secțiunii, determinată la punctul 5.1.1;
- a – distanța de la centrul de greutate a armăturii la fața inferioară a betonului;
- a_b – acoperirea cu beton a armăturii conform pct. 1.5;
- ϕ - diametrul armăturii, pentru grinzile secundare putându-se adopta valoarea $\phi = 14...18$ mm;
- h_{gs}^{nec} – înălțimea necesară a secțiunii grinzii secundare.

Dacă între valoarea de la pct. 5.1.1 și cea determinată cu relația (5.17) nu există diferențe mai mari de 50 mm atunci se va păstra valoarea determinată la pct. 5.1.1. În cazul unor diferențe mai mari, se va adopta drept grosime a plăcii noua valoare determinată cu ecuația (5.17) iar calculele se vor relua de la pct. 5.1.3.

5.1.6. Stabilirea cantităților teoretice de armătură

Necesarul de armătură pentru secțiunile din câmp se determină punând condiția de echilibru între acțiunea exterioară și reacțiuni, conform figurii 5.7.

Deoarece placa se află la partea superioară a grinzii secundare (în zona comprimată), secțiunea de calcul va fi o secțiune de tip **T**. În aceste condiții, lățimea grinzii la partea superioară va fi mai mare și se va calcula cu relația:

$$b_p = b_{gs} + 2 \cdot \Delta b \quad (5.18)$$

$$\Delta b = \frac{l_c}{6} \leq \Delta b_{\max} \quad (5.19)$$

unde l_c este distanța dintre două puncte consecutive de moment nul și are valorile:

- $l_c = l_0$, pentru grinzile simplu rezemate
- $l_c = 0,8 \cdot l_0$, pentru grinzile simplu rezemate la un capăt și încastrate la celălalt capăt
- $l_c = 0,5 \cdot l_0$, pentru grinzile dublu încastrate
- $l_c = 0,8 \cdot l_0$, în deschiderile marginale ale grinzilor continue
- $l_c = 0,6 \cdot l_0$, în deschiderile interioare ale grinzilor continue

$$\Delta b_{\max} = \begin{cases} \frac{l_0}{2} , & \text{dacă } \frac{h_p}{h_{gs}} \geq 0,10 \\ 6 \cdot h_p , & \text{dacă } \frac{h_p}{h_{gs}} < 0,10 \end{cases} \quad (5.20)$$

În cazul secțiunilor **T**, trebuie stabilit dacă înălțimea zonei comprimate x depășește sau nu grosimea plăcii h_p . Pentru aceasta, se calculează momentul capabil al plăcii, cu relația:

$$M_{cap}^{pl} = b_p \cdot h_p \cdot R_c \cdot \left(h_0 - \frac{h_p}{2} \right) \quad (5.21)$$

unde h_0 se determină cu relația (5.23).

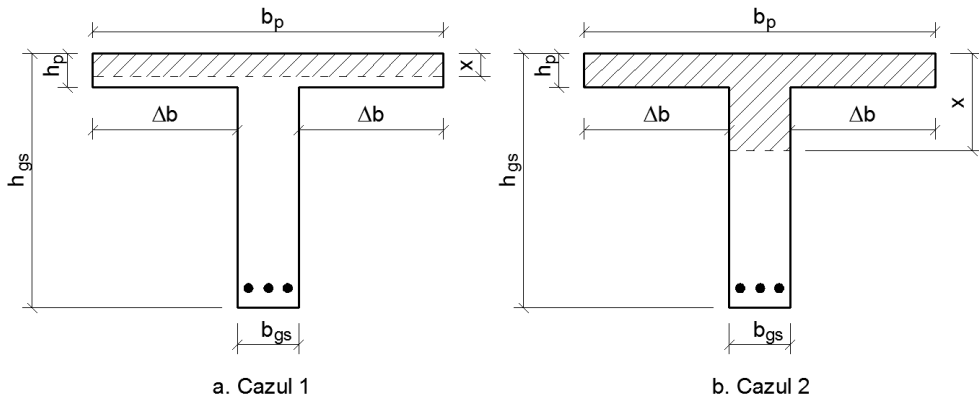


Fig. 5.6 – Cazuri de solicitare a secțiunii **T**

Dacă momentul capabil al plăcii este mai mare decât momentul exterior (cazul 1 din fig. 5.6) atunci înălțimea zonei comprimate nu depășește înălțimea plăcii.

$$M_{cap}^{pl} \geq M_{ext} \Rightarrow x \leq h_p \quad (5.22)$$

În acest caz, deoarece se presupune că zona întinsă de beton nu preia nici un fel de eforturi, secțiunea din câmp se calculează similar ca o secțiune dreptunghiulară cu dimensiunile b_p și h_{gs} (fig. 5.7).

Calculul armăturii necesare în câmp pentru secțiunile T aflate în cazul 1 ($x \leq h_p$) se face cu relațiile (5.23)....(5.26).

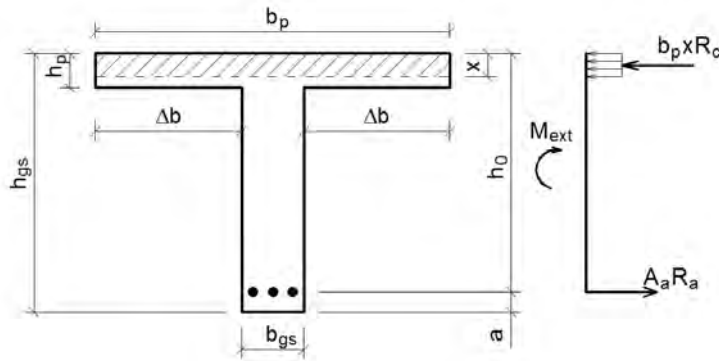


Fig. 5.7 – Calculul armăturilor în câmp – cazul 1

$$h_0 = h_{gs} - a \quad (5.23)$$

$$B = \frac{M_{ext}}{b_p \cdot h_0^2 \cdot R_c} \quad (5.24)$$

$$\xi = 1 - \sqrt{1 - 2 \cdot B} \quad (5.25)$$

$$A_a^{nec} = \xi \cdot b_p \cdot h_0 \cdot \frac{R_c}{R_a} \quad (5.26)$$

unde:

- h_0 – distanța de la fața superioară a betonului la centrul de greutate al armăturii;
- b_p – lățimea activă a plăcii calculată cu relația (5.18);

- a – distanța de la centrul de greutate a armăturii la fața inferioară a betonului, determinată cu relația (5.16);
- ξ – înălțimea relativă a zonei comprimate, cu valoarea $\xi = x/h_0$;
- B – coeficient adimensional cu valoarea $B = \xi \cdot (1 - 0,5 \cdot \xi)$;
- A_a^{nec} – cantitatea necesară de armătură.

În cazul în care momentul capabil al plăcii este mai mic decât momentul exterior, înălțimea zonei comprimate x va depăși placa (cazul 2 din fig. 5.6).

$$M_{cap}^{pl} < M_{ext} \Rightarrow x > h_p \quad (5.27)$$

În aceste condiții, problema se împarte în alte două sub-probleme ca în figura 5.8.

Se calculează momentele exterioare aferente celor două sub-probleme:

$$M_1 = (b_p - b_{gs}) \cdot h_p \cdot R_c \cdot \left(h_0 - \frac{h_p}{2} \right) \quad (5.28)$$

$$M_2 = M_{ext} - M_1 \quad (5.29)$$

Calculul armăturii pentru prima sub-problemă se face cu relația:

$$A_{a1} = \frac{M_1}{\left(h_0 - \frac{h_p}{2} \right) \cdot R_a} \quad (5.30)$$

Calculul armăturii pentru a doua sub-problemă se face cu relațiile:

$$B = \frac{M_2}{b_{gs} \cdot h_0^2 \cdot R_c} \quad (5.31)$$

$$\xi = 1 - \sqrt{1 - 2 \cdot B} \quad (5.32)$$

$$A_{a2} = \xi \cdot b_{gs} \cdot h_0 \cdot \frac{R_c}{R_a} \quad (5.33)$$

În final se găsește cantitatea necesară de armătură în câmp pentru secțiunile T aflate în cazul 2 ($x > h_p$) cu relația:

$$A_a^{nec} = A_{a1} + A_{a2} \quad (5.34)$$

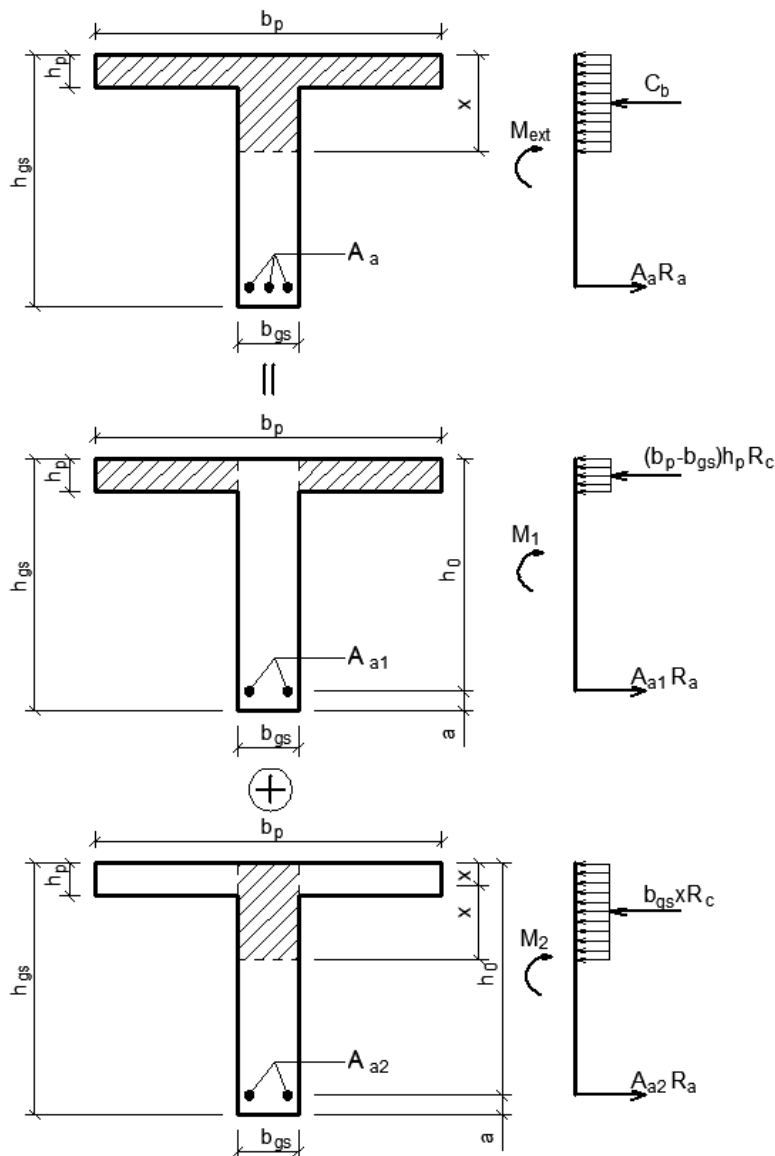


Fig. 5.8 – Calculul armăturilor în câmp – cazul 2

Calculul armăturilor în secțiunile de reazem diferă de cel efectuat în secțiunile de câmp deoarece placa este în zona întinsă și nu se mai poate conta pe aportul acesteia (fig. 5.9).

În acest caz, secțiunile de reazem se calculează ca secțiuni dreptunghiulare, cu dimensiunile b_{gs} și h_{gs} .

Și în acest caz necesarul de armătură se determină punând condiția de echilibru între acțiunea exterioară și reacțiuni, conform figurii 5.9.

Calculul armăturii necesare în reazem pentru secțiunile dreptunghiulare se face cu relațiile (5.35)....(5.37).

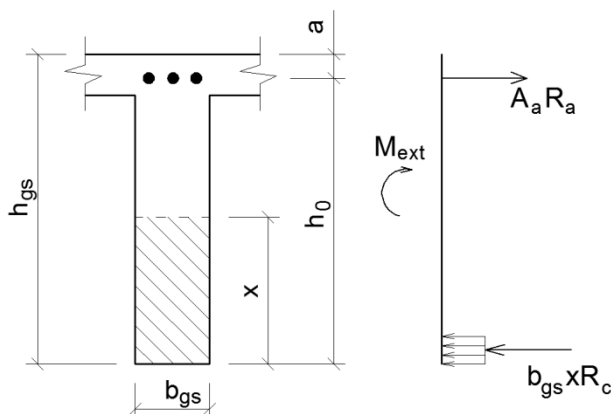


Fig. 5.9 – Calculul armăturilor în reazem

$$B = \frac{M_{ext}}{b_{gs} \cdot h_0^2 \cdot R_c} \quad (5.35)$$

$$\xi = 1 - \sqrt{1 - 2 \cdot B} \quad (5.36)$$

$$A_a = \xi \cdot b_{gs} \cdot h_0 \cdot \frac{R_c}{R_a} \quad (5.37)$$

Cantitățile necesare de armătură vor sta la baza determinării diametrului și a numărului efectiv de bare.

5.1.7. Elaborarea schiței de armare

Schița de armare presupune stabilirea diametrelor și a numărului de bare, precum și precizarea modului de dispunere a acestora pe secțiune.

Pentru stabilirea efectivelor de armătură vor trebui respectate următoarele reguli de armare:

- numărul minim de bare: 2 ;
- diametrul minim al barelor: 10 mm;
- distanța liberă minimă între bare la partea inferioară trebuie să fie egală cu diametrul barelor dar nu mai puțin de 25 mm;
- distanța liberă minimă între bare la partea superioară trebuie să fie egală cu diametrul barelor dar nu mai puțin de 30 mm; unul din spațiile de la partea superioară (de preferință în axul grinzii) se va majora la cel puțin 50 mm pentru a permite introducerea pervibratorului;
- distanța maximă între axele barelor: 200 mm;
- se recomandă ca barele să fie dispuse pe maxim două rânduri; în cazurile speciale când sunt necesare și armături pe al treilea rând, aceste ase dispun la distanțe duble față de cele admise pentru primele două rânduri;
- se recomandă ca diferențele între diametrul maxim și cel minim utilizate în aceeași secțiune să nu depășească 5 mm;
- în cazul în care se folosesc bare înclinate, acestea se vor dispune sub un unghi de 45° și vor trebui să aibă la extremitate o porțiune dreaptă de lungime egală cu cel puțin $10d$ în zonele comprimate și cel puțin $20d$ în zonele în care pot apărea și eforturi de întindere; nu se admite folosirea de armături înclinate sub formă de bare flotante, ca în fig. 5.10;
- la toate categoriile de grinzi la care se prevăd și bare înclinate, cel puțin o treime din armăturile din câmp se mențin drepte până la reazeme și se ancorează dincolo de reazeme, ca bare solicitate la întindere, dacă nu intervin alte condiții care să dicteze necesitatea menținerii unui număr mai mare de bare drepte până la reazem;
- pentru stabilirea secțiunilor de la care armăturile longitudinale pot fi întrerupte sau înclinate, se stabilește într-o primă fază secțiunea în care bara de armătură este integral necesară sin dimensionarea la

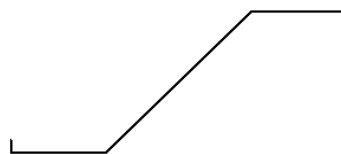


Fig. 5.10 – Bară flotantă

moment încovoietor (secțiunea de moment maxim din înfășurătoare); această secțiune se prelungește cu distanța $h/2$ pentru a asigura și preluarea momentelor încovoietoare în secțiunile înclinate (secțiunea I-I din fig. 5.11.a); se va defini câte o secțiune I-I pentru fiecare secțiune din câmp și din reazem calculată (secțiunile de moment maxim);

- o bară longitudinală ce trebuie să preia solicitări rezultate din acțiunea momentului încovoietor poate fi întreruptă dincolo de secțiunea I-I la o distanță minimă l ce trebuie să respecte condițiile:

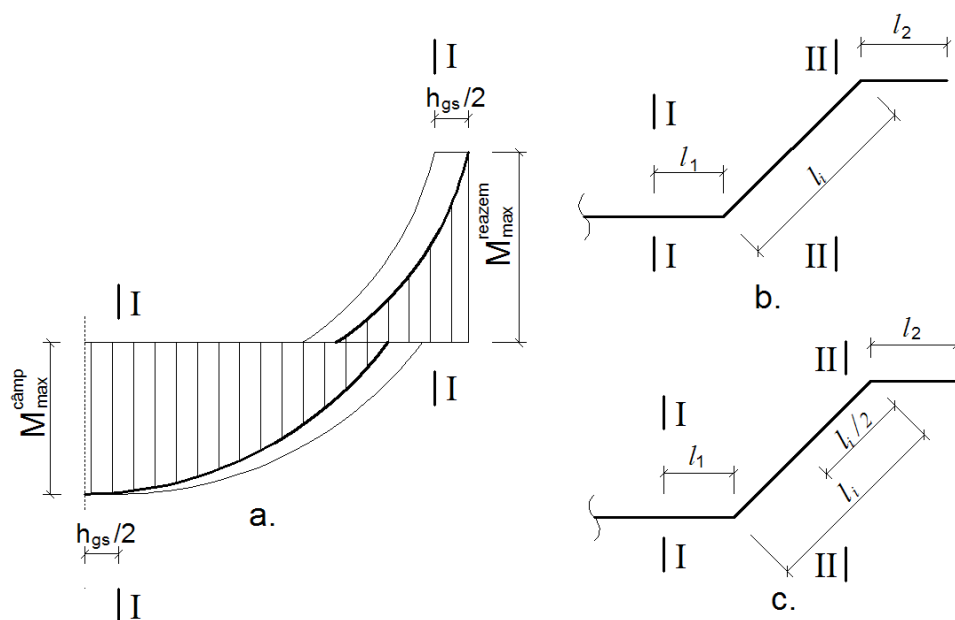


Fig. 5.11 – Întreruperea barelor longitudinale

$$l \geq l_a \quad (5.38)$$

unde l_a este lungimea de ancorare a barei conform pct. 1.4;

$$l \geq l_{I...II} \quad (5.39)$$

unde $l_{I...II}$ este lungimea barei dintre secțiunea de solicitare maximă I-I și secțiunea la care bara nu mai este necesară din calcul II-II;

- pentru o bară înclinată ce trebuie să preia solicitări rezultate din acțiunea momentului încovoietor, înclinarea poate să înceapă din secțiunea I-I dar efortul se consideră că descrește până la zero pe lungimea înclinată l_i a părții înclinate; în aceste condiții, extremitatea barei înclinate trebuie să treacă dincolo de secțiunea II-II (fig. 5.11.b); în plus, se pune condiția ca lungimea barei măsurată de la secțiunea I-I până la capătul liber să fie mai mare decât lungimea de ancorare l_a ;

$$\begin{aligned} l_1 &\geq 0 \\ l_1 + l_i &\geq l_{I...II} \\ l = l_1 + l_i + l_2 &\geq l_a \end{aligned} \quad (5.40)$$

- pentru o bară înclinată ce trebuie să preia solicitări rezultate atât din acțiunea momentului încovoietor, cât și din acțiunea forței tăietoare, se vor respecta toate condițiile punctului anterior și, în plus, se va respecta condiția:

$$\frac{l_i}{2} + l_2 \geq l_a \quad (5.41)$$

- la grinzile la care barele înclinate se dispun în principal pentru preluarea forței tăietoare, prima secțiune de înclinare începând de la reazem trebuie dispusă la cel mult 50 mm distanță de la marginea reazemului; distanțele până la următoarele secțiuni de înclinare se stabilesc pe baza verificării la forță tăietoare, respectând condiția ca orice fisură înclinată să intersecteze armăturile transversale necesare pentru preluarea forței tăietoare în secțiunea respectivă; se recomandă ca distanța între prima și a doua secțiune de înclinare, începând de la reazem, să nu fie mai mare decât înălțimea grinzii;

- în porțiunile la care grinzile nu necesită armături de rezistență la partea superioară, se prevăd armături de montaj, câte o bară la fiecare colț de etrier; diametrele minime ale barelor de montaj sunt prezentate în tabelul 5.2 de la punctul 5.2.7;
- se vor respecta procentele minime de armare prevăzute la punctul 1.3.

Se face precizarea că schița de armare poate fi realizată cu bare înclinate (ca în fig. 5.12) sau fără bare înclinate (ca în fig. 5.13).

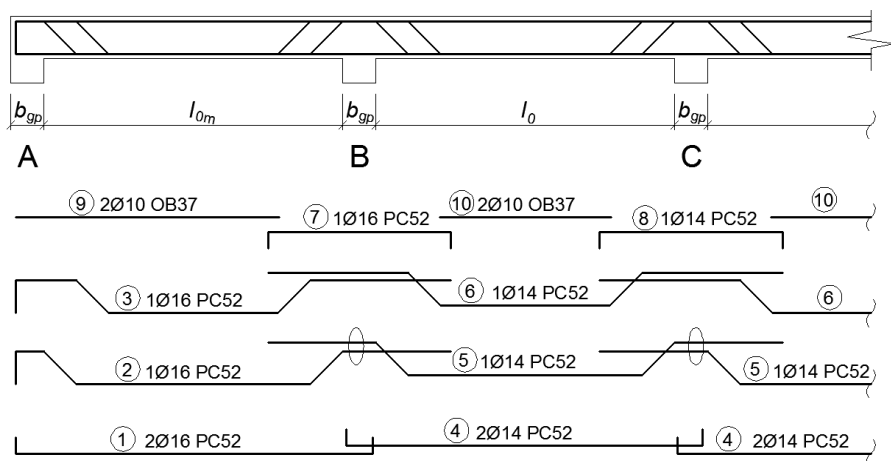


Fig. 5.12 – Schița de armare cu bare înclinate

În cazul utilizării barelor înclinate pentru preluarea forței tăietoare (ca în fig. 5.12), primele bare ce se coboară de pe reazem nu pot prelua momente încovoietoare deoarece nu respectă a doua ecuație (5.40).

Astfel, marca 2 nu poate prelua momentul negativ ce apare pe reazemul B-stânga deoarece coboară prea repede iar secțiunea II-II (în care bara nu mai este necesară) este mai depărtată decât capătul inferior al părții înclinate. În aceste condiții, în reazemul B-stânga poate prelua moment marca 5 plus mărcele 3, 6 și 7.

În mod similar, în reazemul B-dreapta, marca 5 nu poate prelua momentele de pe reazem, barele care pot prelua moment fiind mărcele 2, 3, 6 și 7. Se poate observa faptul că mărcele 2 și 5 lucrează practic ca o singură bară (una preluând momentele în partea dreaptă a reazemului iar cealaltă în partea stângă). Dacă barele au diametru diferit, se va considera o bară

echivalentă avânt cel mai mic diametru dintre cele două diametre ale barelor (în cazul exemplului de față $\phi 14$).

O discuție similară poate fi prezentată în reazemul C unde cele două bare marca 5 lucrează practic ca o singură bară $\phi 14$.

În aceste condiții, deoarece barele înclinate contribuie la preluare efectivă a momentelor din reazeme, va putea fi redusă cantitatea de armătură a mărcilor 7 și 8. În general nu se prevăd mai mult de trei rânduri de bare înclinate (vezi fig. 5.14).

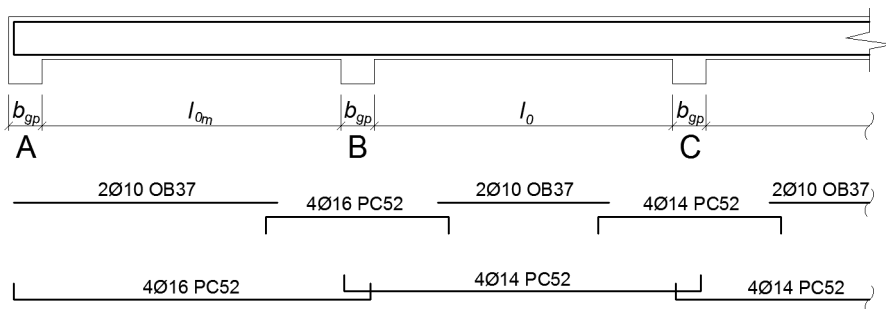


Fig. 5.13 – Schița de armare fără bare înclinate

Prelungirea călăreților de o parte și de alta a reazemelor se va face conform relațiilor (5.38) și (5.39). În cazurile curente aceasta este uzual un sfert din deschiderea de calcul ($l_0/4$).

5.1.8. Calculul armăturilor transversale

Armăturile transversale (etrierii) sunt prevăzuți alături de barele înclinate pentru preluarea forței tăietoare.

În cazul în care se utilizează bare înclinate, se vor stabili mai multe secțiuni de calcul astfel ca fisura apărută în fiecare secțiune să cuprindă toate variantele de intersectare a barelor înclinate (fig. 5.14).

Astfel, o primă fisură apărută în secțiunea 1 va intersecta toate barele înclinate. O a doua fisură posibilă care pleacă din secțiunea 2 nu va intersecta prima bară. Se va continua generarea secțiunilor până când se va ajunge la o secțiune care nu va mai intersecta nici o bară înclinată.

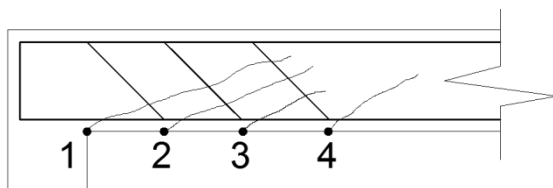


Fig. 5.14 – Secțiuni de calcul la forță tăietoare

Practic, numărul necesar de secțiuni pentru calculul la forță tăietoare într-un reazem este mai mare cu unu față de numărul de bare înclinate.

Distanțele dintre secțiunile 1-2 și 2-3 pot fi considerate în mod uzual egale cu înălțimea grinzii h_{gs} iar distanța între secțiunile 3-4 poate fi considerată $1,5 \cdot h_{gs}$.

Este evident faptul că, forța tăietoare va avea cea mai mare valoare în secțiunea 1 și va scădea treptat până la secțiunea 4. Valoarea forței tăietoare în secțiunea 1 a fost calculată pentru fiecare reazem cu ecuațiile (5.9)...(5.11). Determinarea forțelor tăietoare în secțiunile 2...4 este relativ ușor de efectuat cunoscându-se încărcarea uniform distribuită (g+p) și distanțele dintre secțiuni.

Calculul etrierilor se va efectua succesiv în toate secțiunile considerate, urmând a se adopta cea mai mare valoare dintre toate cele rezultate.

Pentru a verifica dacă secțiunea de beton adoptată este capabilă să preia forța tăietoare maximă, se calculează nivelul de solicitare la forță tăietoare cu relația:

$$\bar{Q} = \frac{T_1}{b_{gs} \cdot h_0 \cdot R_t} \quad (5.42)$$

unde:

- \bar{Q} – nivelul de solicitare al secțiunii la forță tăietoare;
- T_1 – forța tăietoare exterioară, în secțiunea 1;
- R_t – rezistența de calcul la întindere a betonului.

Funcție de mărimea nivelului de solicitare se vor lua următoarele decizii:

- a) dacă $\bar{Q} \leq 0,5$, calculul la forță tăietoare nu este necesar, etrierii dispunându-se pe criterii constructive;

- b) dacă $0,5 < \bar{Q} \leq 4$, calculul la forță tăietoare este necesar, etrierii fiind dimensionați pe baza relațiilor prezentate în continuare;
- c) dacă $\bar{Q} > 4$, secțiunea de beton este incapabilă să preia solicitările din forță tăietoare fiind necesară o mărire a acesteia și refacerea calculelor.

În cazul b) pentru calculul etrierilor se va evalua într-o primă fază forța tăietoare ce trebuie preluată de etrieri și beton cu relația:

$$Q_{eb}^{nec} = T_i - \sum A_{ai} \cdot R_a \cdot \sin \alpha \quad (5.43)$$

unde:

- Q_{eb}^{nec} – forța tăietoare ce trebuie preluată de etrieri și beton;
- T_i – forța tăietoare exterioară, în secțiunea i ;
- $\sum A_{ai}$ – suma tuturor barelor înclinate intersectate de fisura ce pleacă din secțiunea i ;
- R_a – rezistența de calcul a armăturilor longitudinale;
- α – unghiul armăturii înclinate cu orizontala (uzual 45°).

Dacă nu se folosesc bare înclinate, forța tăietoare ce trebuie preluată de etrieri și beton Q_{eb}^{nec} va fi practic egală cu forța tăietoare exterioară calculată în secțiunea 1.

Se determină procentul de armare din zona întinsă în dreptul fisurii înclinate cu relația:

$$p = \frac{A_{ai}}{b_{gs} \cdot h_0} \cdot 100 \quad (5.44)$$

unde:

- A_{ai} – suma tuturor barelor de armătură longitudinale (exclusiv barele înclinate) din zona întinsă ce intersectează fisura.

Deoarece ultimul etrier intersectat de fisură poate să nu preia în bune condiții forța tăietoare, aportul acestuia la capacitatea portantă a elementului se ignoră. Practic, reducerea capacității portante cu ceea ce poate prelua ultimul etrier este echivalentă cu mărirea forței tăietoare necesare cu exact aceeași valoare.

Pentru continuarea calculelor este necesar să se impună un diametru pentru etrieri. Uzual se stabilește într-o primă fază cel mai mic diametru

acceptat pentru etrieri. Diametrul minim pentru etrieri este cea mai mare din valorile:

- $\frac{1}{4}$ din diametrul maxim al armăturilor longitudinale;
- 6 mm pentru grinzile cu $h \leq 800$ mm;
- 8 mm pentru grinzile cu $h > 800$ mm.

În mod uzual, pentru grinzile secundare, diametru minim ales este $\phi 6$ cu aria secțiunii barei $A_e = 28,3 \text{ mm}^2$. Dacă se folosesc carcasse sudate, diametrul minim al barei va fi $\phi 4$.

De asemenea se vor impune pentru început etrieri simpli cu două ramuri ($n_e = 2$). La grinzi cu lățimea peste 400 mm se prevăd etrieri cu minim patru ramuri dar grinzile secundare nu depășesc de obicei această lățime.

În continuare se va determina forța tăietoare preluată de etrieri pe unitatea de lungime, cu relația:

$$q_e = \frac{(Q_{eb}^{nec} + A_{et} \cdot m_{at} \cdot R_{at})}{4 \cdot b_{gs} \cdot h_0^2 \cdot R_t \cdot \sqrt{p}} \quad (5.45)$$

unde:

- A_{et} – suma ariilor tuturor ramurilor de etrier intersectate de fisură:

$$A_{et} = n_e \cdot A_e \quad (5.46)$$

unde:

- n_e – numărul de ramuri ce intersectează fisura;
- A_e – aria unei ramuri (bare) de etrier;
- m_{at} – coeficient al condițiilor de lucru pentru oțel cu valoarea:
 - 0,8 pentru armături din oțel laminat (OB37, PC52, PC60);
 - 0,7 pentru armături din sârme trase (STNB, STPB);
- R_{at} – rezistența de calcul la întindere a armăturii transversale;
- R_t – rezistența de calcul la întindere a betonului;
- p - procentul de armare din zona întinsă în dreptul fisurii înclinate.

Pentru verificarea valorii q_e determinată cu relația 5.45 se va calcula raportul:

$$\frac{s_i}{h_0} = \sqrt{\frac{b_{gs} \cdot R_t \cdot \sqrt{p}}{q_e}} \quad (5.47)$$

Dacă raportul $s_i / h_0 \leq 2,5$ valoarea lui q_e determinată cu ecuația (5.45) este corectă și se poate trece la pasul următor.

Dacă raportul $s_i / h_0 > 2,5$ se va recalcula valoarea lui q_e cu relația:

$$q_e = \frac{Q_{eb}^{nec} + A_{et} \cdot m_{at} \cdot R_{at} - \frac{b_{gs} \cdot h_0 \cdot R_t \cdot \sqrt{p}}{2,5}}{2,5 \cdot h_0} \quad (5.48)$$

În final se va calcula distanța dintre etrieri cu relația:

$$a_e = \frac{A_{et} \cdot m_{at} \cdot R_{at}}{q_e} \quad (5.49)$$

unde:

- a_e – distanța dintre doi etrieri consecutivi.

Funcție de valoarea distanței dintre etrieri rezultată, pot exista trei situații distincte:

- a) dacă distanța dintre etrieri $a_e \geq 300$ mm se va păstra diametrul de etrier ales și se va impune $a_e = 300$ mm;
- b) dacă $100 \text{ mm} \leq a_e \leq 300$ mm se va păstra diametrul de etrier ales și se va impune o valoare a_e multiplu de 50 mm imediat inferioară celei rezultate cu ecuația (5.49); de ex. dacă s-a obținut valoarea $a_e = 172$ mm cu ecuația (5.49), se va impune în final $a_e = 150$ mm;
- c) dacă $a_e < 100$ mm diametrul ales pentru etrieri este prea mic; în aceste condiții se va mări diametrul etrierilor și se vor relua calculele de la ecuația (5.45); dacă se ajunge la un diametru $\phi 12$ iar $a_e < 100$ mm se pot adopta etrieri dubli cu

patru ramuri ($n_e = 4$) sau, în cazul în care inițial s-a utilizat pentru etrieri un oțel de tip OB37, se pot face etrierii din oțel PC52.

Dacă la calculul armăturilor longitudinale se vor dimensiona secțiuni dublu armate (cu armături comprimate necesare din calcul) distanța maximă dintre etrieri nu va depăși $15d$, unde d este diametrul minim al barelor longitudinale.

În urma calculelor efectuate cu relațiile de mai sus se va obține astfel un diametru final și o distanță dintre etrieri. În cazurile curente etrierii se dispun la distanța a_e începând de la reazem pe un sfert din deschiderea de calcul ($l_0/4$). În zona centrală a grinzii etrierii se dispun la distanța maximă $a_e = 300$ mm.

5.2. Proiectarea grinzilor principale

Proiectarea grinzilor principale se face conform pașilor descriși în fig. 1.1.

5.2.1. Predimensionare

Predimensionarea înălțimii grinzilor principale se face cu relația:

$$h_{gp} = \frac{1}{10...12} L, \quad (5.50)$$

unde L este deschiderea de calcul a grinzii principale.

Dimensiunea lățimii secțiunii se evaluează cu relația:

$$b_{gp} = \frac{h_{gp}}{2...3} \geq 200 \text{ mm} \quad (5.51)$$

Dimensiunile secțiunilor de beton armat pentru grinzile principale se rotunjesc la multiplu de 50 mm dacă dimensiunea este mai mică de 800 mm și la multiplu de 100 mm dacă dimensiunea este mai mare de 800 mm.

5.2.2. Schema statică

Schema statică a grinzilor principale este cea de cadru. Legăturile dintre grinzile principale și stâlpi sunt sub formă de încastrare, legături articulate acceptându-se doar la cadrele parter sau la ultimul nivel al cadrelor etajate.

Schemele statice tip cadru pot avea o mare diversitate (fig. 5.15), cu regimuri de înălțime diferite, cu una sau mai multe deschideri, cu deschideri egale sau inegale etc.

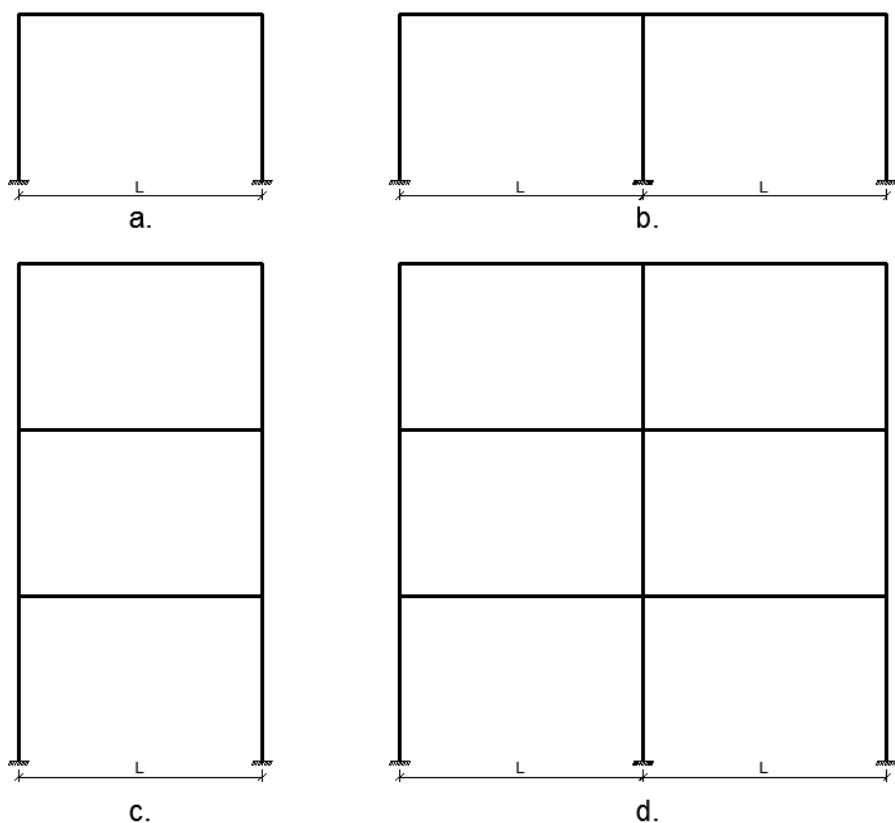


Fig. 5.15 – Diferite scheme statice pentru grinzile principale

În cadrul schemei statice se consideră drept deschideri distanțele interax dintre stâlpi.

5.2.3. Stabilirea încărcărilor

Încărcările se împart în două mari categorii: încărcări permanente și încărcări utile. Toate încărcările vor fi încărcări de calcul (cu coeficienți parțiali de siguranță) și se vor evalua conform informațiilor prezentate în cadrul capitolului 2.

Distribuția reală a încărcărilor către grinda principală este prezentată în fig. 5.16 și 5.17 funcție de tipul de planșeu.

Pentru un planșeu fără grinzi secundare, încărcarea de la placă se distribuie la grinzile aferente cu ajutorul metodei bisectoarei (fig. 5.16).

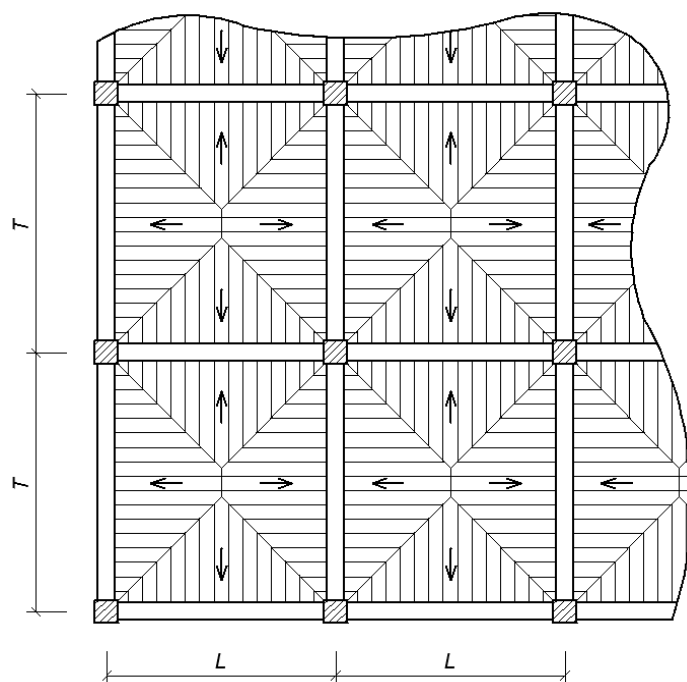


Fig. 5.16 – Distribuția încărcărilor pentru un planșeu fără grinzi secundare

Pentru un planșeu cu grinzi secundare, o mică parte din încărcarea de la placă se distribuie direct la grinzile principale iar marea majoritate a încărcărilor se distribuie de la placă la grinzile secundare iar apoi de la

grinzile secundare încărcarea se transmite concentrat pe grinzile principale (fig. 5.17.a).

În mod simplificat se poate accepta faptul că toată încărcarea se distribuie de la placă la grinzile secundare iar apoi de la grinzile secundare încărcarea se transmite concentrat pe grinzile principale (fig. 5.17.b).

În ambele situații, la încărcările provenite din planșee se adaugă încărcarea din greutatea proprie a grinzii principale care este uniform distribuită. În figura 5.18 este prezentat un exemplu de grindă principală ce preia încărcările de la un planșeu cu grinzi principale și secundare.

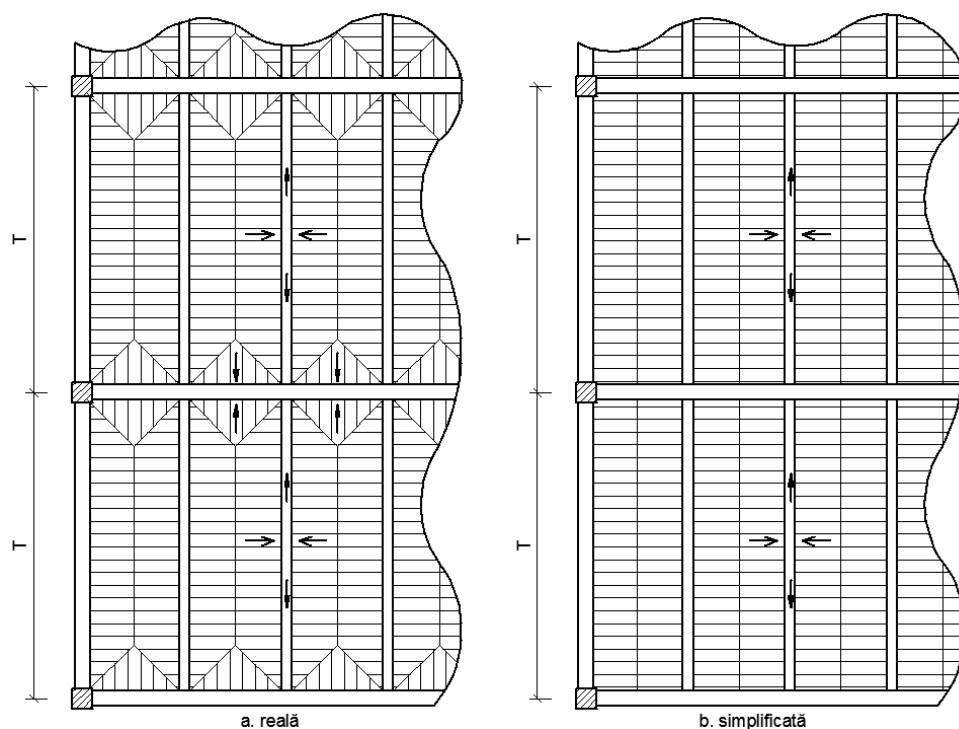


Fig. 5.17 – Distribuția încărcărilor pentru un planșeu cu grinzi secundare

Totodată, va trebui să se țină cont și de faptul că, grinzile principale preiau și solicitările provenite din seism, calculul acțiunii seismice fiind efectuat după Normativul P100-2006.

Solicitările exterioare utile pot apărea în exploatarea curentă în deschideri diverse, putându-se elabora mai multe scheme de încărcare.

Deoarece în procesul de proiectare trebuie considerate cele mai dezavantajoase situații de solicitare, pentru calculul eforturilor în diverse secțiuni vor trebui adoptate diferite scheme de încărcare.

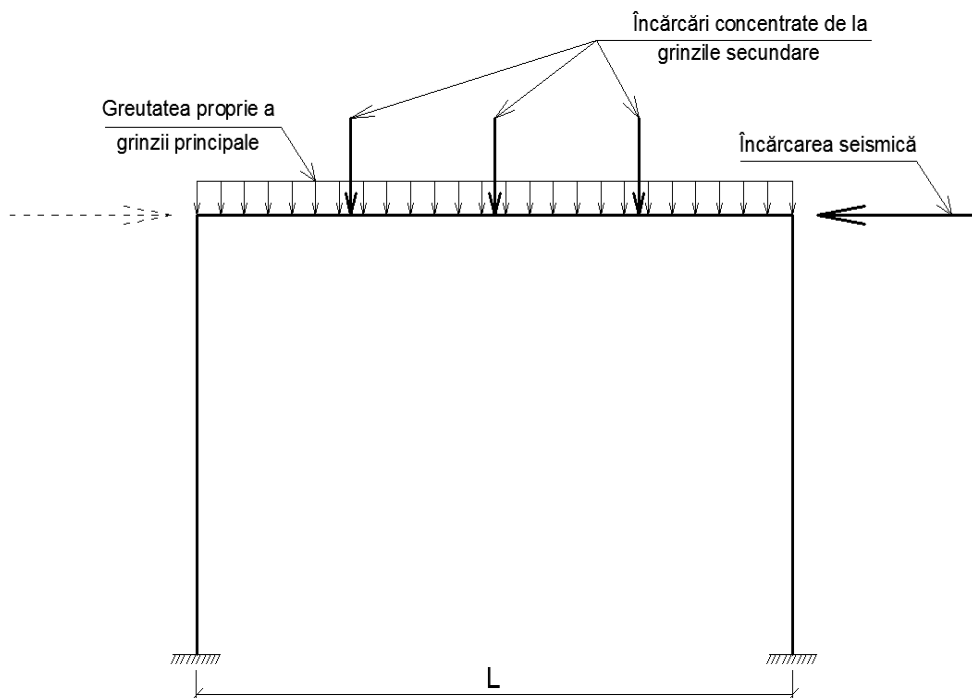


Fig. 5.18 – *Încărcări din planșee cu grinzi secundare*

În urma analizelor efectuate în decursul timpului s-au stabilit cele mai dezavantajoase situații de încărcare pentru obținerea unor eforturi maxime în câmp și în reazem.

Astfel, pentru obținerea momentelor maxime în câmp, încărcarea utilă va trebui distribuită alternant (în șah) iar pentru obținerea momentelor maxime în reazeme, încărcările utile se vor considera în toate deschiderile.

În cazul în care încărcările utile reprezintă mai puțin de 50% din încărcarea totală pe planșeu, se acceptă să se ia în considerare numai distribuția acestora pe toate deschiderile structurii.

Pentru construcțiile uzuale din beton armat încărcarea din vânt nu se ia în considerare deoarece greutatea proprie mare a structurii conduce la forțe orizontale din seism mult mai mari decât cele din vânt.

5.2.4. Calculul static

Calculul static al cadrelor se face cu ajutorul metodei elementului finit prin intermediul diverselor programe de calcul existente la ora actuală, calculul manual nemaifiind o opțiune viabilă.

Analiza statică și seismică poate fi efectuată în plan sau în spațiu. Ținându-se cont de ușurința cu care se pot modela structurile în programele de generație nouă, se recomandă ca, ori de câte ori este posibil, să se realizeze un calcul spațial.

În urma efectuării calculelor, se vor extrage din program pentru grinda principală analizată momentele maxime rezultate în câmp și în reazem, precum și forța tăietoare maximă. De asemenea, se va verifica dacă în grupările speciale nu apar eforturi de întindere în reazeme la partea inferioară.

În majoritatea situațiilor uzuale întâlnite în practică, momentul maxim în reazem rezultă din gruparea specială iar forța tăietoare maximă și momentul maxim în câmp rezultă din gruparea fundamentală. Aceasta nu este însă o regulă general valabilă, semnalându-se și abateri de la ea (funcție de conformarea geometrică, mărimea încărcărilor verticale, raportul dintre încărcările permanente și încărcările utile și mărimea încărcărilor seismice).

5.2.5. Verificarea secțiunii grinzii principale

Verificarea secțiunii se face comparând dimensiunile stabilite cu aproximație la punctul 5.1.1 (în faza de predimensionare), cu cele necesare pe baza solicitărilor calculate la pct. 5.1.4. În acest sens, se va impune un procent optim de armare:

$$p_{opt} = 1,0\% \quad (5.52)$$

Apoi, se vor calcula:

$$\xi_{opt} = \frac{p_{opt} \cdot R_a}{100 \cdot R_c} \quad (5.53)$$

$$r = \frac{1}{\sqrt{\xi \cdot (1 - 0,5 \cdot \xi)}} \quad (5.54)$$

unde:

- R_c – rezistența la compresiune a betonului;
- R_a – rezistența la întindere a armăturii (se vor accepta doar armături profilate pentru armarea longitudinală).

În final, impunând lățimea secțiunii determinată la punctul 5.2.1, se va calcula înălțimea secțiunii h_{gs}^{nec} cu relațiile:

$$h_0^{nec} = r \cdot \sqrt{\frac{M_{max}^R}{b_{gp} \cdot R_c}} \quad (5.55)$$

$$a = a_b + \frac{\phi}{2} \quad (5.56)$$

$$h_{gp}^{nec} = h_0^{nec} + a \quad (5.57)$$

unde:

- M_{max}^R – momentul maxim în reazem determinat la pct. 5.2.4;
- b_{gp} – lățimea secțiunii, determinată la punctul 5.2.1;
- a – distanța de la centrul de greutate a armăturii la fața superioară a betonului;
- a_b – acoperirea cu beton a armăturii conform pct. 1.5;
- ϕ - diametrul armăturii, pentru grinzile principale putându-se adopta valoarea $\phi = 20...25$ mm;
- h_{gp}^{nec} – înălțimea necesară a secțiunii grinzii principale pentru preluarea în bune condiții a solicitărilor exterioare.

Dacă între valoarea de la pct. 5.2.1 și cea determinată cu relația (5.57) nu există diferențe mai mari de 50 mm atunci se va păstra valoarea determinată la pct. 5.2.1. În cazul unor diferențe mai mari, se va adopta drept grosime a plăcii noua valoare determinată cu ecuația (5.57) iar calculele se vor relua de la pct. 5.2.3.

5.2.6. Stabilirea cantităților teoretice de armătură

Necesarul de armătură pentru secțiunile din câmp se determină punând condiția de echilibru între acțiunea exterioară și reacțiuni, conform figurii 5.7.

Deoarece placa se află la partea superioară a grinzii principale (în zona comprimată), secțiunea de calcul va fi o secțiune de tip T. În aceste condiții, lățimea grinzii la partea superioară va fi mai mare și se va calcula cu relația:

$$b_p = b_{gp} + 2 \cdot \Delta b \quad (5.58)$$

$$\Delta b = \frac{l_c}{6} \leq \Delta b_{\max} \quad (5.59)$$

unde l_c este distanța dintre două puncte consecutive de moment nul și are valorile:

- $l_c = L$, pentru grinzile simplu rezemate
- $l_c = 0,8 \cdot L$, pentru grinzile simplu rezemate la un capăt și încastrate la celălalt capăt
- $l_c = 0,5 \cdot L$, pentru grinzile dublu încastrate
- $l_c = 0,8 \cdot L$, în deschiderile marginale ale grinzilor continue
- $l_c = 0,6 \cdot L$, în deschiderile interioare ale grinzilor continue

În cazul planșeelor monolite cu grinzi secundare, valoarea maximă a lui Δb este dată de relația:

$$\Delta b \leq \frac{l_0}{2} \quad \text{și} \quad (5.60)$$

$$\Delta b \geq 6 \cdot h_p$$

În cazul planșeelor monolite fără grinzi secundare, valoarea maximă a lui Δb este dată de relația:

$$\Delta b_{\max} = \begin{cases} \frac{l_0}{2} , & \text{dacă } \frac{h_p}{h_{gp}} \geq 0,10 \\ 6 \cdot h_p , & \text{dacă } \frac{h_p}{h_{gp}} < 0,10 \end{cases} \quad (5.61)$$

În cazul grinzilor independente fără placă continuă între ele, la care talpa comprimată iese în consolă față de inimă, valoarea maximă a lui Δb este dată de relația:

$$\Delta b_{\max} = \begin{cases} 6 \cdot h_p, & \text{dacă } \frac{h_p}{h_{gp}} \geq 0,10 \\ 3 \cdot h_p, & \text{dacă } 0,05 \leq \frac{h_p}{h_{gp}} < 0,10 \\ 0, & \text{dacă } \frac{h_p}{h_{gp}} < 0,05 \end{cases} \quad (5.62)$$

În cazul secțiunilor **T**, trebuie stabilit dacă înălțimea zonei comprimate x depășește sau nu grosimea plăcii h_p . Pentru aceasta, se calculează momentul capabil al plăcii, cu relația:

$$M_{cap}^{pl} = b_p \cdot h_p \cdot R_c \cdot \left(h_0 - \frac{h_p}{2} \right) \quad (5.63)$$

unde h_0 se determină cu relația (5.65).

Dacă momentul capabil al plăcii este mai mare decât momentul exterior (cazul 1 din fig. 5.19) atunci înălțimea zonei comprimate nu depășește înălțimea plăcii.

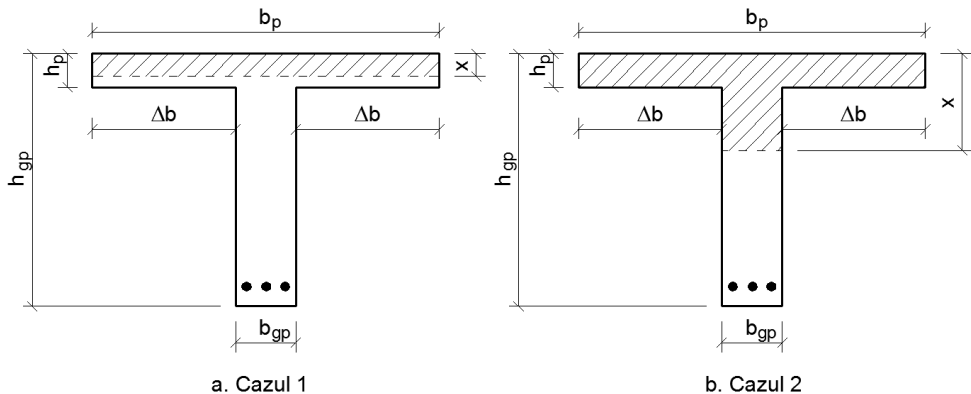


Fig. 5.19 – Cazuri de solicitare a secțiunii **T**

$$M_{cap}^{pl} \geq M_{max}^C \Rightarrow x \leq h_p \quad (5.64)$$

În acest caz, deoarece se presupune că zona întinsă de beton nu preia nici un fel de eforturi, secțiunea din câmp se calculează similar ca o secțiune dreptunghiulară cu dimensiunile b_p și h_{gp} (fig. 5.20).

Calculul armăturii necesare în câmp pentru secțiunile T aflate în cazul 1 ($x \leq h_p$) se face cu relațiile (5.65)....(5.68).

$$h_0 = h_{gp} - a \quad (5.65)$$

$$B = \frac{M_{max}^C}{b_p \cdot h_0^2 \cdot R_c} \quad (5.66)$$

$$\xi = 1 - \sqrt{1 - 2 \cdot B} \quad (5.67)$$

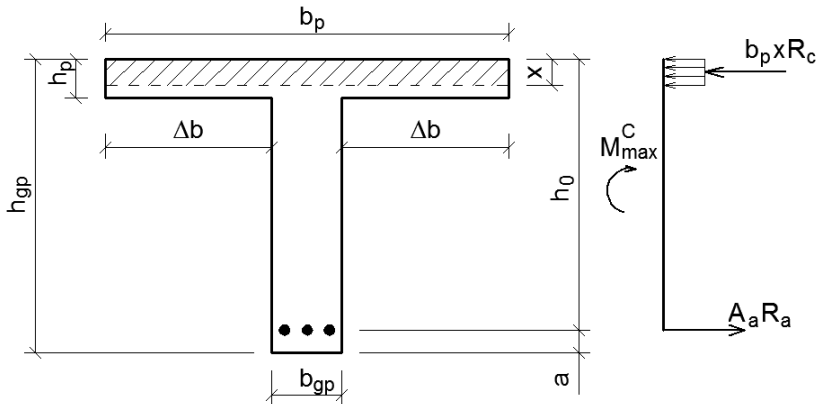


Fig. 5.20 – Calculul armăturilor în câmp – cazul 1

$$A_a^{nec} = \xi \cdot b_p \cdot h_0 \cdot \frac{R_c}{R_a} \quad (5.68)$$

unde:

- h_0 – distanța de la fața superioară a betonului la centrul de greutate al armăturii;
- b_p – lățimea activă a plăcii calculată cu relația (5.58);

- a – distanța de la centrul de greutate a armăturii la fața inferioară a betonului, determinată cu relația (5.56);
- ξ – înălțimea relativă a zonei comprimate, cu valoarea $\xi = x/h_0$;
- B – coeficient adimensional cu valoarea $B = \xi \cdot (1 - 0,5 \cdot \xi)$;
- A_a^{nec} – cantitatea necesară de armătură.

În cazul în care momentul capabil al plăcii este mai mic decât momentul exterior, înălțimea zonei comprimate x va depăși placa (cazul 2 din fig. 5.19).

$$M_{cap}^{pl} < M_{max}^C \Rightarrow x > h_p \quad (5.69)$$

În aceste condiții, problema se împarte în alte două sub-probleme ca în figura 5.21. Se calculează momentele exterioare aferente celor două sub-probleme:

$$M_1 = (b_p - b_{gp}) \cdot h_p \cdot R_c \cdot \left(h_0 - \frac{h_p}{2} \right) \quad (5.70)$$

$$M_2 = M_{max}^C - M_1 \quad (5.71)$$

Calculul armăturii pentru prima sub-problemă se face cu relația:

$$A_{a1} = \frac{M_1}{\left(h_0 - \frac{h_p}{2} \right) \cdot R_a} \quad (5.72)$$

Calculul armăturii pentru a doua sub-problemă se face cu relațiile:

$$B = \frac{M_2}{b_{gp} \cdot h_0^2 \cdot R_c} \quad (5.73)$$

$$\xi = 1 - \sqrt{1 - 2 \cdot B} \quad (5.74)$$

$$A_{a2} = \xi \cdot b_{gp} \cdot h_0 \cdot \frac{R_c}{R_a} \quad (5.75)$$

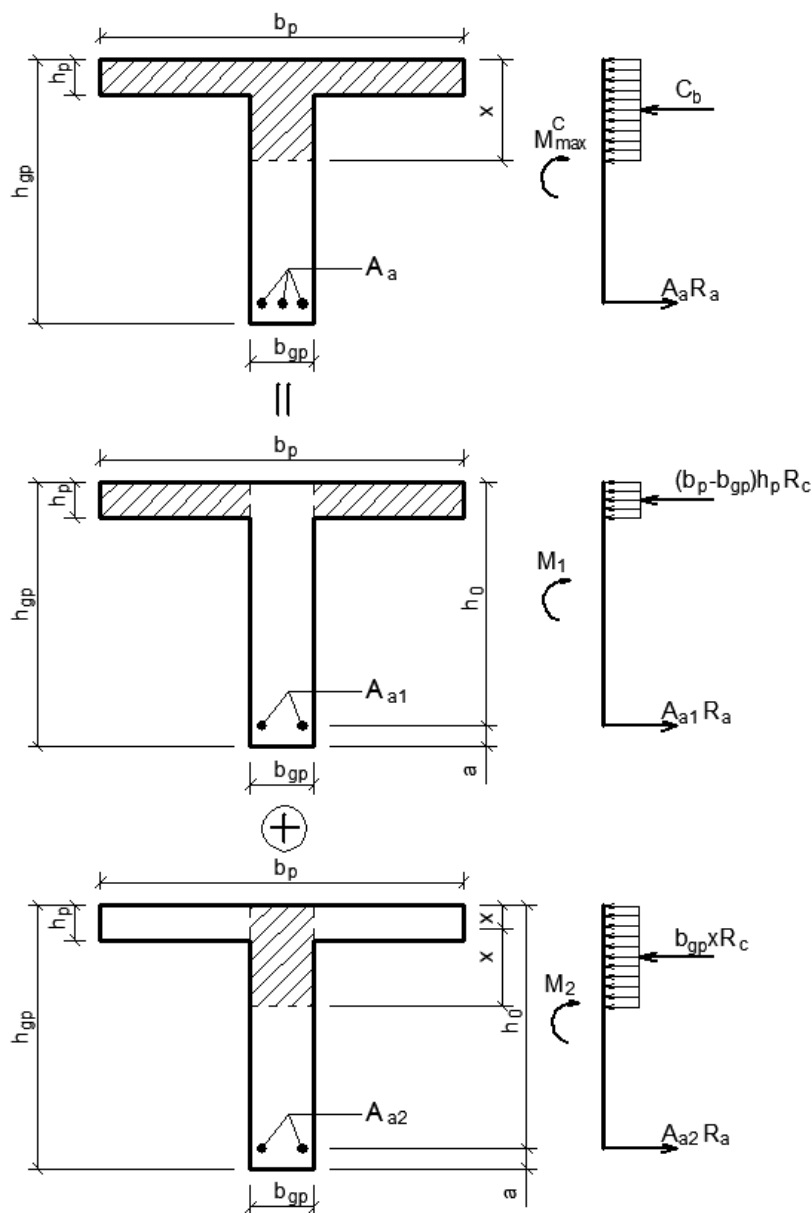


Fig. 5.21 – Calculul armăturilor în câmp – cazul 2

În final se găsește cantitatea necesară de armătură în câmp pentru secțiunile T aflate în cazul 2 ($x > h_p$) cu relația:

$$A_a^{nec} = A_{a1} + A_{a2} \quad (5.76)$$

Calculul armăturilor în secțiunile de reazem diferă de cel efectuat în secțiunile de câmp deoarece placa este în zona întinsă și nu se mai poate conta pe aportul acesteia (fig. 5.22).

În acest caz, secțiunile de reazem se calculează ca secțiuni dreptunghiulare, cu dimensiunile b_{gp} și h_{gp} .

Și în acest caz necesarul de armătură se determină punând condiția de echilibru între acțiunea exterioară și reacțiuni, conform figurii 5.22.

Calculul armăturii necesare în reazem se face cu relațiile (5.77)....(5.79).

$$B = \frac{M_{\max}^R}{b_{gp} \cdot h_0^2 \cdot R_c} \quad (5.77)$$

$$\xi = 1 - \sqrt{1 - 2 \cdot B} \leq 0,25 \quad (5.78)$$

În cazul în care valoare lui ξ calculată cu ecuația (5.78) nu este mai mare decât 0,25 cantitatea de armătură se calculează cu relația:

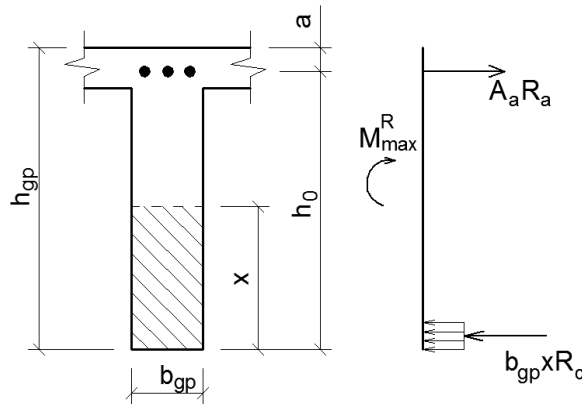


Fig. 5.22 – Calculul armăturilor în reazem

$$A_a = \xi \cdot b_{gp} \cdot h_0 \cdot \frac{R_c}{R_a} \quad (5.79)$$

În cazul în care valoare lui ξ calculată cu ecuația (5.78) este mai mare decât 0,25 este necesară armarea dublă a secțiunii.

Pentru aceasta se calculează armătura necesară în zona comprimată cu relația:

$$A'_a = \frac{M_{\max}^R - 0,21875 \cdot b_{gp} \cdot h_0^2 \cdot R_c}{(h_0 - a') \cdot R_a} \quad (5.80)$$

unde:

- a' – distanța de la fața inferioară a betonului la centrul de greutate al armăturii; se poate considera $a' = a$.

Cantitatea de armătură din zona întinsă se calculează cu relația:

$$A_a = 0,25 \cdot b_{gp} \cdot h_0 \cdot \frac{R_c}{R_a} + A'_a \quad (5.81)$$

Pentru calculul armăturii din zona întinsă a reazemului se va folosi cantitatea de armătură A'_a teoretică, determinată cu relația (5.80). Cantitatea efectivă de armătură din zona comprimată nu va fi mai mică decât jumătate din armătura dispusă în zona întinsă.

În cazul în care din gruparea specială rezultă zone întinse la partea inferioară în reazem, calculul armăturilor în reazem la partea inferioară se va face similar cu dimensionarea armăturilor din câmp dar lățimea activă b_p în acest caz va fi:

- egală cu lățimea stâlpului aferent ($b_p = b_{st}$) pentru grinzi principale marginale și planșee fără grinzi secundare;
- egală cu lățimea stâlpului aferent plus patru grosimi de placă ($b_p = b_{st} + 4 \cdot h_p$) pentru grinzi principale marginale și planșee cu grinzi secundare;
- egală cu lățimea stâlpului aferent plus patru lățimi de placă ($b_p = b_{st} + 4 \cdot h_p$) pentru grinzi principale centrale și planșee fără grinzi secundare;
- egală cu lățimea stâlpului aferent plus opt grosimi de placă ($b_p = b_{st} + 8 \cdot h_p$) pentru grinzi principale centrale și planșee cu grinzi secundare.

Cantitățile necesare de armătură vor sta la baza determinării diametrului și a numărului efectiv de bare.

5.2.7. Elaborarea schiței de armare

Schița de armare presupune stabilirea diametrelor și a numărului de bare, precum și precizarea modului de dispunere a acestora pe secțiune.

Pentru stabilirea efectivelor de armătură vor trebui respectate următoarele reguli de armare:

- numărul minim de bare: 2 ;
- diametrul minim al barelor: 14 mm;
- la partea superioară și inferioară se prevăd pe toată deschiderea cel puțin două bare profilate cu diametrul minim $\phi 14$;
- cel puțin un sfert din armătura maximă de la partea superioară a grinzilor se prevede continuă pe toată lungimea grinzii;
- distanța liberă minimă între bare la partea inferioară trebuie să fie egală cu diametrul barelor dar nu mai puțin de 25 mm;
- distanța liberă minimă între bare la partea superioară trebuie să fie egală cu diametrul barelor dar nu mai puțin de 30 mm; unul din spațiile de la partea superioară (de preferință în axul grinzii) se va majora la cel puțin 50 mm pentru a permite introducerea pervibratorului;
- distanța maximă între axele barelor: 200 mm;
- se recomandă ca barele să fie dispuse pe maxim două rânduri; în cazurile speciale când sunt necesare și armături pe al treilea rând, aceste ase dispun la distanțe duble față de cele admise pentru primele două rânduri;
- se recomandă ca diferențele între diametrul maxim și cel minim utilizate în aceeași secțiune să nu depășească 5 mm;
- în zonele plastice potențiale de la capetele grinzilor, cel puțin jumătate din secțiunea de armătură întinsă se prevede și în zona comprimată;
- procentul de armare longitudinală a armăturii din zona întinsă va satisface relația:

$$p_{ef}^R \geq 0,50 \cdot \frac{R_{tm}}{R_{ak}} \cdot 100 \quad (5.82)$$

unde R_{tm} reprezintă rezistența medie la întindere a betonului iar R_{ak} reprezintă rezistența caracteristică la întindere a armăturii;

- în cazul în care se folosesc bare înclinate, acestea se vor dispune sub un unghi de 45^0 și vor trebui să aibă la extremitate o porțiune dreaptă de lungime egală cu cel puțin $10d$ în zonele comprimate și cel puțin $20d$ în zonele în care pot apărea și eforturi de întindere; nu se admite folosirea de armături înclinate sub formă de bare flotante, ca în fig. 5.23;
- la toate categoriile de grinzi la care se prevăd și bare înclinate, cel puțin o treime din armăturile din câmp se mențin drepte până la reazeme și se ancorează dincolo de reazeme, ca bare solicitate la întindere, dacă nu intervin alte condiții care să dicteze necesitatea menținerii unui număr mai mare de bare drepte până la reazem;
- pentru stabilirea secțiunilor de la care armăturile longitudinale pot fi întrerupte sau înclinate, se stabilește într-o primă fază secțiunea în care bara de armătură este integral necesară sin dimensionarea la moment încovoietor (secțiunea de moment maxim din înfășurătoare); această secțiune se prelungește cu distanța $h/2$ pentru a asigura și preluarea momentelor încovoietoare în secțiunile înclinate (secțiunea I-I din fig. 5.24.a); se va defini câte o secțiune I-I pentru fiecare secțiune din câmp și din reazem calculată (secțiunile de moment maxim);
 - o bară longitudinală ce trebuie să preia solicitări rezultate din acțiunea momentului încovoietor poate fi întreruptă dincolo de secțiunea I-I la o distanță minimă l ce trebuie să respecte condițiile:



Fig. 5.23 – Bară flotantă

$$l \geq l_a \quad (5.83)$$

unde l_a este lungimea de ancorare a barei conform pct. 1.4;

$$l \geq l_{I...II} \quad (5.84)$$

unde $l_{I...II}$ este lungimea barei dintre secțiunea de solicitare maximă I-I și secțiunea la care bara nu mai este necesară din calcul II-II;

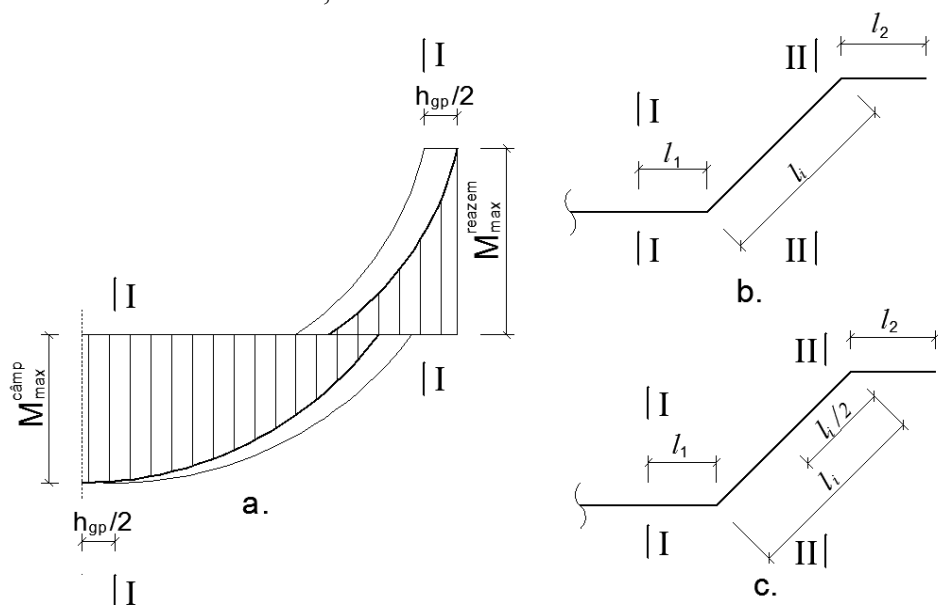


Fig. 5.24 – Întreruperea barelor longitudinale

- pentru o bară înclinată ce trebuie să preia solicitări rezultate din acțiunea momentului încovoietor, înclinarea poate să înceapă din secțiunea I-I dar efortul se consideră că descrește până la zero pe lungimea înclinată l_i a părții înclinate; în aceste condiții, extremitatea barei înclinate trebuie să treacă dincolo de secțiunea II-II (fig. 5.24.b); în plus, se pune condiția ca lungimea barei măsurată de la secțiunea I-I până la capătul liber să fie mai mare decât lungimea de ancorare l_a ;

$$\begin{aligned} l_1 &\geq 0 \\ l_1 + l_i &\geq l_{I...II} \\ l = l_1 + l_i + l_2 &\geq l_a \end{aligned} \quad (5.85)$$

- pentru o bară înclinată ce trebuie să preia solicitări rezultate atât din acțiunea momentului încovoietor, cât și din acțiunea forței tăietoare, se vor respecta toate condițiile punctului anterior și, în plus, se va respecta condiția:

$$\frac{l_i}{2} + l_2 \geq l_a \quad (5.86)$$

- la grinzile la care barele înclinate se dispun în principal pentru preluarea forței tăietoare, prima secțiune de înclinare începând de la reazem trebuie dispusă la cel mult 50 mm distanță de la marginea reazemului; distanțele până la următoarele secțiuni de înclinare se stabilesc pe baza verificării la forță tăietoare, respectând condiția ca orice fisură înclinată să intersecteze armăturile transversale necesare pentru preluarea forței tăietoare în secțiunea respectivă; se recomandă ca distanța între prima și a doua secțiune de înclinare, începând de la reazem, să nu fie mai mare decât înălțimea grinzii;
- în porțiunile la care grinzile nu necesită armături de rezistență la partea superioară, se prevăd armături de montaj, câte o bară la fiecare colț de etrier;
- la grinzile cu înălțimea mai mare de 700 mm, pe fețele laterale ale acestora se prevăd armături de montaj intermediare, la distanțe de cel mult 400 mm pe înălțimea grinzii, legate între ele prin agrafe transversale, dispuse din doi în doi etrieri; diametrele minime admise pentru barele longitudinale de montaj sunt precizate în tabelul 5.2. cu precizarea că acestea nu vor fi mai mici decât diametrul etrierilor sau al barelor transversale în cazul carcaselor sudate;
- se vor respecta procentele minime de armare prevăzute la pct. 1.3.

Se face precizarea că schița de armare poate fi realizată cu bare înclinate (ca în fig. 5.25) sau fără bare înclinate (ca în fig. 5.26).

În cazul utilizării barelor înclinate pentru preluarea forței tăietoare (fig. 5.25), primele bare ce se coboară de pe reazem nu pot prelua momente încovoietoare deoarece nu respectă a doua ecuație (5.85).

Tabelul 5.2 – Diametrele minime ale armăturilor de montaj

Poziția armăturilor	Carcase legate executate din oțel tip		Carcase sudate
	PC52, PC60	OB37	
	Diametre minime ale armăturilor longitudinale de montaj [mm]		
La partea superioară	8	10 (8)	6 (5)
Pe fetele laterale	6	8	5

Notă: valorile din paranteze sunt date pentru grinzile prefabricate.

Astfel, marca 2 nu poate prelua momentul negativ ce apare pe reazemul B-stânga deoarece coboară prea repede iar secțiunea II-II (în care bara nu mai este necesară) este mai depărtată decât capătul inferior al părții înclinate. În aceste condiții, în reazemul B-stânga poate prelua moment marca 3 plus mărcile 4 și 7.

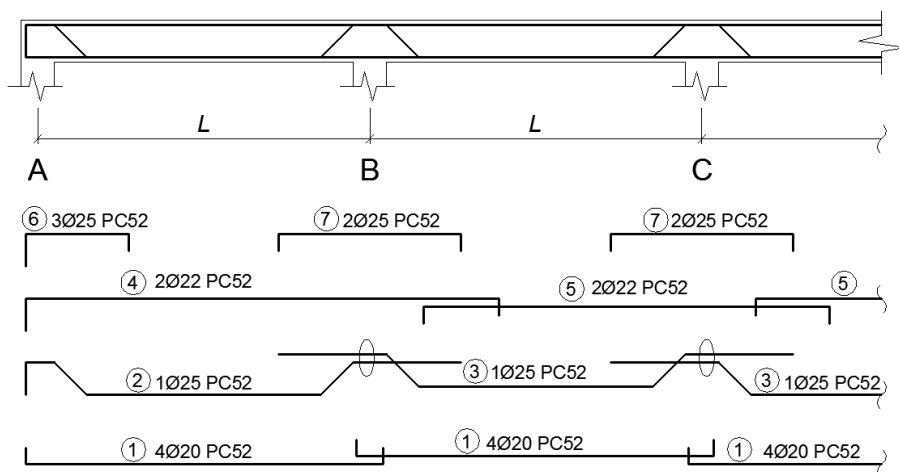


Fig. 5.25 – Schița de armare cu bare înclinate

În mod similar, în reazemul B-dreapta, marca 3 nu poate prelua momentele de pe reazem, barele care pot prelua moment fiind mărcile 2, 4 și 7. Se poate observa faptul că mărcile 2 și 3 lucrează practic ca o singură bară (una preluând momentele în partea dreaptă a reazemului iar cealaltă în partea stângă). Dacă barele au diametru diferit, se va considera o bară

echivalentă avânt cel mai mic diametru dintre cele două diametre ale barelor.

O discuție similară poate fi prezentată în reazemul C unde cele două bare marca 3 lucrează practic ca o singură bară $\phi 25$.

În aceste condiții, deoarece barele înclinate contribuie la preluare efectivă a momentelor din reazeme, va putea fi redusă cantitatea de armătură a mărcii 7.

Comparativ cu grinzile secundare, numărul efectiv de bare înclinate este mai redus la grinzile principale deoarece jumătate din armătura din reazem de la partea superioară trebuie prevăzută și la partea inferioară.

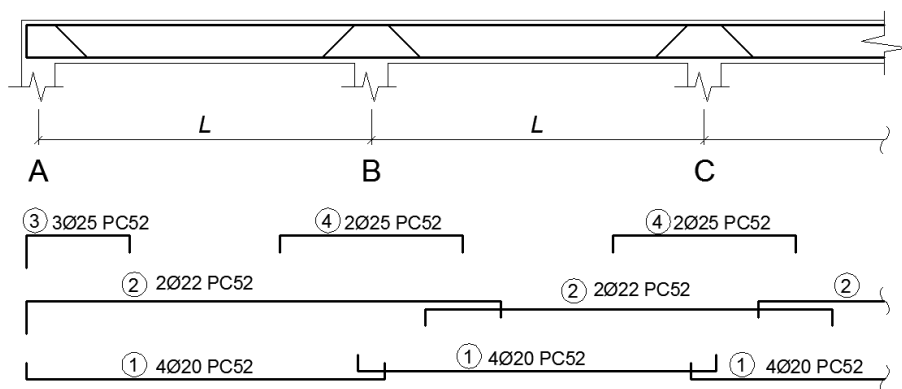


Fig. 5.26 – Schița de armare fără bare înclinate

Datorită acestei prevederi, la o bună parte din grinzile principale nu pot fi prevăzute bare înclinate deoarece momentele din reazem sunt aproximativ de două ori mai mare decât cele din câmp.

5.2.8. Calculul armăturilor transversale

Armăturile transversale (etrierii) sunt prevăzuți alături de barele înclinate pentru preluarea forței tăietoare.

În cazul în care se utilizează bare înclinate, se vor stabili mai multe secțiuni de calcul astfel ca fisura apărută în fiecare secțiune să cuprindă toate variantele de intersectare a barelor înclinate (fig. 5.27).

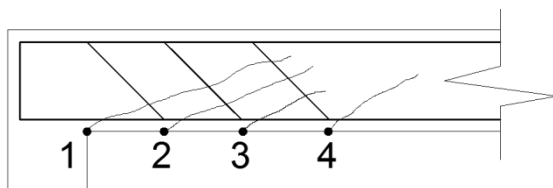


Fig. 5.27 – Secțiuni de calcul la forță tăietoare

Astfel, o primă fisură apărută în secțiunea 1 va intersecta toate barele înclinate. O a doua fisură posibilă care pleacă din secțiunea 2 nu va intersecta prima bară. Se va continua generarea secțiunilor până când se va ajunge la o secțiune care nu va mai intersecta nici o bară înclinată.

Practic, numărul necesar de secțiuni pentru calculul la forță tăietoare într-un reazem este mai mare cu unu față de numărul de bare înclinate.

Distanțele dintre secțiunile 1-2 și 2-3 pot fi considerate în mod uzual egale cu înălțimea grinzii h_{gp} iar distanța între secțiunile 3-4 poate fi considerată $1,5 \cdot h_{gp}$.

Calculul etrierilor se va efectua succesiv în toate secțiunile considerate, urmând a se adopta cea mai mare valoare dintre toate cele rezultate.

Forța tăietoare de proiectare pentru grinzile principale în gruparea specială se determină din echilibrul fiecărei deschideri sub încărcările verticale corespunzătoare grupării speciale și a momentelor de acțiune la capetele grinzii corespunzătoare fiecărui sens de acțiune a sarcinii seismice ce conduce la formarea articulațiilor plastice în nod. Relația de calcul a forței tăietoare este:

$$T_{\max} = \frac{M_{db,1} + M_{db,2}}{L} + \frac{(g + 0,4 \cdot p) \cdot L}{2} \quad (5.87)$$

unde:

- T_{\max} – valoarea forței tăietoare asociată mecanismului de plastifiere;
- $M_{db,i}$ – momentul maxim ce se dezvoltă la cele două extremități, calculat cu relația (5.88);
- g – suma tuturor încărcărilor permanente – valori normate;
- p – încărcarea utilă – valoare normalată;

- L – deschiderea de calcul.

Momentele maxime de la extremitățile grinzii se calculează cu relația:

$$M_{db,i} = \gamma_{Rd} \cdot M_{Rb,i} \cdot \min\left(1, \frac{\Sigma M_{Rc}}{\Sigma M_{Rb}}\right) \quad (5.88)$$

unde:

- γ_{Rd} – factor de suprarezistență datorat efectului de consolidare al oțelului cu valoarea de 1,2;
- $M_{Rb,i}$ – momentul capabil de la extremitatea i a grinzii;
- ΣM_{Rc} – suma momentelor capabile a stâlpilor care intră în nod;
- ΣM_{Rb} – suma momentelor capabile a grinzilor care intră în nod.

Determinarea momentelor capabile pentru elementele ce intersectează nodul se va face conform prevederilor din capitolul 7.

Dacă forța tăietoare din gruparea fundamentală este mai mare decât forța tăietoare din gruparea specială calculată cu relația (5.87) atunci se va considera drept forță tăietoare finală de calcul T_{max} forța tăietoare maximă obținută în gruparea fundamentală. În caz contrar, se va păstra valoarea calculată cu ecuația (5.87).

Cunoscând forța tăietoare finală în reazem T_{max} se pot determina cu ușurință valorile forțelor tăietoare în secțiunile de calcul considerate în figura 5.27.

Pentru a verifica dacă secțiunea de beton adoptată este capabilă să preia forța tăietoare maximă, se calculează nivelul de solicitare la forță tăietoare cu relația:

$$\bar{Q} = \frac{T_{max}}{b_{gp} \cdot h_0 \cdot R_t} \quad (5.89)$$

unde:

- \bar{Q} – nivelul de solicitare al secțiunii la forță tăietoare;
- T_{max} – forța tăietoare exterioară maximă;
- R_t – rezistența de calcul la întindere a betonului.

Funcție de mărimea nivelului de solicitare se vor lua următoarele decizii:

- a) dacă $\bar{Q} \leq 0,5$, calculul la forță tăietoare nu este necesar, etrierii dispunându-se pe criterii constructive;

- b) dacă $0,5 < \bar{Q} \leq 2$, calculul la forță tăietoare este necesar, etrierii fiind dimensionați pe baza relațiilor prezentate în continuare;
- c) dacă $\bar{Q} > 2$, secțiunea de beton este incapabilă să preia solicitările din forță tăietoare fiind necesară o mărire a acestora și refacerea calculelor.

Rezistența de calcul la întindere a betonului se afectează cu un coeficient al condițiilor de lucru m_t cu valoarea:

- $m_t = 1$, dacă $\bar{Q} < 1,0$;
- $m_t = \frac{3-\bar{Q}}{2} \leq 1$, dacă $1,0 \leq \bar{Q} \leq 2$.

Rezistența finală de calcul la întindere a betonului se calculează cu relația:

$$R_{t,red} = m_t \cdot R_t \quad (5.90)$$

În cazul b) pentru calculul etrierilor se va evalua într-o primă fază forța tăietoare ce trebuie preluată de etrieri și beton în secțiunea i cu relația:

$$Q_{eb}^{nec} = T_i - \sum A_{ai} \cdot R_a \cdot \sin \alpha \quad (5.91)$$

unde:

- Q_{eb}^{nec} – forța tăietoare ce trebuie preluată de etrieri și beton;
- T_i – forța tăietoare exterioară, în secțiunea i ;
- $\sum A_{ai}$ – suma tuturor barelor înclinate intersectate de fisura ce pleacă din secțiunea i ;
- R_a – rezistența de calcul a armăturilor longitudinale;
- α – unghiul armăturii înclinate cu orizontala (uzual 45°).

Dacă nu se folosesc bare înclinate, forța tăietoare ce trebuie preluată de etrieri și beton Q_{eb}^{nec} va fi practic egală cu forța tăietoare maximă T_{max} .

Se determină procentul de armare din zona întinsă în dreptul fisurii înclinate cu relația:

$$p = \frac{A_{ai}}{b_{gp} \cdot h_0} \cdot 100 \quad (5.92)$$

unde:

- A_{ai} – suma tuturor barelor de armătură longitudinale (exclusiv barele înclinate) din zona întinsă ce intersectează fisura.

Deoarece ultimul etrier intersectat de fisură poate să nu preia în bune condiții forța tăietoare, aportul acestuia la capacitatea portantă a elementului se ignoră. Practic, reducerea capacității portante cu ceea ce poate prelua ultimul etrier este echivalentă cu mărirea forței tăietoare necesare cu exact aceeași valoare.

Pentru continuarea calculelor este necesar să se impună un diametru pentru etrieri. Uzual se stabilește într-o primă fază cel mai mic diametru acceptat pentru etrieri. Diametrul minim pentru etrieri este cea mai mare din valorile:

- $\frac{1}{4}$ din diametrul maxim al armăturilor longitudinale dar nu mai puțin de 6 mm;
- 6 mm pentru grinzile cu $h \leq 800$ mm;
- 8 mm pentru grinzile cu $h > 800$ mm.

De asemenea se vor impune pentru început etrieri simpli cu două ramuri ($n_e = 2$) dacă lățimea grinzii nu depășește 400 mm. La grinzi cu lățimea peste 400 mm se prevăd obligatoriu etrieri cu minim patru ramuri.

În continuare se va determina forța tăietoare preluată de etrieri pe unitatea de lungime, cu relația:

$$q_e = \frac{(Q_{eb}^{nec} + A_{et} \cdot m_{at} \cdot R_{at})}{4 \cdot b_{gp} \cdot h_0^2 \cdot R_{t,red} \cdot \sqrt{p}} \quad (5.93)$$

unde:

- A_{et} – suma ariilor tuturor ramurilor de etrier intersectate de fisură:

$$A_{et} = n_e \cdot A_e \quad (5.94)$$

unde:

- n_e – numărul de ramuri ce intersectează fisura;
- A_e – aria unei ramuri (bare) de etrier;
- m_{at} – coeficient al condițiilor de lucru pentru oțel cu valoarea:
 - 0,8 pentru armături din oțel laminat (OB37, PC52, PC60);

➤ 0,7 pentru armături din sârme trase (STNB, STPB);

- R_{at} – rezistența de calcul la întindere a armăturii transversale;
- $R_{t,red}$ – rezistența de calcul la întindere a betonului, conform relației (5.90);
- p - procentul de armare din zona întinsă în dreptul fisurii înclinate, conform relației (5.92).

Pentru verificarea valorii q_e determinată cu relația (5.93) se va calcula raportul:

$$\frac{s_i}{h_0} = \sqrt{\frac{b_{gp} \cdot R_{t,red} \cdot \sqrt{p}}{q_e}} \quad (5.95)$$

Dacă raportul $s_i / h_0 \leq 2,5$ valoarea lui q_e determinată cu ecuația (5.93) este corectă și se poate trece la pasul următor.

Dacă raportul $s_i / h_0 > 2,5$ se va recalcula valoarea lui q_e cu relația:

$$q_e = \frac{Q_{eb}^{nec} + A_{et} \cdot m_{at} \cdot R_{at} - \frac{b_{gp} \cdot h_0 \cdot R_{t,red} \cdot \sqrt{p}}{2,5}}{2,5 \cdot h_0} \quad (5.96)$$

În final se va calcula distanța dintre etrieri cu relația:

$$a_e = \frac{A_{et} \cdot m_{at} \cdot R_{at}}{q_e} \quad (5.97)$$

unde:

- a_e – distanța dintre doi etrieri consecutivi.

Funcție de valoarea distanței dintre etrieri rezultată, pot exista trei situații distincte:

- a) dacă distanța dintre etrieri $a_e \geq a_{e,max}$ se va păstra diametrul de etrier ales și se va impune $a_e = a_{e,max}$; $a_{e,max}$ se va determina cu relația:

$$a_{e,max} = \min \left(\frac{h_{gp}}{4}, 150mm, 7 \cdot \phi_{long.}^{min} \right) \quad (5.98)$$

unde $\phi_{long.}^{min}$ este diametrul minim al armăturilor longitudinale;

- b) dacă $100 \text{ mm} \leq a_e \leq a_{e,max}$ se va păstra diametrul de etrier ales și se va impune o valoare a_e multiplu de 50 mm imediat inferioară celei rezultate cu ecuația (5.97); de ex. dacă s-a obținut valoarea $a_e = 127 \text{ mm}$ cu ecuația (5.97), se va impune în final $a_e = 100 \text{ mm}$;
- c) dacă $a_e < 100 \text{ mm}$ diametrul ales pentru etrieri este prea mic; în aceste condiții se va mări diametrul etrierilor și se vor relua calculele de la ecuația (5.93); dacă se ajunge la un diametru $\phi 12$ iar $a_e < 100 \text{ mm}$ se pot adopta etrieri dubli cu patru ramuri ($n_e = 4$) sau, în cazul în care inițial s-a utilizat pentru etrieri un oțel de tip OB37, se pot face etrierii din oțel PC52.

După finalizarea calculului și obținerea rezultatelor finale, se va calcula procentul de armare transversală cu relația:

$$p_e = \frac{A_{et}}{a_e \cdot b_{gp}} \cdot 100 \quad (5.99)$$

Dacă procentul de armare transversală $p_e < 0,2\%$, se va mări distanța dintre etrieri sau se va mări diametrul etrierilor astfel ca procentul de armare transversală să fie mai mare de $0,2\%$.

În cazul unor încărcări concentrate provenite de la grinzile secundare vor fi prevăzute bare înclinate suplimentare sub fiecare grindă secundară, pentru preluarea în bune condiții a forțelor tăietoare.

Dispunerea etrierilor se va face în funcție de diagrama de forță tăietoare dar în mod obligatoriu se vor prevedea etrieri îndesiți pe zonele critice (disipative) ale grinzii principale.

Zonele critice cu rol de disipare a energiei seismice sunt:

- zonele de la extremitățile stâlpilor cu lungimea $l_{cr} = 1,5 \cdot h_{gp}$;

- zonele cu lungimea $l_{cr} = 1,5 \cdot h_{gp}$ situate de o parte și de alta a secțiunii din câmp unde poate interveni curgerea armăturii în cazul grupării speciale de încărcare.

Distanța maximă între etrieri în afara zonelor critice la grinzile principale se va limita la 200 mm.

5.3. Proiectarea grinzilor de rigidizare

Proiectarea grinzilor de rigidizare este similară cu cea a grinzilor principale (prezentată la pct. 5.2) cu mențiunea că încărcările verticale sunt foarte reduse în cazul grinzilor de rigidizare. În aceste condiții, momentul în câmp este foarte mic iar armarea în câmp va fi în mod uzual prevăzută din considerente constructive.

De asemenea, în cazul grinzilor de rigidizare vor exista momente pozitive pe reazeme (zona întinsă fiind la partea inferioară) fiind necesar un calcul al armăturilor întinse de la partea inferioară în reazem.

Deoarece forțele tăietoare sunt mici, nu se prevăd bare înclinate la grinzile de rigidizare.

6. PROIECTAREA STÂLPILOR DIN BETON ARMAT

Stâlpii din beton armat sunt elemente liniare, plasate în poziție verticală care preiau încărcările de la elementele structurale orizontale și le transmit mai departe fundațiilor.

Secțiunea stâlpilor poate avea diverse forme, cele mai uzuale fiind cele dreptunghiulare, circulare, inelare și secțiuni în forma de **L**, **T**, și **+** pentru stâlpii lamelari.

6.1. Proiectarea stâlpilor rectangulari

6.1.1. Predimensionare

Stâlpii sunt solicitați la compresiune excentrică (forță axială și moment încovoietor) dar, în faza de predimensionare nu sunt cunoscute valorile momentelor încovoietoare. Mai mult, stâlpii nu prezintă noțiunea de deschidere similar grinzilor, momentul încovoietor provenind din efectul de cadru, astfel că nu se poate face o predimensionare corectă doar pe baza unor caracteristici geometrice.

Din aceste considerente, predimensionarea stâlpilor se face funcție de forța axială care acționează asupra acestora. Acest lucru presupune și o evaluare a încărcărilor în această fază, dar acest lucru este necesar pentru o bună evaluare a dimensiunilor secționale ale stâlpilor.

Aria secțiunii stâlpilor poate fi determinată cu relația:

$$A_{st} = \frac{N}{n_s \cdot R_c}, \quad (6.1)$$

unde N reprezintă forța axială ce acționează asupra secțiunii evaluate, R_c este rezistența la compresiune a betonului iar n_s este un coeficient subunitar care ține cont de faptul că stâlpii sunt solicitați și la moment încovoietor și care are valoarea cuprinsă între 0,20...0,50.

Valorile lui n_s sunt mai reduse la etajele superioare, comparative cu etajele inferioare, și de asemenea, sunt mai reduse la stâlpii marginali, comparativ cu cele de la stâlpii centrali. Pentru structuri curente, n_s poate avea următoarele valori:

- $n_s = 0,5$ pentru stâlpii centrali ai etajelor superioare;
- $n_s = 0,3$ pentru stâlpii marginali ai etajelor superioare și pentru stâlpii centrali ai etajelor inferioare;
- $n_s = 0,2$ pentru stâlpii marginali ai etajelor inferioare.

Odată cunoscută aria secțiunii de beton, se pot stabili dimensiunile laturilor pentru stâlpii rectangulari. Pentru aceasta se impune una din laturi și se calculează cealaltă latură cunoscându-se aria.

La stabilirea dimensiunilor laturilor stâlpilor rectangulari trebuie să se țină cont de distribuția momentelor încovoietoare pe cele două direcții ortogonale ale structurii, respectându-se relația:

$$\frac{h_{st}}{b_{st}} \leq 2,5 \quad (6.2)$$

unde b_{st} și h_{st} sunt lățimea și, respectiv, înălțimea secțiunii stâlpului. În situațiile uzuale raportul laturilor stâlpilor se recomandă să nu depășească valoarea de 1,5.

Se face observația că dimensiunea minimă a secțiunii stâlpilor din beton armat este de 300 mm și că dimensiunile determinate în faza de predimensionare vor fi rotunjite la un multiplu de 50 mm dacă ele sunt mai mici de 800 mm și la multiplu de 100 mm dacă dimensiunile secțiunii sunt mai mari de 800 mm.

6.1.2. Schema statică

Schema statică pentru calculul stâlpilor este cea de cadru. Legăturile dintre grinzile principale și stâlpi se vor considera a fi încastrate, legături articulate acceptându-se doar la cadrele parter sau la ultimul nivel al cadrelor etajate.

Schemele statice tip cadru pot avea o mare diversitate (fig. 6.1), cu regimuri de înălțime diferite, cu una sau mai multe deschideri, cu deschideri egale sau inegale etc.

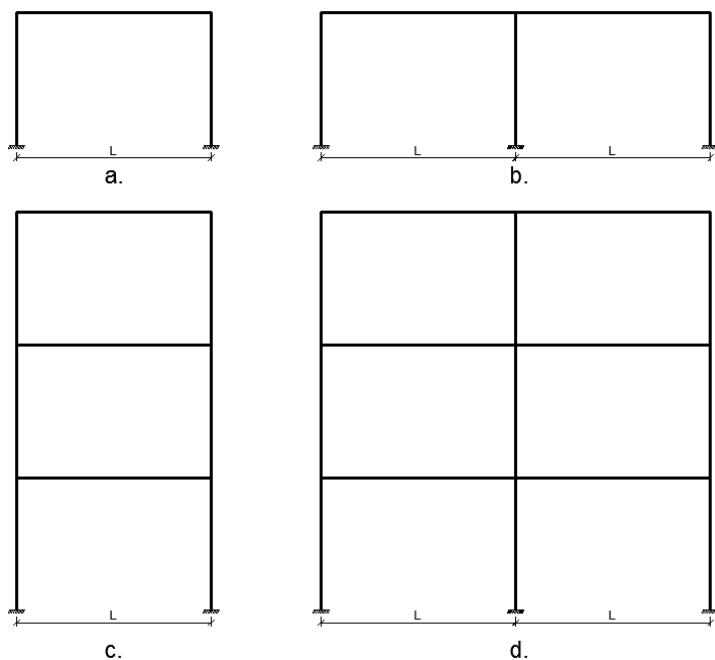


Fig. 6.1 – Diferite scheme statice pentru calculul stâlpilor

În cadrul schemei statice se consideră drept deschideri distanțele interax dintre stâlpi.

6.1.3. Stabilirea încărcărilor

Încărcările se împart în două mari categorii: încărcări permanente și încărcări utile. Toate încărcările vor fi încărcări de calcul (cu coeficienți parțiali de siguranță) și se vor evalua conform informațiilor prezentate în cadrul capitolului 2.

Încărcările se vor aplica pe grinzi conform celor precizate la capitolul 5.

În plus, se adaugă încărcarea din greutatea proprie a stâlpilor, încărcare ce este evaluată automat de mai toate programele de calcul.

Totodată, va trebui să se țină cont și de solicitările provenite din seism, calculul acțiunii seismice fiind efectuat după Normativul P100-2006.

Pentru construcțiile uzuale din beton armat încărcarea din vânt nu se ia în considerare deoarece greutatea proprie mare a structurii conduce la forțe orizontale din seism mult mai mari decât cele din vânt.

6.1.4. Calculul static

Calculul static al cadrelor se face cu ajutorul metodei elementului finit prin intermediul diverselor programe de calcul existente la ora actuală, calculul manual nemaifiind o opțiune viabilă.

Analiza statică și seismică poate fi efectuată în plan sau în spațiu. Ținându-se cont de ușurința cu care se pot modela structurile în programele de generație nouă, se recomandă ca, ori de câte ori este posibil, să se realizeze un calcul spațial.

În urma efectuării calculelor, se vor extrage din program momentele maxime rezultate din diverse combinații pe cele două direcții, precum și forțele axiale și celelalte momente corespunzătoare. De asemenea, se vor extrage deplasările orizontale maxime de nivel pe cele două direcții ortogonale ale clădirii rezultate din grupările speciale.

6.1.5. Verificarea deplasărilor maxime ale secțiunii

Verificarea deplasărilor maxime ale structurii la acțiunea seismului se face atât pentru starea limită ultimă, cât și pentru starea limită de serviciu.

Verificarea deplasărilor la starea limită de serviciu se face cu relația:

$$d_r^{SLS} = v \cdot q \cdot d_{re} \leq d_{r,a}^{SLS} \quad (6.3)$$

unde:

- d_r^{SLS} – deplasarea relativă de nivel sub acțiunea seismică asociată stării limită de serviciu;
- ν - factor de reducere care ține cont de intervalul de recurență al acțiunii seismice asociat verificărilor la starea limită de serviciu, cu valoarea:
 - 0,4 pentru clădirile încadrate în clasele I și II de importanță;
 - 0,5 pentru clădirile încadrate în clasele III și IV de importanță;
- q – factor de comportare specific tipului de structură (vezi pct. 2.5);
- d_{re} – deplasarea relativă a aceuiași nivel determinată prin calcul static elastic sub încărcări seismice de proiectare; se va lua în considerare componenta care produce degradarea pereților înrâmați, extrăgând partea datorată deplasării axiale a stâlpilor, în cazul în care aceasta are o contribuție semnificativă la valoarea deformației totale; pentru calculul deplasării d_{re} se vor utiliza rigiditățile din tabelul 6.1;
- $d_{r,a}^{SLS}$ – valoarea maximă admisibilă a deplasării relative de nivel sub acțiunea seismică asociată stării limită de serviciu; în lipsa unor valori specifice componentelor nestructurale utilizate, se pot adopta valorile din tabelul 6.2.

Tabelul 6.1 – Rigidități utilizate în calculul deplasărilor

Tipul structurii	Natura legăturilor între componentele nestructurale și structura de beton	
	Componentele nestructurale contribuie la rigiditatea de ansamblu a structurii	Componentele nestructurale nu interacționează cu structura
Structuri tip cadre	$E_c \cdot I_c$	$0,5 \cdot E_c \cdot I_c$
Structuri cu pereți	$0,5 \cdot E_c \cdot I_c$	
E_c – modulul de elasticitate al betonului		
I_c – momentul de inerție al secțiunii brute (nefisurate) de beton		

Verificarea deplasărilor la starea limită ultimă se face cu relația:

$$d_r^{SLU} = c \cdot q \cdot d_{re} \leq d_{r,a}^{SLU} \quad (6.4)$$

Tabelul 6.2 – Valori admisibile ale deplasărilor relative de nivel

Tipul de componente nestructurale	Materiale fragile atașate structurii	Componentele nestructurale nu interacționează cu structura
Deplasarea admisibilă	$0,005 \cdot H_{nivel}$	$0,008 \cdot H_{nivel}$
H_{nivel} – înălțimea nivelului		

unde:

- d_r^{SLU} – deplasarea relativă de nivel sub acțiunea seismică asociată stării limită ultime;
- c – coeficient de amplificare a deplasărilor care ține cont că pentru perioade mai mici decât perioada de colț deplasările seismice calculate în domeniul post-elastic sunt mai mari decât cele corespunzătoare răspunsului seismic elastic; valoarea acestuia se calculează cu relația:

•

$$1 \leq c = 3 - 2,5 \cdot \frac{T}{T_c} \leq 2 \quad (6.5)$$

unde:

- T – perioada proprie a structurii;
- T_c – perioada de control (colț), conform P100-2006;
- $d_{r,a}^{SLU}$ – valoarea maximă admisibilă a deplasării relative de nivel sub acțiunea seismică asociată stării limită ultime, determinată cu relația:

$$d_{r,a}^{SLU} = 0,025 \cdot H_{nivel} \quad (6.6)$$

unde H_{nivel} este înălțimea nivelului.

În situația în care oricare din relațiile (6.3) și (6.4) nu se verifică este necesară fie rigidizarea structurii (cu pereți de rigidizare sau cu elemente de

contravântuire) fie mărirea secțiunii stâlpilor. În ambele cazuri este obligatorie reevaluarea încărcărilor și refacerea analizei statice și seismice.

6.1.6. Stabilirea cantităților teoretice de armătură

Calculul necesarului de armătură se va efectua pentru fiecare din cele două direcții de acțiune a seismului. Astfel, se va o dimensionare a armăturilor pe direcția x și una pe direcția y. Pentru stâlpii situați în zone seismice, armarea pe fiecare direcție este de obicei simetrică ($A_a = A'_a$).

Pentru fiecare din cele două direcții de calcul va fi necesar să se extragă din programul de calcul momentul maxim aferent și forța axială corespunzătoare acestui moment maxim. Practic, din programul de calcul vor rezulta două seturi de eforturi [$M_{x,max} + N_x$] și [$M_{x,max} - N_x$] pentru care vor trebui determinate cantitățile de armătură A_{ax} și A_{ay} .

În continuare se va prezenta calculul după direcția x cu mențiunea că pe direcția y calculul este similar dar dimensiunile secțiunii se inversează (în cazul calculului pe direcția y b_{st} va fi înălțimea secțiunii și h_{st} va fi lățimea acesteia).

Primul pas îl reprezintă stabilirea înălțimii relative a zonei comprimate cu relațiile:

$$a = a_b + \frac{\phi}{2} \quad (6.7)$$

$$h_0 = h_{st} - a \quad (6.8)$$

$$\xi_x = \frac{N_x}{b_{st} \cdot h_0 \cdot R_c} \quad (6.9)$$

unde:

- a – distanța de la centrul de greutate a armăturii la fața superioară a betonului;
- a_b – acoperirea cu beton a armăturii conform pct. 1.5;
- ϕ – diametrul armăturii, pentru stâlpi putându-se adopta valoarea $\phi = 20...25$ mm;
- ξ_x – înălțimea relativă a zonei comprimate pentru calculul pe direcția x.

Dacă $\xi_x \leq 0,4$ secțiunea de beton este corespunzătoare. În cazul în care $0,4 < \xi_x \leq 0,55$ secțiunea de beton poate fi păstrată dar procentul minim de armare transversală și lungimea plastică potențială vor trebui majorate conform punctului 6.1.9.

Dacă $\xi_x > 0,55$ secțiunea de beton este insuficientă. În aceste condiții, se va mări secțiunea stâlpului astfel ca $\xi_x \leq 0,4$ și se va relua calculul de la pct. 6.1.3.

Următorul pas pentru determinarea armăturilor necesare îl constituie stabilirea momentelor de dimensionare în stâlp astfel ca articulațiile plastice să fie direcționate către grinzi. Momentul de dimensionare pe direcția x (și similar pe direcția y) se stabilește cu relația:

$$M_{Ed,x} = \gamma_{Rd} \cdot M_{x,max} \cdot \frac{\sum M_{Rb}}{\sum M_{Eb}} \quad (6.10)$$

unde:

- $M_{Ed,x}$ – momentul de dimensionare al stâlpului pe direcția x;
- γ_{Rd} – factor de suprarezistență datorat efectului de consolidare al oțelului cu valoarea de 1,3;
- $M_{x,max}$ – momentul maxim pe direcția z rezultat din calculul static;
- $\sum M_{Rb}$ – suma momentelor capabile a grinzilor de pe direcția x care intersectează nodul;
- $\sum M_{Eb}$ – suma momentelor rezultate din calculul static pentru grinzile de pe direcția x care intersectează nodul.

În anumite situații, se acceptă ca stâlpii să se dimensioneze la eforturile rezultate din calculul static. Astfel, momentul de dimensionare se va calcula cu relația:

$$M_{Ed,x} = M_{x,max} \quad (6.11)$$

în următoarele situații particulare:

- în cazul construcțiilor parter;
- la ultimul nivel al construcțiilor etajate;
- la primul nivel al clădirilor cu două niveluri la care valoarea normalizată a forței axiale n în toți stâlpii respectă relația:

$$n = \frac{N}{b_{st} \cdot h_{st} \cdot R_c} \leq 0,3 \quad (6.12)$$

Pasul următor constă în determinarea influenței flexibilității asupra eforturilor de calcul. Pentru aceasta se stabilește într-o primă etapă lungimea de flambaj l_{fl} funcție de înălțimea nivelului (H_{nivel}) și tipul legăturilor de la capetele elementului, confirm figurii 6.2.

Se evaluează coeficientul de zveltețe λ cu relația:

$$\lambda = \frac{l_{fl}}{h} \quad (6.13)$$

unde h reprezintă latura secțiunii paralelă cu direcția excentricității forței N , pe direcția de calcul considerată (practic valoarea lui h va fi egală cu h_{st} la calculul pe direcția x și cu b_{st} la calculul pe direcția y).

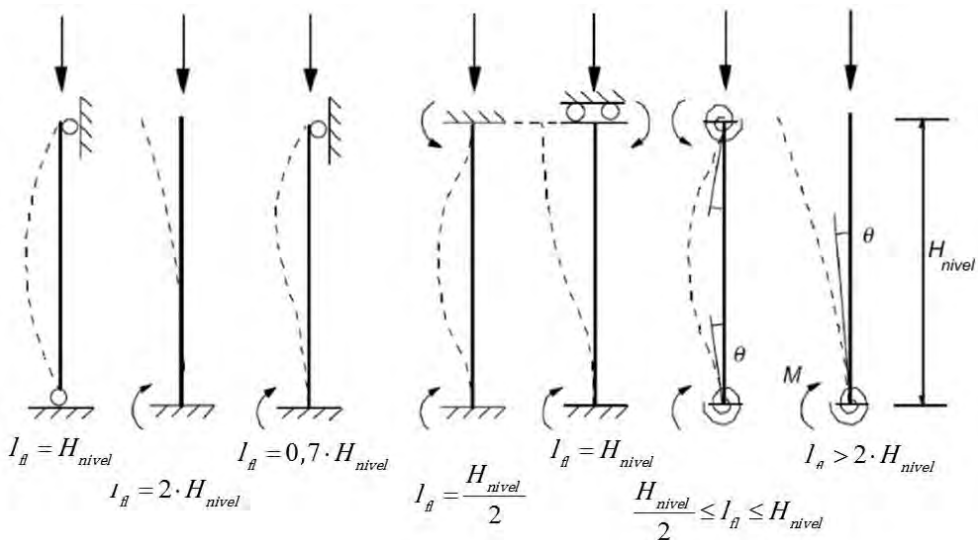


Fig. 6.2 – Lungimi de flambaj

Dacă $\lambda \leq 10$ influența flexibilității poate fi neglijată iar momentul final de calcul este dat de relația (6.10) sau (6.11). În cazul în care $\lambda > 30$ există riscul de pierdere a stabilității iar secțiunea stâlpului va trebui mărită iar calculele reluate.

În cazul în care $10 < \lambda \leq 30$, influența flexibilității se materializează prin mărirea momentului încovoietor al secțiunii cu un coeficient de majorare η . În acest sens, se calculează mai întâi modulul de rigiditate EI la starea limită de rezistență cu relația:

$$EI = E_b \cdot I_b \cdot 0,15 \cdot \left(1 + \sqrt{p_{total}}\right) \quad (6.14)$$

unde:

- E_b – modulul de elasticitate al betonului;
- I_b – momentul de inerție al secțiunii egal cu $\frac{b_{st} \cdot h_{st}^3}{12}$ și $\frac{h_{st} \cdot b_{st}^3}{12}$ pentru calculul pe direcția x și, respectiv, y;
- p_{total} – reprezintă procentul total de armare a stâlpului; deoarece cantitatea de armătură este necunoscută în acest moment se recomandă a se considera în calcul cea mai dezavantajoasă situație, valoarea procentului total putând fi considerată 0,8%.

Se evaluează forța axială critică cu relația:

$$N_{cr} = \frac{\pi^2 \cdot EI}{l_{fl}^2} \quad (6.15)$$

iar coeficientul de majorare a momentului încovoietor de calcul se determină cu formula:

$$\eta = \frac{1}{1 - \frac{N_x}{N_{cr}}} \quad (6.16)$$

unde N_x reprezintă forța axială pe stâlp rezultată din calculul static.

Momentul final pentru dimensionarea stâlpului pe direcția x $M_{Ed,x}^f$ se determină după cum urmează:

- $M_{Ed,x}^f = M_{Ed,x}$, dacă $\lambda \leq 10$;
- $M_{Ed,x}^f = \eta \cdot M_{Ed,x}$, dacă $\eta \leq 1,2$ și $10 < \lambda \leq 30$;
- $M_{Ed,x}^f$ va rezulta dintr-un calcul de ordinul doi, dacă $\eta > 1,2$.

Se recomandă ca secțiunea stâlpului să fie aleasă astfel ca η să nu depășească valoarea de 1,5.

În continuare se vor evalua coeficienții:

$$n_x = \frac{N_x}{b_{st} \cdot h_{st} \cdot R_c} \quad m_x = \frac{M_{Ed,x}^f + N_x \cdot e_a}{b_{st} \cdot h_{st}^2 \cdot R_c} \quad \frac{a}{h_{st}} \quad (6.17)$$

unde:

- N_x – forța axială corespunzătoare momentului maxim pe direcția x rezultată din calculul static;
- e_a – excentricitatea adițională a stâlpului ce ține cont de imperfecțiunile de execuție și care se calculează cu relația:

$$e_a = \max\left(\frac{h_{st}}{30}, 20 \text{ mm}\right) \quad (6.18)$$

Pe baza valorilor determinate cu ecuațiile (6.17), din tabelele 6.3...6.6 (funcție de raportul a/h_{st}) se va extrage coeficientul α .

Calculul armăturii necesare pe direcția x se va face cu relația:

$$A_{ax} = A'_{ax} = \alpha_x \cdot b_{st} \cdot h_{st} \cdot \frac{R_c}{R_a} \quad (6.19)$$

Tabelul 6.3 – Valorile coeficienților n , m , α pentru $\frac{a}{h_{st}} = 0,050$

n	Valorile 1000 m pentru $\alpha =$																			
	0	0,02	0,04	0,06	0,08	0,1	0,12	0,14	0,16	0,18	0,2	0,22	0,24	0,26	0,28	0,3	0,35	0,4	0,45	0,5
1.00	0	14	30	45	61	78	94	110	127	143	159	176	192	208	224	240	282	322	365	405
0.90	36	51	67	83	99	115	131	146	162	178	194	209	226	243	259	274	315	358	399	443
0.85	54	69	85	100	116	132	147	163	179	189	207	226	242	259	275	288	329	376	417	460
0.80	70	86	101	117	132	146	162	173	194	210	226	239	254	274	292	308	350	390	431	478
0.75	86	100	112	129	146	160	177	192	204	224	237	257	274	286	303	325	364	410	449	495
0.70	97	112	125	143	158	174	190	202	218	235	251	273	285	303	323	341	384	427	466	515

0.65	108	122	135	154	170	186	203	219	237	253	271	284	301	322	338	355	397	444	483	535
0.60	115	131	148	164	180	198	215	232	250	267	284	299	320	336	350	373	415	457	502	550
0.55	118	136	154	171	190	207	223	242	259	277	295	312	331	348	364	382	429	470	519	565
0.50	119	138	156	173	193	210	227	246	263	282	299	318	336	355	371	390	436	480	528	571
0.45	118	136	154	171	192	208	226	245	262	281	298	316	335	354	370	390	435	479	527	570
0.40	116	134	152	169	190	204	222	243	260	278	296	313	333	351	367	387	432	477	522	567
0.35	112	128	148	164	184	201	219	237	256	273	292	308	328	345	362	381	426	471	516	562
0.30	104	122	140	158	176	194	212	230	248	266	284	302	320	338	356	374	419	464	509	554
0.28	100	118	136	153	171	190	207	225	243	262	280	297	315	333	352	369	414	459	504	549
0.26	95	113	131	149	167	185	203	221	239	257	275	293	311	329	347	365	410	455	500	545
0.24	89	107	125	143	161	179	197	215	233	251	269	287	305	323	341	359	404	449	494	539
0.22	83	101	119	137	155	173	191	209	227	245	263	281	299	317	335	353	398	443	488	533
0.20	78	96	114	132	150	168	186	204	222	240	258	276	294	312	330	348	393	438	483	528
0.18	73	91	109	127	145	163	181	199	217	235	253	271	289	307	325	343	388	433	478	523
0.16	67	85	103	121	139	157	175	193	211	229	247	265	283	301	319	337	382	427	472	517
0.14	60	78	96	114	132	150	168	86	204	222	240	258	276	294	312	330	375	420	465	510
0.12	52	70	88	106	124	142	160	178	196	214	232	250	268	286	304	322	367	412	457	502
0.10	44	62	80	98	116	134	152	170	188	206	224	242	260	278	296	314	359	404	449	494
0.08	36	54	72	90	108	126	143	162	179	197	216	234	251	269	287	305	350	395	440	485
0.06	28	45	63	81	99	117	135	153	171	189	207	225	242	260	278	296	341	387	431	476
0.04	18	37	54	72	90	108	126	144	162	180	198	216	234	252	270	288	333	377	422	467
0.02	9	28	46	63	81	99	117	135	153	171	189	207	225	243	261	279	324	369	414	459
0.00	0	18	37	54	72	91	109	127	144	162	180	198	216	234	252	270	315	360	405	450
-0.02	-	9	27	46	63	81	100	8	135	153	171	189	207	225	243	261	306	351	396	441
-0.04	-	0	18	36	55	72	91	109	127	145	162	180	198	216	234	252	297	342	387	432
-0.06	-	-	9	27	46	63	81	100	118	136	154	172	189	207	225	243	289	333	378	423
-0.08	-	-	0	18	36	54	72	90	109	127	145	163	181	199	216	234	279	324	369	414
-0.10	-	-	-	9	27	45	63	81	99	118	136	154	172	189	207	225	270	315	360	405
-0.12	-	-	-	0	18	36	54	72	90	109	127	145	163	181	198	216	261	306	351	396
-0.14	-	-	-	-	9	27	45	63	81	99	118	136	154	172	190	208	252	297	342	387
-0.16	-	-	-	-	0	18	36	54	72	90	108	127	145	163	181	199	243	288	333	378
-0.18	-	-	-	-	-	9	27	45	63	81	99	117	136	154	172	190	235	279	324	369
-0.20	-	-	-	-	-	0	18	36	54	72	90	108	126	145	163	181	225	270	315	360

-0.22	-	-	-	-	-	-	9	27	45	63	81	99	117	136	154	172	217	261	306	351
-0.24	-	-	-	-	-	-	0	18	36	54	72	90	108	126	145	163	208	252	297	342
-0.26	-	-	-	-	-	-	-	9	27	45	63	81	99	117	135	154	199	244	288	333

Tabelul 6.4 – Valorile coeficienților n , m , α pentru $\frac{a}{h_{st}} = 0,075$

n	Valorile 1000 m pentru $\alpha =$																			
	0	0,02	0,04	0,06	0,08	0,1	0,12	0,14	0,16	0,18	0,2	0,22	0,24	0,26	0,28	0,3	0,35	0,4	0,45	0,5
1.00	0	14	29	45	60	76	91	107	123	139	154	169	184	200	215	230	269	308	344	387
0.90	36	51	66	82	97	112	127	142	157	172	182	197	215	233	248	258	298	341	381	420
0.85	54	69	84	99	114	129	143	158	168	188	198	213	229	247	264	278	318	357	397	435
0.80	70	86	100	114	129	143	158	169	182	202	216	230	247	259	279	290	334	370	410	455
0.75	86	100	114	125	142	157	171	186	200	215	230	246	258	279	294	306	345	390	426	471
0.70	97	112	125	143	158	166	183	199	210	228	244	257	273	292	308	320	362	404	447	488
0.65	108	122	135	154	170	181	195	212	223	242	256	274	287	308	324	337	377	423	461	506
0.60	115	131	148	164	180	192	206	222	238	255	269	288	301	321	337	355	392	437	476	522
0.55	118	136	154	171	190	202	215	233	250	269	284	302	318	336	352	370	412	451	493	537
0.50	119	138	156	173	193	205	221	238	256	275	291	309	326	342	358	376	422	460	504	546
0.45	118	136	154	171	192	204	220	237	255	275	289	308	325	341	357	375	421	460	503	545
0.40	116	134	152	169	190	201	218	235	252	272	287	305	322	338	355	372	417	458	501	543
0.35	112	128	148	164	184	196	212	231	247	266	281	299	316	331	348	367	410	453	495	537
0.30	104	122	140	158	176	189	206	223	240	257	274	291	308	324	341	359	401	444	486	529
0.28	100	118	136	153	171	184	202	219	235	252	270	287	304	320	337	355	397	439	482	524
0.26	95	113	131	149	167	180	197	214	231	248	265	282	299	315	333	350	393	435	478	520
0.24	89	107	125	143	161	174	191	208	225	242	259	276	293	310	327	344	386	429	471	514
0.22	83	101	119	137	155	168	185	202	219	236	253	270	287	304	321	338	381	423	466	508
0.20	78	96	114	132	150	163	180	197	214	231	248	265	282	299	316	333	375	418	460	503
0.18	73	90	107	124	141	158	175	192	209	227	243	261	277	294	312	328	371	413	456	499
0.16	67	84	100	118	135	152	169	186	203	20	237	254	271	288	305	322	364	407	449	492
0.14	60	77	94	111	128	145	162	179	196	213	230	247	264	281	298	315	357	400	442	485
0.12	52	69	86	103	120	137	154	171	188	205	222	239	256	273	290	307	349	392	434	477

0.10	44	61	78	95	112	129	146	163	180	197	214	231	248	265	281	298	341	383	426	468
0.08	36	53	70	87	104	121	138	155	171	188	205	223	239	256	273	290	333	375	418	460
0.06	28	44	62	79	96	112	129	146	163	180	197	214	231	248	265	282	324	367	409	452
0.04	18	36	53	70	87	104	121	138	155	172	189	206	223	240	257	274	316	358	401	443
0.02	9	27	44	61	78	96	113	130	147	164	180	197	214	231	248	265	308	350	392	435
0.00	0	18	36	53	70	87	104	121	138	155	172	189	206	223	240	257	299	342	384	427
-0.02	-	9	27	44	61	78	95	113	130	147	164	181	198	215	232	249	291	333	376	418
-0.04	-	0	17	35	53	70	87	104	121	138	155	172	189	206	223	240	283	325	368	410
-0.06	-	-	8	26	44	61	78	95	112	129	147	164	181	198	215	232	274	317	359	401
-0.08	-	-	0	17	35	52	69	86	104	121	138	155	172	189	206	223	266	308	351	393
-0.10	-	-	-	8	25	44	61	78	95	112	129	147	164	181	198	215	257	300	342	385
-0.12	-	-	-	0	17	34	52	69	86	103	121	138	155	172	189	206	249	291	334	376
-0.14	-	-	-	-	8	26	43	60	77	95	112	129	146	163	181	198	240	283	325	368
-0.16	-	-	-	-	0	17	34	52	69	86	103	120	138	155	172	189	232	274	317	359
-0.18	-	-	-	-	-	8	25	43	60	77	94	112	129	146	163	180	23	266	308	351
-0.20	-	-	-	-	-	0	17	34	52	69	86	103	120	137	155	172	214	257	300	342
-0.22	-	-	-	-	-	-	8	25	42	60	77	95	111	129	146	163	206	248	291	334
-0.24	-	-	-	-	-	-	0	17	34	51	69	85	103	120	137	154	197	240	282	325
-0.26	-	-	-	-	-	-	-	8	25	42	77	77	94	111	129	146	189	231	274	317

Tabelul 6.5 – Valorile coeficienților n , m , α pentru $\frac{a}{h_{st}} = 0,100$

n	Valorile 1000 m pentru $\alpha =$																			
	0	0,02	0,04	0,06	0,08	0,1	0,12	0,14	0,16	0,18	0,2	0,22	0,24	0,26	0,28	0,3	0,35	0,4	0,45	0,5
1.00	0	14	29	44	59	74	89	104	119	134	149	163	177	192	201	220	253	294	326	367
0.90	36	50	65	80	90	109	124	138	152	166	180	194	205	219	237	252	287	325	362	395
0.85	54	68	83	98	111	125	139	153	167	181	191	204	219	234	252	267	303	341	373	415
0.80	70	85	99	112	123	139	153	163	180	190	208	222	234	248	267	277	318	352	393	432
0.75	86	99	112	126	135	153	165	180	193	208	219	236	247	263	276	293	334	366	409	446
0.70	97	111	124	137	147	165	177	192	207	220	235	246	263	280	291	306	350	382	425	464
0.65	108	121	133	148	161	176	189	204	220	234	246	259	276	292	308	320	365	401	439	479

0.60	115	129	142	158	171	186	198	215	232	246	261	276	292	307	323	337	379	415	455	495
0.55	118	134	149	166	180	195	208	226	241	257	272	288	305	320	337	351	390	430	469	509
0.50	119	136	149	169	183	199	215	231	246	263	279	295	312	327	343	359	399	439	479	518
0.45	118	135	152	168	182	198	214	230	246	262	278	294	311	326	342	358	398	438	478	518
0.40	116	132	151	164	180	195	211	227	243	259	275	291	309	324	340	355	396	435	475	516
0.35	112	127	147	159	175	190	207	222	238	254	269	286	303	319	334	350	391	431	471	510
0.30	104	120	142	152	168	184	199	216	232	248	263	280	296	312	326	343	384	424	464	502
0.28	100	115	135	148	164	179	195	211	228	244	259	275	291	308	323	339	379	419	459	499
0.26	95	111	131	143	159	175	191	207	223	239	255	271	287	303	319	335	375	415	455	495
0.24	89	105	127	137	153	169	185	201	217	233	249	265	281	297	313	329	369	409	449	490
0.22	83	99	115	131	147	163	179	195	211	227	243	259	275	291	307	323	363	403	443	485
0.20	78	94	110	126	142	158	174	190	206	222	238	254	270	286	302	318	358	398	438	479
0.18	73	89	105	121	137	154	169	185	202	217	234	250	265	282	298	314	353	394	434	474
0.16	67	83	99	115	131	147	163	179	195	211	227	243	259	275	291	307	347	387	427	467
0.14	60	76	91	107	123	139	156	171	187	203	219	235	251	267	283	299	339	379	419	459
0.12	52	68	84	100	116	132	148	164	180	196	212	227	243	259	275	291	332	372	411	451
0.10	44	60	76	92	108	124	140	156	172	188	204	220	236	252	268	284	324	364	403	444
0.08	36	52	68	84	100	116	132	148	164	180	196	212	228	244	260	276	316	356	396	436
0.06	28	44	60	76	92	108	124	140	156	172	188	204	220	236	252	268	308	348	388	428
0.04	18	36	52	68	84	100	116	132	148	164	180	196	212	228	244	260	300	340	380	420
0.02	9	27	44	60	76	92	108	124	140	156	172	189	204	220	236	252	292	332	372	412
0.00	0	18	35	51	68	84	100	116	132	148	164	180	196	212	228	244	284	324	364	404
-0.02	-	9	26	43	59	76	92	108	124	140	156	172	188	204	221	236	276	316	356	396
-0.04	-	0	17	34	51	67	83	100	116	132	148	164	180	196	212	228	268	308	348	388
-0.06	-	-	8	25	43	59	75	92	108	124	140	156	172	188	204	220	260	300	340	380
-0.08	-	-	0	17	33	51	67	83	99	116	132	148	164	180	196	212	252	292	332	372
-0.10	-	-	-	8	25	42	59	75	91	107	124	140	156	172	188	204	244	284	324	364
-0.12	-	-	-	0	16	33	50	66	83	99	115	132	148	164	180	196	236	276	316	356
-0.14	-	-	-	-	8	25	42	58	74	91	107	124	140	156	172	188	228	268	308	348
-0.16	-	-	-	-	0	16	33	50	66	82	99	115	131	148	164	180	220	260	300	340
-0.18	-	-	-	-	-	8	24	41	58	74	90	107	123	139	156	172	212	252	292	332

-0.20	-	-	-	-	-	0	16	33	50	66	82	99	114	131	147	164	204	244	284	324
-0.22	-	-	-	-	-	-	8	24	41	58	74	90	106	123	139	155	196	236	276	316
-0.24	-	-	-	-	-	-	0	16	32	49	66	82	98	114	131	147	188	228	268	308
-0.26	-	-	-	-	-	-	-	8	24	41	58	74	90	106	122	139	179	220	260	300

Tabelul 6.6 – Valorile coeficienților n , m , α pentru $\frac{a}{h_{st}} = 0,125$

n	Valorile 1000 m pentru $\alpha =$																			
	0	0,02	0,04	0,06	0,08	0,1	0,12	0,14	0,16	0,18	0,2	0,22	0,24	0,26	0,28	0,3	0,35	0,4	0,45	0,5
1.00	0	14	28	43	58	72	87	102	116	130	143	157	171	184	198	207	241	280	309	345
0.90	36	50	65	79	93	106	121	134	147	161	174	186	196	213	227	240	275	309	340	378
0.85	54	68	82	95	106	122	132	147	160	175	188	196	211	223	241	254	284	324	355	394
0.80	70	84	97	107	123	135	145	162	175	188	200	212	224	238	250	265	298	338	368	404
0.75	86	99	108	119	132	149	160	174	184	198	211	224	240	250	267	277	316	350	384	419
0.70	97	110	119	134	144	159	169	185	198	208	223	238	251	263	281	290	328	365	399	439
0.65	108	120	128	144	154	170	180	197	210	220	233	252	265	276	293	307	344	380	412	452
0.60	115	127	137	153	166	180	193	208	221	234	246	263	278	292	306	320	357	394	429	463
0.55	118	133	146	161	175	191	203	219	232	247	262	276	291	305	320	336	371	408	446	486
0.50	119	136	152	166	179	193	209	225	239	256	272	284	299	314	328	345	383	419	456	493
0.45	118	135	151	165	180	194	208	224	238	255	271	283	298	313	328	345	382	418	455	493
0.40	116	132	147	161	177	192	206	223	236	253	268	280	296	311	326	342	379	415	453	491
0.35	112	126	142	155	172	187	201	217	230	247	262	276	291	306	321	337	375	410	448	486
0.30	104	119	134	149	164	179	194	209	222	239	254	269	284	299	313	327	366	402	441	479
0.28	100	115	129	145	160	175	190	204	219	235	250	265	279	294	309	325	362	399	437	474
0.26	95	110	125	140	155	170	185	200	215	230	245	260	275	290	305	320	358	395	433	470
0.24	89	104	119	134	149	164	179	194	209	224	239	254	269	284	299	314	351	389	426	464
0.22	83	98	113	128	143	158	173	188	203	218	233	248	263	278	293	308	346	383	421	458
0.20	78	93	108	123	138	153	168	183	198	213	228	243	258	273	288	303	340	378	415	453
0.18	73	88	103	118	134	148	163	179	194	209	224	239	254	269	284	299	336	374	411	449
0.16	67	82	97	112	127	141	156	171	186	201	216	231	246	261	276	291	329	366	404	441
0.14	60	75	89	104	119	134	149	164	179	194	209	224	239	254	269	284	321	359	395	434

0.12	52	67	82	97	112	127	142	157	172	187	202	217	232	247	262	277	314	351	389	426	
0.10	44	60	75	90	105	120	135	150	165	179	194	209	224	239	254	269	307	344	382	419	
0.08	36	52	67	82	97	112	127	142	157	172	187	202	217	232	247	262	299	337	374	411	
0.06	28	44	59	75	90	105	120	135	150	165	180	195	210	225	240	255	292	329	367	404	
0.04	18	35	51	67	82	97	112	127	142	157	172	187	202	217	232	247	285	322	359	397	
0.02	9	26	43	58	74	89	105	120	135	150	165	180	195	210	225	240	277	315	352	389	
0.00	0	18	35	50	66	81	97	112	127	142	157	172	187	202	217	232	270	307	345	382	
-0.02	-	8	26	42	58	73	89	104	119	135	150	165	180	195	210	225	262	300	337	375	
-0.04	-	0	17	33	50	65	81	96	112	127	142	157	172	187	202	217	255	292	330	367	
-0.06	-	-	8	25	42	58	73	88	104	119	134	149	165	180	195	210	247	285	322	360	
-0.08	-	-	0	17	33	49	65	81	96	111	127	142	157	172	187	202	240	277	315	352	
-0.10	-	-	-	8	25	41	57	73	88	103	119	134	149	164	180	195	232	270	307	345	
-0.12	-	-	-	0	16	33	49	65	80	96	111	126	141	157	172	187	225	262	300	337	
-0.14	-	-	-	-	8	24	41	57	72	88	103	118	134	149	164	179	217	255	292	330	
-0.16	-	-	-	-	0	16	32	48	64	80	95	111	126	141	156	172	209	247	285	322	
-0.18	-	-	-	-	-	8	24	40	56	72	88	103	118	133	149	164	202	240	277	315	
-0.20	-	-	-	-	-	0	-	16	32	48	64	79	95	110	126	141	156	194	232	270	307
-0.22	-	-	-	-	-	-	8	24	40	56	72	87	102	118	133	148	186	224	262	300	
-0.24	-	-	-	-	-	-	0	16	32	48	64	79	94	110	125	141	179	217	254	292	
-0.26	-	-	-	-	-	-	-	8	23	39	55	71	87	102	118	133	171	209	247	285	

În continuare se va evalua armătura necesară pe direcția y. Calculul pe direcția y este similar cu cel de pe direcția x și se vor folosi tot relațiile (6.7)...(6.19) dar dimensiunile secțiunii se inversează. Practic, în ecuațiile (6.7)...(6.19) se va înlocui b_{st} cu h_{st} și viceversa.

Cantitățile necesare de armătură A_{ax} și A_{ay} determinate la acest punct vor sta la baza stabilirii diametrului și a numărului efectiv de bare pe fiecare latură.

Se va ține cont de faptul că barele din colțuri sunt comune ambelor laturi și lucrează pe ambele direcții.

6.1.7. Elaborarea schiței de armare

Pentru stabilirea efectivelor de armătură vor trebui respectate următoarele reguli de armare:

- numărul minim de bare pe secțiune: 8 ;
- diametrul minim al barelor: 12 mm;
- diametrul maxim recomandat al barelor: 28 mm;
- distanța liberă minimă între bare: 50 mm;
- distanța maximă între axele barelor: 250 mm; între armăturile din colțuri se va prinde cel puțin câte o bară de armătură intermediară pe fiecare latură;
- nu se va accepta dispunerea pe două rânduri a barelor;

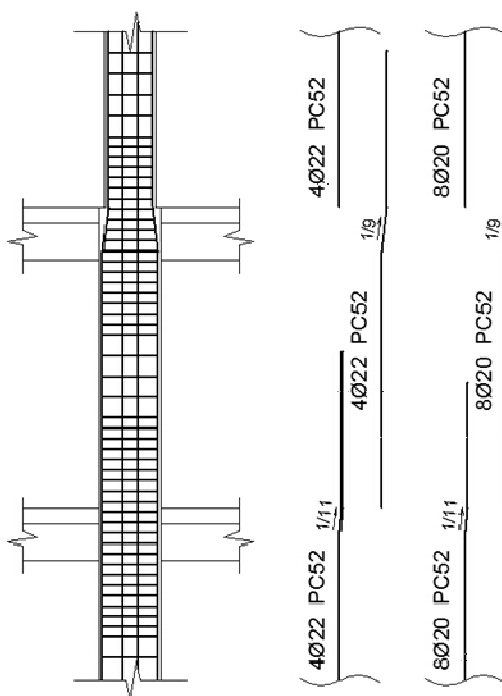


Fig. 6.3 – Schița de armare

- se recomandă ca diferențele între diametrul maxim și cel minim utilizate în aceeași secțiune să nu depășească 5 mm;
- se vor respecta procentele minime de armare prevăzute la pct. 1.3; în cazul în care secțiunea de beton rezultă din considerente de rigiditate iar armătura este dispusă din considerente constructive, se acceptă reducerea procentelor totale minime cu 20% față de cele prezentate la punctul 1.3 cu condiția ca procentul de armare minim pe fiecare latură să nu scadă sub 0,15%;
- panta maximă admisă pentru grăufuirea armăturilor din dreptul grinzilor principale este de 1/6.

6.1.8. Verificarea la compresiune excentrică oblică

Deoarece stâlpii sunt solicitați la compresiune excentrică pe două direcții, înainte de stabilirea numărului final de bare, va trebui să se facă o verificare la compresiune excentrică oblică, conform punctului următor.

Verificarea la compresiune excentrică oblică se va face cu relația:

$$\left(\frac{M_{Ed,x}^f}{M_{Rc,x}} \right)^\beta + \left(\frac{M_{Ed,y}^f}{M_{Rc,y}} \right)^\beta \leq 1 \quad (6.20)$$

unde:

- $M_{Ed,x}^f, M_{Ed,y}^f$ – momentele de dimensionare pe direcția x și y, conform punctului 6.1.6;
- $M_{Rc,x}$ – momentul capabil pe direcția x pentru o forță axială dată, când momentul pe direcția y este 0;
- $M_{Rc,y}$ – momentul capabil pe direcția y pentru o forță axială dată, când momentul pe direcția x este 0;
- β – coeficient al cărei valoare este dat în tabelul 6.7.

Momentele de dimensionare vor fi stabilite pe baza momentelor încovoietoare obținute din calculul static pentru același nod.

Determinarea momentelor capabile ale stâlpilor se face pentru forța axială corespunzătoare din gruparea specială conform celor prezentate în capitolul 7.

Tabelul 6.7 – Valorile coeficientului β

$n = \frac{N}{b_{st} \cdot h_{st} \cdot R_c}$	Modul de dispunere a barelor de armătură		
	A. 4 bare în colțuri	B. mai mult de 4 bare $A_{ax}=A_{ay}$	C. mai mult de 4 bare $A_{ay}=(1.5 \dots 2)A_{ax}$
0.10	1.60	1.70	1.75
0.20	1.35	1.60	1.50
0.30	1.25	1.55	1.40
0.40	1.20	1.50	1.35
0.50	1.20	1.45	1.35

0.60	1.35	1.45	1.40
0.70	1.55	1.50	1.50
0.80	1.75	1.60	1.60

Dacă relația (6.20) nu este îndeplinită, se va mări progresiv cantitatea de armătură (uzual se măresc barele de la colțurile secțiunii) până când verificarea va fi îndeplinită.

6.1.9. Calculul armăturilor transversale

Armăturile transversale (etrierii) sunt prevăzuți atât pentru preluarea forței tăietoare cât și pentru îmbunătățirea comportării la compresiune și evitarea formării articulațiilor plastice.

În cazul structurilor bine conformate, forțele tăietoare rezultate pe stâlpi din programele de calcul sunt foarte mici și pot fi preluate prin simple măsuri de armare constructivă.

În aceste condiții, forța tăietoare de proiectare pentru stâlpi se determină din echilibrul stâlpului la fiecare nivel sub momentele de acțiune de la extremități corespunzătoare fiecărui sens de acțiune a sarcinii seismice ce conduce la formarea articulațiilor plastice în nod. Relația de calcul a forței tăietoare este:

$$T_{\max} = \frac{M_{dc,1} + M_{dc,2}}{H_{\text{nivel}}} \quad (6.21)$$

unde:

- T_{\max} – valoarea forței tăietoare în stâlpi asociată mecanismului de plastifiere;
- $M_{dc,i}$ – momentul maxim ce se dezvoltă la cele două extremități, calculat cu relația (6.22);
- H_{nivel} – înălțimea nivelului.

Momentele maxime de la extremitățile stâlpului se calculează cu relația:

$$M_{dc,i} = \gamma_{Rd} \cdot M_{Rc,i} \cdot \min \left(1, \frac{\sum M_{Rb}}{\sum M_{Rc}} \right) \quad (6.22)$$

unde:

- γ_{Rd} – factor de suprarezistență datorat efectului de consolidare al oțelului și al fretării betonului cu valoarea de 1,3 la nivelul de bază și de 1,2 la nivelurile superioare;
- $M_{Rb,i}$ – momentul capabil de la extremitatea i a stâlpului;
- ΣM_{Rc} – suma momentelor capabile a stâlpilor care intră în nod;
- ΣM_{Rb} – suma momentelor capabile a grinzilor care intră în nod.

Determinarea momentelor capabile pentru elementele ce intersectează nodul se va face conform prevederilor din capitolul 7.

Pentru a verifica dacă secțiunea de beton adoptată este capabilă să preia forța tăietoare maximă, se calculează nivelul de solicitare la forță tăietoare cu relația:

$$\bar{Q} = \frac{T_{\max}}{b_{st} \cdot h_0 \cdot R_t} \quad (6.23)$$

unde:

- \bar{Q} – nivelul de solicitare al secțiunii la forță tăietoare;
- T_{\max} – forța tăietoare exterioară maximă;
- R_t – rezistența de calcul la întindere a betonului.

Funcție de mărimea nivelului de solicitare se vor lua următoarele decizii:

- a) dacă $\bar{Q} \leq 0,5$, calculul la forță tăietoare nu este necesar, etrierii dispunându-se pe criterii constructive;
- b) dacă $0,5 < \bar{Q} \leq 2$, calculul la forță tăietoare este necesar, etrierii fiind dimensionați pe baza relațiilor prezentate în continuare;
- c) dacă $\bar{Q} > 2$, secțiunea de beton este incapabilă să preia solicitările din forță tăietoare fiind necesară o mărire a acesteia și refacerea calculelor.

Rezistența de calcul la întindere a betonului se afectează cu un coeficient al condițiilor de lucru m_t cu valoarea:

- $m_t = 1$, dacă $\bar{Q} < 1,0$;
- $m_t = \frac{3 - \bar{Q}}{2} \leq 1$, dacă $1,0 \leq \bar{Q} \leq 2$.

Rezistența finală de calcul la întindere a betonului se calculează cu relația:

$$R_{t,red} = m_t \cdot R_t \quad (6.24)$$

Se determină procentul de armare din zona întinsă în dreptul fisurii înclinate cu relația:

$$p = \frac{A_{ai}}{b_{st} \cdot h_0} \cdot 100 \quad (6.25)$$

unde:

- A_{ai} – suma tuturor barelor de armătură longitudinale din zona întinsă ce intersectează fisura.

Deoarece ultimul etrier intersectat de fisură poate să nu preia în bune condiții forța tăietoare, aportul acestuia la capacitatea portantă a elementului se ignoră. Practic, reducerea capacității portante cu ceea ce poate prelua ultimul etrier este echivalentă cu mărirea forței tăietoare necesare cu exact aceeași valoare.

Pentru continuarea calculelor este necesar să se impună un diametru pentru etrieri. Uzual se stabilește într-o primă fază cel mai mic diametru acceptat pentru etrieri. Diametrul minim pentru etrieri este cea mai mare din valorile:

- $\frac{1}{4}$ din diametrul maxim al armăturilor longitudinale;
- 6 mm la etrierii interiori pentru stâlpii cu $h \leq 800$ mm;
- 8 mm la etrierii perimetrali și la ceilalți etrieri interiori.

De asemenea se vor impune pentru început etrieri dubli cu patru ramuri ($n_e = 4$) din considerente de evitare a formării articulațiilor plastice în stâlpi.

În continuare se va determina forța tăietoare preluată de etrieri pe unitatea de lungime, cu relația:

$$q_e = \frac{(T_{\max} + A_{et} \cdot m_{at} \cdot R_{at})}{4 \cdot b_{st} \cdot h_0^2 \cdot R_{t,red} \cdot \sqrt{p}} \quad (6.26)$$

unde:

- A_{et} – suma ariilor tuturor ramurilor de etrier intersectate de fisură:

$$A_{et} = n_e \cdot A_e \quad (6.27)$$

unde:

- n_e – numărul de ramuri ce intersectează fisura;
- A_e – aria unei ramuri (bare) de etrier;
- m_{at} – coeficient al condițiilor de lucru pentru oțel cu valoarea:
 - 0,8 pentru armături din oțel laminat (OB37, PC52, PC60);
 - 0,7 pentru armături din sârme trase (STNB, STPB);
- R_{at} – rezistența de calcul la întindere a armăturii transversale;
- $R_{t,red}$ – rezistența de calcul la întindere a betonului, conform relației (6.24);
- p - procentul de armare din zona întinsă în dreptul fisurii înclinate, conform relației (6.25).

Pentru verificarea valorii q_e determinată cu relația (6.26) se va calcula raportul:

$$\frac{s_i}{h_0} = \sqrt{\frac{b_{st} \cdot R_{t,red} \cdot \sqrt{p}}{q_e}} \quad (6.28)$$

Dacă raportul $s_i / h_0 \leq 2,5$ valoarea lui q_e determinată cu ecuația (6.26) este corectă și se poate trece la pasul următor.

Dacă raportul $s_i / h_0 > 2,5$ se va recalcula valoarea lui q_e cu relația:

$$q_e = \frac{T_{\max} + A_{et} \cdot m_{at} \cdot R_{at} - \frac{b_{st} \cdot h_0 \cdot R_{t,red} \cdot \sqrt{p}}{2,5}}{2,5 \cdot h_0} \quad (6.29)$$

În final se va calcula distanța dintre etrieri cu relația:

$$a_e = \frac{A_{et} \cdot m_{at} \cdot R_{at}}{q_e} \quad (6.30)$$

unde a_e este distanța dintre doi etrieri consecutivi.

Funcție de valoarea distanței dintre etrieri rezultată, pot exista trei situații distincte:

- a) dacă distanța dintre etrieri $a_e \geq a_{e,max}$ se va păstra diametrul de etrier ales și se va impune $a_e = a_{e,max}$; $a_{e,max}$ se va determina cu relația:

$$a_{e,max} = \min\left(\frac{b_0}{3}, 125mm, 7 \cdot \phi_{long}^{\min}\right) \quad (6.31)$$

unde $b_0 = b - a$ (b fiind cea mai mică latură a secțiunii stâlpului) iar ϕ_{long}^{\min} este diametrul minim al armăturilor longitudinale; la nivelul de bază se înlocuiește ultima condiție din ecuația (6.31) cu $6 \cdot \phi_{long}^{\min}$;

- b) dacă $100 \text{ mm} \leq a_e \leq a_{e,max}$ se va păstra diametrul de etrier ales și se va impune o valoare a_e multiplu de 25 mm imediat inferioară celei rezultate cu ecuația (6.30); de ex. dacă s-a obținut valoarea $a_e = 117 \text{ mm}$ cu ecuația (6.30), se va impune în final $a_e = 100 \text{ mm}$;
- c) dacă $a_e < 100 \text{ mm}$ diametrul ales pentru etrieri este prea mic; în aceste condiții se va mări diametrul etrierilor și se vor relua calculele de la ecuația (6.26); dacă se ajunge la un diametru $\phi 12$ iar $a_e < 100 \text{ mm}$ se pot adopta etrieri cu șase ramuri ($n_e = 6$) dacă numărul de bare longitudinale o permite sau, în cazul în care inițial s-a utilizat oțel de tip OB37, se pot face etrierii din oțel PC52.

După finalizarea calculului și obținerea rezultatelor finale, se va calcula procentul de armare transversală cu relația:

$$p_e = \frac{A_{et}}{a_e \cdot b} \cdot 100 \geq p_e^{\min} \quad (6.32)$$

Dacă procentul de armare transversală $p_e \leq p_e^{\min}$, se va mări diametrul etrierilor astfel ca procentul de armare transversală să fie mai mare decât procentul minim de armare transversală.

Valoarea procentului minim de armare transversală se va considera:

- pentru stâlpi la care $\xi \leq 0,4$:

$$p_e^{\min} = \max \begin{cases} 10 \cdot \frac{R_c}{R_a} \cdot (0,4 + n) \\ 0,5\% \text{ la nivelul de bază} \\ 0,35 \text{ la nivelurile superioare} \end{cases} \quad (6.33)$$

- pentru stâlpi la care $0,4 < \xi \leq 0,55$:

$$p_e^{\min} = \max \begin{cases} 10 \cdot \frac{R_c}{R_a} \cdot (0,4 + n) + 0,5 \cdot (\xi - 0,4) \\ 0,5\% \text{ la nivelul de bază} \\ 0,35 \text{ la nivelurile superioare} \end{cases} \quad (6.34)$$

Dispunerea etrierilor la distanța a_e se va face în zonele critice. Dacă $\xi \leq 0,4$, zonele de la extremitățile stâlpilor se vor considera zone critice pe o lungime:

$$l_{cr} \geq \max \left(1,5 \cdot h_{st}, \frac{H_0}{6}, 600 \text{ mm} \right) \quad (6.35)$$

unde s-a considerat că h_{st} este cea mai mare dimensiune a secțiunii stâlpului iar H_0 este înălțimea liberă a nivelului.

Pentru stâlpi la care $0,4 < \xi \leq 0,55$ lungimea zonei critice se calculează cu relația:

$$l_{cr} \geq 1,25 \cdot \max \left(1,5 \cdot h_{st}, \frac{H_0}{6}, 600 \text{ mm} \right) \quad (6.36)$$

Dacă $H_0 / h_{st} < 3$ întreaga înălțime a stâlpului se consideră zonă critică și se va arma în consecință.

La clădirile cu până la cinci niveluri, la nivelul de bază lungimea critică se va mări cu 50% față de cea calculată cu relațiile (6.35)...(6.36).

La clădirile cu mai mult de cinci niveluri, la primele două niveluri de la baza structurii lungimea critică se va mări cu 50% față de cea calculată cu relațiile (6.35)...(6.36).

Porțiunile drepte de la capetele ciocurilor etrierilor trebuie să aibă o lungime minimă de $10d$.

De regulă, fiecare bară trebuie să fie legată de un colț de etrier sau de agrafă. Se acceptă legarea barelor longitudinali din două în două doar dacă distanța dintre două ramuri consecutive ale etrierilor este mai mică de 200 mm.

Distanța maximă între etrieri în afara zonelor critice se va limita la 200 mm.

6.2. Proiectarea stâlpilor circulari

6.2.1. Predimensionare

Ca și în cazul stâlpilor rectangulari, și în acest caz aria secțiunii stâlpilor poate fi determinată cu relația:

$$A_{st} = \frac{N}{n_s \cdot R_c}, \quad (6.37)$$

unde N reprezintă forța axială ce acționează asupra secțiunii evaluate, R_c este rezistența la compresiune a betonului iar n_s este un coeficient subunitar care ține cont de faptul că stâlpii sunt solicitați și la moment încovoietor și care are valoarea cuprinsă între 0,20...0,50.

Pentru structuri curente, n_s poate avea următoarele valori:

- $n_s = 0,5$ pentru stâlpii centrali ai etajelor superioare;
- $n_s = 0,3$ pentru stâlpii marginali ai etajelor superioare și pentru stâlpii centrali ai etajelor inferioare;

- $n_s = 0,2$ pentru stâlpii marginali ai etajelor inferioare.

Odată cunoscută aria secțiunii de beton, se pot stabili diametrul stâlpului cu relația:

$$D = \sqrt{\frac{4 \cdot A}{\pi}} \quad (6.38)$$

Se face observația că diametrul minim este de 300 mm și că acesta se va rotunji la un multiplu de 50 mm dacă valoarea lui este mai mică de 800 mm și la multiplu de 100 mm dacă valoarea lui este mai mare de 800 mm.

6.2.2. Schema statică

Ca și în cazul stâlpilor rectangulari, și în acest caz schema statică pentru calculul stâlpilor circulari este cea de cadru. Legăturile dintre grinzile principale și stâlpi se consideră a fi încastrate, legături articulate acceptându-se doar la cadrele parter sau la ultimul nivel al cadrelor etajate.

În cadrul schemei statice se consideră drept deschideri distanțele interax dintre stâlpi.

6.2.3. Stabilirea încărcărilor

Încărcările se împart în două mari categorii: încărcări permanente și încărcări utile. Toate încărcările vor fi încărcări de calcul (cu coeficienți parțiali de siguranță) și se vor evalua conform informațiilor prezentate în cadrul capitolului 2. Încărcările se vor aplica pe grinzi conform celor precizate la capitolul 5. În plus, se adaugă încărcarea din greutatea proprie a stâlpilor.

Totodată, va trebui să se țină cont și de solicitările provenite din seism, calculul acțiunii seismice fiind efectuat după Normativul P100-2006.

Pentru construcțiile uzuale din beton armat încărcarea din vânt nu se ia în considerare deoarece greutatea proprie mare a structurii conduce la forțe orizontale din seism mult mai mari decât cele din vânt.

6.2.4. Calculul static

Calculul static al cadrelor se face cu ajutorul metodei elementului finit prin intermediul diverselor programe de calcul existente la ora actuală, calculul manual nemaifiind o opțiune viabilă. Analiza statică și seismică poate fi efectuată în plan sau în spațiu. Ținându-se cont de ușurința cu care se pot modela structurile în programele de generație nouă, se recomandă ca, ori de câte ori este posibil, să se realizeze un calcul spațial.

În urma efectuării calculelor, se vor extrage din program momentele maxime rezultate din diverse combinații pe cele două direcții, precum și forțele axiale și celelalte momente corespunzătoare.

De asemenea, se vor extrage deplasările orizontale maxime de nivel pe cele două direcții ortogonale ale clădirii rezultate din grupările speciale.

6.2.5. Verificarea deplasărilor maxime ale secțiunii

Verificarea deplasărilor maxime ale structurii la starea limită ultimă și la starea limită de serviciu se fac în mod similar cu cele prezentată la punctul 6.1.5.

În situația în care oricare din verificări nu este îndeplinită este necesară rigidizarea suplimentară a structurii, reevaluarea încărcărilor și refacerea analizei statice și seismice.

6.2.6. Stabilirea cantităților teoretice de armătură

Calculul necesarului de armătură se va efectua pentru întreaga secțiune a stâlpului. Deoarece stâlpii circulari au armătura dispusă uniform pe contur, dimensionarea acestora se va face direct la compresiune oblică. În aceste condiții, se vor extrage din programul de calcul eforturile pentru cel mai solicitat stâlp la compresiune excentrică oblică.

Cel mai solicitat stâlp este cel pentru care se obține cel mai mare moment combinând momentele de pe cele două direcții M_x și M_y cu relația:

$$M_{\max} = \sqrt[\beta]{M_x^\beta + M_y^\beta} \quad (6.39)$$

unde valorile lui β sunt date în tabelul 6.7.

În continuare, dimensionarea se va face pe baza momentului M_{\max} și a forței axiale corespunzătoare N .

Primul pas îl reprezintă stabilirea înălțimii relative a zonei comprimate cu relațiile:

$$a = a_b + \frac{\phi}{2} \quad (6.40)$$

$$n = \frac{N}{\frac{\pi \cdot D^2}{4} \cdot R_c} \quad (6.41)$$

unde:

- a – distanța de la centrul de greutate a armăturii la fața superioară a betonului;
- a_b – acoperirea cu beton a armăturii conform pct. 1.5;
- ϕ – diametrul armături, pentru stâlpi putându-se adopta valoarea $\phi = 20...25$ mm;
- n – valoarea normalizată a forței axiale.

Dacă $n \leq 0,35$ secțiunea de beton este corespunzătoare. În cazul în care $0,4 < n \leq 0,55$ secțiunea de beton poate fi păstrată dar procentul minim de armare transversală și lungimea plastică potențială vor trebui majorate conform punctului 6.2.8.

Dacă $n > 0,55$ secțiunea de beton este insuficientă, fiind necesară mărirea secțiunii stâlpului astfel ca $n \leq 0,35$ și reluarea calculelor.

Următorul pas pentru determinarea armăturilor necesare îl constituie stabilirea momentelor de dimensionare în stâlp astfel ca articulațiile plastice să fie direcționate către grinzi. Momentul de dimensionare se stabilește cu relația:

$$M_{Ed} = \gamma_{Rd} \cdot M_{\max} \cdot \frac{\sum M_{Rb}}{\sum M_{Eb}} \quad (6.42)$$

unde:

- M_{Edx} – momentul de dimensionare al stâlpului;
- γ_{Rd} – factor de suprarezistență datorat efectului de consolidare al oțelului cu valoarea de 1,3;
- M_{max} – momentul maxim determinat cu relația (6.39);
- ΣM_{Rb} – suma momentelor capabile a grinzilor de pe direcția x care intersectează nodul;
- ΣM_{Eb} – suma momentelor rezultate din calculul static pentru grinzile de pe direcția x care intersectează nodul.

În anumite situații, se acceptă ca stâlpii să se dimensioneze la eforturile rezultate din calculul static. Astfel, momentul de dimensionare se va calcula cu relația:

$$M_{Ed} = M_{max} \quad (6.43)$$

în următoarele situații particulare:

- în cazul construcțiilor parter;
- la ultimul nivel al construcțiilor etajate;
- la primul nivel al clădirilor cu două niveluri la care valoarea normalizată a forței axiale n în toți stâlpii calculată cu relația (6.41) nu este mai mare de 0,3.

Pasul următor constă în determinarea influenței flexibilității asupra eforturilor de calcul. Pentru aceasta se stabilește într-o primă etapă lungimea de flambaj l_f funcție de înălțimea nivelului (H_{nivel}) și tipul legăturilor de la capetele elementului, confirm figurii 6.2.

Se evaluează coeficientul de zveltețe λ cu relația:

$$\lambda = \frac{l_f}{1,15 \cdot D} \quad (6.44)$$

Dacă $\lambda \leq 10$ influența flexibilității poate fi neglijată iar momentul final de calcul este dat de relația (6.42) sau (6.43). În cazul în care $\lambda > 30$ există riscul de pierdere a stabilității iar secțiunea stâlpului va trebui mărită iar calculele reluate.

În cazul în care $10 < \lambda \leq 30$, influența flexibilității se materializează prin mărirea momentului încovoietor al secțiunii cu un coeficient de

majorare η . În acest sens, se calculează mai întâi modulul de rigiditate EI la starea limită de rezistență cu relația:

$$EI = E_b \cdot I_b \cdot 0,15 \cdot \left(1 + \sqrt{p_{total}}\right) \quad (6.45)$$

unde:

- E_b – modulul de elasticitate al betonului;
- I_b – momentul de inerție al secțiunii egal cu $\frac{\pi \cdot D^4}{64}$;
- p_{total} – reprezintă procentul total de armare a stâlpului; deoarece cantitatea de armătură este necunoscută în acest moment se recomandă a se considera în calcul cea mai dezavantajoasă situație, valoarea procentului total putând fi considerată 0,8%.

Se evaluează forța axială critică cu relația:

$$N_{cr} = \frac{\pi^2 \cdot EI}{l_{fl}^2} \quad (6.46)$$

iar coeficientul de majorare a momentului încovoiitor de calcul se determină cu formula:

$$\eta = \frac{1}{1 - \frac{N}{N_{cr}}} \quad (6.47)$$

unde N_x reprezintă forța axială pe stâlp rezultată din calculul static.

Momentul final pentru dimensionarea stâlpului pe direcția x M_{Ed}^f se determină după cum urmează:

- $M_{Ed}^f = M_{Ed}$, dacă $\lambda \leq 10$;
- $M_{Ed,x}^f = \eta \cdot M_{Ed}$, dacă $\eta \leq 1,2$ și $10 < \lambda \leq 30$;
- M_{Ed}^f va rezulta dintr-un calcul de ordinul doi, dacă $\eta > 1,2$.

Se recomandă ca secțiunea stâlpului să fie aleasă astfel ca η să nu depășească valoarea de 1,5.

În continuare se vor evalua coeficienții:

$$m = \frac{M_{Ed}^f + N \cdot e_a}{\frac{\pi \cdot D^3}{4} \cdot R_c} \cdot \frac{a}{D} \quad (6.48)$$

unde:

- N – forța axială corespunzătoare rezultată din calculul static;
- e_a – excentricitatea adițională a stâlpului ce ține cont de imperfecțiunile de execuție și care se calculează cu relația:

$$e_a = \max\left(\frac{D}{30}, 20 \text{ mm}\right) \quad (6.49)$$

Pe baza valorilor determinate cu ecuațiile (6.41) și (6.48), din tabelele 6.8...6.10 (funcție de raportul a/D) se va extrage coeficientul α .

Calculul armăturii necesare totale pe secțiune se va face cu relația:

$$A_{a,total} = \alpha \cdot \frac{\pi \cdot D^2}{4} \cdot \frac{R_c}{R_a} \quad (6.50)$$

Tabelul 6.8 – Valorile coeficienților n , m , α pentru $\frac{a}{D} = 0,050$

n	Valorile 1000 m pentru $\alpha =$																			
	0.00	0.04	0.08	0.12	0.16	0.20	0.24	0.28	0.32	0.36	0.40	0.44	0.48	0.52	0.56	0.60	0.70	0.80	0.90	1.00
1.00	0	0	19	37	52	66	78	90	103	115	126	138	149	161	172	184	212	241	270	300
0.90	29	44	58	70	82	93	105	116	128	139	150	161	172	183	195	206	235	263	292	322
0.85	47	60	71	83	94	105	116	127	138	149	160	171	183	194	205	217	245	274	303	333
0.80	61	72	84	95	105	116	127	138	148	159	170	182	193	204	215	227	255	284	313	343
0.75	73	84	94	105	115	125	136	147	158	169	180	191	202	213	225	236	265	294	322	350
0.70	82	93	103	113	123	134	145	156	166	177	188	200	211	223	234	245	273	301	329	357
0.65	91	100	110	121	131	142	152	163	174	185	197	207	219	230	241	252	279	307	335	362
0.60	96	106	116	127	137	148	159	170	181	191	202	213	224	235	246	257	284	312	339	367
0.55	100	110	121	131	142	153	163	174	185	196	207	217	228	239	250	261	288	316	343	370
0.50	102	112	123	133	144	155	165	176	187	198	209	219	230	241	252	263	290	317	345	372
0.45	101	112	123	133	144	155	166	177	188	198	209	220	231	242	253	264	291	319	346	373
0.40	99	110	121	132	143	154	165	176	187	198	208	219	230	241	252	263	291	318	346	373
0.35	95	106	117	128	139	150	161	173	184	195	206	217	228	239	250	261	289	317	345	372

0.30	88	100	111	123	134	146	157	169	180	191	203	214	225	236	248	259	287	315	343	371
0.28	85	97	109	120	132	143	155	167	178	189	201	212	223	235	246	257	285	313	341	370
0.26	82	93	106	117	129	141	153	164	176	187	199	210	221	233	244	256	284	312	340	368
0.24	78	90	102	114	126	138	150	162	173	185	196	208	219	231	242	254	282	310	339	367
0.22	74	86	98	111	123	135	146	159	170	182	194	205	217	228	240	251	280	309	337	365
0.20	69	82	95	107	119	131	143	155	167	179	191	203	214	226	238	249	278	307	335	364
0.18	64	77	90	103	115	127	140	152	164	176	188	200	211	223	235	247	276	304	333	362
0.16	59	72	85	98	111	123	136	148	160	172	185	196	208	220	232	244	273	302	331	360
0.14	53	67	80	93	106	119	132	144	156	169	181	193	205	217	229	241	270	300	329	357
0.12	47	61	75	88	101	114	127	140	152	165	177	189	202	214	226	238	267	297	326	355
0.10	40	55	69	82	96	109	123	135	148	160	173	186	198	210	222	234	264	294	323	353
0.08	34	48	63	77	90	104	117	131	144	156	169	181	194	206	219	231	261	291	321	350
0.06	26	41	57	70	85	98	112	125	139	152	164	177	190	202	215	227	258	288	318	347
0.04	18	34	50	64	79	93	106	120	133	147	160	173	185	198	211	223	254	285	314	344
0.02	10	26	42	57	72	87	100	115	128	142	155	168	181	194	206	219	250	281	311	341
0.00	0	18	34	51	66	80	95	109	123	136	150	163	170	189	202	215	246	277	307	338
-0.02	-	9	26	43	59	74	88	102	117	131	144	158	171	184	197	210	242	273	304	334
-0.04	-	0	18	35	51	67	82	96	111	125	138	152	166	179	192	205	237	269	300	331
-0.06	-	-	9	27	43	59	74	89	104	119	133	147	160	174	187	200	233	264	296	327
-0.08	-	-	0	18	35	51	67	83	98	113	127	141	155	168	182	195	228	260	292	323
-0.10	-	-	-	9	27	43	60	76	90	106	120	135	149	163	177	190	223	256	287	319
-0.12	-	-	-	0	18	35	52	68	84	98	113	128	143	157	171	184	218	251	283	315
-0.14	-	-	-	-	9	27	44	60	76	91	107	122	136	150	164	179	213	246	279	311
-0.16	-	-	-	-	0	18	36	52	69	84	100	115	130	144	159	172	207	241	273	306
-0.18	-	-	-	-	-	9	27	44	60	77	92	108	122	138	152	166	202	235	269	302
-0.20	-	-	-	-	-	0	18	36	52	69	85	100	116	131	145	160	195	230	264	297
-0.22	-	-	-	-	-	-	9	27	44	61	77	93	109	124	139	153	189	225	258	291
-0.24	-	-	-	-	-	-	0	18	36	52	69	85	101	116	132	147	183	219	253	286
-0.26	-	-	-	-	-	-	-	9	27	44	61	77	94	110	125	140	177	213	247	281

Tabelul 6.9 – Valorile coeficienților n , m , α pentru $\frac{a}{D} = 0,075$

n	Valorile 1000 m pentru $\alpha =$																			
	0.00	0.04	0.08	0.12	0.16	0.20	0.24	0.28	0.32	0.36	0.40	0.44	0.48	0.52	0.56	0.60	0.70	0.80	0.90	1.00
1.00	0	1	20	36	52	65	76	89	100	112	122	133	144	155	166	177	204	230	258	285
0.90	29	44	57	69	80	92	103	113	124	135	145	156	166	177	187	198	224	251	278	306
0.85	47	59	70	82	93	103	114	124	134	145	155	165	176	186	197	207	234	261	288	316

0.80	61	72	83	93	103	114	124	134	144	154	164	175	185	196	206	217	244	271	298	326
0.75	73	83	93	103	113	123	133	143	153	163	173	184	194	205	215	226	253	280	307	334
0.70	83	92	102	111	121	131	141	151	161	171	182	192	203	213	224	235	261	288	314	340
0.65	90	100	109	118	128	138	148	158	169	179	189	200	210	221	231	242	268	294	320	346
0.60	96	105	115	124	134	144	154	165	175	185	195	206	216	226	236	247	273	299	324	350
0.55	100	110	119	129	139	148	158	169	179	189	199	209	219	230	240	250	276	301	327	353
0.50	102	111	121	131	141	151	161	171	181	192	202	212	222	232	243	253	279	304	330	356
0.45	101	111	121	131	141	152	162	172	182	192	203	213	223	233	244	254	280	305	331	357
0.40	99	109	119	130	140	150	161	171	181	191	202	212	222	233	243	254	279	305	331	357
0.35	95	105	116	126	137	147	158	168	179	189	199	210	220	231	241	252	278	304	330	356
0.30	88	99	110	121	132	143	153	164	175	186	196	207	217	228	239	249	276	302	328	354
0.28	85	96	108	118	129	140	151	162	173	184	194	205	216	226	237	248	274	301	327	353
0.26	82	93	104	116	127	138	149	160	171	181	192	203	214	225	235	246	273	299	326	352
0.24	78	89	101	112	124	135	146	157	168	179	190	201	212	222	233	244	271	298	324	351
0.22	73	85	97	109	120	132	143	154	165	176	187	198	209	220	231	242	269	296	323	349
0.20	69	81	93	105	117	128	140	151	162	173	185	196	207	218	229	240	267	294	321	348
0.18	64	77	89	101	113	125	136	148	159	170	182	193	204	215	226	237	265	292	319	346
0.16	59	71	84	96	109	120	132	144	155	167	178	190	201	212	224	235	262	290	317	344
0.14	53	67	79	91	104	116	128	140	152	164	175	187	198	209	220	232	260	287	315	342
0.12	47	60	73	87	99	111	124	136	148	159	171	183	195	206	217	229	257	285	312	340
0.10	41	55	68	82	94	107	119	132	144	156	167	179	191	203	214	226	254	282	310	337
0.08	33	48	62	76	89	101	114	127	139	151	163	175	187	199	210	222	251	279	307	334
0.06	25	41	55	70	83	96	109	122	135	147	159	171	183	195	206	219	247	276	304	332
0.04	18	34	49	63	77	90	104	117	129	142	155	167	179	191	203	214	243	272	301	329
0.02	9	26	42	57	71	84	98	111	124	137	150	162	174	186	199	210	240	269	298	326
0.00	0	18	34	49	64	78	92	105	118	131	144	157	170	182	194	206	236	266	294	323
-0.02	-	9	26	42	57	72	85	100	113	126	139	152	165	177	189	202	232	262	291	320
-0.04	-	0	18	34	49	65	79	93	107	121	134	147	160	172	185	197	227	258	287	316
-0.06	-	-	10	26	42	57	73	87	101	114	128	142	154	167	180	192	223	253	283	313
-0.08	-	-	0	18	34	50	65	80	95	109	122	135	149	162	175	187	219	249	279	309
-0.10	-	-	-	9	26	43	57	73	87	102	116	130	143	156	169	182	214	245	275	305
-0.12	-	-	-	0	18	34	50	66	81	95	110	123	137	150	163	177	209	240	271	301
-0.14	-	-	-	-	9	26	43	58	74	88	103	117	131	144	158	172	204	235	266	296
-0.16	-	-	-	-	0	18	34	50	66	81	96	111	125	138	152	165	198	230	261	292
-0.18	-	-	-	-	-	9	26	42	58	74	89	104	118	132	146	160	193	225	256	287
-0.20	-	-	-	-	-	0	18	34	50	66	81	96	111	126	139	153	187	220	252	283
-0.22	-	-	-	-	-	-	9	26	42	58	74	90	105	119	133	147	181	214	247	278
-0.24	-	-	-	-	-	-	0	18	34	50	67	82	97	112	126	141	175	209	241	273
-0.26	-	-	-	-	-	-	-	9	27	42	57	74	90	105	119	134	169	203	236	268

Tabelul 6.10 – Valorile coeficienților n , m , α pentru $\frac{a}{D} = 0,100$

n	Valorile 1000 m pentru $\alpha =$																			
	0.00	0.04	0.08	0.12	0.16	0.20	0.24	0.28	0.32	0.36	0.40	0.44	0.48	0.52	0.56	0.60	0.70	0.80	0.90	1.00
1.00	0	0	20	36	50	63	75	86	98	108	119	129	139	150	160	170	195	220	245	271
0.90	29	44	56	68	79	90	100	110	121	131	140	150	160	170	180	189	214	239	264	290
0.85	47	59	70	81	91	101	111	121	131	140	150	160	169	179	189	199	223	248	274	299
0.80	61	72	82	92	102	111	121	130	140	149	159	168	178	188	198	207	232	257	283	308
0.75	73	83	92	101	111	120	129	139	148	158	167	176	186	196	206	216	241	266	292	317
0.70	83	92	101	110	119	128	137	146	156	165	175	184	194	204	214	224	249	274	299	323
0.65	90	99	108	117	125	135	144	153	163	172	182	192	202	212	221	231	256	280	305	329
0.60	96	105	113	122	131	140	150	159	169	179	188	198	208	217	227	237	261	285	309	333
0.55	100	109	118	127	136	146	155	164	174	183	193	202	212	221	231	241	265	289	313	337
0.50	102	111	120	129	138	148	157	166	176	185	195	204	214	223	233	243	267	291	315	339
0.45	102	111	120	130	139	148	158	167	177	186	196	205	215	224	234	244	268	292	316	340
0.40	99	109	118	129	137	147	157	166	176	185	195	205	215	224	233	244	268	292	316	340
0.35	95	105	114	124	134	144	154	163	173	183	193	202	212	222	232	242	266	290	315	339
0.30	88	99	109	119	129	140	150	160	170	180	190	200	210	220	229	239	264	289	313	338
0.28	85	96	106	117	127	137	147	158	168	178	188	198	208	218	228	238	263	288	312	337
0.26	82	93	103	114	124	135	145	155	166	176	186	196	206	216	226	236	261	286	311	336
0.24	78	89	100	111	121	132	142	153	163	173	184	194	204	214	224	234	260	285	310	334
0.22	74	85	96	107	118	129	139	150	160	171	181	191	202	212	222	232	258	283	308	333
0.20	69	81	92	103	114	125	136	147	158	168	178	189	199	210	220	230	256	281	306	332
0.18	64	76	88	99	111	121	133	143	154	165	175	186	197	207	218	228	254	279	304	330
0.16	59	71	83	95	106	118	129	140	151	162	172	183	194	204	215	225	251	277	302	328
0.14	53	66	78	90	102	113	125	136	147	158	169	180	191	201	212	223	249	275	300	326
0.12	47	60	73	85	97	109	120	132	143	155	166	177	187	198	209	220	246	272	298	324
0.10	41	54	67	79	92	104	116	128	139	151	162	173	184	195	206	217	243	270	295	321
0.08	33	48	61	74	87	99	111	123	135	146	158	169	180	191	202	213	240	267	293	319
0.06	26	40	55	68	81	94	106	118	130	142	153	165	176	187	198	210	237	263	290	316
0.04	18	33	48	62	75	88	100	113	125	137	149	161	172	183	195	206	233	263	287	313
0.02	9	26	41	55	69	82	95	108	120	132	144	156	168	179	191	202	230	257	284	311
0.00	0	18	34	48	63	76	89	102	115	127	139	151	163	175	186	198	226	254	281	308
-0.02	-	9	25	41	56	70	83	96	109	122	134	146	159	170	182	194	222	250	277	304
-0.04	-	0	18	33	49	63	77	90	103	116	129	141	154	166	177	189	218	246	274	301
-0.06	-	-	9	26	41	56	70	84	97	110	123	136	148	161	172	184	214	242	270	298
-0.08	-	-	0	17	34	49	63	77	91	104	117	130	143	155	167	179	209	238	266	294
-0.10	-	-	-	9	25	41	56	71	84	98	112	124	137	150	162	175	205	234	262	290
-0.12	-	-	-	0	17	33	48	63	78	91	105	118	131	144	157	169	199	229	358	286
-0.14	-	-	-	-	9	26	42	56	71	85	99	112	126	138	151	164	195	224	254	282

-0.16	-	-	-	-	0	18	34	49	64	78	92	106	119	132	146	158	190	220	250	278
-0.18	-	-	-	-	-	9	25	41	56	71	85	99	113	127	139	153	184	215	245	274
-0.20	-	-	-	-	-	0	17	34	49	64	78	93	107	121	134	147	179	210	240	269
-0.22	-	-	-	-	-	-	9	25	41	56	71	86	100	114	128	140	173	204	235	265
-0.24	-	-	-	-	-	-	0	18	33	49	64	78	93	107	121	135	167	199	230	260
-0.26	-	-	-	-	-	-	-	9	26	41	56	71	86	100	115	128	161	193	225	255

Cantitatea necesară totală de armătură $A_{a,total}$ determinată la acest punct va sta la baza stabilirii diametrului și a numărului efectiv de bare pe secțiune.

6.2.7. Elaborarea schiței de armare

Pentru stabilirea efectivelor de armătură vor trebui respectate aceleași reguli ca la punctul 6.1.7, singura diferență apărând la numărul minim de bare pe secțiune care, în acest caz, este 6.

6.2.8. Calculul armăturilor transversale

Armăturile transversale (etrierii) sunt prevăzuți atât pentru preluarea forței tăietoare cât și pentru îmbunătățirea comportării la compresiune și evitarea formării articulațiilor plastice.

În cazul structurilor bine conformate, forțele tăietoare rezultate pe stâlpi din programele de calcul sunt foarte mici și pot fi preluate prin simple măsuri de armare constructivă.

În aceste condiții, forța tăietoare de proiectare pentru stâlpi se determină din echilibrul stâlpului la fiecare nivel sub momentele de acțiune de la extremități corespunzătoare fiecărui sens de acțiune a sarcinii seismice ce conduce la formarea articulațiilor plastice în nod. Relația de calcul a forței tăietoare este:

$$T_{\max} = \frac{M_{dc,1} + M_{dc,2}}{H_{\text{nivel}}} \quad (6.51)$$

unde:

- T_{max} – valoarea forței tăietoare în stâlpi asociată mecanismului de plastifiere;
- $M_{dc,i}$ – momentul maxim ce se dezvoltă la cele două extremități, calculat cu relația (6.52);
- H_{nivel} – înălțimea nivelului.

Momentele maxime de la extremitățile stâlpului se calculează cu relația:

$$M_{dc,i} = \gamma_{Rd} \cdot M_{Rc,i} \cdot \min\left(1, \frac{\Sigma M_{Rb}}{\Sigma M_{Rc}}\right) \quad (6.52)$$

unde:

- γ_{Rd} – factor de suprazistență datorat efectului de consolidare al oțelului și al fretării betonului cu valoarea de 1,3 la nivelul de bază și de 1,2 la nivelurile superioare;
- $M_{Rb,i}$ – momentul capabil de la extremitatea i a stâlpului;
- ΣM_{Rc} – suma momentelor capabile a stâlpilor care intră în nod;
- ΣM_{Rb} – suma momentelor capabile a grinzilor care intră în nod.

Determinarea momentelor capabile pentru elementele ce intersectează nodul se va face conform prevederilor din capitolul 7.

Pentru a verifica dacă secțiunea de beton adoptată este capabilă să preia forța tăietoare maximă, se calculează nivelul de solicitare la forță tăietoare cu relația:

$$\bar{Q} = \frac{T_{max}}{\frac{\pi \cdot D^2}{4} \cdot R_t} \quad (6.53)$$

unde:

- \bar{Q} – nivelul de solicitare al secțiunii la forță tăietoare;
- T_{max} – forța tăietoare exterioară maximă;
- R_t – rezistența de calcul la întindere a betonului.

Funcție de mărimea nivelului de solicitare se vor lua următoarele decizii:

- a) dacă $\bar{Q} \leq 0,5$, calculul la forță tăietoare nu este necesar, etrierii dispunându-se pe criterii constructive;
- b) dacă $0,5 < \bar{Q} \leq 2$, calculul la forță tăietoare este necesar, etrierii fiind dimensionați pe baza relațiilor prezentate în continuare;

- c) dacă $\bar{Q} > 2$, secțiunea de beton este incapabilă să preia solicitările din forță tăietoare fiind necesară o mărire a acesteia și refacerea calculelor.

Rezistența de calcul la întindere a betonului se afectează cu un coeficient al condițiilor de lucru m_t cu valoarea:

- $m_t = 1$, dacă $\bar{Q} < 1,0$;
- $m_t = \frac{3-\bar{Q}}{2} \leq 1$, dacă $1,0 \leq \bar{Q} \leq 2$.

Rezistența finală de calcul la întindere a betonului se calculează cu relația:

$$R_{t,red} = m_t \cdot R_t \quad (6.54)$$

Se determină procentul de armare din zona întinsă în dreptul fisurii înclinate cu relația:

$$p = \frac{A_{ai}}{\frac{\pi \cdot D^2}{4}} \cdot 100 \quad (6.55)$$

unde:

- A_{ai} – suma tuturor barelor de armătură longitudinale din zona întinsă ce intersectează fisura.

Deoarece ultimul etrier intersectat de fisură poate să nu preia în bune condiții forța tăietoare, aportul acestuia la capacitatea portantă a elementului se ignoră. Practic, reducerea capacității portante cu ceea ce poate prelua ultimul etrier este echivalentă cu mărirea forței tăietoare necesare cu exact aceeași valoare.

Pentru continuarea calculelor este necesar să se impună un diametru pentru etrieri. Uzual se stabilește într-o primă fază cel mai mic diametru acceptat pentru etrieri. Diametrul minim pentru etrieri este cea mai mare din valorile:

- $\frac{1}{4}$ din diametrul maxim al armăturilor longitudinale;
- 6 mm la etrierii interiori pentru stâlpii cu $h \leq 800$ mm;
- 8 mm la etrierii perimetrali și la ceilalți etrieri interiori.

De asemenea se vor impune pentru început etrieri dubli cu patru ramuri ($n_e = 4$) din considerente de evitare a formării articulațiilor plastice în stâlpi.

În continuare se va determina forța tăietoare preluată de etrieri pe unitatea de lungime, cu relația:

$$q_e = \frac{(T_{\max} + A_{et} \cdot m_{at} \cdot R_{at})}{3,15 \cdot D^3 \cdot R_{t,red} \cdot \sqrt{p}} \quad (6.56)$$

unde:

- A_{et} – suma ariilor tuturor ramurilor de etrier intersectate de fisură:

$$A_{et} = n_e \cdot A_e \quad (6.57)$$

unde:

- n_e – numărul de ramuri ce intersectează fisura;
- A_e – aria unei ramuri (bare) de etrier;
- m_{at} – coeficient al condițiilor de lucru pentru oțel cu valoarea:
 - 0,8 pentru armături din oțel laminat (OB37, PC52, PC60);
 - 0,7 pentru armături din sârme trase (STNB, STPB);
- R_{at} – rezistența de calcul la întindere a armăturii transversale;
- $R_{t,red}$ – rezistența de calcul la întindere a betonului, conform relației (6.54);
- p - procentul de armare din zona întinsă în dreptul fisurii înclinate, conform relației (6.55).

Pentru verificarea valorii q_e determinată cu relația (6.56) se va calcula raportul:

$$\frac{s_i}{D} = \sqrt{\frac{0,58 \cdot D^3 \cdot \sqrt{p}}{q_e}} \quad (6.58)$$

Dacă raportul $s_i / D \leq 2,2$ valoarea lui q_e determinată cu ecuația (6.56) este corectă și se poate trece la pasul următor.

Dacă raportul $s_i / D > 2,2$ se va recalcula valoarea lui q_e cu relația:

$$q_e = \frac{T_{\max} + A_{et} \cdot m_{at} \cdot R_{at} - 0,35 \cdot D^2 \cdot R_t \cdot \sqrt{p}}{2,2 \cdot D} \quad (6.59)$$

În final se va calcul distanța dintre etrieri cu relația:

$$a_e = \frac{A_{et} \cdot m_{at} \cdot R_{at}}{q_e} \quad (6.60)$$

unde:

- a_e – distanța dintre doi etrieri consecutivi.

Funcție de valoarea distanței dintre etrieri rezultată, pot exista trei situații distincte:

- a) dacă distanța dintre etrieri $a_e \geq a_{e,\max}$ se va păstra diametrul de etrier ales și se va impune $a_e = a_{e,\max}$; $a_{e,\max}$ se va determina cu relația:

$$a_{e,\max} = \min\left(\frac{D}{3}, 125\text{mm}, 7 \cdot \phi_{\text{long.}}^{\min}\right) \quad (6.61)$$

unde $\phi_{\text{long.}}^{\min}$ este diametrul minim al armăturilor longitudinale; la nivelul de bază se înlocuiește ultima condiție din ecuația (6.61) cu $6 \cdot \phi_{\text{long.}}^{\min}$;

- b) dacă $100 \text{ mm} \leq a_e \leq a_{e,\max}$ se va păstra diametrul de etrier ales și se va impune o valoare a_e multiplu de 25 mm imediat inferioară celei rezultate cu ecuația (6.60); de ex. dacă s-a obținut valoarea $a_e = 112 \text{ mm}$ cu ecuația (6.60), se va impune în final $a_e = 100 \text{ mm}$;
- c) dacă $a_e < 100 \text{ mm}$ diametrul ales pentru etrieri este prea mic; în aceste condiții se va mări diametrul etrierilor și se vor relua calculele de la ecuația (6.56); dacă se ajunge la un diametru $\phi 12$ iar $a_e < 100 \text{ mm}$ se pot adopta etrieri cu șase ramuri ($n_e = 6$) dacă numărul de bare longitudinale o permite sau, în cazul în care inițial s-a utilizat pentru

etrieri un oțel de tip OB37, se pot face etrierii din oțel PC52.

După finalizarea calculului și obținerea rezultatelor finale, se va calcula procentul de armare transversală cu relația:

$$p_e = \frac{A_{et}}{a_e \cdot D \cdot \frac{\sqrt{\pi}}{4}} \cdot 100 \geq p_e^{\min} \quad (6.62)$$

Dacă procentul de armare transversală $p_e \leq p_e^{\min}$, se va mări diametrul etrierilor astfel ca procentul de armare transversală să fie mai mare decât procentul minim de armare transversală.

Valoarea procentului minim de armare transversală se va considera:

- pentru stâlpi la care $n \leq 0,35$:

$$p_e^{\min} = \max \begin{cases} 10 \cdot \frac{R_c}{R_a} \cdot (0,4 + n) \\ 0,5\% \text{ la nivelul de bază} \\ 0,35 \text{ la nivelurile superioare} \end{cases} \quad (6.63)$$

- pentru stâlpi la care $0,35 < n \leq 0,55$:

$$p_e^{\min} = \max \begin{cases} 10 \cdot \frac{R_c}{R_a} \cdot (0,4 + n) + 0,5 \cdot (n - 0,35) \\ 0,5\% \text{ la nivelul de bază} \\ 0,35 \text{ la nivelurile superioare} \end{cases} \quad (6.64)$$

Disponerea etrierilor la distanța a_e se va face în zonele critice. Dacă $n \leq 0,35$, zonele de la extremitățile stâlpilor se vor considera zone critice pe o lungime:

$$l_{cr} \geq \max \left(1,5 \cdot h_{st}, \frac{H_0}{6}, 600 \text{ mm} \right) \quad (6.65)$$

unde s-a considerat că h_{st} este cea mai mare dimensiune a secțiunii stâlpului iar H_0 este înălțimea liberă a nivelului.

Pentru stâlpi la care $0,4 < \xi \leq 0,55$ lungimea zonei critice se calculează cu relația:

$$l_{cr} \geq 1,25 \cdot \max \left(1,5 \cdot h_{st}, \frac{H_0}{6}, 600 \text{ mm} \right) \quad (6.66)$$

Dacă $H_0 / h_{st} < 3$ întreaga înălțime a stâlpului se consideră zonă critică și se va arma în consecință.

La clădirile cu până la cinci niveluri, la nivelul de bază lungimea critică se va mări cu 50% față de cea calculată cu relațiile (6.65)...(6.66).

La clădirile cu mai mult de cinci niveluri, la primele două niveluri de la baza structurii lungimea critică se va mări cu 50% față de cea calculată cu relațiile (6.65)...(6.66).

Porțiunile drepte de la capetele ciocurilor etrierilor trebuie să aibă o lungime minimă de $10d$.

De regulă, fiecare bară trebuie să fie legată de un colț de etrier sau de agrafă. Se acceptă legarea barelor longitudinale din două în două doar dacă distanța dintre două ramuri consecutive ale etrierilor este mai mică de 200 mm. Distanța maximă între etrieri în afara zonelor critice se va limita la 200 mm.

În cazul stâlpilor fretați, la alcătuirea armăturii transversale (fretei), se vor respecta următoarele reguli:

- diametrul minim al fretei: 6 mm;
- pasul fretei s va respecta condițiile:

$$50 \text{ mm} \leq s \leq 80 \text{ mm} \quad \text{și} \quad s \leq \frac{d_s}{5} \quad (6.67)$$

unde s este pasul fretei iar d_s este diametrul sâmburelui de beton fretat determinat cu relația:

$$d_s = D - 2 \cdot a \quad (6.68)$$

unde a se determină cu ecuația (6.39);

- procentul de armare longitudinală raportată la aria sâmburelui de beton trebuie să fie minim 0,5:

$$p = \frac{A_{a,total}}{\frac{\pi \cdot d_s^2}{4}} \cdot 100 \geq 0,5\% \quad (6.69)$$

6.3. Proiectarea stâlpilor lamelari

Proiectarea stâlpilor lamelari se face în mod similar ca pentru stâlpi rectangulari cu mențiunea că pentru fiecare direcție de acțiune a seismului doar o parte a secțiunii este activă și este luată în calcul (conform fig. 6.4).

În figura 6.4.a sunt prezentate diverse secțiuni de stâlpi lamelari. În figura 6.4.b sunt prezentate secțiunile active de calcul pentru ipoteza acțiunii seismului pe direcție transversală iar în figura 6.4.c sunt prezentate secțiunile active de calcul pentru ipoteza acțiunii seismului pe direcție longitudinală.

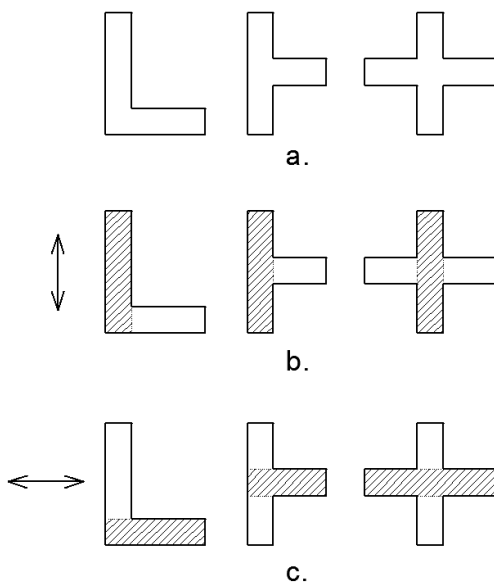


Fig. 6.4 – Secțiuni active de calcul la stâlpii lamelari

Calculul se va desfășura după aceiași pași ca cei prezentați la punctul 6.1.

7. DETERMINAREA MOMENTELOR CAPABILE ALE ELEMENTELOR DE BETON ARMAT

În procesul de dimensionare al elementelor de beton armat, este necesară evaluarea momentelor capabile pentru grinzile și stâlpii care intră în nod.

Acest lucru este justificat deoarece întotdeauna cantitățile efective de armătură sunt mai mari decât cele necesare. Uneori aceste cantități pot fi mărite suplimentar din condiții de procent minim de armare putându-se ajunge la un moment dat ca supradimensionarea grinzilor să fie mai mare comparativ cu cea a stâlpilor iar primele articulații plastice să se formeze în stâlpi.

În aceste condiții, este necesară verificarea momentelor capabile efective ale elementelor structurale pentru evitarea comportării necorespunzătoare a structurii la seism.

Determinarea momentelor capabile presupune cunoașterea dimensiunilor geometrice, a rezistențelor materialului, a cantităților de armătură iar în cazul stâlpilor și a forței axiale corespunzătoare.

7.1. Determinarea momentelor capabile ale grinzilor cu secțiunea dreptunghiulară

Evaluarea momentelor capabile a grinzilor prezentate la acest punct se face în ipoteza că secțiunile sunt situate în zone critice ($\xi \leq 0,25$). Dacă se dorește evaluarea momentelor capabile situate în zone necritice se va impune condiția $\xi \leq 0,55$.

Determinarea momentului capabil al grinzilor cu secțiunea dreptunghiulară considerate ca fiind simplu armate se face în următorii pași:

- a) se calculează distanța a cu relația:

$$a = a_b + \frac{\phi}{2} \quad (7.1)$$

unde acoperirea cu beton a_b se stabilește conform prevederilor din capitolul 1 iar ϕ este diametrul barelor din zona întinsă;

- b) se calculează înălțimea activă a secțiunii:

$$h_0 = h_{gp} - a \quad (7.2)$$

- c) se calculează înălțimea zonei comprimate:

$$x = \frac{A_a \cdot R_a}{b_{gp} \cdot R_c} \quad (7.3)$$

- d) se verifică înălțimea zonei comprimate astfel:

- dacă $x \leq 0,25 \cdot h_0$, valoarea lui x determinată cu relația (7.3) este bună;
- dacă $x > 0,25 \cdot h_0$, secțiunea simplu armată nu respectă condițiile zonelor critice și va trebui calculată ca secțiune dublu armată;

- e) se calculează momentul capabil cu relația:

$$M_{cap} = b_{gp} \cdot x \cdot R_c \cdot \left(h_0 - \frac{x}{2} \right) \quad (7.4)$$

În cazul în care secțiunea de beton se consideră ca fiind dublu armată, determinarea momentelor capabil se face cu relațiile:

- a) se calculează distanțele a și a' cu relațiile:

$$\begin{aligned} a &= a_b + \frac{\phi}{2} \\ a &= a_b + \frac{\phi'}{2} \end{aligned} \quad (7.5)$$

unde acoperirea cu beton a_b se stabilește conform prevederilor din capitolul 1, ϕ este diametrul barelor din zona

- întinsă iar ϕ' este diametrul barelor din zona comprimată;
- b) se calculează înălțimea activă a secțiunii și distanța dintre barele de armătură:

$$\begin{aligned} h_0 &= h_{gp} - a \\ h_a &= h_0 - a' \end{aligned} \quad (7.6)$$

- c) se calculează procente de armare:

$$\begin{aligned} p &= \frac{A_a}{b_{gp} \cdot h_0} \cdot 100 \\ p &= \frac{A'_a}{b_{gp} \cdot h_0} \cdot 100 \end{aligned} \quad (7.7)$$

unde A_a și A'_a sunt cantitățile de armătură din zona întinsă și din zona comprimată;

- d) se calculează înălțimea relativă a zonei comprimate cu relația:

$$\xi = \frac{p - p'}{100} \cdot \frac{R_a}{R_c} \quad (7.8)$$

- e) se verifică înălțimea relativă a zonei comprimate astfel:
- dacă $\xi \leq 0,25$, valoarea lui ξ determinată cu relația (7.8) este bună;
 - dacă $\xi > 0,25$, secțiunea nu respectă condițiile zonelor critice și va trebui re-proiectată; în aceste condiții se poate evalua un moment capabil corespunzător doar pentru secțiunile nesituate în zonele plastice potențiale;
- f) se calculează momentul capabil cu relația:

$$M_{cap} = b_{gp} \cdot h_0^2 \cdot R_c \cdot \xi \cdot \left(1 - \frac{\xi}{2}\right) + A'_a \cdot R_a \cdot h_a \quad (7.9)$$

7.2. Determinarea momentelor capabile ale grinzilor cu secțiunea T

Evaluarea momentelor capabile a grinzilor prezentate la acest punct se face în ipoteza că secțiunile sunt situate în zone critice ($\xi \leq 0,25$). Dacă se dorește evaluarea momentelor capabile situate în zone necritice se va impune condiția $\xi \leq 0,55$.

Determinarea momentului capabil al grinzilor cu secțiunea T considerate ca fiind simplu armate se face în următorii pași:

- a) se calculează distanța a cu relația:

$$a = a_b + \frac{\phi}{2} \quad (7.10)$$

unde acoperirea cu beton a_b se stabilește conform prevederilor din capitolul 1 iar ϕ este diametrul barelor din zona întinsă;

- b) se calculează înălțimea activă a secțiunii:

$$h_0 = h_{gp} - a \quad (7.11)$$

- c) se calculează lățimea activă de placă b_p conform prevederilor de la capitolul 5;
- d) se calculează aria de armătură corespunzătoare la $x = h_p$:

$$A_a^{\lim} = \frac{b_p \cdot h_p \cdot R_c}{R_a} \quad (7.12)$$

- e) dacă $A_a \leq A_a^{\lim}$ momentul capabil se determină conform punctelor f)...h); în caz contrar, dacă $A_a > A_a^{\lim}$ momentul capabil se calculează conform prevederilor punctelor i)...m);
- f) dacă $A_a \leq A_a^{\lim}$ se calculează înălțimea zonei comprimare:

$$x = \frac{A_a \cdot R_a}{b_p \cdot R_c} \quad (7.13)$$

g) se verifică înălțimea zonei comprimate astfel:

- dacă $x \leq 0,25 \cdot h_0$, valoarea lui x determinată cu relația (7.13) este bună;
- dacă $x > 0,25 \cdot h_0$, secțiunea simplu armată nu respectă condițiile zonelor critice și va trebui calculată ca secțiune dublu armată;

h) se calculează momentul capabil cu relația:

$$M_{cap} = b_p \cdot x \cdot R_c \cdot \left(h_0 - \frac{x}{2} \right) \quad (7.14)$$

i) dacă $A_a > A_a^{\lim}$ se calculează cantitățile de armătură:

$$A_{a,II} = \frac{(b_p - b) \cdot h_p \cdot R_c}{R_a} \quad (7.15)$$

$$A_{a,I} = A_a - A_{a,II}$$

j) se determină înălțimea relativă a zonei comprimate:

$$\xi = \frac{A_{a,I} \cdot R_a}{b_{gp} \cdot h_0 \cdot R_c} \quad (7.16)$$

k) se verifică înălțimea relativă a zonei comprimate astfel:

- dacă $\xi \leq 0,25$, valoarea lui ξ determinată cu relația (7.16) este bună;
- dacă $\xi > 0,25$, secțiunea nu respectă condițiile zonelor critice și va trebui reproiectată;

l) se calculează momentele parțiale capabile:

$$M_I = b_{gp} \cdot h_0^2 \cdot R_c \cdot \xi \cdot \left(1 - \frac{\xi}{2}\right) \quad (7.17)$$

$$M_{II} = A_{a,II} \cdot R_a \cdot \left(h_0 - \frac{h_p}{2}\right)$$

m) se calculează momentul final capabil:

$$M_{cap} = M_I + M_{II} \quad (7.18)$$

Secțiunile aflate în zonele critice din reazem sunt proiectate să lucreze ca secțiuni **T** simplu armate.

Cazul de dublă armare rezultă foarte rar la secțiunile T iar la cele aflate în zone critice nu se recomandă armarea dublă.

7.3. Determinarea momentelor capabile ale stâlpilor rectangulari

Calculul momentului capabil al stâlpilor rectangulari solicitați la compresiune excentrică se face astfel:

a) se calculează distanța a cu relația:

$$a = a_b + \frac{\phi}{2} \quad (7.19)$$

unde acoperirea cu beton a_b se stabilește conform prevederilor din capitolul 1 iar ϕ este diametrul barelor din zona întinsă;

b) se calculează înălțimea activă a secțiunii:

$$h_0 = h_{st} - a \quad (7.20)$$

c) se calculează înălțimea relativă a zonei comprimate:

$$\xi = \frac{N}{b_{st} \cdot h_0 \cdot R_c} \quad (7.21)$$

- d) se verifică înălțimea relativă a zonei comprimate astfel:
- dacă $\xi \leq 0,55$, valoarea lui ξ determinată cu relația (7.21) este bună;
 - dacă $\xi > 0,55$, secțiunea nu respectă condițiile de ductilitate și va trebui redimensionată;
- e) se calculează coeficienții:

$$n = \frac{N}{b_{st} \cdot h_{st} \cdot R_c} \quad \alpha = \frac{A_a \cdot R_a}{b_{st} \cdot h_{st} \cdot R_c} \quad \frac{a}{h_{st}} \quad (7.22)$$

- f) din tabelele 6.3...6.6 se scoate coeficientul m ;
- g) se calculează coeficientul η conform punctului 6.1.6;
- h) se calculează excentricitatea adițională:

$$e_a = \max\left(\frac{h_{st}}{30}, 20mm\right) \quad (7.23)$$

- i) se calculează momentul maxim cu relația:

$$M_{\max} = \frac{m \cdot b_{st} \cdot h_{st}^2 \cdot R_c - N \cdot e_a}{\eta} \quad (7.24)$$

7.4. Determinarea momentelor capabile ale stâlpilor circulari

Calculul momentului capabil al stâlpilor rectangulari solicitați la compresiune excentrică se face astfel:

- j) se calculează distanța a cu relația:

$$a = a_b + \frac{\phi}{2} \quad (7.25)$$

unde acoperirea cu beton a_b se stabilește conform prevederilor din capitolul 1 iar ϕ este diametrul barelor din zona întinsă;

k) se calculează valoarea normalizată a forței axiale:

$$n = \frac{N}{\frac{\pi \cdot D^2}{4} \cdot R_c} \quad (7.26)$$

l) se verifică secțiunea de beton astfel:

- dacă $n \leq 0,55$, valoarea lui n determinată cu relația (7.26) este bună;
- dacă $n > 0,55$, secțiunea nu respectă condițiile de ductilitate și va trebui redimensionată;

m) se calculează coeficienții:

$$\alpha = \frac{A_a \cdot R_a}{\frac{\pi \cdot D^2}{4} \cdot R_c} \quad \frac{a}{D} \quad (7.27)$$

n) din tabelele 6.8...6.10 se scoate coeficientul m ;

o) se calculează coeficientul η conform punctului 6.2.6;

p) se calculează excentricitatea adițională:

$$e_a = \max\left(\frac{D}{30}, 20mm\right) \quad (7.28)$$

q) se calculează momentul maxim cu relația:

$$M_{\max} = \frac{m \cdot \frac{\pi \cdot D^3}{4} \cdot R_c - N \cdot e_a}{\eta} \quad (7.29)$$

8. BIBLIOGRAFIE

1. R. Agent, T. Postelnicu, D. Dumitrescu – *Îndrumător pentru calculul și alcătuirea elementelor structurale de beton armat*. Editura Tehnică, București, 1992.
2. STAS 10107/0-1990 – *Calculul și alcătuirea elementelor structurale din beton, beton armat și beton precomprimat*.
3. STAS 10107/1-1990 – *Planșee din beton armat și beton precomprimat. Prescripții generale de proiectare*.
4. STAS 10107/2-1992 – *Planșee curente din plăci și grinzi din beton armat și beton precomprimat. Prescripții de calcul și alcătuire*.
5. STAS 10107/3-1990 – *Planșee cu nervuri dese din beton armat și beton precomprimat. Prescripții de proiectare*.
6. STAS 10107/4-1990 – *Planșee casetate din beton armat. Prescripții de proiectare*.
7. CP 012/1-2007 – *Cod de practică pentru producerea betonului*.
8. ST 009-2004 – *Specificație tehnică privind produsele din oțel utilizate ca armături: cerințe și criterii de performanță*.
9. SR EN 1992-1-1: 2004 – *Proiectarea structurilor de beton. Partea 1-1: Reguli generale și reguli pentru clădiri*.
10. NE 012-1: 2007 – *Cod de practică pentru executarea lucrărilor din beton, beton armat și beton precomprimat. Partea 1: producerea betonului*.
11. NE 012-2: 2009 – *Cod de practică pentru executarea lucrărilor din beton, beton armat și beton precomprimat. Partea 1: Executarea lucrărilor din beton*.

12. A. Cuciureanu, L. Tulească – *Structuri din beton armat. Structură etajată monolită*. Ed. “Gh. Asachi”, Iași, 1998.
13. SR EN 1990-2004 – *Bazele proiectării structurilor*.
14. STAS 10101/2A1-1987 – *Încărcări tehnologice din exploatare pentru construcții civile, industriale și agrozootehnice*.
15. STAS 10101/1-1978 – *Greutăți tehnice și încărcări permanente*.
16. CR 0-2005 – *Cod de proiectare. Bazele proiectării structurilor în construcții*.
17. CR 1-1-3-2005 – *Cod de proiectare. Evaluarea acțiunii zăpezii asupra construcțiilor*.
18. NP 082-2004 – *Cod de proiectare. Bazele proiectării și acțiuni asupra construcțiilor. Acțiunea vântului*.
19. P 100/1-2006 – *Cod de proiectare seismică. Partea I, volumul 1. Prevederi de proiectare pentru clădiri*.
20. P 100/1-2006 – *Cod de proiectare seismică. Partea I, volumul 2A - Proiectarea seismică a clădirilor. Comentarii*.
21. P 100/1-2006 – *Cod de proiectare seismică. Partea I, volumul 2B - Proiectarea seismică a clădirilor. Exemple de calcul*.

ISBN 978-973-8955-65-3



COLECȚIA: BETON ARMAT